

ISSN 0201-8489

Физиологический журнал

том 36 № 3 1990

3'90



АКАДЕМИЯ
ИНСТИТУТ

Физ жур

Научно-теоре

Выходит

СОДЕРЖАНИЕ

Статьи

- ДИБРОВИНА
ГАМК-бензоди-
мяти
ГЕРАСИМОВ
операторов в
ных критери
ШИМАНСКА
регревания со
ВЕРЕСКУН
ной вентил
лизации кар
ГОЛУБЕВА
прессина и
РОМОДАН
действия эл
ГУРМАН
зоров и фу
ки при ра
ИВАСИВ
Минераль

Краткие
СЕМЕНКО
транскла
кошки
КИРИЛ
теральни
ВАРГА
ликов
толида

© И

РЕДАКЦИОННАЯ КОЛЛЕГИЯ РЕДАКЦИОННЫЙ СОВЕТ

Ф. Н. СЕРКОВ
(главный редактор)
Н. В. БРАТУСЬ
Г. М. БУТЕНКО
М. Я. ВОЛОШИН
С. Д. ГРОИСМАН
А. Г. ЗАДОРОЖНЫЙ
(ответственный секретарь)
Н. Н. ЗАЙКО
П. Г. КОСТЮК
В. Ф. САГАЧ
(зам. главного редактора)
М. М. СЕРЕДЕНКО
Н. Д. ТРОНЬКО
М. Ф. ШУБА

Ф. Н. СЕРКОВ
В. А. БЕРЕЗОВСКИЙ
Ф. П. ВЕДЯЕВ
М. И. ГУРЕВИЧ
Б. Е. ЕСИПЕНКО
Н. В. ИЛЬЧЕВИЧ
В. Н. КАЗАКОВ
А. В. КВАСНИЦКИЙ
К. В. КОВАНОВ
А. О. НАВАКАТИКЯН
В. Н. НИКИТИН
Е. Н. ПАНАСЮК
В. С. РАЙЦЕС
Г. И. ФЕДОРОВИЧ
В. В. ФРОЛЬКИС
Г. А. ХАСАБОВ
А. И. ХОМАЗЮК

Научный редактор Ф. Н. СЕРКОВ

Ответственный секретарь редакции Г. С. СОКИРКО

Адрес редакции: 252024 Киев-24, ул. Богомольца, 4
Телефон 293 29 54

Редакторы И. М. Акимова, В. В. Войтенко

Художественный редактор А. Н. Буртовой

Технический редактор О. В. Дивуля

Корректоры Л. П. Захарченко, Н. А. Струк

Сдано в набор 01.03.90. Подп. в печ. 21.05.90. БФ 02063. Формат 70×108/16.
Бум. тип. № 1. Выс. печ. Усл. печ. л. 11,2. Усл. кр.-отт. 11,7. Уч.-изд. л. 12,63.

Тираж 835 экз. Заказ 0-140. Цена 1 р. 40 к.

Киевская книжная типография научной книги, 252004, Киев, ул. Репина, 4

АКАДЕМИЯ НАУК УКРАИНСКОЙ ССР
ИНСТИТУТ ФИЗИОЛОГИИ им. А.А.БОГОМОЛЬЦА

Физиологический журнал

том 36 №3 1990
МАЙ-ИЮНЬ

Научно-теоретический журнал • Основан в январе 1955 г.

Выходит 1 раз в 2 месяца • Киев Наукова думка

СОДЕРЖАНИЕ

Статьи

ДИБРОВИНА Н. И., ИЛЬЮЧЕНКО Р. Ю. Роль дофаминергической системы и ГАМК-бензодиазепин-ионофорного комплекса в регуляции воспроизведения памяти	3
ГЕРАСИМОВ А. В. Прогнозирование успешности профессионального обучения операторов в учебно-тренировочных центрах по психофизиологическим и личностным критериям	8
ШИМАНСКАЯ Т. В., ГУРЕВИЧ М. И., САГАЧ В. Ф., БОЙКО В. И. Влияние перегревания собак на кардио- и гемодинамику и кислотно-основное состояние крови	14
ВЕРЕСКУН С. Б., ДМИТРИЕВА А. В., КАРЦЕВА А. Г. Роль нейронов каудальной вентролатеральной области продолговатого мозга кошки в механизме реализации кардиогемодинамической реакции	20
ГОЛУБЕВА М. Г., КАЛИШЕВСКАЯ Т. М., СОЛОВЬЕВА М. Е. Влияние вазопрессина и его аналогов на свертывание крови у крыс	25
РОМОДАНОВА Э. А., ПАРАНИЧ А. В., ЧАИКИНА Л. А. Влияние хронического действия электростатического поля на некоторые биохимические показатели тканей	30
ГУРМАН Э. Г., БАГИРОВА Е. А., СУРМАК В. В. Свободный выбор солевых растворов и функционирование ферментативно-транспортных механизмов тонкой кишечки при различной обеспеченности организма кальцием	35
ИВАСИВКА С. В., ПОПОВИЧ И. Л., ЯРЕМЕНКО М. С., КОВБАСНЮК М. Н. Минеральная вода нафтуса как ксенобиотик	40

Краткие сообщения

СЕМЕНЮТИН А. И. Влияние электрического раздражения голубого пятна на транскаллозальный ответ, возникающий в теменной ассоциативной коре мозга кошки	46
КИРИЛЮК М. Л., КУХАРЧУК А. Л., ГОЖЕНКО А. И. Влияние разрушения латерального ядра перегородки мозга на функцию почек	48
ВАРГА С. В., СИНИЦЫН П. В., ТАРАСЕНКО Л. В. Андрогенный статус у крыликов в условиях продолжительного введения нестероидного антиандрогена инфотолида	52

БАЖОРА Ю. И., БУИКО В. П. Возрастные особенности активности фагоцитирующих лейкоцитов в норме и при инфекционном процессе	56
ГЮЛЛИНГ Э. В., САМБУР М. Б. Исследование опосредуемого вилочковой железой механизма супрессорного действия гидрокортизона на гиперчувствительность замедленного типа	60
КОРПАЧЕВ В. В., ВАНЮРИХИНА Л. Т., ПОКРОВСКАЯ С. В., ОРЛОВА А. В. Особенности действия гуморальных факторов селезенки при облучении	63
ПОКРОВСКАЯ С. В., КОРПАЧЕВ В. В., КОМИССАРЕНКО В. П. Функциональное состояние тучных клеток крыс при действии биологически активных факторов селезенки	67
САЙКО А. А. Влияние прозерина на содержание стероидных гормонов у коров	71
СТОЛЯРЧУК А. А., ВАСИЛЬЕВА С. А., СТОРОЖУК Б. Г. Влияние вегетативной нервной системы на устойчивость желудочков сердца к фибрилляции	73
МАРХАСИН В. С., НАФИКОВ Х. М., ИЗАКОВ В. Я., БЛЯХМАН Ф. А. Влияние неоднородности сердечной мышцы на ее механическую функцию	76
ШЕВЧУК В. Г., ПЛИСКА А. И., СЕРГИЕНКО О. В., РЕЙКО М. Н., ШЕФ Г. Г. Влияние ретаболила, биоседа и стекловидного тела на reparативные процессы в сердце крыс с экспериментальным инфарктом миокарда	80
САШЕНКОВ С. А., ХИШИВО А. Л., ЕГОРОВА Н. В., НЕКРАСОВ А. С., ЛЯНКИН В. З. Влияние липоксигеназных метаболитов арахидоновой кислоты на поверхность заряд мембранны эритроцитов	83
ЭЛЬКИНА В. А., РОЗАНОВ А. Я. Динамика поглощения ¹⁴ С-биотина клетками крови и связывание белками плазмы в онтогенезе	86

Методики

ФРАНКОВ И. А., СОКОЛОВА Т. Н. Новая методика получения желудочного сока у мелких животных	91
РЯХОВСКИЙ А. Н., РАЙЦЕС В. С. Новый способ оценки функции жевания у человека	94

Обзоры

МОЙБЕНКО А. А., ПАВЛЮЧЕНКО В. Б. Сердце как эндокринный орган	99
---	----

Симпозиумы, конференции, съезды, школы-семинары

КАЛИНСКИЙ М. И., МОРОЗОВ В. М. Актуальные проблемы биохимии спорта	110
БАРАБОЙ В. А. Устойчивость биологических систем	111

Рецензии

ЛАОНОВЕНКО И. И. Теоретические и клинические аспекты постреанимационной энцефалопатии (рецензия на книгу Пермяков Н. К., Хучу А. В., Туманский В. А. «Постреанимационная энцефалопатия»)	113
ОЛЕЙНИК Я. В. Студентам и преподавателям — современный учебник (рецензия на книгу Костюк П. Г., Гродзинский Д. М., Зима В. Л. и др. «Биофизика»)	115
ЗЕЛЕНСКАЯ Т. М. Анализ патоморфологических изменений органов эндокринной системы и центров ее регуляции при старении и атеросклерозе (рецензия на книгу Хмельницкий О. К., Ступина А. С. «Функциональная морфология эндокринной системы при атеросклерозе и старении»)	116

УДК 612.821.1/3:621.311.

Н. И. Дубровина, Р.

Роль дофамин и ГАМК-бензодиазепинов в регуляции в

Феномен спонтанно возникающих аутоиммунных состояний, связанных с гиперчувствительностью к антигенному веществу, может быть объяснен тем, что иммунная система способна реагировать на собственные антигены, если они находятся в определенном состоянии. Такое состояние может возникнуть вследствие нарушения баланса между различными регуляторными факторами, включая дофамин и ГАМК-бензодиазепины.

Исследование показывает, что воспроизведение аутоиммунных состояний, вызванных аутоиммунными заболеваниями, может быть достигнуто путем воздействия на различные регуляторные факторы, включая дофамин и ГАМК-бензодиазепины. Важно отметить, что воспроизведение аутоиммунных состояний может быть осуществлено даже при отсутствии первоначального заболевания, если соответствующие факторы будут подавлены. Это подтверждается результатами исследований, проведенных на животных и людях.

Перечисленные факторы, такие как дофамин и ГАМК-бензодиазепины, могут влиять на различные аспекты иммунной системы, включая регуляцию воспроизведения аутоиммунных состояний. Их действие может быть направлено на подавление или усиление различных процессов, таких как иммунный ответ, регуляция гормональной активности и т. д.

Методика

Опыты проведены на животных, включая крыс и мышей. Для проведения экспериментов использовались различные методы, включая измерение уровня гормонов в крови, изучение структуры гипоталамуса и гипофиза, а также изучение функций различных органов и тканей. Важно отметить, что методика была разработана для каждого конкретного исследования, и ее применение требует соответствующего знания и опыта.

Физиол. журн., 199

Статьи

агоцитирующую-	56
ковой желе-	
вительность	60
ЮВА А. В.	63
функциональ-	
ных факторов	67
юв у коров	71
егетативной	73
А. Влияние	76
ШЕФ Г. Г.	
процессы в	80
Л. С. ЛЯН-	
юты на по-	83
и клетками	86
желудочного	91
жевания у	94
орган	99
и АДНК	
имии спорта	110
и МИ	111
имационной	
нский В. А.	113
с (рецензия	
изика)	115
ндокринной	
ния на кин-	
ндокринной	116

Роль дофаминергической системы и ГАМК-бензодиазепин-ионофорного комплекса в регуляции воспроизведения памяти

Феномен спонтанного забывания в экспериментах на животных определяется как уменьшение выполнения условного навыка после длительного перерыва между обучением и тестированием [10, 16, 19]. Спонтанное забывание связано с неспособностью воспроизводить информацию о связи окружающей обстановки с аверсивной стимуляцией. Среди физиологических механизмов этого явления чаще всего рассматривается нарушение селективного внимания.

Исследования биологических основ хранения следов памяти и ее воспроизведения интенсивно проводятся на моделях экспериментально вызванных амнезий с помощью электрических или химических разрушений отдельных образований центральной нервной системы, электротонвульсивного шока, снижения концентрации нейромедиаторов, торможения белкового синтеза [1, 4, 9, 15]. Такие модели имеют ряд недостатков, поскольку поведение может изменяться в зависимости от ряда других факторов помимо специфического влияния на память. Более адекватной для анализа воспроизведения памяти представляется поведенческая модель, основанная на спонтанном забывании условно-рефлекторного навыка у хорошо обученных животных [16]. При использовании этой модели показано, что забывание может быть ослаблено рядом «напоминающих» воздействий, содержащих элементы ситуации обучения [10], стимуляцией мезэнцефалической ретикулярной формации [18], системным введением амфетамина или внутрижелудочковой инъекцией апоморфина [16]. Эти исследования свидетельствуют о том, что дофаминергическая система играет активную роль в регуляции воспроизведения памяти. Имеются сведения и о вовлечении тормозных систем мозга в механизмы угашения условных рефлексов [7], о влиянии производных бензодиазепинового ряда на затухание реакций активного и пассивного избегания [12, 14].

Перечисленные факты послужили основанием для исходного выбора дофаминергической системы и ГАМК-бензодиазепин-ионофорного комплекса в целях изучения их роли в обеспечении функций восстановления забытых следов памяти. Предстояло ответить на ряд принципиальных вопросов: равноценно ли участие отдельных компонентов этих нейромедиаторных систем в организации воспроизведения памяти? Связано ли влияние фармакологического воздействия с продолжительностью спонтанного забывания?

Методика

Опыты проведены на 126 мышах линии BALB/c массой 17–19 г. У животных вырабатывали условную реакцию пассивного избегания (УРПИ) по общепринятой методике. Электрокожное болевое раздражение вызывали действием тока силой 1 мА, продолжительностью 2 с. Регистрировали латентный период перехода из светлого (безопасного) в темный (опасный) отсек экспериментальной установки. Критерием достижения хорошо выработанной УРПИ служил латентный период перехода, составляющий 180 с. После проверки УРПИ через 24 ч животных, латентный период пе-

рехода которых составлял 180 с, переводили в клетки вивария, где происходило «спонтанное» забывание.

Поставлены следующие серии экспериментов. В первой серии проведен анализ участия активации дофаминергической системы и блокады ГАМК-бензодиазепин-ионофорного комплекса в восстановлении забытых следов памяти после 10—20 сут, прошедших между обучением и тестированием. Вторая серия экспериментов ставила задачей сделать анализ вклада этих нейромедиаторных систем в восстановление забытых следов памяти при увеличении сроков спонтанного забывания до 40—50 сут. Задачей третьей серии экспериментов было выявление влияния активации дофаминергических ауторецепторов в осуществлении воспроизведения забытых следов памяти. Следует отметить, что во всех сериях опытов методика обучения и тестирования была одинаковой. Тестирование заключалось в высадке животных и фиксации латентного периода их перехода в опасное отделение. За 30 мин перед вторым тестированием мышам вводили фармакологические вещества.

В опытах использовали системное (внутрибрюшинное) введение следующих препаратов: включающих на дофаминергическую систему — амфонелевой кислоты (1 мг/кг), стимулирующей выделение дофамина из резеррин-чувствительных депо, бупропиона (30 мг/кг), специфически блокирующего обратный захват дофамина, (+)-3-PPP (10 мг/кг) — активатора дофаминовых постсинаптических рецепторов, (-)-3-PPP (10 мг/кг) — блокатора дофаминовых постсинаптических рецепторов, (-)-3-PPP (2 мг/кг) — активатора дофаминовых ауторецепторов, номифензина (20 мг/кг), блокирующего обратное поглощение дофамина и норадреналина; влияющих на ГАМК-эргическую передачу — бикууллина (1 мг/кг), блокирующего ГАМК-рецепторы, пиротоксина (1 мг/кг) — блокатора ГАМК-регулируемых хлорных каналов, флумазепила марки R015-1788 (10 мг/кг) и марки R015-3505 (3 мг/кг) — блокаторов бензодиазепиновых рецепторов.

При статистической обработке применяли критерий t Стьюдента для оценки достоверности различий между значениями латентного периода перехода через 30 мин, 1 сут и т. д. после введения фармакологических препаратов и его исходными значениями (до введения).

Результаты

Активная дофаминергическая система и блокада ГАМК-бензодиазепин-ионофорного комплекса после 10—20 сут спонтанного забывания приводили к статистически значимому увеличению латентного периода перехода, характеризующего улучшение воспроизведения УРПИ (рис. 1, а). Следует обратить внимание на то, что активация постсинаптических дофаминовых рецепторов и их блокада вызывали примерно одинаковое по эффективности стимулирующее влияние на воспроизведение забытого следа памяти через 20 сут после обучения (рис. 1, а, III, IV). Наряду со сходной направленностью изменений латентного периода перехода, заключающейся в существенном повышении его значений после фармакологического воздействия, четко прослеживалось и существенное различие значений продолжительности сохранения улучшенного проявления УРПИ: по сравнению с эффектами, вызываемыми амфонелевой кислотой, номифензином (+)-3-PPP и (-)-3-PPP, когда повышение значений латентного периода перехода регистрировалось только через 30 мин после введения указанных веществ, улучшение воспроизведения от действия бикууллина, пиротоксина сохранилось 2 сут, а флумазепила и R015-3505 — 4—6 сут (рис. 1, а, VI, IX).

Таким образом, активация различных элементов дофаминергической системы и блокада постсинаптических рецепторов вызывали кратковременное улучшение воспроизведения забытого следа памяти, а блокада разных компонентов ГАМК-бензодиазепин-ионофорного комплекса — более продолжительное.

Во второй серии опытов проверка эффективности нейрофармакологических воздействий при увеличении сроков спонтанного забывания отчетливо продемонстрировала существенное различие действия агентов, изменяющих активность дофамин- и ГАМК-эргических систем. Зарегистрированы значительно более низкие воздействующие эффекты

амфонелевой и (-)-3-PPP, чем после 10-дневного подавления ГАМК-бензодиазепинов. В данном случае перехода и дальнейшего забывания.

В третьей серии опытов активация до-

фаминергических ауторецепторов в осуществлении воспроизведения забытых следов памяти.

На рисунке 1, б показано влияние различных активаторов дофаминергической системы на латентный период перехода в опасное отделение. Активаторы дофамина (бупропион, 30 мг/кг), блокаторы ГАМК-рецепторов (номифензин, 20 мг/кг), блокаторы хлорных каналов (пиrottоксин, 1 мг/кг) и блокаторы бензодиазепиновых рецепторов (R015-1788, 10 мг/кг) и R015-3505 (3 мг/кг) не оказывали влияния на латентный период перехода в опасное отделение.

На рисунке 1, в показано влияние различных блокаторов на латентный период перехода в опасное отделение. Активаторы дофамина (бупропион, 30 мг/кг), блокаторы ГАМК-рецепторов (номифензин, 20 мг/кг), блокаторы хлорных каналов (пиrottоксин, 1 мг/кг) и блокаторы бензодиазепиновых рецепторов (R015-1788, 10 мг/кг) и R015-3505 (3 мг/кг) не оказывали влияния на латентный период перехода в опасное отделение.

Обсуждение

Основные результаты, полученные в настоящем исследовании, свидетельствуют о том, что активация дофаминергической системы и блокада ГАМК-бензодиазепин-ионофорного комплекса приводят к улучшению воспроизведения забытого следа памяти. Активация дофаминергических ауторецепторов и блокада ГАМК-рецепторов приводят к улучшению воспроизведения забытого следа памяти. Активация дофаминергических ауторецепторов и блокада ГАМК-рецепторов приводят к улучшению воспроизведения забытого следа памяти.

ария, где происходило
серии проведен анализ
ГАМК-бензодиазепин-
амяти после 10—20 сут,
и экспериментов ставила
ем в восстановление за-
бывания до 40—50 сут.
я активации дофаминер-
в забытых следов памяти.
ния и тестирования бы-
ых и фиксации латент-
перед вторым тестирова-

введение следующих
—амфонелевой кислоты
и чувствительных депо,
ый захват дофамина,
аптических рецепторов,
аптических рецепторов,
омифензина (20 мг/кг),
а; влияющих на ГАМК-
о ГАМК-рецепторы, пи-
онных каналов, флумазе-
кг) — блокаторов бензо-

юдента для оценки дос-
перехода через 30 мин.
и его исходными значе-

АМК-бензодиазепин-
ного забывания при-
латентного периода
произведения УРПИ
активация постсинап-
 вызывали примерно
яние на воспроизве-
обучения (рис. 1, а,
ений латентного пе-
повышении его зна-
ко прослеживалось
льности сохранения
эффектами, вызван-
3-PPP и (—)3-PPP,
перехода регистриро-
ных веществ, улуч-
пиротоксина сохра-
т (рис. 1, а, VI, IX).
тов дофаминергич-
ров вызывали крат-
следа памяти, а бло-
нофорного комплек-

ти нейрофармаколо-
итанного забывания
ие действия аген-
тических систем. За-
йствующие эффекты

амфонелевой кислоты, бупропиона, номифензина, (+)3-PPP и (—)3-PPP после 40—50 сут спонтанного забывания (рис. 1, б, I—V), чем после 10—20 сут (см. рис. 1, а, I—IV). В то же время не зарегистрировано подобного явления при использовании препаратов, блокирующих ГАМК-бензодиазепин-ионофорный комплекс (см. рис. 1, б, VI—IX). В данном случае остались увеличенными значения латентного периода перехода и динамика сохранения улучшенного восстановления следа памяти.

В третьей серии экспериментов, установлено, что специфическая активация дофаминергических ауторецепторов (—)3-PPP (2 мг/кг)

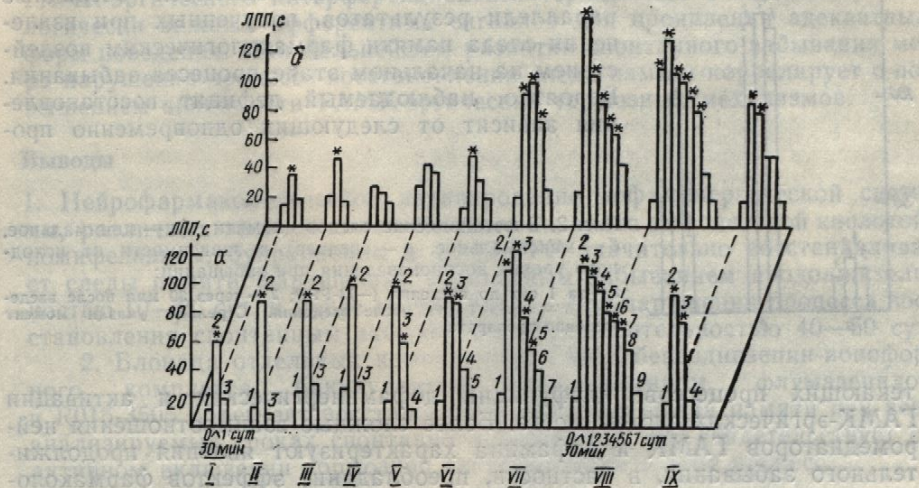


Рис. 1. Латентный период перехода (ЛПП), характеризующий восстановление следов памяти после 10—20 сут (а) и 40—50 сут (б) спонтанного забывания под влиянием активаторов дофаминергической системы (I — амфонелевая кислота, 1 мг/кг; II — бупропион, 30 мг/кг; III — (+)-3-PPP, 10 мг/кг; IV — (—)-3-PPP, 10 мг/кг; номифензин, 20 мг/кг) и блокаторов ГАМК-бензодиазепин-ионофорного комплекса (VI — бикукуллин, 1 мг/кг; VII — флумазепил, 10 мг/кг; VIII — R015-3505, 3 мг/кг; IX — пироктон, 1 мг/кг):

1 — за 1 сут до введения препарата (исходное значение ЛПП); 2 — через 30 мин после введения; 3—9 — через 1—7 сут после введения. Звездочка указывает на достоверность отличия ЛПП от исходного значения ($P < 0.05$).

оказывала заметное действие в зависимости от исходного значения показателя восстановления забытого следа памяти (рис. 2). Мы не обнаружили ни улучшения проявления УРПИ при низких значениях показателя воспроизведения условного навыка (рис. 2, 1), ни ухудшения при сохранении высоких значений показателя воспроизводимости УРПИ (рис. 2, 2). И лишь при среднем значении показателя воспроизведения УРПИ отмечено кратковременное повышение значений латентного периода перехода (рис. 2, 3).

Обсуждение

Основные результаты проведенных опытов показали следующее. Во-первых, активация дофаминергической системы через усиление выделения медиатора амфонелевой кислотой, блокаду его обратного захвата бупропионом и номифензином, стимуляцию постсинаптических рецепторов (+)3-PPP, а также через блокаду последних (—)3-PPP восстанавливает способность к реализации условного навыка у мышей, продолжительность забывания которых составила 10—20 сут, и значительно снижает такую способность при более продолжительном спонтанном забывании. Во-вторых, сохраняются эффективность и характер описанного выше действия при блокаде отдельных компонентов ГАМК-бензодиазепин-ионофорного комплекса бикукуллином, пироктоном, флу-

мазепилом и R015-3505 при всех анализируемых сроках спонтанного забывания. В-третьих, вклад активации пресинаптических дофамино-вых рецепторов существенно зависит от исходных значений показателя восстановления следа памяти при забывании.

Приведенные факты указывают на определенную специфичность фармакологического воздействия в осуществлении процесса восстановления забытых следов памяти. Они также являются достаточным основанием для предположения о существенном вкладе дофаминергических и особенно ГАМК-эргических систем мозга в реализацию способности

к восстановлению следа памяти, нарушенному спонтанным забыванием. Имеются очевидные параллели результатов, полученных при извлечении следа памяти фармакологическим воздействием на начальном этапе процесса забывания. Вероятно, наблюдаемый дефицит восстановления зависит от следующих одновременно про-

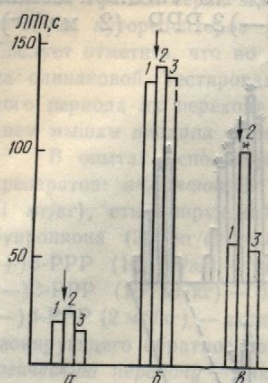


Рис. 2. Восстановление следов памяти (а — минимальное, б — максимальное, в — среднее) в зависимости от исходного уровня воспроизведения при забывании:
1 — за 1 сут до введения (—)3-PPP; 2 — через 30 мин после введения; 3 — через 1 сут после введения. Стрелкой указан момент введения препарата.

текущих процессов: дисфункции дофаминергических и активации ГАМК-эргических систем мозга. Более сложные взаимоотношения нейромедиаторов ГАМК и дофамина характеризуют явления продолжительного забывания, в частности, преобладание эффектов фармакологического воздействия на ГАМК-бензодиазепин-ионафорный комплекс.

Таким образом, в основе снижения доступности к восстановлению следа памяти при забывании лежит преимущественно активирование тормозных механизмов, в результате которого проявляется торможение поведенческих реакций.

Известно, что пресинаптические рецепторы модулируют активность нейромедиаторной системы [8]. Эта модуляция опосредует облегчающие и тормозные эффекты медиатора. Сравнительная характеристика эффективности воздействия специфического ауторецепторного дофаминергического агониста (—)3-PPP в зависимости от исходного значения показателя воспроизведения памяти свидетельствует в пользу того, что пресинаптические процессы начинают функционировать на определенном этапе, т. е. выделяется характерный период, когда одновременно с постсинаптическими процессами формируется единая система регулирующих влияний для коррекции программ воспроизведения памяти при забывании.

Анализируя существующие представления о механизмах забывания, необходимо отметить, что, по мнению большинства исследователей, основу этого явления составляет нарушение воспроизведения памяти [11, 15, 19]. Напоминания (ситуационные) усиливают когнитивные процессы, непосредственно вовлеченные в восстановление следа памяти, происходит подготовка системы для эффективного воспроизведения памяти через усиление селективного внимания к стимулам, относящимся к обучению [3, 17]. Особое внимание обращено к гипотезе о роли норадреналина в модуляции селективного внимания [10, 13, 15, 17]. Для восстановления следа памяти чрезвычайно велика роль эмоционально-мотивационного возбуждения, которое определяет избирательность извлечения условного навыка активацией специфических нейронных систем [6].

На основе приведенных нами результатов эксперимента, свидетельствующих о снижении эффективности нейрофармакологического воздействия, которое изменяет функционирование дофаминергической систе-

мы, и сохранение ГАМК-эргической нейрохимической отрицательного вклада селективного венце-фициата, можно предположить, что происходящие в системе мозга с парасимпатического интерфейса к хранившимся в ГАМК-эргической логически важной форме поведения, приводят к нарушению гипо-важнейшим значи-

Выводы

1. Нейрофармакологическое действие различных номифензина, включая R015-3505, обладает слабым, но достоверным вкладом в восстановление спонтанного забывания.

2. Блокада нейрофармакологического действия R015-3505 обладает слабым, но достоверным вкладом в восстановление спонтанного забывания.

N. I. Dubrovina, R. V. Vinitsky
ROLE OF THE DOPAMINERGIC AND GABA-BENZODIAZEPINE COMPLEX IN THE SPONTANEOUS FORGETTING

The spontaneous forgetting of memory traces after the administration of the dopaminergic antagonist (—)3-PPP is underlined by a hypothesis that the blockade of specific presynaptic receptors of the dopamine system improves the duration of the retrieval process after forgetting due to the action of the agonist (—)3-PPP.

Institute of Physiology of the USSR Academy of Sciences, Moscow

СПИСОК ЛИТЕРАТУРЫ

- Бородкин Ю. А. Восстановление памяти.—Л.: Изд-во МГУ, 1980.
- Винницкий И. А. Селективные ингибители пресинаптических интерфейсов.—М.: Наука, 1983.
- Иванчик А. А. Гипотеза о механизмах забывания и психической деятельности.—М.: Наука, 1980.
- Ильюченок Р. А. Селективные ингибиторы пресинаптических интерфейсов.—М.: Медицина, 1982.
- Ильюченок Р. А. Гипотеза о механизмах забывания и психической деятельности.—М.: Медицина, 1982.

Физиол. журн., 1990, т. 36, № 3

х сроках спонтанного
напоминания дофамино-
генных показателя

енную специфичность
и процесса восстановления
достаточным основанием
для дофаминергических
механизмов способности
памяти, нарушенному

Имеются очевидные
изменения при извлечении
акологическим воздей-
ствии процесса забывания.
дефицит восстановления
одновременно про-

памяти (*a* — минимальное,
в зависимости от исход-
ного забывания:

2 — через 30 мин после введе-
ния. Стрелкой указан момент

ческих и активации
взаимоотношения ней-
тальных явлений продолжи-
тельных эффектов фармаколо-
гонофорный комплекс.
сти к восстановлению
генно активированное
является торможение

одулируют активность
опосредует облегчаю-
щая характеристика
рецепторного дофамино-
гического значения
исходного значения
ут в пользу того, что
ровать на определен-
и, когда одновременно
диная система регули-
ции извлечения памяти при

механизмах забывания,
ва исследователей, ос-
произведения памяти
ают когнитивные про-
вление следа памяти,
о воспроизведения па-
нимулам, относящимся
к гипотезе о роли нор-
адренергической систе-
мы [10, 13, 15, 17]. Для

а роль эмоционально-
стной избирательность из-
вестных нейронных сис-
темы, свидетельствую-
щие о воздействии нор-
адренергической систе-

мы, и сохранении активирующего влияния при блокаде тормозной ГАМК-эргической системы, можно сформулировать гипотезу о наличии нейрохимического механизма в процессе забывания. Не исключая и не отрицая вклада норадренергической системы в обеспечении значимости селективного внимания для воспроизведения памяти в условиях ее дефицита, можно предполагать, что на начальном этапе процесса забывания происходит снижение функционирования дофаминергических систем мозга с параллельным возрастанием бензодиазепин-ГАМК-эргического интерференционного торможения, что уменьшает доступность к хранящимся следам памяти. Ранее нами [2, 5] было показано участие ГАМК-эргического интерференционного торможения в выделении биологически важных афферентных сигналов для проявления адекватных форм поведения. При дальнейшем развитии спонтанного забывания места нарушения процесса восстановления следа памяти коррелирует с повышением значимости ГАМК-эргических тормозных механизмов.

Выводы

1. Нейрофармакологическое активирование дофаминергической системы, различных звеньев синаптического аппарата амфонелевой кислотой, номифензином, бупропионом и (+)-3-PPP значительно восстанавливает следы памяти, нарушенные спонтанным забыванием продолжительностью 10—20 сут, и менее значительно — при нарушении процесса восстановления спонтанным забыванием продолжительностью 40—50 сут.
2. Блокада отдельных компонентов ГАМК-бензодиазепин-ионофорного комплекса бикукулином, пикротоксином, флумазепилом и R015-3505 облегчает восстановление забытого следа памяти при всех анализируемых сроках спонтанного забывания, что свидетельствует об активном включении тормозной системы мозга в этот процесс.

N. I. Dubrovina, R. Yu. Il'yutchenok

ROLE OF THE DOPAMINERGIC SYSTEM AND GABA-BENZODIAZEPINE IONOPHORE COMPLEX IN THE REGULATION OF MEMORY RETRIEVAL

The spontaneous forgetting model has been used to demonstrate the possibility of the memory forgotten trace extraction under the dopamine reuptake blockade by nomifensine and bupropion, increase of its quantity by amfonelic acid, activation of the postsynaptic dopaminergic receptors by (+)-3-PPP, blockade of the latter by (-)-3-PPP, and under the blockade of separate links of the GABA-benzodiazepine-ionophore complex by bicuculline, picrotoxin, flumazepil and R015-3505. Effectiveness of the neuropharmacological actions improving the memory forgotten trace retrieval is shown to depend upon the duration of the spontaneous forgetting process. The presynaptic receptors are involved in the retrieval process control — improvement of the conditioned habit performance after forgetting due to the activation of presynaptic dopaminergic receptors by specific agonist (-)-3-PPP is clearly correlated with the initial retrieval level. The above facts underlie a hypothesis about the neurochemical forgetting mechanisms.

Institute of Physiology, Siberian Branch
of the USSR Academy of Medical Sciences, Novosibirsk

СПИСОК ЛИТЕРАТУРЫ

1. Бородкин Ю. С., Шабанов П. Д. Нейрохимические механизмы извлечения следов памяти. — Л.: Наука, 1986.— 150 с.
2. Винницкий И. М., Дубровина Н. И., Ильюченок Р. Ю. Влияние диазепама на процессы интерференции // Фармакология и токсикология. 1985.— 48, № 4.— С. 38—41.
3. Иванецкий А. М., Стрелец В. Б., Корсаков И. А. Информационные процессы мозга и психическая деятельность. — М.: Наука, 1984.— 201 с.
4. Ильюченок Р. Ю. Фармакология памяти и поведения. — Новосибирск: Наука, 1972.— 232 с.
5. Ильюченок Р. Ю., Гилинский М. А., Лоскутова Л. В. и др. Миндалевидный комплекс (связи, поведение, память). Новосибирск: Наука, 1981.— 227 с.

6. Судаков К. В. Общая теория функциональных систем.— М.: Медицина, 1984.— 224 с.
7. Толкунов Б. Ф. Стриатум и сенсорная специализация нейронов.— Л.: Наука, 1978.— 178 с.
8. Clark D., Hjorth S., Carlsson A. Dopamine-receptor agonists: mechanisms underlying autoreceptor selectively // J. Neural Transm.— 1985.— 62, N 1.— P. 1—52.
9. Davis H. P., Squire L. R. Protein synthesis and memory: a review // Psychol. Bull.— 1984.— 96, N 4.— P. 518—559.
10. DeWeer B., Sara S. J. Background stimuli as a reminder after spontaneous forgetting: role of duration of cuing and cuingtest interval // Anim. Learn. and Behav.— 1984.— 12, N 2.— P. 238—247.
11. Gordon W. C. Mechanisms of cue-induced retention enhancement // Information processing in animals: Memory mechanisms / Ed. N. E. Spear et al.— New York: Lawrence Erlbaum Associates, 1981.— P. 319—339.
12. Gray J. A. Drug effects on fear and frustration: Possible limbic site of action of minor tranquilizers // Handbook of psychopharmacology. Vol. 8. Drugs, neurotransmitters and behavior / Ed. S. D. Iversen et al.— New York: Plenum press, 1977.— P. 433—529.
13. Mason S. T., Fibiger H. C. Evidence for a role of brain noradrenaline in attention and stimulus sampling // Brain Res.— 1978.— 159, N 3.— P. 421—426.
14. Morris M. D., Gerhart G. F. Antianxiety agents and emotional behavior: information processing analysis // Progr. Neuro-Psychopharmacol.— 1981.— 5, N 3.— P. 219—240.
15. Quartermain D., Judge M. E. Retrieval enhancement in mice by pretest amphetamine injection after a long retention interval // Physiol. Psychol.— 1983.— 11, N 3.— P. 166—172.
16. Sara S. J. Forgetting of a conditioning emotional response and its alleviation by pretest amphetamine // Ibid.— 1984.— 12, N 1.— 17—22.
17. Sara S. J. Noradrenergic modulation of selective attention: its role in memory retrieval // Ann. N. Y. Acad. Sci.— 1985.— 444.— P. 178—193.
18. Sara S. J., DeWeer B., Hars B. Reticular stimulation facilitates retrieval of a «forgotten» maze habit // Neurosci. Lett.— 1980.— 18.— P. 211—217.
19. Spear N. E. The Processing of memories: forgetting and retention.— New Jersey: Lawrence Erlbaum Ass., 1978.— 112 p.

Ин-т физиологии Сиб. отделения
АМН ССР, Новосибирск

Материал поступил
в редакцию 13.08.87

УДК 612.821.1/3:621.311.22

А. В. Герасимов

Прогнозирование успешности профессионального обучения операторов в учебно-тренировочных центрах по психофизиологическим и личностным критериям

За последние годы число аварий, обусловленных неправильными действиями операторов энергопредприятий, в целом по стране увеличилось на 30%. Во многих энергообъединениях каждая вторая авария происходит по этой причине, в связи с чем подбор кандидатов в операторы по психофизиологическим и личностным особенностям становится неотъемлемым элементом профессиональной подготовки в учебно-тренировочных центрах (УТЦ). Однако этот аспект профподготовки не изучен, а имеющиеся публикации посвящены обоснованию психофизиологических методов профотбора на этапе приема на работу [6, 7, 9].

В связи с этим цель нашей работы — разработка психофизиологических критериев прогнозирования эффективности профессиональной подготовки операторов энергоблоков на этапе приема в УТЦ.

Методика

Обследовали 170 практически здоровых кандидатов в операторы (средний возраст — 29 лет), которые до профессиональной подготовки в УТЦ Минэнерго УССР работали машинистами-обходчиками котло- и турбоагрегатов. У испытуемых изучали пока-

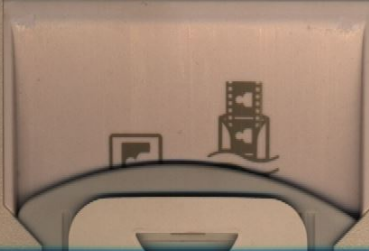
затели оперативной переработки информации, качества внимания, способности ЦНС к теллекту (ТСИ) метода исследований. Нs — сверхконтактность, пульсивность, уверенность в себе. Успешность выполнения протоколов аттестации операторской деятельности в целом функционировании в числе аварийных званием метода достижения по зультатов проводимой

Результаты и

Проведение психофизиологического исследования успешности формативных качеств лиц, контингентов перцентилей которых менее 3, но менее 25, но высокий; более 25, но высокий.»

В I группе (высоким уровнем критериев обучаемости) — с нижними названием групп усредненные физиологические характеристики (циональной тестовой системе). Адекватности импульса профессии обучения. Видит о том, что достаточно операторы I профессии [2], надежнее, чем операторы II групп. Повышение и умственная активность, операторы. Менее значимые по личностным критериям, операторы I группы. У них выше успешность и ги

Физиол. журн.



м.— М.: Медицина, 1984.—
ронов.— Л.: Наука, 1978.—
sts: mechanisms underlying
V. I.— Р. 1—52.
a review // Psychol. Bull.—
r after spontaneous forget-
Anim. Learn. and Behav.—
ncement // Information pro-
ar et al.— New York: Law-
le limbic site of action of
Vol. 8. Drugs, neurotrans-
ork: Plenum press, 1977.—
noradrenaline in attention
P. 421—426.
tional behavior: information
81—5, N 3.— Р. 219—240.
ice by pretest amphetamine
ycol.— 1983.— 11, N 3.—
e and its alleviation by pre-
: its role in memory retrie-
ates retrieval of a «forgot-
17. id retention.— New Jersey :
Материал поступил
в редакцию 13.08.87

критериям

: неправильными дей-
стране увеличилось
вторая авария прои-
дидатов в операторы
остям становится не-
говки в учебно-трени-
офф подготовки не из-
ванию психофизиоло-
работу [6, 7, 9].
отка психофизиологи-
ти профессиональной
илема в УТЦ.

иторы (средний возраст —
Минэнерго УССР работа-
спытываемых изучали пока-

затели оперативного мышления (ОМ) и технического мышления (ТМ) [6], скорости переработки информации (СПИ) [6], интегральный показатель (ИП) исследования качества внимания (ИКВ) и умственной работоспособности [8], объема кратковременной зрительной памяти (КЗП) [8], функциональной подвижности (ФП) и работоспособности ЦНС [9], уровня развития интеллекта с помощью теста структуры интеллекта (ТСИ), по Amthauer, профиля личности с помощью стандартизированного метода исследования личности (СМИЛ) по шкалам:

Нс — сверхконтроль, D — депрессия, Ну — эмоциональная лабильность, Рд — импульсивность, Sc — индивидуальность, Pt — тревожность, Ja — самостоятельность, уверенность в себе.

Успешность профессиональной подготовки операторов оценивали на основании протоколов аттестационных экзаменов по теоретическому курсу и эффективности операторской деятельности на полномасштабном комплексном тренажере, имитирующем функционирования энергоблока в стационарном и переходных режимах (в том числе аварийных). Покупченные результаты обрабатывали и на ЭВМ СМ-3 с использованием методов вариационной статистики, в том числе критерия Стьюдента и множественного пошагового корреляционно-регрессионного анализа [1]. Ранжирование результатов проведено методом перцентилей по Сепетлиеву [10].

Результаты и их обсуждение

Проведение статистического анализа позволило из более чем двухсот психофизиологических показателей выделить около сорока коррелятов успешности освоения операторской деятельности в УТЦ. Наиболее информативные показатели профессионально важных психофизиологических качеств (ПВПК) представлены в табл. 1. Как видно из этой таблицы, континuum значений каждого из показателей ПВПК методом перцентилей разделен на семь уровней развития. Показателям, значения которых менее 3 перцентиляй, присваивали ранг «очень низкий»; более 3, но менее 10, — «низкий»; более 10, но менее 25, — «средненизкий»; более 25, но менее 75, — «средний»; более 75, но менее 90, — «средневысокий»; более 90, но менее 97, — «высокий»; более 97 — «очень высокий».

В I группу (21 человек) вошли испытуемые с высоким и очень высоким уровнями развития ПВПК; во II (70 человек) — со средневысоким и средним; в III (59 человек) — со средненизким; в IV (20 человек) — с низким и очень низким. В дальнейшем эти группы получили название групп профессиональной пригодности. В табл. 2 представлены усредненные по группам профпригодности значения показателей психофизиологического статуса и ИП успешности учебно-тренировочной деятельности (УТД) — полусумма аттестационных оценок по курсам специальной теоретической и тренажерной подготовок (по пятибалльной системе). Анализ табл. 2 показывает, что выделенные группы профпригодности имеют статистически достоверные различия успешности освоения профессии. Исключение составляют лишь различия эффективности обучения в I и II группах профпригодности. Этот факт свидетельствует о том, что для успешного освоения профессии оператора вполне достаточно среднего уровня развития ПВПК. Однако в дальнейшем операторы I группы профпригодности достигают более высокого уровня профессионального мастерства. Как показано в наших исследованиях [2], надежность операторов I группы профпригодности на порядок выше, чем операторов II. Наиболее выражены межгрупповые различия I и II групп профпригодности по показателям, характеризующим внимание и умственную работоспособность, скорость переработки информации, оперативное мышление и уровень развития интеллекта, памяти. Менее значительно операторы I и II группы профпригодности различаются по личностным особенностям. Хотя следует отметить, что операторы I группы профпригодности более самостоятельны и уверены в себе. У них выше помехоустойчивость и ниже уровень тревожности, чем у операторов II группы профпригодности. Они отличаются решительностью и гибкостью поведения. Более высокие значения шкалы Рд

у операторов II группы профпригодности свидетельствуют о том, что у них менее выражена способность к социальной адаптации.

Эффективность овладения профессией обучающихся I группы профпригодности значительно выше, чем III. Соответственно показатели психофизиологического статуса операторов I группы профпригодности выше в несколько раз, а в отдельных случаях — более чем на порядок. Высокодостоверны и различия показателей профиля личности. В наибольшей мере они выражены по шкалам Нs и Ну, что свидетельствует о некоторой склонности людей, составляющих III группу профпригодности, к ипохондричности, медлительности, пессимизму, сочетающихся со сниженной способностью контролировать эмоциональные реакции и недостаточностью критической оценки ситуации и своего поведения. Такой тип профиля является психоаналитическим коррелятом затруднений при групповой деятельности, особенно если она требует длительного сосредоточенного внимания и тщательности исполнения. Более высокие значения шкал Рd и Рt указывают на то, что индивидам III группы профпригодности свойственна склонность к тревожности, нарушениям функции внимания (подтверждаемая резким снижением ИП ИКВ в этой группе). Неблагоприятное сочетание личностных качеств и нарушений психофизиологического статуса детерминирует негативные отклонения процесса формирования специфических профессиональных навыков, что приводит в дальнейшем к снижению надежности и экономичности управления энергоблоком. По нашим данным, 45 % операторов, совершивших аварии, относятся к III группе профпригодности [2].

Максимальные значения межгрупповых различий эффективности учебно-тренировочной деятельности операторов отмечаются между I и IV группами профпригодности. Психофизиологические показатели у операторов I группы, отражающие уровни развития умственной работоспособности, внимания, оперативного мышления, на порядок и более превышают соответствующие показатели у операторов IV группы профпригодности. Статистически достоверны и различия личностных особенностей обучающихся, составляющих эти группы. Анализ результатов, представленных в табл. 2, показывает, что личностными коррелятами операторов IV группы профпригодности являются ипохондричность, депрессивность, нерешительность, тревожность, подозрительность, низкие обучаемость и адаптивность, затруднения в межличностных контактах и при выполнении совместной работы. Указанные особенности профиля личности сочетаются с импульсивностью, агрессивностью, снижением самокритичности и самоконтроля. При этом отмечается выраженная резистентность к корректирующим воздействиям средствами профподготовки (индивидуализация обучения). Вместе с тем необходимо подчеркнуть, что изменения профиля личности у операторов III и IV групп профпригодности не достигают клинической выраженности. Обычно наблюдается лишь акцентуация личности [4].

Успешность овладения профессией у людей, составляющих II группу профпригодности, намного выше, чем у людей III группы. Различия значений психофизиологических показателей операторов II и III групп профподготовки велики, хотя и несколько менее выражены, чем такие I и III группы.

Различия профиля личности обучающихся этих групп профпригодности статистически достоверны лишь по шкалам Нs и Ну. Наиболее выраженные межгрупповые различия эффективности учебно-тренировочной деятельности операторов отмечаются между II и IV группами профпригодности. По ряду психофизиологических показателей абсолютное значение критерия Стьюдента достигает даже более высокого уровня, чем между I и IV группами профпригодности. В то же время, межгрупповые различия по шкалам Рt и Я у этого контингента испытуемых не достигают уровня статистически значимых.

Эффективность обучения операторов III группы профпригодности достоверно выше, чем IV. У них более высокие показатели психофизи-

Таблица 1. Ранжирование результатов психофизиологического обследования

Показатель	Ранг показателя					Оценка визуал
	Очень высокий	Высокий	Средний	Средне-низкий	Низкий	
320,0	300,1—320,0	220,1—300,0	100,1—200,0	67,1—100,0	67,1—67,0	≥ 27,0
377,0	312,1—377,0	210,1—312,0	64,1—210,0	24,1—64,0	7,1—24,0	≥ 7,0
>1,6	1,21—1,6	1,21—1,5	0,91—1,2	0,81—0,9	0,71—0,8	0,7—0,8
>5,2	3,8—5,2	4,6—5,2	2,6—3,7	1,8—2,5	1,1—1,7	≤ 1,0
300,0	400,0	500,0	600,0	700,0	800,0	900,0
			600,0	600,0	600,0	≤ 3,0

свиде́тельствуют о том, что в процессе профпригодности учащихся I группы профпригодно-показатели соответствуют показателям профпригодности — более чем на порядок. профиля личности. В наименование, что свидетельствует III группу профпригодности, сочетающихся мотивационные реакции и своего поведения. Ким коррелятом затруднения она требует длительности исполнения. Более на то, что индивидам есть к тревожности, на-резким снижением ИП ие личностных качеств детерминирует негатив-ических профессиональ-снижению надежности нашим данным, 45 % III группе профпригод-

азличий эффективности отмечаются между I логические показатели развития умственной работы, на порядок и более авторов IV группы проф-различия личностных группы. Анализ резуль-тально личностными корре-и являются ипохондрич-важность, подозритель-уднения в межличност-ой работе. Указанные импульсивностью, агрес-сивностью, моноконтроля. При этом профиля личности у опе-тигают клинической вы-туации личности [4]., составляющих II группе III группы. Различия операторов II и III групп ее выражены, чем тако-

этих групп профпригод-там Hs и Hu. Наиболее явности учебно-трениро-тежду II и IV группами ских показателей абсолют даже более высокого одности. В то же время, этого контингента испы-чимых. Группы профпригодности показатели психофизио-

Таблица 1. Ранжирование результатов психофизиологического обследования

Показатель	Ранг показателя				Низкий	Очень низкий
	Средне-высокий	Высокий	Средне-высокий	Средний		
TM, усл. ед.	>320,0	300,1—320,0	220,1—300,0	100,1—200,0	67,1—100,0	27,1—67,0
ОМП, усл. ед.	>377,0	312,1—377,0	210,1—312,0	64,1—210,0	24,1—64,0	7,7—24,0
СПИ, бит/с	>1,6	1,51—1,6	1,21—1,5	0,91—1,2	0,81—0,9	0,7—0,8
КЗП, усл. ед.	>5,2	4,6—5,2	3,8—4,5	2,6—3,7	1,8—2,5	1,1—1,7
ФП ЦНС, мс	300,0	400,0	500,0	600,0	700,0	800,0
ИП ИКВ, усл. ед.	>206,0	130,1—206,0	68,1—130,0	22,1—68,0	9,1—22,0	3,1—9,0
ИП ТСИ, усл. ед.	>140,0	121,0—140,0	101,0—120,0	66,0—100,0	46,0—65,0	31,0—45,0
СМИЛ, Т-ед.	>75,0	68,1—75,0	61,1—68,0	51,1—61,0	47,1—51,0	42,1—47,0
Hs	60,1—67,0	54,1—60,0	40,1—54,0	36,1—40,0	32,1—36,0	32,1—35,0
D	>67,0	58,1—62,0	52,1—58,0	40,1—52,0	35,1—40,0	32,1—35,0
Hu	>62,0	58,1—62,0	52,1—62,0	48,1—52,0	43,1—48,0	43,1—48,0
Pd	>75,0	68,1—75,0	62,1—68,0	55,1—62,0	51,1—55,0	47,1—51,0
Sc	>75,0	68,1—75,0	62,1—68,0	61,1—70,0	57,1—61,0	54,1—57,0
Pt	>79,0	75,1—79,0	70,1—75,0	58,1—63,0	54,1—57,0	54,0—57,0
Ja	>72,0	60,1—72,0	51,1—60,0	38,1—51,0	34,1—38,0	31,1—31,0

Примечание. Здесь и в табл. 2 — расшифровка аббревиатур в тексте.

Таблица 2. Результаты психофизиологического обследования обучающихся в УЦ различных групп профпригодности в начале профподготовки

Показатель	Группа профпригодности				Межгрупповое различие					
	I	II	III	IV	I/II	I/III	I/IV	II/III	II/IV	III/IV
ИП УД, баллы	3,9±0,1	3,8±0,1	3,5±0,1	2,9±0,1	—	—	—	XXX	XXX	XXX
КП, усл. ед.	3,6±0,1	3,3±0,1	3,0±0,1	2,5±0,1	XX	XX	XX	XX	XX	XX
СПИ, бит/с	1,5±0,1	1,2±0,1	1,0±0,1	0,9±0,1	XXX	XXX	XXX	XXX	XXX	XXX
ОМ, усл. ед.	317,0±28,0	202,0±12,0	198,0±11,0	127,0±8,0	30,0±4,0	XXX	XXX	XXX	XXX	XXX
ТМ, усл. ед.	241,0±23,0	113,0±12,0	39,0±4,0	8,0±0,8	70,0±12,0	—	XXX	XXX	XXX	XXX
ИП ИКВ, усл. ед.	112,0±6,0	92,0±3,6	72,0±6,0	58,0±7,0	XX	XX	XX	XXX	XXX	XXX
СМИЛ, Т-ед.	52,0±1,0	53,0±1,0	58,0±1,0	62,0±2,0	—	XXX	XXX	XXX	XXX	XXX
Hs	44,0±1,6	44,0±1,0	47,0±1,0	50,0±2,0	—	X	X	X	X	X
D	43,0±1,0	44,0±1,5	48,0±1,0	51,0±1,6	—	XX	XX	XX	XX	XX
Hu	54,0±1,6	57,0±1,6	58,0±1,0	62,0±2,0	—	X	X	X	X	X
Pd	56,0±1,0	57,0±1,0	59,0±1,0	61,0±1,0	—	—	—	—	—	—
Sc	62,0±1,0	65,0±1,0	66,0±1,0	67,0±1,6	—	X	X	X	X	X
Pt	42,0±1,0	45,0±1,0	48,0±2,1	48,0±2,1	—	XX	XX	XX	XX	XX

Примечания: x — P>95; xx — P>0,99; xxx — P>0,999; прочерк — различия статистически недостоверны.

логического статуса, однако лишь часть из них достигает статистически достоверных значений. Имеющиеся различия личностных особенностей статистически недостоверны, хотя у испытуемых IV группы профпригодности изменения профиля личности носят более неблагоприятный характер.

Дальнейшее изучение эффективности учебно-тренировочной и последующей профессиональной деятельности испытуемых различных групп профпригодности позволило разработать комплексные «портреты» этих групп.

I группа (абсолютно пригодные) — это здоровые и практически здоровые операторы (кандидаты в операторы) с высоким и очень высоким уровнями развития ПВПК. Для них характерна большая скорость усвоения теоретического материала и профессиональных навыков. Коррекция ошибочных действий при работе на тренажерах происходит у них в течение одного-двух повторов. Для этой категории обучающихся целесообразно сокращение сроков теоретического обучения (без изменения его объема), а также расширение и усложнение тренажерной подготовки (без превышения плановых сроков профподготовки). Профессиональная деятельность операторов этой группы профпригодности отличается высокой эффективностью и надежностью, что, по нашему мнению, объясняется высоким уровнем развития ПВПК у них. В общей совокупности операторы этой группы составляют 15%, а среди виновников аварий — 3%, т. е. в 5 раз меньше, чем в общей совокупности.

Во II группу (профессионально пригодные) включены здоровые и практически здоровые операторы и кандидаты в операторы со средним и средневысоким уровнями развития ПВПК. Формирование операторской деятельности у них осуществляется в течение плановых сроков профподготовки. В стационарном режиме функционирования энергоблока операторы этой группы обеспечивают должные надежность и экономичность. В переходных режимах они могут допускать ошибки, но обычно своевременно их обнаруживают и устраняют. При этом, как правило, существенного нарушения динамики переходного режима не происходит, возможно лишь некоторое снижение экономичности. Операторы II группы профпригодности в общей совокупности составляют 58%, а среди операторов виновников аварий — 32%.

III группу профпригодности (условно пригодные) составляют здоровые и практически здоровые операторы (кандидаты в операторы) со средненизким уровнем развития ПВПК. Для них необходима тщательная индивидуализация учебно-тренировочной деятельности с целью повышения ее эффективности и коррекции уровня развития ПВПК. При этом требуются дополнительные занятия для усвоения теоретического материала и устранения ошибочных действий при имитации операторской деятельности на полномасштабном тренажере. Операторам этой категории свойственны снижение экономичности управления энергоблоком в стационарном режиме и резкое возрастание вероятности ошибки управления, сочетающееся со снижением вероятности ее своевременного обнаружения и исправления, в переходных режимах. В общей совокупности операторов индивиды III группы профпригодности составляют 20%, а среди виновников аварий — 45%.

К IV группе профпригодности (не пригодные к операторскому труду) относятся люди с низким и очень низким уровнями развития ПВПК, а также с прогностически неблагоприятными изменениями структуры личности, описанными выше. Для них характерна повышенная заболеваемость, обусловленная несоответствием психофизиологического статуса требованиям операторской деятельности. Последняя у них не формируется даже при индивидуализации профподготовки либо формируется с очень низким уровнем надежности. В общей совокупности они составляют только 6,7%, а среди виновников аварий — 20%. Профессиональная подготовка, а также использование на операторских должностях индивидов IV группы профпригодности нецелесообразны, так как подавляющее большинство людей, составляющих эту группу, име-

ют некорригируемые предрасположенности.

Для проверки гипотезы о соответствующем влиянии профпригодности на успешность операторской деятельности в УГД было проведено исследование, в ходе которого определялось соотношение реальных и вспомогательных столбиков в таблице оценки операторской деятельности.



Соотношение реальных и вспомогательных столбиков в таблице оценки операторской деятельности

модели учёты, памяти, а ции биоэлектромагнитно-множественного состояния оператора.

Результаты исследования показали, что для группы I (нормальные операторы) соотношение реальных и вспомогательных столбиков (0,1) соответствует (14,5%). Такое соотношение превышает 0,1.

Использование критериям проверки проводимости учебной деятельности. Кроме того, провести педагогическую индивидуальную

их достигает статистическая личностных особенностей IV группы профсия более неблагоприят-

ую-тренировочной и последующих различных групп комплексные «портреты»

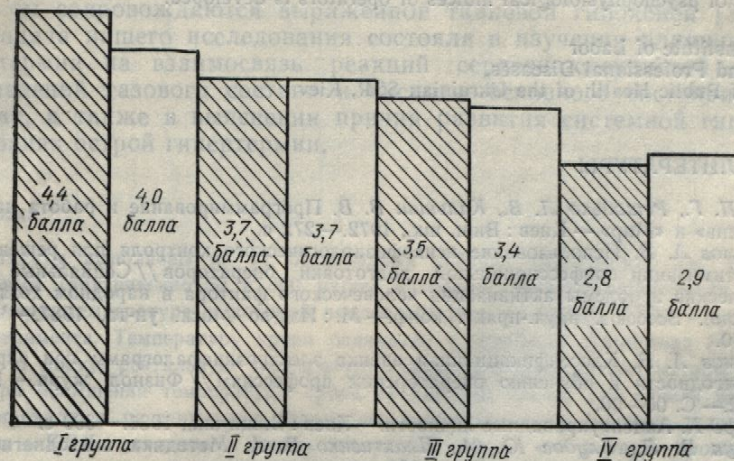
здоровые и практически с высоким и очень вы- арактерна большая скопом профессиональных навыков. в тренажерах происходит категория обучающихсяского обучения (без из- усложнение тренажерной профподготовки). Про- группы профпригодностиностью, что, по нашему ПВПК у них. В об- авляют 15%, а среди ви- вем в общей совокупности. включены здоровые в операторы со сред- К. Формирование опера- гечение плановых сроков го- нкционирования энерго- должны надежность могут допускать ошиб- и устраниют. При этом, и переходного режима нижение экономичности, совокупности состав- при — 32%.

одные) составляют здо- дидаты в операторы) со их необходима тщатель- ятельности с целью по- я развития ПВПК. При усвоения теоретического при имитации оператор- жере. Операторам этой и управления энергобло- ние вероятности ошибки тности ее своевременно- режимах. В общей сово- фпригодности составля-

ые к операторскому тру- овнями развития ПВПК, изменениями структуры на повышенная заболе- тофизиологического ста- йоследняя у них не фор- одготовки либо форми- общей совокупности они аварий — 20%. Профес- на операторских долж- и нецелесообразны, так- ющих эту группу, име-

ют некорректируемые психофизиологические и личностные факторы предрасположенности к авариям.

Для прогнозирования эффективности учебно-тренировочной деятельности в УТЦ и определения группы профпригодности разработаны соответствующие многомерные регрессионные модели. Точность прогноза успешности освоения операторской деятельности и определения групп профпригодности, по результатам входного психофизиологического обследования, составляет 94—95%. Прогностические регрессионные



Соотношение реального (заштрихованные столбики) и прогнозируемого (незаштрихованные столбики) значений среднегруппового интегрального показателя успешности освоения операторской деятельности.

модели учитывают личностные особенности, уровень развития интеллекта, памяти, а также особенности пространственно-временной организации биоэлектрической активности головного мозга [3]. Коэффициент множественной корреляции (R) успешности профессионального обучения операторов с этими показателями составляет 0,83.

Результаты сопоставительного анализа интегрального показателя успешности профподготовки обучающихся различных групп профпригодности (полусумма аттестационных оценок теоретических значений и эффективности деятельности на полномасштабном тренажере в различных оперативных ситуациях) и ее прогноза, по результатам входного психофизиологического обследования, представлены на рисунке. Как видно из приведенной диаграммы, расчетное значение ИП УТД (незаштрихованные столбики) в большей мере соответствует реальному. Следует отметить, что прогнозируемое и реальное значения ИП УТД полностью совпали у 15 обучаемых из 55, вошедших в контрольную группу (28%). Погрешность прогноза распределяется следующим образом: 0,1 балла и менее — 6 случаев (11%); 0,2 балла — 10 (19%); 0,3 балла — 8 (14,5%); 0,4 балла — 7 (13%); 0,5 баллов и более — 8 (14,5%). Таким образом, более чем в 70% случаев ошибка прогноза не превышает 0,3 балла (по пятибалльной системе оценки).

Использование высоконадежного количественного прогноза успешности освоения операторской деятельности по психофизиологическим критериям позволяет достаточно точно оценить не только целесообразность проведения профподготовки, но и потенциальный уровень эффективности учебно-тренировочной деятельности индивида, учебную мотивацию. Кроме того, такой прогноз успешности позволяет своевременно провести педагогическую и психофизиологическую коррекцию с учетом индивидуально-психологических особенностей обучающегося.

PREDICTION OF SUCCESS OF VOCATIONAL TRAINING
OF OPERATORS IN THE TRAINING CENTRES
ON PSYCHOPHYSIOLOGIC AND PERSONALITY CRITERIA

Psychophysiological criteria to predict success of mastering of the profession of operator and to determine a group of professional fitness are described in the work. A system of ranging of psychophysiological indices of operators is developed.

Research Institute of Labor
Hygiene and Professional Diseases,
Ministry of Public Health of the Ukrainian SSR, Kiev

СПИСОК ЛИТЕРАТУРЫ

1. Богач П. Г., Решебко Л. В., Кальниш В. В. Программирование и работа на ЭВМ «Проминь» и «Мир». — Киев : Виц. шк., 1972. — 272 с.
2. Герасимов А. В. Использование психофизиологического контроля для решения задач оптимизации профессиональной подготовки операторов // Социальные и психологические проблемы активизации человеческого фактора в народном хозяйстве : Тез. докл. Всесоюз. науч.-практ. конф. — М. : Изд-во Моск. ун-та, 1987. — Ч. 2 — С. 9—10.
3. Герасимов А. В. Классификационная оценка электроэнцефалограмм при определении пригодности к обучению операторским профессиям // Физиол. журн. — 1990. — № 2. — С. 00—00.
4. Леонгард К. Акцентуированные личности. — Киев : Вища шк., 1981. — 390 с.
5. Мартишук В. Л., Блудов Ю. М., Плахтиченко В. А. Методики психодиагностики в спорте. — М. : Просвещение, 1984. — 191 с.
6. Методические рекомендации по профессиональному отбору и определению профоргидности работников ведущих профессий тепловых электростанций и предприятий электрических сетей / Конов И. Г., Бузунов В. А., Коломийченко Е. А. — М. : СПО Союзтехэнерго, 1983. — 44 с.
7. Навакатикян А. О., Крыжановская В. В., Кальниш В. В. Физиология и гигиена умственного труда. — Киев : Здоров'я, 1987. — 152 с.
8. Психофизиологическое обеспечение профессиональной подготовки и повышения квалификации операторов энергопредприятий : Метод. рекомендации / Герасимов А. В., Бузунов В. А., Петленко Ю. А. — Киев, 1987. — 40 с.
9. Психофизиологические методы и критерии оценки успешности профессиональной деятельности оперативного персонала ГРЭС : Метод. рекомендации / Майдиков Ю. Л., Макаренко Н. В., Петленко Ю. А., Герасимов А. В. — Киев, 1984. — 54 с.
10. Сепетиев Д. А. Статистические методы в научных медицинских исследованиях. — М. : Медицина, 1986. — 419 с.

Киев, науч.-исслед. ин-т гигиены труда
и профзаболеваний М-ва здравоохранения УССР

Материал поступил
в редакцию 20.04.88

УДК 612.014.43+612.13+612.23+612.26

Т. В. Шиманская, М. И. Гуревич, В. Ф. Сагач, В. И. Бойко

**Влияние перегревания собак
на кардио- и гемодинамику
и кислотно-основное состояние крови**

В быту и на производстве человек нередко подвергается воздействию высоких температур различной интенсивности. Экспериментальные исследования влияния тепловых нагрузок на организм дают существенную информацию о переносимости действия высокой температуры. Как известно, функциональные возможности сердечно-сосудистой и дыхательной систем являются важнейшими лимитирующими звенями, определяющими устойчивость организма к тепловой нагрузке. Данные, полученные в результате многочисленных исследований, характеризу-

ют отдельные мы, вклад раз-
ганизма в усл-
Показано-
тию системно-
них авторов
нию других [
снижение его
процессы сопр

Задача на
гипертермии и
изменений у
собак, а так
в условиях ост-

Методика

Эксперименты вып-
уретановым (внут-
ую камеру, темпе-
го эксперимента. Т

При повышен-
регистрировали и
давление — КДД, dp/dt , частоту серд-
ления), системной
люции [1], систем-
ние — ЦВД, давле-
ление — ОПС, сопро-
УОК), регионарной
рениной артерии — А
вотока с помощью
БИ, сопротивле-
ния — СДН, растяже-
[2]). Регистрирова-
ров записывались са-
(«Симен-Элема», ФР
нозной крови опре-
дельной крови брали
сердца. Концентраци-
чет параметров кисл-
граммам [18].

Статистическая
дента.

Результаты и их об-

Тепловая нагрузка
к развитию двух-
лотно-основного с-
пертермии, когда
должалась 72 мин-
щения и дыхания
ходных значений
фаза выраженной
40 °C. В это врем-
ки и кислотно-осно-
вание сердечно-сосуд-
пературе крови о-
в наших экспериме-

ют отдельные стороны функционирования сердечно-сосудистой системы, вклад различных ее звеньев в поддержание жизнедеятельности организма в условиях гипертермии.

Показано, что интенсивная тепловая нагрузка приводит к развитию системной гипотензии, где ключевую роль играют, по мнению одних авторов [14, 17], изменения регионарной гемодинамики, по мнению других [13, 19] — значительное возрастание нагрузки на сердце, снижение его резервов и в конечном итоге повреждение миокарда. Эти процессы сопровождаются выраженной тканевой гипоксией [3, 7].

Задача нашего исследования состояла в изучении влияния острой гипертермии на взаимосвязь реакций сердечно-сосудистой системы и изменений газового состава и кислотно-основного состояния крови у собак, а также в выяснении причин развития системной гипотензии в условиях острой гипертермии.

Методика

Эксперименты выполнены на 12 беспородных собаках (12—18 кг) под хлоралозоуретановым (внутривенно 50 и 500 мг/кг) наркозом. Животных помещали в тепловую камеру, температура в которой поддерживалась на уровне 50 °C в течение всего эксперимента. Температуру крови оценивали с помощью термистера МТ-54, введенного в аорту, ректальную температуру определяли электротермометром ТПЭМ-1.

При повышении температуры крови на каждый градус (до гибели животного) регистрировали и рассчитывали параметры кардиодинамики (конечно-диастолическое давление — КДД, давление в левом желудочке — $p_{лж}$, его первую производную — dp/dt , частоту сердечных сокращений — ЧСС, индекс сократимости и индекс расслабления), системной гемодинамики (минутный объем крови — МОК методом терmodиллюции [1]), системное артериальное давление — САД, центральное венозное давление — ЦВД, давление в легочной артерии — ДЛА, общее периферическое сопротивление — ОПС, сопротивление в легочной артерии — СЛА, ударный объем крови — УОК), регионарной гемодинамики, в частности, задней конечности (давление в бедренной артерии — АД_б, венозное давление оттока — ВД_{от}, объемную скорость кровотока с помощью магистрального датчика электромагнитного флюметра РКЭ-2-БИ, сопротивление бассейна бедренной артерии — БС, среднее давление наполнения — СДН, растяжимость венозной части исследуемого участка сосудистого русла [2]). Регистрировали также частоту дыхания — ЧД. Характеристики всех параметров записывались синхронно на восьмиканальном поликардиографе Мингограф-82 («Симен-Элема», ФРГ, Швеция). Газовый состав, pH артериальной и смешанной венозной крови определяли на газоанализаторе BMS 3 Mk 2 (Дания), пробы артериальной крови брали из левого желудочка, смешанной венозной — из правого предсердия. Концентрацию гемоглобина оценивали гемоглобинцианидным методом. Расчет параметров кислотно-основного состояния крови (КОС) производили по номограммам [18].

Статистическая обработка данных производилась с помощью критерия t Стьюдента.

Результаты и их обсуждение

Тепловая нагрузка (температура окружающего воздуха 50°) приводит к развитию двухфазной реакции сердечно-сосудистой системы и кислотно-основного состояния крови. Первая фаза — фаза умеренной гипертермии, когда температура крови ($T_{кп}$) составляла 40 °C, продолжалась 72 мин ± 5 мин. Изменения параметров системы кровообращения и дыхания происходили на фоне несущественных колебаний исходных значений системного артериального давления. Вторая фаза — фаза выраженной гипертермии, когда температура крови превышает 40 °C. В это время отмечались существенные нарушения гемодинамики и кислотно-основного состояния крови, резкое падение САД, развитие сердечно-сосудистой недостаточности и гибель животного при температуре крови около 43 °C. Продолжительность жизни животных в наших экспериментах составляла 112,3 мин ± 5,4 мин.

Некоторое первоначальное уменьшение САД во время умеренной гипертермии, по-видимому, было обусловлено падением ОПС в начале нагревания вследствие периферической вазодилатации и постепенным

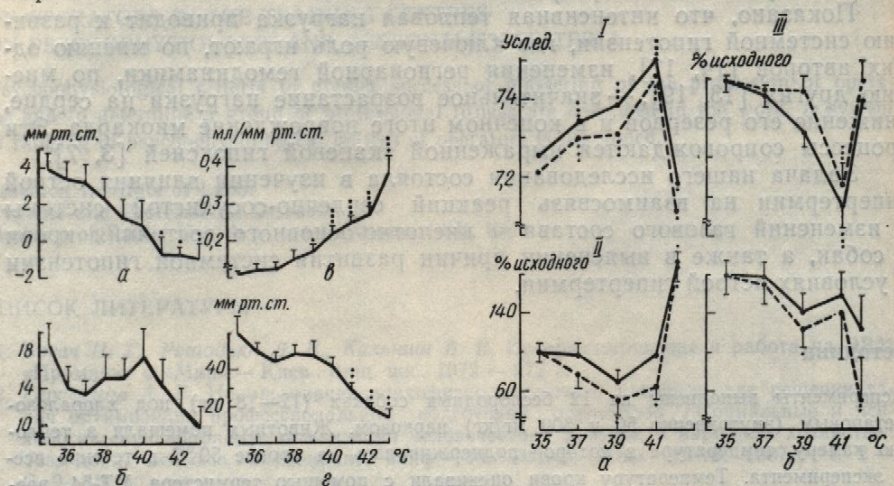


Рис. 1. Влияние острого перегревания собак на показатели гемодинамики:
а — центральное венозное давление; б — венозное давление оттока в конечности; в — растяжимость емкостных сосудов кожно-мышечной области; г — среднее давление наполнения в сосудах конечности. Здесь и на рис. 2 точками обозначены статистически достоверные различия (одна точка — $P < 0,05$, две точки — $P < 0,01$, три точки — $P < 0,001$).

Рис. 2. Изменение параметров кислотно-основного состояния (а) артериальной (сплошная линия) и венозной (прерывистая линия) крови, ее газового состава (б) при гипертермии:

I — pH; II — дефицит оснований, III — напряжение углекислого газа; IV — напряжение кислорода.

Таблица 1. Влияние тепловой нагрузки на показатели гемодинамики у собак, % исходного значения

Показатель гемодинамики	Температура крови			
	36 °C	37 °C	38 °C	39 °C
Системное артериальное давление	92±6,8	93±6,7	89±6,5	92±6,4
Частота сердечных сокращений	101±8,7	110±6,6	116±5,3	122±5,6
Минутный объем крови	106±5,1	98±8,1	105±9,2	104±10,7
Общее периферическое сопротивление	77±10,2*	90±9,4	91±9,7	101±8,3
Среднее давление в легочной артерии	87±11,2	87±11,8	80±10,2	74±10,2*
Сопротивление в легочной артерии	90±15,7	92±17,9	79±5,2	59±16,2

Показатель гемодинамики	Температура крови			
	40 °C	41 °C	42 °C	43 °C
Системное артериальное давление	101±6,0	86±5,8	57±7,7***	42±8,6***
Частота сердечных сокращений	131±6,1*	152±4,9**	163±4,5***	148±4,2**
Минутный объем крови	116±9,0	92±16,5	72±18,7	45±11,2***
Общее периферическое сопротивление	83±9,3	96±9,7	91±11,3	84±9,4
Среднее давление в легочной артерии	72±14,8*	64±9,7**	72±12,6*	50±12,7**
Сопротивление в легочной артерии	57±9,2*	84±14,3	128±11,3	221±16,2**

* $P < 0,05$; ** $P < 0,01$; *** $P < 0,001$.

снижением сопротивления в. При T_{kp} 40 °C САД достигало имел тенденцию к возрастанию кратительной активности мышц (табл. 2). Развитие умеренной средней давления наполнения растяжимости емкостных сосудов имело тенденцию к снижению (расслабления). Несмотря на нимавший характер полипноэ, удалось снижением напряжения карбонатов (HCO_3^-) в крови и возрастанием на развитие дыхательного центра при этом достоверно даже увеличивалось (рис. 2). Гипертермия (до 40 °C) изменила газовый состав и не нарушений и дыхания и не сохранились, по-видимому, на сохраняется компенсированы и дальнейшее развитие рецидива), происходящее при T_{kp} 40 °C.

Таблица 2. Влияние тепловой нагрузки на показатели гемодинамики у собак

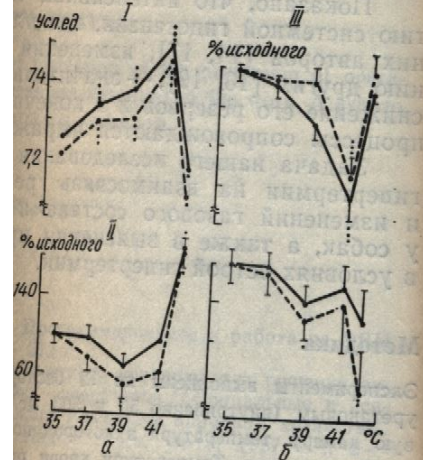
Показатель кардиодинамики	35 °C
Конечно-диастолическое давление в левом желудочке, мм рт. ст.	6,3±1,1
Давление в левом желудочке, мм рт. ст.	161,4±9,3
Скорость подъема давления в левом желудочке, мм рт. ст./с	4441±36
Скорость снижения давления в левом желудочке, мм рт. ст./с	3225±32
Индекс сократимости, c^{-1}	54,6±5,
Индекс расслабления	22,3±2,

Показатель кардиодинамики	40 °C
Конечно-диастолическое давление в левом желудочке, мм рт. ст.	3,5±1
Давление в левом желудочке, мм рт. ст.	177,4±
Скорость подъема давления в левом желудочке, мм рт. ст./с	5377±
Скорость снижения давления в левом желудочке, мм рт. ст./с	3717±
Индекс сократимости, c^{-1}	59,9±
Индекс расслабления	23,0±

* $P < 0,05$; ** $P < 0,01$.

Физиол. журн., 1990, т. 36,

шение САД во время умеренной тепловой нагрузки было падением ОПС в начале и вазодилатации и постепенным



оказатели гемодинамики:
— давление оттока в конечности; σ — растяжимость
нее давления наполнения в сосудах конечности;
— достоверные различия (одна точка) —
о состояния (а) артериальной (сплошные линии),
ее газового состава (б) при ги-
кислого газа; IV — напряжение кислорода.

оказатели гемодинамики у собак,

Температура крови		
37 °C	38 °C	39 °C
93±6,7	89±6,5	92±6,4
0±6,6	116±5,3	122±5,6
8±8,1	105±9,2	104±10,7
0±9,4	91±9,7	101±8,3
7±11,8	80±10,2	74±10,2*
2±17,9	79±5,2	59±16,2

Температура крови		
40 °C	41 °C	42 °C
5,8	57±7,7***	42±8,6***
4,9**	163±4,5***	148±4,2**
16,5	72±18,7	45±11,2***
9,7	91±11,3	84±9,4
9,7**	72±12,6*	50±12,7**
14,3	128±11,3	221±16,2**

снижением сопротивления в малом круге кровообращения (табл. 1). При T_{kp} 40 °C САД достигало исходного значения. МОК в это время имел тенденцию к возрастанию за счет учащения ЧСС. Параметры сократительной активности миокарда также несколько увеличивались (табл. 2). Развитие умеренной гипертермии сопровождалось снижением среднего давления наполнения в конечности и некоторым увеличением растяжимости емкостных сосудов кожно-мышечной области. ЦВД имело тенденцию к снижению (рис. 1). Увеличение частоты дыхания, принимавшей характер полипноэ при температуре выше 40 °C, сопровождалось снижением напряжения CO_2 , концентрации истинных бикарбонатов (HCO_3^-) в крови и возрастанием pH_a с 7,25 до 7,50, что указывает на развитие дыхательного алкалоза. Напряжение O_2 в артериальной крови при этом достоверно не изменялось, а в некоторых случаях даже увеличивалось (рис. 2). Таким образом, при развитии умеренной гипертермии (до 40 °C) изменения, происходившие в системе кровообращений и дыхания и не носившие ярко выраженный характер, направлены, по-видимому, на сохранение теплового баланса организма и могут быть компенсированы им после прекращения тепловой нагрузки. Дальнейшее развитие реакции на тепловую нагрузку (вторая фаза), происходящее при T_{kp} животного выше 40 °C и вплоть до гибели

Таблица 2. Влияние тепловой нагрузки на показатели кардиодинамики у собак

Показатель кардиодинамики	Температура крови				
	35 °C	36 °C	37 °C	38 °C	39 °C
Конечно-диастолическое давление в левом желудочке, мм рт. ст.	6,3±1,1	6,4±1,1	6,6±0,8	5,6±1,7	5,0±1,4
Давление в левом желудочке, мм рт. ст.	161,4±9,3	153,6±9,4	153,6±10,6	156,8±13,8	163,4±11,6
Скорость подъема давления в левом желудочке, мм рт. ст./с	4441±367	3636±294	3442±388	3262±387	5026±559
Скорость снижения давления в левом желудочке, мм рт. ст./с	3225±324	2896±344	3231±376	3238±337	3625±456
Индекс сократимости, c^{-1}	54,6±5,5	55,4±4,2	53,3±4,2	56,5±7,1	60,4±7,6
Индекс расслабления	22,3±2,0	23,6±3,1	28,5±2,8	23,8±1,6	25,9±1,6

Показатель кардиодинамики	Температура крови			
	40 °C	41 °C	42 °C	43 °C
Конечно-диастолическое давление в левом желудочке, мм рт. ст.	3,5±1,6	3,3±1,0	2,1±1,7	0,24±1,40**
Давление в левом желудочке, мм рт. ст.	177,4±15,8	163,6±9,1	146,0±14,7	119,2±12,9*
Скорость подъема давления в левом желудочке, мм рт. ст./с	5377±530	4538±455	3492±199*	2823±229**
Скорость снижения давления в левом желудочке, мм рт. ст./с	3717±204	2947±168	2740±219	2297±203*
Индекс сократимости, c^{-1}	59,9±4,7	47,2±4,1	46,4±3,4	46,6±1,2
Индекс расслабления	23,0±2,5	15,5±1,1*	11,2±1,7**	16,1±1,2*

* $P < 0,05$; ** $P < 0,01$.

животного ($T_{\text{кр}} 43^{\circ}\text{C}$), характеризовалось выраженными сдвигами кардио- и гемодинамики и КОС крови. Резкое падение САД (до 42% при $T_{\text{кр}} 43^{\circ}\text{C}$) сочеталось со значительным уменьшением сердечного выброса (до 45% при $T_{\text{кр}} 43^{\circ}\text{C}$) на фоне увеличения сопротивления в легочной артерии и малоизмененного ОПС (см. табл. 1). Это свидетельствует о том, что развитие гипотензии обусловлено уменьшением производительности сердца. Маловероятно, что столь существенное снижение насосной функции сердца явилось результатом падения сократительной активности миокарда, поскольку при $T_{\text{кр}} 41^{\circ}\text{C}$ достоверно уменьшается только индекс расслабления сердца (см. табл. 2). Одной из основных причин резкого падения МОК в условиях выраженной гипертермии, по-видимому, является ограничение венозного возврата крови к сердцу. Об этом также свидетельствует существенное снижение ЦВД и КДД_{лж} (на 126% и 96% соответственно при $T_{\text{кр}} 43^{\circ}\text{C}$).

Исследование реакции сосудов венозного русла конечности указывает на значительное (в 3,9 раза при $T_{\text{кр}} 43^{\circ}\text{C}$) увеличение растяжимости сосудов емкостного русла на примере кожно-мышечной области (см. рис. 1). Резкое уменьшение, в частности с $(41,4 \pm 5,8)$ мм рт. ст. до $(14,3 \pm 4,1)$ мм рт. ст., СДН в исследуемой области при $T_{\text{кр}} 43^{\circ}\text{C}$ ($P < 0,01$), в известной мере отражающее изменения системного давления наполнения, является дополнительным свидетельством дилататорной реакции венозных сосудов и последующего развития ограничения венозного возврата крови к сердцу.

Заслуживает внимания тот факт, что быстрое снижение артериального давления, как правило, начиналось при температуре около 41°C на фоне высокой оксигенации артериальной крови и дыхательного алкалоза. Во время развития системной гипотензии гипокапния становилась менее выраженной вследствие уменьшения минутного объема дыхания, как показано ранее [4]. Значение pH крови резко снижалось. Уменьшение, в частности с $(18,3 \pm 0,48)$ ммоль/л до $(14,5 \pm 1,26)$ ммоль/л ($P < 0,05$), концентрации стандартного бикарбоната в артериальной крови, значительное накопление кислых метаболитов (дефицит оснований при $T_{\text{кр}} 43^{\circ}\text{C}$ составил $16,0$ ммоль/л $\pm 2,0$ ммоль/л) свидетельствуют о развитии метаболического ацидоза в крови и преобладании анаэробных процессов и гипоксии в тканях в условиях развития гипотензии. Некоторое снижение $p_a\text{O}_2$ при $T_{\text{кр}} 43^{\circ}\text{C}$ указывает на наличие артериальной гипоксемии (см. рис. 2).

Как известно, система кровообращения играет ведущую роль в процессах теплоотдачи в условиях высокой внешней температуры. При умеренной гипертермии (до $T_{\text{кр}} 40^{\circ}\text{C}$) системное артериальное давление поддерживалось достаточно хорошо при повышенном сердечном выбросе. Его увеличение происходило за счет роста ЧСС. Когда температура тела поднималась до $41-42^{\circ}\text{C}$, наблюдался перелом, выражавшийся в резком падении САД и МОК. Прогрессирующее повышение ЧСС уже не обеспечивало поддержание сердечного выброса. Одновременно происходил резкий скачок и в снижении ЦВД. Одной из причин этого может быть увеличение растяжимости емкостных сосудов кожно-мышечной области, свидетельствующее, по-видимому, о снижении тонуса венозных сосудов и депонировании крови на периферии судистого русла. Как следствие этого, развивалось ограничение венозного возврата с последующим уменьшением сердечного выброса. Однако нельзя недооценивать и воздействие полипноэ на изменение венозного возврата крови к сердцу. Искусственная вентиляция с высоким давлением воздушного потока может задерживать венозный возврат и снижать сердечный выброс [11].

Падение давления в правом предсердии у собак при гипертермии, которое может свидетельствовать об ограничении венозного возврата, показано в ряде работ [14, 15, 17], но при этом отмечается снижение общей сосудистой растяжимости, рассчитываемой по соотношению изменений ЦВД и ОЦК [14]. В опытах на крысах каких-либо изменений общей сосудистой растяжимости при нагревании не обнаружено [10].

Однако представленные данные и не характеризуют изменимости у собак авторы отмечают уменьшению кровоснабжения.

Необходимо признать, что умеренной гипертермии, мы растяжимости емкостных сосудов исследуемой области значительно превышают это как фактор, играющий роль при температуре тела вида. Каковы же механизмы увеличения?

Принято считать, что дилататорная реакция обусловлена синергических волокнах [9, 12]. Во время теплового воздействия регуляторные сердечно-сосудистые гуморальные и местные термины, являющиеся следствием минутного объема дыхания, с другой стороны, накопления физических регуляторов на дыхание в крови и органах регуляцию локального тонуса в возбуждении чувствительного влияния на сосуды стимулируя синтез простагландинов при тепловых нагрузках.

Таким образом, острой гипертермии 50°C , приводит к резкому падению сердечного объема, является ограничение венозной растяжимости емкостных сосудов кожно-мышечной области, и, Сдвиги гемодинамики настолько окисленных продуктов являются одной из причин.

T. V. Shimanskaya, M. I. Gurevich

THE EFFECT OF SEVERE HYPERTERMIA AND ACID-BASE BALANCE

The effect of severe hypertermia on arterial pressure was maintained at a temperature of about 40°C . A fall in arterial pressure was observed at the rectal temperature.

The results suggest that the fall in arterial pressure is due to the fall of the compliance.

A. A. Bogomoletz Institute of Physiology, Academy of Sciences of the USSR

СПИСОК ЛИТЕРАТУРЫ

- Гуревич М. И., Берштейн А. С. Новый метод регистрации кровообращения у собак. СССР.—1967.—53, № 3.
- Дворецкий Д. П. Способ измерения общего сопротивления кровообращения и тканей при стабилизации температуры тела. С. 770—772.

Физиол. журн., 1990, т. 36, № 3

ось выраженными сдвигами кардиокардиограммы падение САД (до 42% при уменьшении сердечного выброса) и снижение сопротивления в легочном сопротивлении (см. табл. 1). Это свидетельствует о уменьшении производительности сердца (см. табл. 2). Одной из причин в условиях выраженной гипертермии венозного возврата крови является существенное снижение ЦВД при T_{kp} 43 °С.

быстрое снижение артериального давления при температуре около 41 °С в крови и дыхательного аллотензии гипокапния становятся причиной изменения минутного объема дыхания. pH крови резко снижался, с 7,48 до (14,5 ± 0,48) ммоль/л до стандартного бикарбоната (16,0 ммоль/л ± 2,0 ммоль/л) и ацидоза в крови и пресмыкающихся в тканях в условиях разведения O_2 при T_{kp} 43 °С указывает на развитие (рис. 2).

Причины гипертермии играют ведущую роль в развитии температуры. Системное артериальное давление при повышении температуры выше 40 °С при повышенном сердечном выбросе. Одновременно с этим наблюдается снижение ЦВД. Одной из причин гипертермии является ограничение венозного возврата крови на периферии, что приводит к снижению минутного объема сердечного выброса. Одновременно с этим наблюдается снижение венозного возврата, что приводит к снижению минутного объема сердечного выброса. Одновременно с этим наблюдается снижение венозного возврата, что приводит к снижению минутного объема сердечного выброса.

и у собак при гипертермии, снижение венозного возврата, что приводит к снижению минутного объема сердечного выброса. Одновременно с этим наблюдается снижение венозного возврата, что приводит к снижению минутного объема сердечного выброса.

Однако представленные данные касаются только умеренной гипертермии и не характеризуют изменения растяжимости сосудистого русла при температуре выше 40—41 °С. Снижение общей сосудистой растяжимости у собак авторы относят к перераспределению объема крови и уменьшению кровоснабжения внутренних органов [6].

Необходимо признать, что в отдельных экспериментах, в условиях умеренной гипертермии, мы также наблюдали некоторое снижение растяжимости емкостных сосудов кожно-мышечной области и рассматривали это как фактор, играющий важную роль в поддержании ЦВД, но при температуре тела выше 40 °С растяжимость емкостных сосудов исследуемой области значительно увеличивалась во всех случаях. Каковы же механизмы увеличения растяжимости емкостных сосудов?

Принято считать, что дилатация кожных сосудов у животных при гипертермии обусловлена снижением импульсной активности в адренергических волокнах [9] или вызвана действием брадикинина [8, 12]. Во время теплового воздействия на организм на первичные терморегуляторные сердечно-сосудистые реакции накладываются гормонально-гуморальные и местные реакции. Нарушение КОС крови при гипертермии, являющееся следствием, с одной стороны, резкого увеличения минутного объема дыхания [4], приводящего к вымыванию CO_2 из крови, с другой, — накопления кислых метаболитов в тканях, свидетельствует, вероятно, о перестройке обмена и синтезе химических неспецифических регуляторов на уровне тканей и органов. Повышается содержание в крови и органах гистамина и серотонина, влияющих на регуляцию локального тонуса сосудов [5]. АТФ, выделяющаяся при возбуждении чувствительных нервов кожи, кроме своего непосредственного влияния на сосуды, может оказывать дилататорный эффект, стимулируя синтез простагландинов [16]. Механизмы вазодилатации при тепловых нагрузках требуют дальнейшего изучения.

Таким образом, острое перегревание собак, наступающее при температуре 50 °С, приводит к развитию системной гипотензии, обусловленной падением сердечного выброса. Одной из причин снижения МОК является ограничение венозного возврата крови вследствие увеличения растяжимости емкостных сосудов, показанного нами на примере кожно-мышечной области, и, по-видимому, развития депонирования крови. Сдвиги гемодинамики наблюдаются на фоне нарушений КОС крови. Метаболический ацидоз в крови свидетельствует о накоплении неполностью окисленных продуктов обмена, воздействие которых может являться одной из причин увеличения растяжимости сосудов.

T. V. Shimanskaya, M. I. Gurevich, V. F. Sagach, V. I. Boiko

THE EFFECT OF SEVERE HYPERTERMIA ON THE CIRCULATORY AND ACID-BASE BALANCE IN DOGS.

The effect of severe hyperthermia on the circulatory function was studied in dogs. Arterial pressure was maintained at the normal level, cardiac output increased at the core temperature of about 40 °C. An abrupt fall of the arterial pressure and cardiac output was observed at the rectal temperature of about 41 °C.

The results suggest that a decrease in the cardiac output during severe hyperthermia is due to the fall of the central venous pressure and to the increase of the vascular compliance.

A. A. Bogomoletz Institute of Physiology, Academy of Sciences of the Ukrainian SSR, Kiev.

СПИСОК ЛИТЕРАТУРЫ

- Гуревич М. И., Берштейн С. А., Голов Д. А., Повжитков М. М. Термодилатационный метод регистрации основных параметров гемодинамики // Физиол. журн. СССР.—1967.—53, № 3.—С. 350—354.
- Дворецкий Д. П. Способ измерения растяжимости посткапиллярного русла органов и тканей при стабилизированном притоке крови // Там же.—1979.—65, № 5.—С. 770—772.

3. Середенко М. М., Мойбенко А. А., Миняйленко Т. Д. Оксигенация крови в легких и особенности развития гипоксического состояния при гипертермии // Там же.— 1988.— 74, № 7.— С. 987—994.
4. Середенко М. М., Пожаров В. П., Миняйленко Т. Д. Внешнее дыхание, газообмен и кислотно-основное состояние крови при гипертермии у собак // Физиол. журн.— 1989.— 35, № 1.— С. 21—25.
5. Султанов Ф. Ф., Ткаченко Б. И., Султанов Г. Ф. Кровообращение при гипертермии—Ашхабад : Ылым, 1988.— 342 с.
6. Ткаченко Б. И., Султанов Г. Ф. Сдвиги в системе кровообращения при воздействии на организм высокой внешней температуры // Успехи физиол. наук.— 1983.— 14, № 2.— С. 28—55.
7. Frankel H. M., Ellis J. P. Jr., Cain S. M. Development of tissue hypoxia during progressive hyperthermia in dogs // Amer. J. Physiol.— 1963.— 205, N 4.— P. 733—737.
8. Fox R. H., Hilton S. M. Bradikinin formation in human skin as a factor in heat vasodilatation // J. Physiol.— 1958.— 142, N 2.— P. 219—232.
9. Hales J. R. S. Thermoregulatory implications for partition of the circulation between nutrient and nonnutritive circuits // Microvasc. Res.— 1980.— 19, N 2.— P. 250.
10. Horowitz M., Sugimoto E., Okuno T., Morimoto T. Changes in blood volume and vascular compliance during body heating in rats // Pfüg. Arch.— 1988.— 412, N 4.— P. 354—358.
11. Hoshang J., Khambatta M. B., Stuart F., Sullivan M. D. Effect of respiratory alkalis on oxygen consumption and oxygenation // Anesthesiology.— 1973.— 38, N 1.— P. 53—58.
12. Ingram D. L., Mount L. E. Man and animals in hot environments Berlin: Heidelberg; New York : Springer, 1975.— 240 p.
13. Maxwell G. M., Castillo C. A., Crumpton C. W., Rowe G. G. Hyperthermia: systemic and coronary circulatory changes in the intact dog // Amer. Heart J.— 1959.— 58, N 6.— P. 854—862.
14. Miki K., Morimoto T., Nose H. et al. Canine blood volume and cardiovascular function during hyperthermia // J. Appl. Physiol.— 1983.— 55, N 2.— P. 300—306.
15. Morimoto T., Miki K., Nose H. et al. Changes in vascular compliance during hyperthermia // J. Therm. Biol.— 1984.— 9, N 1—2.— P. 149—151.
16. Needleman P., Minkes M. S., Douglas J. R. Stimulation of prostaglandin biosynthesis by adenine nucleotides. Profiles of prostaglandin release by perfused organs // Circ. Res.— 1974.— 34, N 4.— P. 455—460.
17. Rowell L. B. Human cardiovascular adjustments to exercise and thermal stress // Physiol. Rev.— 1974.— 54, N 1.— P. 75—159.
18. Siggaard-Andersen O. Definitions of acid—base quantities: terminology, symbols and units // U. S. Der. Com. Nat. Bur. Stand. Spec. Publ.— 1977.— 450, N 1.— P. 1.
19. Triandof J., Bratianu A., Cosovanu A., Stratone A. Le stress thermique experimental et les modifications cardiovasculaires // Rev. roum. Morphol. Embryol et Physiol. Ser. Physiol.— 1975.— 12, N 2.— P. 97—102.

Ин-т физиологии им. А. А. Богомольца
АН УССР, Киев

Материал поступил
в редакцию 02.10.89

УДК 612.18.181.13.143

С. Б. Верескун, А. В. Дмитриева, А. Г. Карцева

Роль нейронов каудальной вентролатеральной области продолговатого мозга кошки в механизме реализации кардиогемодинамической реакции

В настоящее время имеются убедительные данные, свидетельствующие о том, что в каудальной вентролатеральной области продолговатого мозга (CVLM) расположены группы тонически активных нейронов, оказывающих тормозящее влияние на сосудистый тонус: активация этих нейронов приводит к развитию депрессорной реакции, а их «выключение» сопровождается повышением системного артериального давления (САД) [3—6, 9—13]. Показано также, что изменение артериального давления (АД), наблюдаемое при различных воздействиях на нейроны CVLM, обусловлено преимущественно изменениями общего периферического сопротивления сосудов (ОПСС), а не насосной функции сердца [1, 7]. Однако представления о механизме реализации тормозящих влияний на нейрогенный сосудистый тонус изучены недостаточ-

но. Высказывается предположение взаимодействия нейронального пучка, либо ростральной [1, 4].

Целью настоящего иссл. CVLM в механизме реализации тонуса.

Методика

В острых опытах на восьми искуственных котизированных смесью хлоралозы внутрибрюшинно, использовали венозную мозга [1].

Для активации, функционального контроля исследуемых нейронов продолговатого мозга применяли: глутаматные вещества осуществляли с помощью общего диаметра кончика которых нокислот, согласно пятну диффузии, позволяло изучать влияние указанных положенных нейронные популяции функционально неоднозначных групп.

Об изменениях кардиогемодинамическим: систолическому и диастолическому внутрижелудочковому давлению (КДД) и первой производной (ЧСС) объему кровообращения (МОК) ку крови, среднединамическое артериальное давление (ИР) и $\rho_{\text{ЛЖ}}$ рассчитывались.

Результаты

Симпатовозбуждающие неидентифицировали введение (концентрация 1 моль/л) в мозга, после чего развивающаяся реакция, латентный период показан пример идентификации PVLM после введения из рисунка, после введения лись на 36 и 32 мм рт. ст. выражено (на 20 мл), ЧСС. Это свидетельствует о том, что имущественно увеличение т. к. насосная функция сердца.

После восстановления рез второй канал хемотропирующих нейронов RVLM (рис. 1, б), после введения симпатовозбуждающей реакции, при которой на 19 мм рт. ст. выражена первая производная $dp/dt = 30 \text{ мл/мин}$. ЧСС, УОК, жесткость депрессорной рефлексной зависимости от из-за 3 104 $\text{мН} \cdot \text{с} \cdot \text{м}^{-2}$, что является сдвигов, обусловлены возбуждающих нейронов.

На рис. 1, в приведен предварительного функционирования.

Физиол. журн., 1990, т. 36, № 3

ченко Т. Д. Оксигенация крови в легких состояния при гипертермии // Там же.—
ченко Т. Д. Внешнее дыхание, газообмен гипертермии у собак // Физiol. журн.—
в Г. Ф. Кровообращение при гипертермии // Успехи физиол. наук.— 1983.— 14,
development of tissue hypoxia during prostration.— 1963.— 205, N 4.— P. 733—737.
ion in human skin as a factor in heat.— P. 219—232.
for partition of the circulation between
c. Res.— 1980.— 19, N 2.— P. 250.
to T. Changes in blood volume and vascu-
rals // Pfüg. Arch.— 1988.— 412, N 4.
livan M. D. Effect of respiratory alkalo-
on // Anesthesiology.— 1973.— 38, N 1.—
als in hot environments Berlin: Heidel-
W., Rowe G. G. Hyperthermia: systemic
act dog // Amer. Heart J.— 1959.— 58,
blood volume and cardiovascular func-
1983.— 55, N 2.— P. 300—306.
vascular compliance during hyper-
P. 149—151.
Stimulation of prostaglandin biosynthesis
glandin release by perfused organs //
ents to exercise and thermal stress //
se quantities: terminology, symbols and
Spec. Publ.— 1977.— 450, N 1.— P. 1.
e A. Le stress thermique experimental
um. Morphol. Embriol et Physiol. Ser.

Материал поступил
в редакцию 02.10.89

артериальной и в механизме реакции

е данные, свидетельствующие
ной области продолговатого
онически активных нейронов,
сосудистый тонус: активация
прессорной реакции, а их «вы-
истемного артериального дав-
акже, что изменение артери-
и различных воздействиях на-
енно изменениями общего пе-
ICC), а не насосной функции
 механизм реализации тормо-
ий тонус изучены недостаточ-

но. Высказывается предположение о реализации этих влияний посредством взаимодействия нейронов CVLM и структур либо ядра одиночного пучка, либо ростральной вентролатеральной области (RVLM) [1, 4].

Целью настоящего исследования явилось изучение роли нейронов CVLM в механизме реализации тормозящих влияний на сосудистый тонус.

Методика

В острых опытах на восьми искусственно вентилируемых кошках (3,0—5,0 кг), наркотизированных смесью хлоралозы (50 мг/кг) и уретана (500 мг/кг), введенных внутрибрюшинно, использовали вентральный доступ к исследуемым областям ствола мозга [1].

Для активации, функционального «выключения» и последующего гистологического контроля исследуемых нейронных структур вентролатеральной области продолговатого мозга применяли: глютамат, глицина и пропионовый желтый. Введение 50 нл веществ осуществляли с помощью трехканальных стеклянных пипеток-хемотротов, общий диаметр кончика которых был не более 50 мкм. Область воздействия аминокислот, согласно пятну диффузии 50 нл красителя, не превышала 300 мкм, что позволяло изучать влияние указанных аминокислот на относительно компактно расположенные нейронные популяции без вовлечения в реакцию соседних, возможно, функционально неоднозначных групп нейронов.

Об изменениях кардиогемодинамической реакции судили по следующим показателям: систолическому и диастолическому артериальному давлению (САД и ДАД), внутрижелудочковому давлению ($p_{\text{ЛЖ}}$), его конечно-диастолическому компоненту (КДД) и первой производной (dp/dt), ударному объему крови (УОК), минутному объему кровообращения (МОК) и частоте сердечных сокращений (ЧСС). ОПСС току крови, среднединамическое артериальное давление, индекс Верагута (ИВ), индекс расслабления (ИР и $p_{\text{ЛЖ}}$ рассчитывали согласно общепринятым методам).

Результаты

Симпатовозбуждающие нейроны RVLM и тормозящие нейроны CVLM идентифицировали введением 50 нл раствора глицина или глютамата (концентрация 1 моль/л) в соответствующие участки продолговатого мозга, после чего развивалась характерная депрессорная или прессорная реакция, латентный период которой был не более 10 с. На рис. 1, а показан пример идентификации симпатовозбуждающих нейронов области PVLM после введения 50 нл глютаминовой кислоты. Как видно из рисунка, после введения препарата значения САД и ДАД увеличились на 36 и 32 мм рт. ст. соответственно; МОК увеличился менее выраженно (на 20 мл), ЧСС, УОК, ИВ и ИР существенно не изменились. Это свидетельствует о том, что повышение АД было обусловлено преимущественно увеличением ОПСС току крови на 6 533 мН·с·м⁻⁹, т. к. насосная функция сердца увеличилась мало.

После восстановления АД (6—8 мин) до исходного значения через второй канал хемотрода к исследуемой популяции симпатовозбуждающих нейронов RVLM подводили 50 нл глицина. Как видно из рис. 1, б, после введения глицина развивалась характерная депрессорная реакция, при которой САД снизилось на 25 мм рт. ст., а ДАД — на 19 мм рт. ст. Выраженно уменьшились $p_{\text{ЛЖ}}$ (на 24 мм рт. ст.), его первая производная dp/dt_{max} (на 1 250 мм рт. ст.·с⁻¹) и МОК (на 30 мл/мин). ЧСС, УОК, ИВ и ИР существенно не изменились. Выраженность депрессорной реакции, как и прессорной, находилась в прямой зависимости от изменения ОПСС, которое уменьшилось на 3 104 мН·с·м⁻⁹, что является характерным для кардиогемодинамических сдвигов, обусловленных функциональным выключением симпатовозбуждающих нейронов RVLM [1].

На рис. 1, в приведен пример, который показывает, что в условиях предварительного функционального «выключения» глицином симпато-

возбуждающих нейронов RVLM, последующее введение такого же объема глицина в CVLM (указано стрелкой) на фоне максимального развития депрессорной реакции не изменяло ее направленности.

Как следует из рис. 1, *г*, спустя 10 мин повторное введение глицина в CVLM на фоне частичного восстановления АД привело к разви-

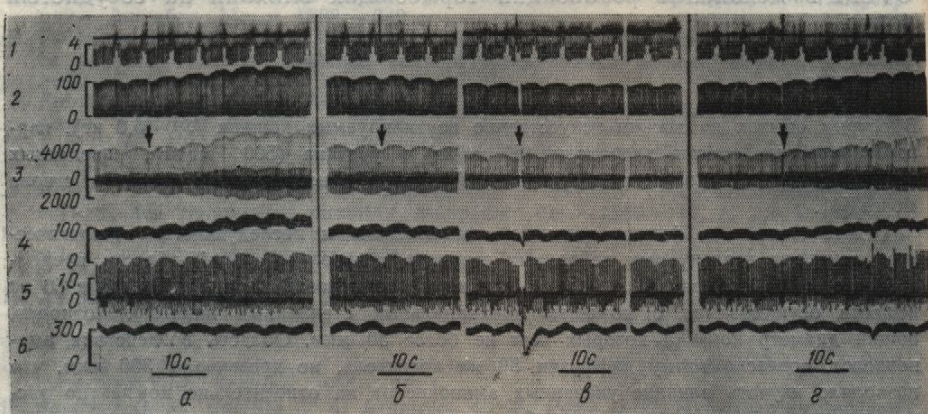


Рис. 1. Кардиогемодинамические сдвиги, обусловленные односторонним введением глицина в CVLM в условиях предварительного «выключения» глицином симпатовозбуждающих нейронов RVLM, идентифицированных введением глутамата:

α — кардиогемодинамическая реакция, обусловленная введением глутамата в область расположения симпатовозбуждающих нейронов RVLM; *β* — кардиогемодинамическая реакция, вызванная введением глицина в нейроны RVLM; *γ* — отсутствие кардиогемодинамических сдвигов в ответ на введение глицина в CVLM в условиях инактивации симпатовозбуждающих нейронов RVLM; *δ* — кардиогемодинамическая реакция, обусловленная введением глицина в CVLM в условиях частично восстановленной активности симпатовозбуждающих нейронов RVLM (*1* — КДД, мм. рт. ст.; *2* — РЛЖ, мм. рт. ст.; *3* — dp/dt , мм. рт. ст. \cdot с $^{-1}$; *4* — САД, мм. рт. ст.; *5* — УОК, мл; *6* — МОК, мл/мин). Стрелками обозначены моменты введения глицина или глутамата.

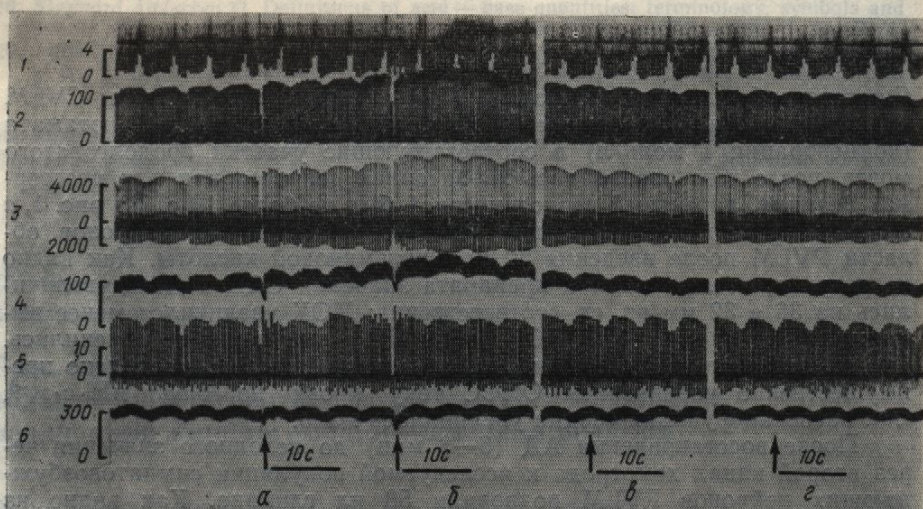


Рис. 2. Кардиогемодинамическая реакция, обусловленная введением глицина в CVLM и изменение направленности реакции при введении глицина в RVLM:

α — кардиогемодинамическая реакция, вызванная введением глицина в область расположения тормозящих нейронов CVLM; *β* — характер сдвигов показателей кардиогемодинамики, вызванных введением глицина в RVLM в условиях предварительного функционального «выключения» нейронов CVLM; *γ*, *δ* — характер восстановления показателей кардиогемодинамики. Остальные обозначения те же, что на рис. 1.

тию характерной прессорной реакции: САД и ДАД увеличились на 30 и 26 мм рт. ст. соответственно, РЛЖ увеличилось на 30 мм рт. ст., КДД — на 0,4 мм рт. ст., dp/dt_{max} — на 2250 мм рт. ст. \cdot с $^{-1}$, МОК уменьшился на 16 мл/мин, ЧСС осталась неизменной, ИВ и ИР сущест-

ственно не изменились. Однако Следовательно, как показано в схеме, выключение симпатово-реакция, обусловленная блокадой CVLM, не развивается.

Помимо этого, выключенное введением глицина, не сказывается динамической реакцией, оплатовозбуждающих нейронов, то есть взаимодействия ней-

Рис. 3. Графики, характеризующие (относительное изменение и продолжительность) (с) кардиогемодинамической реакции, вызванной введением глицина в CVLM (*1*), а также в RVLM (*2*). Стрелками обозначены моменты введения глицина.

из рис. 2, *а*, введение 50 нл САД на 47 и ДАД на 41 мм рт. ст. на 2250 мм рт. ст. \cdot с $^{-1}$, в то же время значительно, а УОК не изменяется, факт, что изменение пока тельность, развивалось и дальнейшее изменение АД, что, возможно, связано с нагрузкой.

Введение 50 нл глицина в нейроны RVLM на фоне введения 50 нл глицина в новую CVLM, приводило к полной реакции и смене ее направленность реакции изменяется на 12, а ДАД — на 11 мм рт. ст. на 2741 мН \cdot с \cdot м $^{-2}$, а МОК, УОК, выраженно и направленностью были характерными для включением глицином симпатиков.

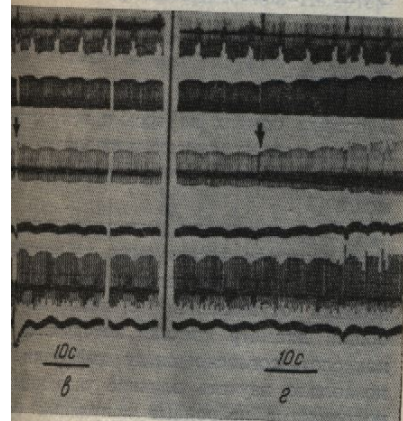
Для большей наглядности и продолжительности введения глицина в идентифицированные нейроны CVLM, а также введение глицина последовательно в графике, введение глицина в CVLM, то дальнейшее ее прессорной реакции, характеризующих нейронов RVLM.

Обсуждение

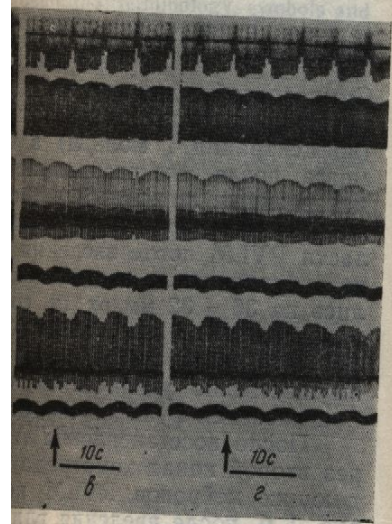
Результаты наших исследований в идентифицированные нейроны, в условиях предварительного «выключения» глицином активности симпатиков провождаются развитием интактной активности нейронов с представлениями ряда различных моделях, что CVLM на нейрогенный характер взаимодействия их с симпатиками.

Физiol. журн., 1990, т. 36, № 3

следующее введение такого же дозы) на фоне максимального сняло ее направленности. Мин повторное введение глицина привело к разви-



овленные односторонним введением «выключения» глицином симпатовозбудителями введение глютамата: введение глютамата в область расположения кардиогемодинамической реакции, вызванной односторонними сдвигами в ответ на симпатовозбуджающих нейронов RVLM; введение глицина в CVLM (1 — КДД, мм рт. ст.; 2 — рт. ст.; 5 — УОК, мл; 6 — МОК, мл/мин). Глютамат.



ленная введением глицина в CVLM и глицина в RVLM:

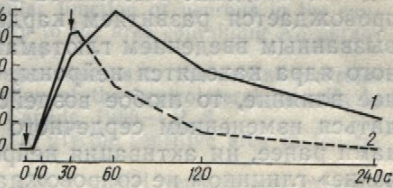
глицина в область расположения тормозящих нейронов кардиогемодинамики, вызванных функционального «выключения» нейронов кардиогемодинамики. Остальные обозначения

ДиДАД увеличились на 30% на 30 мм рт. ст., 2250 мм рт. ст. · с⁻¹, МОК неизменной, ИВ и ИР существенно.

венно не изменились. Однако резко возросло ОПСС (на 9740 мН · с · м⁻²). Следовательно, как показано на рис. 1, а — в, в условиях функционального выключения симпатовозбуджающих нейронов RVLM прессорная реакция, обусловленная блокадой активности тормозящих нейронов CVLM, не развивается.

Помимо этого, выключение активности тормозящих нейронов CVLM введением глицина, не оказывается на характере протекания кардиогемодинамической реакции, обусловленной угнетением активности симпатовозбуджающих нейронов RVLM. На рис. 2 показан пример другого рода взаимодействия нейронов областей CVLM и RVLM. Как видно

Рис. 3. Графики, характеризующие выраженность (относительное изменение АД, %) и продолжительность (с) кардиогемодинамической реакции, вызванной введением глицина в CVLM (1), а также в CVLM и RVLM (2). Стрелками обозначены моменты введения глицина.



из рис. 2, а, введение 50 нл глицина в CVLM приводит к увеличению САД на 47 и ДАД на 41 мм рт. ст., $p_{\text{дл}}$ на 48 мм рт. ст., dp/dt_{max} на 2250 мм рт. ст. · с⁻¹, в то время как МОК и ЧСС увеличиваются незначительно, а УОК не изменяется. Обращает на себя внимание тот факт, что изменение показателей, характеризующих сердечную деятельность, развивалось и достигало максимума несколько позднее изменений АД, что, возможно, отражает работу сердца в состоянии постнагрузки.

Введение 50 нл глицина в место расположения симпатовозбуджающих нейронов RVLM на фоне повышенного давления, обусловленного введением 50 нл глицина в область расположения тормозящих нейронов CVLM, приводило к прекращению дальнейшего развития прессорной реакции и смене ее депрессорной. Как показано на рис. 2, б, направленность реакции изменялась уже через 10 с — САД снизилось на 12, а ДАД — на 11 мм рт. ст., $p_{\text{дл}}$ — на 12 мм рт. ст., ОПСС — на 2741 мН · с · м⁻², а МОК, УОК и ЧСС остались неизменными. Далее выраженность и направленность изменений показателей кардиогемодинамики были характерными для реакции, развивающейся вслед за выключением глицином симпатовозбуджающих нейронов RVLM.

Для большей наглядности приводим графическое изображение выраженности и продолжительности прессорной реакции, обусловленной введением глицина в идентифицированную область расположения нейронов CVLM, а также реакции, развивавшейся в ответ на введение глицина последовательно в CVLM и RVLM (рис. 3). Как показано на графике, введение глицина в CVLM приводило к развитию характерной прессорной реакции. Если же на фоне ее развития вводили глицин RVLM, то дальнейшее ее течение прекращалось, и она сменялась депрессорной реакцией, характерной для «выключения» симпатовозбуджающих нейронов RVLM.

Обсуждение

Результаты наших исследований показали, что введение глицина в идентифицированные участки CVLM, где расположены тормозящие нейроны, в условиях предварительного функционального «выключения» глицином активности симпатовозбуджающих нейронов RVLM не сопровождается развитием прессорной реакции, наблюдаемой в условиях интактной активности нейронов RVLM. Эти результаты согласуются с представлениями ряда других авторов [5, 11, 13], установивших на разных моделях, что реализация тормозящих влияний нейронов CVLM на нейрогенный сосудистый тонус осуществляется посредством взаимодействия их с симпатовозбуджающими нейронами RVLM.

До настоящего времени нет единого мнения ни о локализации тормозящих нейронов, ни о медиаторной их принадлежности. Впервые Blessing и Reis [5] указали на то, что депрессорные реакции CVLM могут быть обусловлены норадреналинсинтезирующими нейронами A1, образующими прямые проекции к нейронам RVLM. Согласно данным, представленным другими авторами [1, 8], группа норадренергических нейронов не является той, которая обеспечивает тормозящее действие на нейроны RVLM. Blessing и Li [6] определили, что депрессорные нейроны расположены преимущественно вентральное обоюдного ядра и частично перекрывают его проекции каудальнее уровня задвижки. Однако введение глютамата в дорсальную часть этих структур не сопровождается развитием кардиогемодинамических реакций, подобных вызванным введением глютамата в CVLM. Поскольку в области обоюдного ядра находятся нейроны, оказывающие отрицательное хронотропное влияние, то любое воздействие на эту область должно сопровождаться изменением сердечного ритма. Между тем, как было показано нами ранее, ни активация нейронов CVLM глютаматом, ни их «выключение» глицином не сопровождаются существенными изменениями ЧСС. Наблюдаемые при этом кардиогемодинамические реакции обусловлены, преимущественно, изменениями ОПСС [1].

Тормозящее влияние нейронов CVLM на симпатовозбуждающие нейроны RVLM может реализоваться через различные рецепторы синаптической передачи. Согласно представлениям Blessing и Li [6], влияние нейронов CVLM на нейрогенный сосудистый тонус становится неэффективным при блокаде только ГАМК-эргических рецепторов нейронов RVLM. Нами показано, что глицинчувствительные рецепторы нейронов RVLM, наряду с ГАМК-чувствительными, также имеют значение при передаче влияния нейронов CVLM на сосудистый тонус. В последнее время [2] получены данные, свидетельствующие о том, что и глицин, и ГАМК могут влиять на одни и те же рецепторноканальные комплексы, так как специфические блокаторы глицин- и ГАМК-эргических рецепторов (стрихнин и бикукуллин) одинаково эффективно действуют на глицин- и ГАМК-активируемые токи.

В отличие от симпатовозбуждающих нейронов RVLM, являющихся интегративным звеном в развитии и поддержании нейрогенного сосудистого тонуса, нейроны CVLM таковыми не являются. Нами показано, что функциональное «выключение» этой группы нейронов не связывается на развитии кардиогемодинамической реакции, вызванной активацией или «выключением» нейронов RVLM.

Полученные нами результаты позволяют сделать заключение о том, что нейроны CVLM реализуют свое влияние на нейрогенный сосудистый тонус посредством взаимодействия с симпатовозбуждающими нейронами RVLM и не являются, в отличие от последних, интегративным звеном в данной регуляции.

S. B. Vereskun, A. W. Dmitrieva, A. G. Kartseva

SIGNIFICANCE OF NEURONS OF THE CVLM AREA IN CAT IN THE MECHANISM OF THE CARDIOHEMODYNAMIC REACTION REALIZATION

Glycine injection to the identified area of the RVLM leads to the development of a characteristic depressor reaction, due to a decrease of the total peripheral vascular resistance (TRP). Glycine injection to the identified area of CVLM results in the developing pressor reaction also due to the changes of TRP. Glycine injection to CVLM under preliminary functional switch-off the RVLM neuronal activity is not accompanied by the development of pressor reaction. This can be an evidence that CVLM sympathoinhibitory neurones act on cardiohaemodynamics by their interaction with RVLM sympathoexcitatory neurones. Turn off of the tonically active sympathoinhibitory CVLM neurones does not affect the character of the reactions depending on the inhibition or excitation of sympathoexcitatory RVLM neurones.

A. A. Богомолец Института Физиологии, Киев

СПИСОК ЛИТЕРАТУРЫ

1. Карцева А. Г., Верескун С. Б., Д. ческих реакций при воздействии продольговатого мозга кошки // Физиология. — 1989. — 21, № 1. — С. 133.
2. Сафонов Б. В. Влияние стрихнина на тормозящих медиаторов, в логия. — 1989. — 21, № 1. — С. 133.
3. Шаповал Л. Н., Победайло Л. С. Первые и вегетативные реакции на нейроны продольговатого мозга кошки // Физиология. — 1989. — 21, № 1. — С. 133.
4. Blessing W. W. Depressor neurons in rostral medulla // Amer. J. Physiol. — 1982. — 243, Pt 1. — P. 1033—1038.
5. Blessing W. W., Reis D. J. Inhibition of the ventrolateral medulla of the rabbit by GABAergic cells // Brain Res. — 1982. — 243, Pt 1. — P. 1033—1038.
6. Blessing W. W., Li Y. W. Studies on the control of the circulation. — London: Academic Press, 1982.
7. Campus R. R., Guertzenstein P. Regulation of the cardiac output // Physiol. Rev. — 1982. — 62, Pt 1. — P. 111—138.
8. Day T. A., Ro A., Renaud L. P. The circulatory control of the rat does not correspond to the brain stem. — J. Physiol. — 1983. — 279. — P. 299—302.
9. Dembowsky K., Czachurski J. Stimulation of the caudal ventrolateral medulla oblongata by the ventrolateral medulla in the cat. — J. Physiol. — 1988. — P. 15.
10. Granata A. R., Kumada M., Reis D. J. The influence of the ventrolateral medulla on the cardiovascular system. — J. Physiol. — 1985. — 377. — P. 387—395.
11. Granata A. R., Numa Y., Kumada M. Inhibition of the cardiovascular system by the ventrolateral medulla in the cat. — J. Physiol. — 1985. — 377. — P. 127—146.
12. Willette R. N., Barcas P. P. Identification of the cardiovascular areas in the rat medulla. Identification of the cardiovascular areas in the rat medulla. Identification of the cardiovascular areas in the rat medulla. — 1983. — 22. — P. 1071—1078.
13. Willette R. N., Punnen S., Krieg J. Caudal ventrolateral medullary control of the cardiovascular system in the rat. — J. Physiol. — 1984. — 321. — P. 169—174.

Ин-т физиологии им. А. А. Богомолца АН УССР, Киев

УДК 612.115:577.175.343

М. Г. Голубева, Т. М. Калишевская

Влияние вазопрессина и на свертывание крови у

Вазопрессин — нейрогипофизарный гормон, принимающий участие в обмене веществ и функционировании организма. Результаты исследований, проведенных в разное время, указывают на то, что вазопрессин является пептидом, который способен влиять на различные процессы в организме. Важнейшим из таких процессов является регуляция кровообращения и гемостаза. Вазопрессин способен повышать кровяное давление и замедлять кровотечение. Он также способен влиять на функционирование почек, желудочно-кишечного тракта и других органов. Важно отметить, что вазопрессин является гипоталамическим гормоном, вырабатываемым гипоталамусом и передаваемым по гипофизарному нерву в гипофизарную железу.

СПИСОК ЛИТЕРАТУРЫ

1. Карцева А. Г., Верескун С. Б., Дмитриева А. В. Исследование кардио-гемодинамических реакций при воздействии глицином на нейроны вентролатеральной области продолговатого мозга кошки // Физиол. журн.—1988.—34, № 2.—С. 40—46.
2. Сафонов Б. В. Влияние стрихнина и бикукуллина на ответы, вызванные приложением тормозящих медиаторов, в нейронах спинного мозга миноги // Нейрофизиология.—1989.—21, № 1.—С. 133—135.
3. Шаповал Л. Н., Побегайло Л. С. Изменение эффеरентной активности в почечном нерве и вегетативные реакции на введение ГАМК в структуры вентральной поверхности продолговатого мозга кошки // Там же.—1987.—19, № 3.—С. 327—334.
4. Blessing W. W. Depressor neurons in rabbit caudal medulla act via GABA receptors in rostral medulla // Amer. J. Physiol.—1988.—23, N 4.—P. H686—692.
5. Blessing W. W., Reis D. J. Inhibitory cardiovascular function of neurons in the caudal ventrolateral medulla of the rabbit: relationship to the area containing A₁, noradrenergic cells // Brain Res.—1982.—253.—P. 161—171.
6. Blessing W. W., Li Y. W. Studies on vasodepressor neurons in the caudal ventrolateral medulla of the rabbit // Abstr. Symp. Function of the ventrolateral medulla in the control of the circulation.—London; Ontario; Canada, 1988.—P. 8.
7. Campus R. R., Guertzenstein P. G. The role of the glycine sensitive area in the regulation of the cardiac output // Ibid.—P. 23.
8. Day T. A., Ro A., Renaud L. P. Depressor area within caudal ventrolateral medulla of the rat does not correspond to the A₁ catecholamine cell group // Brain Res.—1983.—279.—P. 299—302.
9. Dembowsky K., Czachurski J., Seller H. Inhibition of sympathetic activity from the caudal ventrolateral medulla oblongata in the cat // Abstr. Symp. Function of the ventrolateral medulla in the control of the circulation.—London; Ontario; Canada, 1988.—P. 15.
10. Granata A. R., Kumada M., Reis D. J. Sympathoinhibition by A₁-noradrenergic neurons is mediated by neurons in the C₁ area of the rostral medulla // J. Auton. Nerv. Syst.—1985.—14.—P. 387—395.
11. Granata A. R., Numao Y., Kumada M., Reis D. J. A₁-noradrenergic neurons tonically inhibit sympathoexcitatory neurons of C₁ area in rat brainstem // Brain Res.—1986.—377.—P. 127—146.
12. Willette R. N., Barcas P. P., Krieger A. J., Sapru H. N. Vasopressor and depressor areas in the rat medulla. Identification by microinjection of L-glutamate // Neuropharmacology.—1983.—22.—P. 1071—1079.
13. Willette R. N., Punnen S., Krieger A. J., Sapru H. N. Interdependence of rostral and caudal ventrolateral medullary areas in the control of blood pressure // Brain Res.—1984.—321.—P. 169—174.

Ин-т физиологии им. А. А. Богомольца
АН УССР, Киев

Материал поступил
в редакцию 05.10.89

УДК 612.115:577.175.343

М. Г. Голубева, Т. М. Калишевская, М. Е. Соловьева

Влияние вазопрессина и его аналогов на свертывание крови у крыс

Вазопрессин — нейропептидный гормон белково-пептидной природы, принимающий участие в осуществлении многих физиологических реакций организма. Результаты исследований, проведенных за последнее время, указывают на положительную роль, которую играет этот пептид в коррекции различных нарушений процессов свертывания крови при лечении больных гемофилии А и болезнью Виллебранда [15], а также различных тромботических осложнений. Показано, что внутривенное введение аргинилвазопрессина (АВП) или его аналога 1-дезамино-8d-аргинилвазопрессина (ДДАВП) вызывает увеличение содержания фактора VIII, давая возможность временно корректировать гемостатические нарушения у пациентов с этими заболеваниями [10, 11, 16]. При введении вазопрессина наблюдается значительное увеличение содержания активаторов плазминогена [6, 9], что используется в клинике для профилактики тромбообразования [17]. Применение вазопрессина значительно ограничивается его мощным антидиуретическим и прессорным действием. Изучение аналогов вазопрессина, не об-

мнения ни о локализации тор-
их принадлежности. Впервые
депрессорные реакции CVLM
интезирующими нейронами A₁,
нам RVLM. Согласно данным,
группа норадренергических
печивает тормозящее действие
определенными, что депрессорные
центральне обоюдного ядра
каудальнее уровня задвижки.
часть этих структур не со-
амических реакций, подобных
1. Поскольку в области обоюд-
ющие отрицательное хронотроп-
область должно сопровож-
ежду тем, как было показано
глютаматом, ни их «выклю-
чительными изменениями ЧСС.
ические реакции обусловлены
[1].

На симпатовозбуждающие
различные рецепторы син-
авлениям Blessing и Li [6],
сосудистый тонус становится
К-ergicических рецепторов ней-
чувствительные рецепторы ней-
льными, также имеют значе-
на сосудистый тонус. В по-
следствующие о том, что
и те же рецепторы (каналь-
локаторы глицина-ГАМК-эр-
лин) одинаково эффективно
ны токи.

нейронов RVLM, являющихся
оддержании нейрогенного со-
ми не являются. Нами пока-
ной группы нейронов не скаж-
ической реакции, вызванной
RVLM.

от сделать заключение о том,
ние на нейрогенный сосуди-
симпатовозбуждающими ней-
от последних, интегративным

EA IN CAT
NAMIC REACTION REALIZATION

leads to the development of a char-
e total peripheral vascular resistance
CVLM results in the developing
cine injection to CVLM under pre-
activity is not accompanied by
vidence that CVLM sympathoinhibi-
tion with RVLM sympathoex-
sympathoinhibitory CVLM neurones
lying on the inhibition or excitation

ладающих гормональными свойствами, как, например, дезглициларгинилвазопрессин (ДГАВП), или частично лишенных гормонального (прессорного) действия, как, например, ДДАВП, их влияния на систему свертывания крови открывает новые перспективы применения этих пептидов, возможного дальнейшего их использования в клинике с наибольшей эффективностью и наименьшим побочным действием [13].

Настоящая работа была предпринята с целью сравнительного изучения влияния вазопрессина и его аналогов (ДДАВП и ДГАВП) на состояние системы гемостаза у крыс. Данных о влиянии ДГАВП на состояние системы свертывания крови в литературе нет.

Методика

Опыты проводили на белых беспородных крысах средней массой 180—200 г. Вазопрессин (фирма «Serva», ФРГ) вводили в яремную вену (0,4; 4 и 8 мкг/кг). Дезглициларгинилвазопрессин (Институт органического синтеза ЛатвССР) и 1-дезамино-8d-аргинилвазопрессин (Институт органической химии и биохимии, Чехословакия)¹ вводили внутривенно (4 и 0,4 мкг/кг соответственно). В пробах крови, взятой из яремной вены с 3,8 %-ным раствором цитрата Na (кровь:консервант — 9:1), определяли следующие показатели системы гемостаза: общее время свертывания (ОВС) [8], тромбиновое время, активированное частичное тромболастиновое время (АЧТВ) [1], содержание фактора VIII [5], суммарную ферментативную фибринолитическую активность (СФФА), активность активаторов плазминогена (ААП) и активность плазмина (АП) в эзглобулиновой фракции плазмы крови на стабилизованных пластинах фибринина [3]. Кровяное давление регистрировали в сонной артерии крысы с помощью датчика давления (фирма «Statham, США») с параллельной записью на самописце Н-3031-Ч. Результаты обработаны статистически.

Результаты

Изучение влияния внутривенно введенного вазопрессина на проокоагулянтную активность плазмы крови крыс показало, что он вызывает ускорение свертывания крови. После инъекции 0,4 мкг/кг пептида ОВС укорачивалось на 37 ($P < 0,001$), 43 ($P < 0,01$) и 18 % ($P < 0,001$) на 5-й, 15-й и 30-й минутах соответственно. Вазопрессин (4 мкг/кг) также вызывал достоверное укорочение ОВС в течение всего периода наблюдения (рис. 1, А, а). При увеличении дозы вазопрессина до 8 мкг/кг направленность эффекта сохранялась, однако изменения этого показателя были недостоверны. Вазопрессин (все исследуемые его дозы) достоверно сокращал АЧТВ (рис. 1, А, б).

Результаты исследования влияния дозы и времени, прошедшего после внутривенного введения вазопрессина, на СФФА эзглобулиновой фракции крови крыс показали, что уже при введении 0,4 мкг/кг вазопрессина возникает значительное (на 57 и 77 % на 5-й и 15-й минутах соответственно) повышение фибринолитической активности (рис. 1, Б, в). При увеличении дозы этого пептида в 10 раз эффект становится статистически достоверным ($P < 0,001$) и к 30-й минуте происходит постепенное возвращение значений СФФА к исходным. При дозе вазопрессина 8 мкг/кг СФФА увеличивалась недостоверно и менее значительно (на 8—36 %). Максимум реакции при всех дозах препарата наблюдали на 15-й минуте.

Анализ причин изменения СФФА показал, что ее повышение под действием вазопрессина связано с увеличением ААП. Из рис. 1, Б, г видно, что при дозе вазопрессина 0,4 мкг/кг ААП возрастала значительно на 5-й и 15-й минутах ($P < 0,001$) и постепенно снижалась к 30-й минуте. С увеличением дозы препарата до 4 мкг/кг наблюдалось достоверное увеличение ААП на 105 ($P < 0,001$) и 130% ($P < 0,001$) на 5-й и 15-й минутах соответственно и возвращение к исходному значению

¹ Авторы благодарны доктору Томиславу Барту из Института органической химии и биохимии Чехословацкой Академии наук (Прага) за любезное представление препарата ДДАВП.

этого показателя через 30 мин. значительный меньший эффект (симптоматическая достоверная реакция) наблюдалась при дозе вазопрессина препарата.

Анализ результатов исследования, определяемых по тромбопластину (все применяемые дозы), показал, что вазопрессин не оказывает влияния на тромбопластин.

Параллельная регистрация в ответ на введение разных

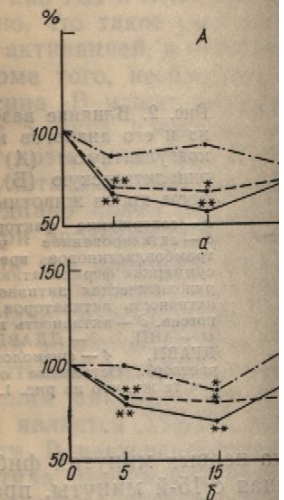


Рис. 1. Изменение проокоагулянтной активности крови животных при введении вазопрессина 8 мкг/кг:

а — общее время свертывания крови, б — суммарная ферментативная фибринолитическая активность. По оси абсцисс — время после введения препарата.

временный гипертензивный эффект вазопрессина по 0,4 мкг/кг вызывает уменьшение давления в среднем артериальном давлении практически на первой минуте. При дозах вазопрессина 4 и 8 мкг/кг уменьшение давления на 50 % и 60 %, соответственно, сохраняется на 15-й минуте.

Сравнение эффективности ДДАВП и ДГАВП на систему гемостаза показало, что доза, вызывающая уменьшение давления вазопрессина на 50 %, для ДДАВП в дозе 4 мкг/кг выше, чем для ДГАВП.

Уже с первой минуты вазопрессина заметно увеличивается общее время свертывания крови, а также тромбиновое время, изменяется концентрация активаторов плазминогена и фактора VIII (рис. 2, А, а). На 1-й минуте вазопрессина и ДГАВП (в дозе 4 мкг/кг) содержание фактора VIII (рис. 2, А, б) на 6 % выше, чем в контроле. К этому времени достоверно

как, например, дезглициларгинично лишенных гормонального ДДАВП, их влияния на сывороточные перспективы применения о их использовании в клинике щитом побочным действием [13]. та с целью сравнительного изучения (ДДАВП и ДГАВП) на данных о влиянии ДГАВП на литературе нет.

х средней массой 180–200 г. Вазо-ую вену (0,4; 4 и 8 мкг/кг). Дезгли- синтеза ЛатвССР) и 1-дезамино- химии и биохимии, Чехословакия)¹ зенно). В пробах крови, взятой из Na (кровь: консервант — 9:1), опре- а: общее время свертывания (ОВС) ее тромбопластиновое время (АЧТВ) ферментативную фибринолитическую плазминогена (ААП) и активность плазмы крови на стабилизированных пластирировали в сонной артерии крысы (США) с параллельной записью на истически.

ого вазопрессина на прокоагуляцию показало, что он вызывает ус- кции 0,4 мкг/кг пептида ОВС ($P < 0,01$) и 18 % ($P < 0,001$) на Вазопрессин (4 мкг/кг) также течение всего периода наблю- яния вазопрессина до 8 мкг/кг на- яко изменения этого показате- исследуемых его дозы) досто-

дозы и времени, прошедшего ана, на СФФА эзгубулиновой при введении 0,4 мкг/кг вазо- и 77 % на 5-й и 15-й минутах фибринолитической активности пептида в 10 раз эффект ста- 0,001) и к 30-й минуте проис- СФФА к исходным. При до- вилась недостоверно и менее еакции при всех дозах препа-

оказал, что ее повышение под чением ААП. Из рис. 1, Б, г кг/кг ААП возрастала значи- и постепенно снижалась к 30-й о 4 мкг/кг наблюдалось досто- 0,001) и 130% ($P < 0,001$) на 5-й щение к исходному значению

ту из Института органической химии (га) за любезное представление пре-

этого показателя через 30 мин. Доза вазопрессина 8 мкг/кг вызывала значительно меньший эффект (на 66%; $P < 0,001$). Таким образом, максимальная достоверная реакция фибринолитической системы крови наблюдалась при дозе вазопрессина 4 мкг/кг на 15-й минуте после вве- дения препарата.

Анализ результатов исследования антикоагулянтной активности крови, определяемой по тромбиновому времени, показал, что вазопрес- син (все применяемые дозы) практически не вызывает изменений это- го показателя.

Параллельная регистрация изменений артериального давления в ответ на введение разных доз пептида продемонстрировала кратко-

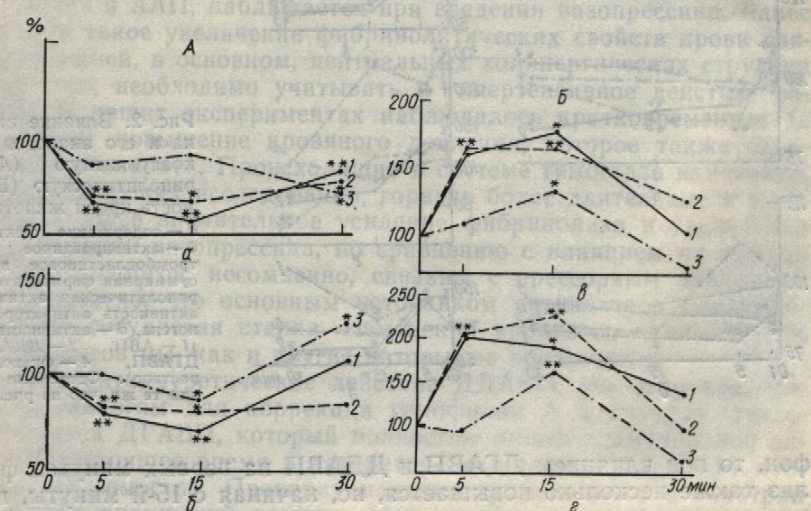


Рис. 1. Изменение прокоагулянтной (A) и фибринолитической (Б) активности плазмы крови животных при введении им различных доз вазопрессина (1—0,4; 2—4; 3—8 мкг/кг):

а — общее время свертывания крови, б — активированное частичное тромбопластиновое время, г — суммарная ферментативная фибринолитическая активность, д — активность активаторов плазминогена. По оси абсцисс — время после введения вазопрессина, мин; по оси ординат — изменение показателей, % контрольного значения. За 100 % принято значение показателей до введения препарата.

временный гипертензивный эффект. Установлено, что введение вазопрессина по 0,4 мкг/кг вызывает кратковременное (5–10 мин) повы- шение давления в среднем на 10 мм рт. ст., причем оно увеличивается практически на первой минуте, и к 15-й — достигает исходного значе- ния. При дозах вазопрессина 4 и 8 мкг/кг также регистрировалось увеличение давления на 50 мм рт. ст., которое через 15 мин после вве- дения вазопрессина также достигало исходного значения.

Сравнение эффективности влияния разных доз вазопрессина, ДДАВП и ДГАВП на систему гемостаза, показало, что для вазопрес- сина и ДГАВП доза, вызывающая наиболее выраженные изменения этой системы, составляет 4 мкг/кг, для ДДАВП — 0,4 мкг/кг. Введение ДДАВП в дозе 4 мкг/кг вызывало гибель животных.

Уже с первой минуты после инъекции вазопрессина и его аналогов заметно увеличивается прокоагулянтная активность крови. Сокра- щается общее и тромбиновое время и АЧТВ, снижается число тромбо- цитов, изменяется концентрация фактора VIII в крови. Однако при инъекции вазопрессина и ДДАВП наблюдается кратковременное (лишь на 1-й минуте) небольшое (5–8%) достоверное увеличение содержания фактора VIII (рис. 2, А, а). При введении ДГАВП увеличение (на 5–6%) содержания фактора VIII наблюдается лишь на 15–30-й минуте. К этому времени достоверно сокращается и АЧТВ, что также свиде-

тельствует об увеличении содержания факторов свертывания (рис. 2, А, Б).

В результате сравнительного изучения влияния вазопрессина и его аналогов на фибринолитическую активность крови установлено, что, если введение вазопрессина повышает ($P < 0,001$) фибринолитическую активность эуглобулиновой фракции крови уже с 1-й минуты на 111% (рис. 2, Б, в) и до 30-й минуты сохраняет высокий фибринолитический

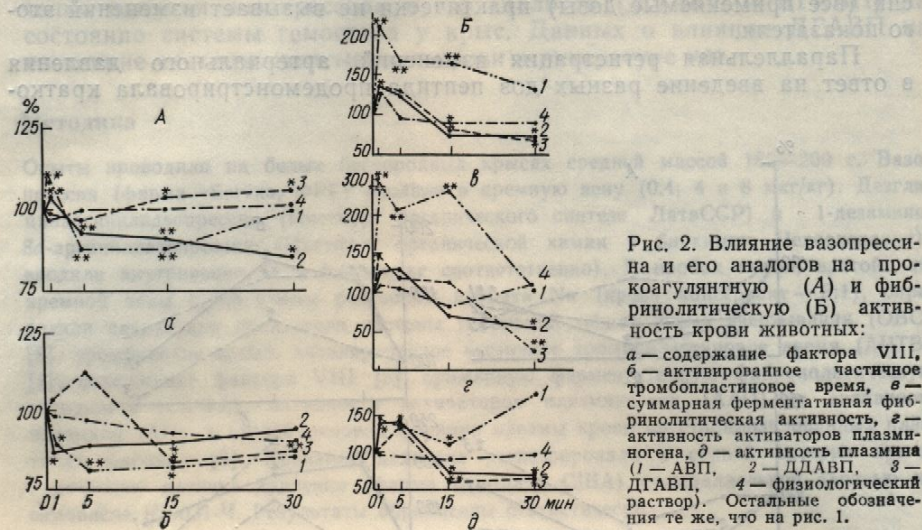


Рис. 2. Влияние вазопрессина и его аналогов на прокоагулянтную (А) и фибринолитическую (Б) активность крови животных:
а — содержание фактора VIII, б — активированное частичное тромбопластиновое время, в — суммарная ферментативная фибринолитическая активность, г — активность активаторов плазминогена (1 — АВП, 2 — ДДАВП, 3 — ДГАВП, 4 — физиологический раствор). Остальные обозначения те же, что на рис. 1.

фон, то под влиянием ДГАВП и ДДАВП на первых минутах фибринолиз также несколько повышается, но, начиная с 15-й минуты, происходит постепенное снижение активности этого процесса. Эксперимент показал, что повышение фибринолитической активности при введении вазопрессина связано с увеличением содержания активаторов плазминогена (рис. 2, Б, г), которое регистрируется и при введении ДДАВП и ДГАВП на 1-й и 5-й минутах. Однако эти изменения недостоверны. К 30-й минуте АП становится значительно ниже исходной. Та же тенденция прослеживается и в изменении АП (рис. 2, Б, д).

При введении адекватного исследуемым препаратам объема физиологического раствора не наблюдается достоверных изменений ни прокоагулянтной, ни фибринолитической активности крови.

Обсуждение

Эксперимент показал, что внутривенное введение вазопрессина вызывает усиление прокоагулянтной и фибринолитической активности крови. Причем эти изменения носят дозозависимый характер. Наиболее эффективной оказалась доза 4 мкг/кг. Сокращение ОВС и АЧТВ ясно свидетельствует об увеличении концентрации факторов свертывания крови. Обычно, наряду с изменениями ряда показателей системы гемостаза, авторы отмечают избирательное увеличение содержания фактора VIII [19]. Однако мы отметили у крыс, в отличие от других животных, лишь на 1-й минуте небольшое увеличение активности фактора VIII. Вероятно, столь кратковременный эффект связан со специфическими (видовыми) особенностями этих животных [7, 12]. Причиной быстрого снижения содержания фактора VIII отчасти может быть со пряженное увеличение АП, которое усиливает протеолиз фактора, подобно реакции с фибриногеном и фибрином [4, 15].

Аналог вазопрессина ДДАВП в настоящее время широко используется в зарубежной клинической практике для лечения несахарного диабета, гемофилии А и болезни Виллебранда. Это связано прежде

всего с тем, что при полном хранении антидиуретическое действие фактора VIII в каскаде свертывания [11]. небольшое увеличение содержащим постепенным его снижением ДДАВП, при внутривенном увеличение содержание (на 110%) фибрин-мономера — молекулы.

При сравнении влияния АП и ААП, необходимо отметить, что как АП и ААП, на показано, что такое увеличено с активацией, в основе [2]. Кроме того, необходимо отметить, что вазопрессина. В наших экспериментах (на крысах) повышение активности вазопрессина на 5 минуты было выше, чем ААП, но это не означает, что ААП при введении вазопрессина не оказывает его аналогов, не поскольку известно, что гена является сосудистая введение аналогов мы, как

Учитывая антидиуретическое действие вазопрессина, наиболее подходящим аналогом для бранда является ДГАВП, для коррекции нарушений мозга, старческим слабоу碌лью, возможно, наряду с фибринолитическим действием.

Следовательно, при введении вазопрессина и его аналогов, несмотря на различие, исходное состояние которых различно.

M. G. Golubeva, T. M. Kalishev

THE INFLUENCE OF VASOPRESSIN AND ITS ANALOGS ON THE BLOOD COAGULATION

A change in the response of blood coagulation to vasopressin (AVP), DDAVP and DGAVP was studied in rats. Intensification of the coagulation character. Maximal effect is observed at a dose of 4 mg/kg. The administration of AVP has a stronger effect than DDAVP and DGAVP. The administration of DDAVP and DGAVP has a weaker effect on fibrinolysis. The effect of DDAVP and DGAVP on fibrinolysis is maximal at 1–5 min and then gradually decreases. While using DDAVP and DGAVP it is necessary to take into account their hormonal properties.

University, Ministry of Higher Special Education of the USSR

Физиол. журн., 1990, т. 36, № 3

ния факторов свертывания влияния вазопрессина и его аналога установлено, что, если кровь установлена, что, если ($P < 0,001$) фибринолитическую активность крови уже с 1-й минуты на 111 % не имеет высокий фибринолитический

Рис. 2. Влияние вазопрессина и его аналогов на прокоагулянтную (A) и фибринолитическую (Б) активность крови животных:
— содержание фактора VIII;
— активированное частичное тромбоцитарное время, с — суммарная ферментативная фибринолитическая активность, мкМ/мин ;
— активность активаторов плазминогена, мкМ/мин ;
— активность плазмина (1 — АП, 2 — ДДАВП, 3 — ДГАВП, 4 — физиологический раствор). Остальные обозначения те же, что на рис. 1.

На первых минутах фибринолитическая с 15-й минуты, происходит процесса. Эксперимент показывает активности при введении активаторов плазмина и при введении ДДАВП. Но эти изменения недостоверны ниже исходной. Та же АП (рис. 2, Б, д).

Самым препаратом объема физиологических достоверных изменений не имеет активности крови.

Введение вазопрессина вызывает фибринолитической активности кровь характер. Наиболее быстрое сокращение ОВС и АЧТВ ясно показывает факторов свертывания. Увеличение показателей системы гемостаза сопровождается увеличением содержания фактора VIII, в отличие от других животных, увеличение активности фактора VIII связано со специфичностью факторов VIII. Причиной может быть связана протеолиз фактора, появляющаяся в это время широкое применение для лечения несахарного диабета. Это связано прежде

всего с тем, что при полном отсутствии прессорного эффекта, но сохранении антидиуретического, ДДАВП избирательно увеличивает содержание фактора VIII в крови, почти не влияя на другие факторы каскада свертывания [11]. В наших экспериментах мы также отметили небольшое увеличение содержания этого фактора у крыс с последующим постепенным его снижением. В отличие от вазопрессина и ДДАВП, при внутривенном введении ДГАВП наблюдалось постепенное увеличение содержания фактора VIII к 15–30-й минуте и значительное (на 110 %) увеличение концентрации растворимых комплексов фибрин-мономера — молекулярных маркеров тромбиногенеза.

При сравнении влияния изучаемых пептидов на изменение фибринолиза необходимо отметить, что наибольшее увеличение СФФА крови, так же как АП и ААП, наблюдается при введении вазопрессина. Ранее показано, что такое увеличение фибринолитических свойств крови связано с активацией, в основном, центральных холинергических структур [2]. Кроме того, необходимо учитывать и гипертензивное действие вазопрессина. В наших экспериментах наблюдалось кратковременное (в течение 5 мин) повышение кровяного давления, которое также зависело от дозы препарата. Происходящие в системе гемостаза изменения, по результатам наших исследований, гораздо более длительные и мощные. Однако более значительное усиление фибринолиза и увеличение ААП при введении вазопрессина, по сравнению с влиянием на эти показатели его аналогов, несомненно, связаны с прессорным действием, поскольку известно, что основным источником активаторов плазминогена является сосудистая стенка. Изменений кровяного давления при введении аналогов мы, как и другие авторы, не обнаружили.

Учитывая антидиуретическое действие ДДАВП, мы полагаем, что наилучшим аналогом для коррекции гемофилии А и болезни Виллемса является ДГАВП, который полностью лишен гормональной активности. В настоящее время в литературе нет данных о влиянии этого пептида на гемостаз. Препарат находит применение в психиатрии для коррекции нарушений памяти, обусловленных травмой головного мозга, старческим слабоумием, болезнью Альцгеймера [14, 18]. Поскольку у людей пожилого возраста имеется склонность к тромбообразованию, возможно, наряду с ДГАВП следует применять антикоагулянты и фибринолитические средства.

Следовательно, при использовании в клинической практике вазопрессина и его аналогов необходимо учитывать их гормональное действие, исходное состояние системы гемостаза, а также возраст пациентов.

M. G. Golubeva, T. M. Kalishevskaya, M. E. Solovjeva

THE INFLUENCE OF VASOPRESSIN AND ITS ANALOGS ON THE BLOOD COAGULATION OF RATS

A change in the response of the blood coagulation system to the intravenous injection of vasopressin (AVP), DDAVP and DGAVP has been studied in the experiments on white rats. Intensification of the procoagulant activity on AVP is of the dose-dependent character. Maximal effect is observed 5–15 min after i. v. injection of AVP in a dose of 4 mg/kg. The administration of this peptide increases the fibrinolytic activity, that is connected with an increase in the level of plasminogen activator. DDAVP and DGAVP have a weaker effect on fibrinolysis. AVP and DDAVP increase the level of FVIII by 5–6 % during the first minutes, but DGAVP increases the level of FVIII only after 15–30 minutes. While using AVP, DDAVP and DGAVP in clinical practice it is necessary to allow for their hormonal action, the initial state of haemostasis and the age of patients.

University, Ministry of Higher and Secondary Special Education of the USSR, Moscow

СПИСОК ЛИТЕРАТУРЫ

1. Балуда В. П., Баркаган З. С., Гольдберг Е. Д. и др. Лабораторные методы исследования системы гемостаза. — Томск: 1980. — 313 с.
2. Калишевская Т. М., Голубева М. Г., Соловьева М. Е. Участие холинорецепторов в реакциях системы гемостаза на вазопрессин // Физиол. журн. — 1989. — 3, № 5. — С. 9—14.
3. Методы исследования фибринолитической системы крови. — М.: Изд-во Моск. ун-та, 1981. — 132 с.
4. Ghirardini A., Mariani G., Jaecopino G. et al. Concentrated DDAVP: Further Improvement in the Management of Mild F VIII Deficiencies // Thromb. and Haemost. — 1987. — 58, N 3. — P. 896.
5. Haemostasis. Physiology, pathophysiology, diagnostics. — München: Deutschland GmbH, 1985. — 166 p.
6. Hampton K. K., Grant P. J., Boothby M. et al. Vasopressin and the regulation of fibrinolysis: haemostatic responses to hypotension in absence of adrenaline release // Thromb. and Haemost. — 1987. — 58. — abstr. 323. — P. 93.
7. Jablonovski Chr., Kloëcking H. P., Markwardt F. Experimentelle Untersuchungen zur Freisetzung von Plasminogenaktivator durch DDAVP // Folia Haematol. — 1984. — 4. — S. 567—574.
8. Lee K. J., Witt P. D. A clinical study of the coagulation time of blood // Amer. J. Med. Sci. — 1913. — 145. — P. 495—503.
9. Lowe G. D. O., Douglas J. T., Small M. et al. Evidence for plasminmediated fibrinolysis after release of tissue plasminogen activator by desmopressin infusion. Evidence for plasmin // Thromb. and Haemost. — 1987. — 58, N 1. — Abstr. 1914. — P. 518—521.
10. Melissari E., Scully M. F., Paes T. et al. The influence of DDAVP infusion on the coagulation and fibrinolytic response to surgery // Ibid. — 1986. — 55, N 1. — P. 54—57.
11. Nilsson I. M., Holmberg L., Aberg M., Vilhardt H. The release of plasminogen activator and factor VIII after injection of DDAVP, in healthy volunteers and patients with von Willebrand's disease // Scand. J. Haematol. — 1980. — 24. — P. 351—359.
12. Pliska P. Pharmacology of deamino-D-arginine vasopressin // Front. Horm. Res. — 1985. — 13. — P. 278—291.
13. Richardson D. W., Robinson A. G. Desmopressin // Ann. Intern. Med. — 1985. — 103. — P. 228—239.
14. Riekkinen P., Legross J. J., Sennef C. et al. Penetration of DGAVP (Org 5667) across the blood-brain barrier in human subjects // Peptides. — 1987. — 8. — P. 261—265.
15. Rodeghiero F., Castam G., Di Bona E. Effectiveness of DDAVP in patients with von Willebrand's disease with severely reduced basal level of F VIII/vWF and normal platelet content / Type 1, platelet normal undergoing tooth extraction // Thromb. and Haemost. — 1987. — 58, N 1. — Abstr. 1338. — P. 367.
16. Taki M., Inagaki M., Miura T., Saito N. et al. Effect of DDAVP on primary haemostasis with congenital afibrinogenemia // Ibid. — Abstr. 1330. — P. 365.
17. Tornebohm E., Bratt G., Granqvist S. et al. A pilot study: desmopressin (DDAVP) in the treatment of deep venous thrombosis // Thromb. Res. — 1987. — 45, N 5. — P. 635—644.
18. Van Bree J. B. N. M., de Boer A. G., Danhof M. et al. Radioimmunoassay of desglycine-arginine vasopressin and its application in a pharmacokinetic study in the rat // Peptides. — 1988. — 9. — P. 555—559.
19. Viehardt H., Barth T., Falch J., Nilsson I. M. Plasma concentration of factor VIII after administration of DDAVP to conscious dogs // Thromb. Res. — 1987. — 47. — P. 585—591.

Моск. ун-т им. М. В. Ломоносова
М-ва высш. и сред. спец. образования СССР

Материал поступил
в редакцию 02.10.89

УДК 577.161.2+125.33+621.319.7

З. А. Ромоданова, А. В. Паранич, Л. А. Чайкина

Влияние хронического действия электростатического поля на некоторые биохимические показатели тканей

При решении технологических задач, а также в результате широкого применения синтетических материалов на производстве и в быту человек оказывается в поле действия статического электричества значительной напряженности [7]. Так, при электрофильтрации, электросепарации, электрообогащении, при обработке древесины, полимерных и

синтетических материалов, в тиривке сыпучих веществ во (ЭСП). Например, при шлиф приженность (E) поля дости нии тканей с синтетическими хности тела рабочего создает [4, 7]. В настоящее время интенсивность ЭСП до 15—20 кВ/м, однако требования технологич держивать этот норматив, и мощных ЭСП. Это определил рименте. Действие ЭСП на сные механизмы. С одной стороны, модифицировать собственное связанные с переносом заряж ханизм действия ЭСП на орг химическую составляющие м ствие гетерогенности строени ризация, что изменяет функцию информации о внешнем приводит к неадекватным корковых структур и всего много состояния мозга сопрово показателей углеводно-жиров

Объективными и достовер ния организма и его адапта ческие параметры: содержание кислот (СЖК), фосфолипидов (ОЛ), продуктов пределяемые в крови, печени показателей под влиянием Э

Цель нашей работы — изучение организма молодых половозрастных действий ЭСП.

Методика

Эксперименты проведены на 32 т животных в контроле и опыте). Г 6 ч ежедневно в течение 3 нед. пластинами конденсатора, расстоянием конденсатора от высоковольтного источника напряженность поля в группах находилась в тех же пределах действия ЭСП. После окончания эксперимента печень и холедох были извлечены и хранены до анализа в жидком азоте и печени, используя общепринятые методы (ЧССР), определяли содержание общих липидов, триглицеридов, фосфатных кислот, кетоновых тел [2], барбитуровой кислотой [11], флюориметрические результаты обрабатывали с помощью программы SPSS [9].

Результаты и их обсуждение

В табл. 1 приведены результаты, которые показали достоверность снижения концентрации глюкозы (в сыворотке на 34%), что согласуется с данными эксперимента, наблюдавшегося в

Д. и др. Лабораторные методы исследований // Физиол. журн. — 1989. — 3, № 5. — Страницы кровь. — М.: Изд-во Моск. ун-та.

Concentrated DDAVP: Further Improvements // Thromb. and Haemost. — diagnostics. — München : Deutschland

Vasopressin and the regulation of fibrinolysis in absence of adrenaline release // J. Physiol. — 1983. — P. 93.

F. Experimentelle Untersuchungen zur Wirkung von DDAVP // Folia Haematol. — 1984. — coagulation time of blood // Amer. J. Clin. Pathol. — 1980. — 74. — P. 351—359.

Effect of vasopressin // Front. Horm. Res. — 1985. — 103. —

Permeation of DGAVP (Org 5667) across epithelial membranes. — 1987. — 8. — P. 261—265.

Effect of DDAVP in patients with von Willebrand's disease. — Normal level of F VIII/vWF and normal bleeding time after tooth extraction // Thromb. and Haemost. — 1980. — 45. — P. 351—359.

Effect of DDAVP on primary haemostasis. — 1987. — 1330. — P. 365.

pilot study: desmopressin (DDAVP) // Thromb. and Haemost. — 1987. — 45, N 5. —

et al. Radioimmunoassay of desglycine-1 in a pharmacokinetic study in the dog // Thromb. and Haemost. — 1987. — 47. —

Материал поступил в редакцию 02.10.89

акже в результате широкого производства и в быту ческого электричества за счет фильтрации, электросеке древесины, полимерных и

синтетических материалов, при перекачке нефтепродуктов, транспортировке сыпучих веществ возникают сильные электростатические поля (ЭСП). Например, при шлифовке фанеры и прессованного картона напряженность (E) поля достигает 1000—1600 кВ/м, при каландировании тканей с синтетическими добавками — 1200 кВ/м, а вблизи поверхности тела рабочего создается ЭСП напряженностью 500—1500 кВ/м [4, 7]. В настоящее время рекомендована, как пороговая, напряженность ЭСП до 15—20 кВ/м при круглосуточном воздействии [10]. Однако требования технологических процессов не всегда позволяют выдерживать этот норматив, и человек часто оказывается под влиянием мощных ЭСП. Это определило режим воздействия ЭСП в нашем эксперименте. Действие ЭСП на организм может проявляться через различные механизмы. С одной стороны, наложение внешнего ЭСП может модифицировать собственное поле организма [1, 8] и любые процессы, связанные с переносом заряженных частиц [3, 15, 16]. С другой, механизм действия ЭСП на организм включает нейроэндокринную и биохимическую составляющие метаболической реакции организма. Вследствие гетерогенности строения кожи происходит миграционная поляризация, что изменяет функциональное состояние рецепторов и искаивает информацию о внешнем воздействии. Такая «дезинформация» приводит к неадекватным регулирующим сигналам со стороны подкорковых структур и всего мозга в целом. Изменение же функционального состояния мозга сопровождается изменением в нем биохимических показателей углеводно-жирового и белкового обмена [4].

Объективными и достоверными показателями [13] общего состояния организма и его адаптационных возможностей являются биохимические параметры: содержание глюкозы, холестерина, свободных жирных кислот (СЖК), фосфолипидов (ФЛ), триглицеридов (ТГ), общих липидов (ОЛ), продуктов перекисного окисления липидов (ПОЛ), определяемые в крови, печени и мозгу. Как изменяются значения этих показателей под влиянием ЭСП, целесообразно уточнить.

Цель нашей работы — определение адаптационных возможностей организма молодых половозрелых крыс в условиях хронического воздействия ЭСП.

Методика

Эксперименты проведены на 32 трехмесячных крысах-самках линии Вистар (по 16 животных в контроле и опыте). Подопытных крыс подвергали воздействию ЭСП по 6 ч ежедневно в течение 3 нед. Клетку с подопытными крысами помещали между пластинами конденсатора, расстояние между которыми составляло 15 см. К обкладкам конденсатора от высоковольтного блока подавали ток напряжением 35 кВ, что создавало напряженность поля около 320 кВ/м. Клетка с крысами контрольной группы находилась в тех же условиях, но была защищена экраном от воздействия ЭСП. После окончания эксперимента крыс декапитировали, извлекали мозг, печень и хранили до анализа в жидким азоте. В сыворотке крови, гомогенатах мозга и печени, используя общепринятые методы и наборы реактивов фирмы «Lachema» (ЧССР), определяли содержание следующих контролируемых веществ: глюкозы, общих липидов, триглицеридов, фосфолипидов, холестерина, гликогена, свободных жирных кислот, кетоновых тел [2], малонового дикарбонового диальдегида (МДА) по реакции с тиобарбитуровой кислотой [11], флуоресцирующих липопигментов (ЛП) [15]. Полученные результаты обрабатывали статистически с использованием критерия t Стьюдента [9].

Результаты и их обсуждение

В табл. 1 приведены результаты исследования содержания углеводов, которые показали достоверное увеличение относительной концентрации глюкозы (в сыворотке крови на 36, в печени на 62, в мозгу на 34%), что согласуется с данными литературы [17]. Однако в нашем эксперименте наблюдали также увеличение на 60% содержания гли-

когена в печени. Достоверное увеличение (табл. 2) концентрации ТГ в мозгу и тенденция к увеличению — в печени при неизменном содержании СЖК в тканях и уменьшении значений этих показателей в крови свидетельствуют о сдвиге метаболизма СЖК в направлении этерификации, причем этот процесс не достигает насыщения. Подтверждением этому могут служить постоянная концентрация кетоновых тел во всех тканях и высокое содержание глюкозы, способное обеспечить достаточную активность гликолиза, чтобы не создавался дефицит глицерофосфата. Обычно содержание ТГ и содержание холестерина находятся в прямой зависимости [1], однако в наших экспериментах наблюдалось противоположное изменение этих показателей. Можно отметить тенденцию к снижению содержания холестерина во всех исследованных тканях при различном его обмене в печени и мозгу. Такое же изменение под влиянием ЭСП наблюдалось и в отношении ФЛ, но в печени достоверно увеличивалось отношение содержания холестерина к содержанию ФЛ от 0,8 до 1,34 при неизменности значения этого показателя в мозгу. Известно, что относительное увеличение содержания холестерина в мембране повышает ее жесткость, уменьшает по-

Таблица 1. Изменение содержания некоторых субстратов углеводного обмена в тканях крыс при действии электростатического поля ($M \pm m$)

Показатель, условие эксперимента	Сыворотка крови	Печень	Мозг
Глюкоза, ммоль/л			
контроль	4,32 ± 0,25	35,76 ± 5,44	7,24 ± 0,28
опыт	6,70 ± 0,52*	91,72 ± 7,49*	10,96 ± 0,50*
Гликоген, г/л			
контроль	—	25,50 ± 2,70	—
опыт	—	63,00 ± 8,68*	—

* Различие контроль — опыт достоверно ($P < 0,01$).

Таблица 2. Изменение содержания некоторых субстратов и других показателей липидного обмена в тканях крыс при действии электростатического поля ($M \pm m$)

Показатель, условие эксперимента	Сыворотка крови	Печень	Мозг
Содержание:			
общих липидов, г/л			
контроль	3,96 ± 0,32	35,92 ± 0,21	55,20 ± 4,99
опыт	4,30 ± 0,41	48,00 ± 0,48**	46,80 ± 4,60
фосфолипидов, г/л			
контроль	—	2,26 ± 0,21	2,32 ± 0,06
опыт	—	1,46 ± 0,18*	2,26 ± 0,05
холестерина, г/л			
контроль	0,12 ± 0,01	0,20 ± 0,01	0,24 ± 0,01
опыт	0,10 ± 0,01	0,18 ± 0,01	0,22 ± 0,01
Отношение содержания холестерина к содержанию фосфолипидов:			
контроль	—	0,80 ± 0,08	1,02 ± 0,02
опыт	—	1,34 ± 0,14**	1,02 ± 0,01
Содержание:			
триглицеридов, г/л			
контроль	—	20,99 ± 0,59	11,01 ± 0,59
опыт	—	22,49 ± 2,93	15,38 ± 0,42***
свободных жирных кислот, г/л			
контроль	4,31 ± 0,30	8,82 ± 1,40	12,60 ± 1,53
опыт	3,00 ± 0,33*	9,85 ± 1,23	13,58 ± 1,98

Примечание. Различие контроль — опыт достоверно: * $P < 0,05$; ** $P < 0,02$; *** $P < 0,001$.

движность, снижает проницаемость на интенсивности П

Изучение содержания продуктов ПОЛ выявило достоверных тканях при неизмененных продуктах — флюоресци

Таблица 3. Изменение окисления липидов в тканях при действии электростатического поля

Показатель, условие эксперимента

Малоновый диальдегид, нмоль/г	
контроль	
опыт	
Липопигменты, ед. флюор./мг	
контроль	
опыт	

* Различие контроль — опыт

Таблица 4. Изменение содержания мочевины в тканях при действии электростатического поля ($M \pm m$)

Показатель, условие эксперимента	Сырье
Мочевина, ммоль/л	
контроль	
опыт	

Примечание. Отличие контроль — опыт

Некоторые авторы [12] считают, что действие ЭСП сначала оказывает неблагоприятное влияние на энергетические процессы, а затем — стимулирующее. В нашем случае это выражается в том, что введение ЭСП в организм приводит к снижению содержания мочевины в тканях с контролем (табл. 4).

Это может свидетельствовать о снижении обмена белков в условиях действия ЭСП, что может быть обусловлено недостатком энергии, обеспечивающей деградацию белков в организме.

Таким образом, при изучении биохимических показателей в организме мы можем судить о состоянии организма на действие ЭСП. Важно отметить, что в большей мере характер изменения азота в организме зависит от действительности во всех исследованных тканях. Для оценки состояния организма можно использовать показатель для оценки обмена азота в организме.

ение (табл. 2) концентрации ТГ в печени при неизменном содержании этих показателей в крови СЖК в направлении этерифицирует насыщению. Подтверждена концентрация кетоновых тел и глюкозы, способное обеспечить глюкозу не создавался дефицит глика и содержание холестерина на-однако в наших экспериментах неизменности значения этого показателя. Можно от-существенное увеличение содержа-жесткость, уменьшает по-

екоторых субстратов углеводного электростатического поля ($M \pm m$)

Печень	Мозг
5,76±5,44 1,72±7,49*	7,24±0,28 10,96±0,50*
5,50±2,70 3,00±8,68*	—

$P < 0,01$.

х субстратов и других показателей электростатического поля ($M \pm m$)

Печень	Мозг
35,92±0,21 48,00±0,48**	55,20±4,99 46,80±4,60
2,26±0,21 1,46±0,18*	2,32±0,06 2,26±0,05
0,20±0,01 0,18±0,01	0,24±0,01 0,22±0,01
0,80±0,08 1,34±0,14**	1,02±0,02 1,02±0,01
20,99±0,59 22,49±2,93	11,01±0,59 15,38±0,42***
8,82±1,40 9,85±1,23	12,60±1,53 13,58±1,98

достоверно: * $P < 0,05$; ** $P < 0,02$;

движность, снижает проницаемость для некоторых метаболитов и скаживается на интенсивности ПОЛ.

Изучение содержания вторичных (МДА) и конечных (ЛП) продуктов ПОЛ выявило достоверное усиление этого процесса в исследованных тканях при неизменном, однако, количестве инертных конечных продуктов — флюоресцирующих липопигментов (табл. 3).

Таблица 3. Изменение содержания продуктов перекисного окисления липидов в тканях крыс при действии электростатического поля ($M \pm m$)

Показатель, условие эксперимента	Печень	Мозг
Малоновый диальдегид, нмоль/г		
контроль	326,4±8,3	703,8±77,0
опыт	375,6±18,8*	953,4±74,0*
Липопигменты, ед. флюор./мг		
контроль	11,30±1,52	13,90±2,20
опыт	11,86±0,56	14,29±1,10

* Различие контроль — опыт достоверно ($P < 0,05$).

Таблица 4. Изменение содержания мочевины в тканях крыс при действии электростатического поля ($M \pm m$)

Показатель, условие эксперимента	Сыворотка крови	Печень	Мозг
Мочевина, ммоль/л			
контроль	5,13±0,36	5,74±0,50	2,90±0,38
опыт	6,75±0,10*	7,84±0,64**	5,08±0,12*

Примечание. Отличие контроль — опыт достоверно: * $P < 0,01$; ** $P < 0,05$.

Некоторые авторы [12] отмечают, что при действии многих стрессорных факторов сначала снижаются (почти в 2 раза) значения всех показателей энергетического метаболизма — как защитная реакция на нервную нагрузку, а затем восстанавливаются за счет переключения процессов обеспечения энергией с углеводного на липидный и белковый обмен. В наших экспериментах наблюдалось достоверное увеличение содержания мочевины во всех исследованных тканях по сравнению с контролем (табл. 4).

Это может свидетельствовать об интенсификации катаболизма белков в условиях действия ЭСП, а также об активации глюконеогенеза, обеспечивающего достаточное количество глюкозы без гликогенолиза и β -окисления.

Таким образом, при используемом режиме действия ЭСП изученные биохимические показатели углеводного, липидного и белкового обмена свидетельствуют о возбуждении нервной системы, не превышающем физиологические возможности адаптации. Ответная реакция организма на действие ЭСП проявляется в тканевой специфичности и в большей мере характерна для печени. Высокая чувствительность обмена азота к действию ЭСП, проявляющаяся с высокой достоверностью во всех исследованных тканях, позволяет рекомендовать этот показатель для оценки физиологического состояния отдельного организма.

EFFECT OF THE CHRONICAL ACTION OF ELECTROSTATIC FIELD
ON CERTAIN BIOCHEMICAL INDICES OF TISSUES

The action of electrostatic field (320 kV/m) on the adaptability has been studied in experiments on young Wistar rats (females). Some parameters of carbohydrate, lipid and protein metabolism, and the process of lipid peroxidation were observed in blood serum, liver and brain. Glucose content was observed to increase in all the tissues, liver glycogen, cholesterol / phospholipid ratio. The urea and malondialdehyde increased in the liver and brain. The experiments have shown that the physiological adaptability is high.

A. M. Gorky University, Ministry of Higher
and Secondary Special Education of the Ukrainian SSR, Kharkov

СПИСОК ЛИТЕРАТУРЫ

1. Зацепина Г. Н., Куприн С. П., Тульский С. В., Флеров М. Н. Изменение постоянного электрического поля человека в процессе адаптации // Биофизика. — 1982. — 27, № 3. — С. 520—526.
2. Лабораторные методы исследования в клинике // Под ред. Меньшикова В. В. — М.: Медицина, 1987. — 366 с.
3. Музалевская Н. И., Бобров А. В. О возможной роли двойных электрических слоев в реакции биологических объектов на внешние воздействия // Биофизика. — 1988. — 33, № 4. — С. 725—726.
4. Палладин А. В. Вопросы биохимии нервной системы // Киев : Наук. думка, 1965. — 183 с.
5. Пирюзян Л. А., Арицунн Г. Г., Романов Г. В. и др. Воздействие электростатического поля на оксигемоглобин белых беспородных мышей // Изв. АН СССР. Сер. биол. — 1974. — № 4. — С. 597—599.
6. Портнов Ф. Г., Непомнящий Г. И., Иерусалимский А. П. Актуальные вопросы гигиены труда и профессиональной патологии при воздействии статического электричества // Гигиена труда и биологическое действие электромагнитных волн радиочастот. — М.: Медицина, 1972. — С. 101—102.
7. Проблемы клинической биофизики. Влияние на организм статических электрических полей, аэроионов, электроаэрозолей / Под ред. Портнова Ф. Г.— Рига : Зиннатнэ; 1972. — 250 с.
8. Протасов В. Р., Сердюк О. А. Биоэлектрические поля: источники, характер, назначение // Успехи совр. биологии. — 1982. — 93, № 2. — С. 270.
9. Рокицкий П. Ф. Биологическая статистика // Минск : Вышешшая школа, 1973. — 352 с.
10. Сердюк А. М. Взаимодействие организма с электромагнитными полями как с фактором окружающей среды // Киев : Наук. думка, 1977. — 226 с.
11. Современные методы в биохимии / Под ред. Ореховича В. Н.— М.: Медицина, 1977. — 391 с.
12. Тимашев С. Ф. Влияние электрических полей на кинетику биологических процессов // Биофизика. — 1981. — 26, Вып. 4. — С. 642—646.
13. Фурдуй Ф. И., Тонкоглас В. П., Хайдарлиу С. Х. и др. Функциональное состояние гипоталамо-гипофизарной нейросекреторной системы в первые минуты действия стрессоров // Изв. АН МССР, сер. биол. и хим. наук. — 1981. — № 6. — С. 5—8.
14. Хайдарлиу С. Х. Нейромедиаторные механизмы адаптации // Кишинев : Штиинца, 1989. — 265 с.
15. Fletcher B. L., Dillard C. J., Tappel A. L. Free radical in biology // Anal. Biochem. — 1973. — 52, N 1. — P. 1—9.
16. McSaughlin S., Poo M. M. The role of electro-osmosis in the electricfield-induced movement of charged macromolecules on the surfaces of cells // Biophys. J. — 1981. — 34, N 1. — P. 85—93.
17. Reddy S. S., Raghukumar V. Effect of electrostatic field on the blood glucose, liver glycogen and cholesterol levels in rat // Curr. Sci. — 1983. — 59, N 2. — P. 1183—1184.

Харьков. ун-т им. А. М. Горького
М-ва высш. и сред. спец. образования УССР

Материал поступил
в редакцию 30.06.89

Свободный выбор солей
и функционирование ф-
механизмов тонкой киш-
обеспеченности организма

Недавно было показано уча-
ций энтероцитов — мембра-
дов [1, 3, 7, 10]. Приклад
механизмов регуляции тра-
ния свойств транспортных
специфичности организма Ca²⁺
цита имеет еще один аспек-
поведения от содержания
направлении важны для из-
ведения работы пищеварите-
ских уровней. В связи с
экспериментов: в первом —
выбора крысами растворое-
симости от потребностей
втором — оценивали влия-
стемы энтероцитов в орган-

Методика

Опыты проведены на 48 крыса
 ± 12 г, которых содержали и
определяли солевой аппетит в
раствором Рингера и его безка-
течение 20 сут. Животных разд-
виях и ежедневно подвергали
инъекции растворов. Аппетит к
3 сут, как правило, через 24
I группы служили контролем в
биологический раствор (2 и 0,2 м
желудочно 2 мл 5 %-ного раствор
физиологического раствора ви-
звеси ЭДТА и внутрибрюшинно
желудочно 2 мл физиологического
2,5 мг верапамила на 1 кг мас-
ства и внутрибрюшинно 0,1
VI — внутрижелудочно 0,2 мл
признаков гипервитаминозной
физиологического раствора.

На втором этапе экспери-
тов, исследовали свойства тра-
вотных, голодавших в течение
ку (без двенадцатиперстной) п-
паративные процедуры осущес-
кашицы, состоящей из безкал-
ли аккумулирующие препараты
свободной глюкозы и глюкозы
Ca²⁺ и без него. АПС инкуби-
шивания и оксигенации инкуба-
глюкозы или 5 ммоль/л мальт-
NaCl: 5,2 ммоль/л KCl; 2,1 м-
бескальциевом аналоге. Конце-
мышьяково-молибденовым мет-
нили машинным способом, исп-

УДК 591.047;591.434;612.014.463

Э. Г. Гурман, Е. А. Багирова, В. В. Сурмак

Свободный выбор солевых растворов и функционирование ферментативно-транспортных механизмов тонкой кишки при различной обеспеченности организма кальцием

Недавно было показано участие Ca^{2+} в регуляции доминирующих функций энтероцитов — мембранного гидролиза [4] и транспорта углеводов [1, 3, 7, 10]. Прикладные аспекты изучения роли Ca^{2+} -зависимых механизмов регуляции транспорта нутриентов потребовали исследования свойств транспортных систем энтероцитов в зависимости от обеспеченности организма Ca^{2+} . Кроме того, проблема кальциевого дефицита имеет еще один аспект — зависимость так называемого пищевого поведения от содержания кальция в организме. Исследования в этом направлении важны для изучения соответствия характера пищевого поведения работе пищеварительных механизмов различных иерархических уровней. В связи с вышесказанным было проведено два цикла экспериментов: в первом — исследовали целесообразность свободного выбора крысами растворов, отличающихся содержанием Ca^{2+} , в зависимости от потребностей организма при различных воздействиях, во втором — оценивали влияние Ca^{2+} на ферментативно-транспортные системы энтероцитов в организме этих животных.

Методика

Опыты проведены на 48 крысах-самцах линии Вистар одной партии массой (165 ± 12) г, которых содержали на зерновом рационе. На первом этапе эксперимента определяли солевой аппетит в условиях свободного выбора между классическим раствором Рингера и его безкальциевым аналогом, как описано нами ранее [2], в течение 20 сут. Животных разделили на шесть групп, содержащие в одинаковых условиях и ежедневно подвергали внутрижелудочному введению и внутрибрюшинной инъекции растворов. Аппетит к Ca^{2+} у крыс этих групп измеряли через каждые 2—3 сут, как правило, через 24 ч после предыдущего введения препарата. Животные I группы служили контролем и получали внутрижелудочно и внутрибрюшинно физиологический раствор (2 и 0,2 мл соответственно). Крысы II группы получали внутрижелудочно 2 мл 5 %-ного раствора CaCl_2 (около 0,5 г CaCl_2 на 1 кг массы) и 0,2 мл физиологического раствора внутрибрюшинно, III — внутрижелудочно 2 мл 5 %-ной взвеси ЭДТА и внутрибрюшинно 0,2 мл физиологического раствора, IV — внутрижелудочно 2 мл физиологического раствора и внутрибрюшинно 0,2 мл финоптина (около 2,5 мг верапамила на 1 кг массы), V — внутрижелудочно 2 мл физиологического раствора и внутрибрюшинно 0,1 мл 2,5 %-ного раствора аминазина (около 7,5 мг/кг), VI — внутрижелудочно 0,2 мл масляного раствора эргокальциферола (1000 МЕ/кг; признаков гипервитаминозной токсичности не отмечали) и внутрибрюшинно 0,2 мл физиологического раствора.

На втором этапе эксперимента, через сутки после последнего введения препарата, исследовали свойства транспортных систем тонкой кишки крыс шести групп. Животных, голодавших в течение суток, декапитировали. Экстериорированную тонкую кишку (без двенадцатиперстной) промывали и разрезали на 12 участков по 3 см. Все preparative procedures осуществляли при тщательном охлаждении в слое ледяной кашицы, состоящей из безкальциевого раствора Рингера. Из участков кишки готовили аккумулирующие препараты слизистой (АПС) [9] для исследования транспорта свободной глюкозы и глюкозы, образующейся из мальтозы (M-глюкозы) при наличии Ca^{2+} и без него. АПС инкубировали в течение 60 мин при температуре 37 °C, перемешивании и оксигенации инкубационных сред объемом 100 мл, содержащих 10 ммоль/л глюкозы или 5 ммоль/л мальтозы, приготовленных на растворе Рингера (145 ммоль/л NaCl ; 5,2 ммоль/л KCl ; 2,1 ммоль/л CaCl_2 и 1,4 ммоль/л NaHCO_3 ; pH 7,4) и на его бескальциевом аналоге. Концентрацию глюкозы, накопленной в АПС, определяли мышьяково-молибденовым методом [8]. Расчеты и статистическую обработку выполняли машинным способом, используя критерии Фишера и Стьюдента [5].

Результаты

Предварительное определение солевого аппетита показало, что в среднем для 48 крыс потребление жидкости составило $(35,5 \pm 2,4)$ мл, из которых $61\% \pm 3\%$ ($19,8 \text{ мл} \pm 1,6 \text{ мл}$) приходилось на раствор Рингера, содержащий Ca^{2+} , и $39\% \pm 3\%$ — на безкальциевый раствор.

Хронические воздействия на Ca -обмен изменяли потребление растворов следующим образом (табл. 1). Суммарное потребление жидкости снизилось в III группе (что, вероятно, должно компенсировать обессоливание организма под действием ЭДТА) и достоверно снизилось у крыс V группы, получавших аминазин. Снижение потребления жидкости, кроме специализированных воздействий аминазином, может быть обусловлено угнетением двигательной активности крыс. Предпочтение солевого раствора, содержащего Ca^{2+} , отчетливо выражено у животных контрольной группы; у крыс, получавших ЭДТА (у них различие долей потребления классического раствора Рингера и его безкальциевого аналога максимальное); у крыс, получавших верапамил, и менее выражено у крыс, получавших витамин D. Это представляется логичным, если учесть характер действия веществ на организм. Например, у крыс последней (VI) группы эффективная работа Ca^{2+} -связывающих белков может ослаблять потребность в экзогенном Ca^{2+} . Крысы II группы, получавшие ежедневную нагрузку Ca^{2+} , и крысы V группы, до этого отдававшие предпочтение кальциевым растворам, в ходе опыта одинаково относились к этим растворам или отдавали некоторое предпочтение безкальциевому. У крыс IV группы наблюдалось усиление выбора раствора, содержащего Ca^{2+} , через 60 мин после инъекции, до $70\% \pm 3\%$ против $53—59\%$ во всех остальных опытах, в которых аппетит к кальцию исследовали через 24 ч после инъекции. По-видимому, это отражает наличие двух компонентов действия верапамила на потребность организма в Ca^{2+} : блокада входа Ca^{2+} опережает нарушение функций Ca^{2+} -зависимых систем оккупацией рецепторов Ca^{2+} верапамилом, имитирующей загруженность кальцием. У животных V группы предпочтение не наблюдалось либо из-за нарушения механизмов, управляющих выбором питьевых растворов (например, через дофаминовые рецепторы), либо из-за нарушения кальмодулиновых систем, которое делает несущественным интенсивность поступления экзогенного Ca^{2+} .

Первый этап дал основания для ранжирования групп животных по потребности в Ca^{2+} , проявляющейся в аппетите: у крыс I группы имеется естественная потребность в Ca^{2+} , II — организм насыщен кальцием, III — потребность в Ca^{2+} усиlena его поглощением ЭДТА, IV — потребность в Ca^{2+} выражена почти как у животных контрольной группы.

Таблица 1. Свободный выбор крысами растворов, отличающихся содержанием Ca^{2+} , в зависимости от потребностей организма при различных воздействиях ($M \pm m$; $n=5$)

Воздействующее вещество	Суммарное потребление жидкости, мл	Потребление классического раствора Рингера		Потребление безкальциевого аналога раствора Рингера		Достоверность выбора
		мл	%	мл	%	
Физиологический раствор (I гр.; контроль)	$27,2 \pm 3,3$	$17,0 \pm 1,8$	$63,7 \pm 4,6$	$10,0 \pm 2,4$	$32,3 \pm 4,6$	$P < 0,001$
Хлористый кальций (II гр.)	$33,1 \pm 4,1$	$15,7 \pm 1,6$	$48,9 \pm 4,7$	$17,3 \pm 3,6$	$51,1 \pm 4,7$	$P > 0,1$
ЭДТА (III гр.)	$21,4 \pm 1,4$	$14,2 \pm 1,3$	$66,1 \pm 3,6$	$7,2 \pm 0,8$	$33,9 \pm 3,6$	$P < 0,001$
Верапамил (IV гр.)	$29,0 \pm 1,3$	$16,5 \pm 1,1$	$56,7 \pm 2,7$	$12,3 \pm 0,8$	$43,3 \pm 2,7$	$P < 0,001$
Аминазин (V гр.)	$15,8 \pm 1,5$	$7,4 \pm 1,0$	$47,3 \pm 5,2$	$8,4 \pm 1,2$	$52,7 \pm 5,2$	$P > 0,1$
Витамин D ₂ (VI гр.)	$25,3 \pm 2,0$	$14,6 \pm 1,6$	$58,2 \pm 5,0$	$10,6 \pm 1,6$	$41,8 \pm 5,0$	$P < 0,05$

36

Физiol. журн. 1990, т. 36, № 3

пы, V — под действием амфотерина растворов и VI — чем обычно, резерва Ca^{2+} стимулирован витамином D. Следует отметить, что на. Так, исходно близкие опыты имели следующую: ±15 г, III — 158 г ±5 г, IV ±22 г. У животных III и сравнению с исходной.

В табл. 2 представлена глюкозных транспортных Ca^{2+} в инкубационной сыворотке козы в АПС у крыс всех свободной глюкозы максимальна у крыс, получавшими недостоверно. Аккумуляция и минимальна у крыс транспорта свободной глюкозы в инкубационной группе назин, в АПС накапливала глюкозы. Для свободного пассивного. Следует отметить, что кишечник был покрыт АПС, но вряд ли было существенно отличалась от

Таблица 2. Транспорт свободной глюкозы в АПС у крыс, получавших аккумулирующими препаратами (2,1 ммоль/л) в инкубационной

Воздействующее вещество	Физиологический раствор (I гр.; контроль)	Хлористый кальций (II гр.)	ЭДТА (III гр.)	Верапамил (IV гр.)	Аминазин (V гр.)	Витамин D ₂ (VI гр.)
Воздействующее вещество						

Физиологический раствор (I гр.; контроль)	Хлористый кальций (II гр.)	ЭДТА (III гр.)	Верапамил (IV гр.)	Аминазин (V гр.)	Витамин D ₂ (VI гр.)
Физиологический раствор (I гр.; контроль)					

* Достоверный ($P < 0,01$) эффект Ca^{2+} выявляется по непараметрическим критериям.

Физiol. журн. 1990, т. 36,

аппетита показало, что в среднем составило $(35,5 \pm 2,4)$ мл, из приходилось на раствор Рингера безкальциевый раствор.

Суммарное потребление жидкости, должно компенсировать (м ЭДТА) и достоверно снизили аминазин. Снижение потребления воздействий аминазином, может быть активности крыс. Предоставлено Ca^{2+} , отчетливо выражено у получавших ЭДТА (у них разные растворы Рингера и его безкрыс, получавших верапамил, и витамин D). Это представляется вещества на организм. Наприятливая работа Ca^{2+} -связывающей способности в экзогенном Ca^{2+} ,ную нагрузку Ca^{2+} , и крысы Vение кальциевым раствором, в раствором или отдавали не-У крыс IV группы наблюдалось Ca^{2+} , через 60 мин после % во всех остальных опытах, ви через 24 ч после инъекции,х компонентов действия вера- Ca^{2+} : блокада входа Ca^{2+} опере-их систем оккупацией рецепторов, агрегированность кальцием. У жи-далось либо из-за нарушения тельевых растворов (например, за нарушения кальмодулино-нным интенсивность поступле-

анжирования групп животных в аппетите: у крыс I группы, II — организм насыщен кальцием поглощением ЭДТА, IV — у животных контрольной группы, отличающихся содержанием Ca^{2+} , различными воздействиями ($M \pm m$; $n=5$)

с. з	Потребление безкальциевого аналога раствора Рингера		Достоверность выбора
	мл	%	
1,6	10,0 \pm 2,4	32,3 \pm 4,6	$P < 0,001$
1,7	17,3 \pm 3,6	51,1 \pm 4,7	$P > 0,1$
1,6	7,2 \pm 0,8	33,9 \pm 3,6	$P < 0,001$
1,7	12,8 \pm 0,8	43,3 \pm 2,7	$P < 0,001$
1,2	8,4 \pm 1,2	52,7 \pm 5,2	$P > 0,1$
1,0	10,6 \pm 1,6	41,8 \pm 5,0	$P < 0,05$

пы, V — под действием аминазина не наблюдается какого-либо предпочтения растворов и VI — оно ослаблено, возможно, из-за большего, чем обычно, резерва Ca^{2+} в Ca^{2+} -связывающих белках, синтез которых стимулирован витамином D.

Следует отметить, что динамика массы крыс разных групп различна. Так, исходно близкие по массе крысы ($165 \text{ g} \pm 12 \text{ g}$) через 20 сут опыта имели следующую массу: I группы — $198 \text{ g} \pm 16 \text{ g}$, II — $182 \text{ g} \pm 15 \text{ g}$, III — $158 \text{ g} \pm 5 \text{ g}$, IV — $172 \text{ g} \pm 14 \text{ g}$, V — $142 \text{ g} \pm 10 \text{ g}$, VI — $181 \text{ g} \pm 22 \text{ g}$. У животных III и, особенно, V групп масса уменьшилась по сравнению с исходной.

В табл. 2 представлены результаты исследования чувствительности глюкозных транспортных систем тонкой кишки подопытных крыс к Ca^{2+} в инкубационной среде. При наличии Ca^{2+} концентрации глюкозы в АПС у крыс всех групп, кроме VI, были сходны. Аккумуляция свободной глюкозы максимальна у крыс, получавших витамин D, и минимальна у крыс, получавших верапамил, однако различие между ними недостоверно. Аккумуляция M-глюкозы максимальна у крыс VI группы и минимальна у крыс контрольной группы. При этом различия транспорта свободной глюкозы и M-глюкозы достоверны только у животных контрольной группы. В V группе, крысам которой вводили аминазин, в АПС накапливалась наименьшая концентрация M- и свободной глюкозы. Для свободной глюкозы транспорт оставался на уровне пассивного. Следует отметить, что у всех 8 крыс, которым вводили аминазин, кишка была покрыта сетью спаек. Это затрудняло приготовление АПС, но вряд ли было главной причиной их неспособности к противоградиентному транспорту глюкозы. Визуально кишка этих крыс существенно отличалась от кишки других крыс. Она заметно большего

Таблица 2. Транспорт свободной глюкозы и глюкозы, образующейся из мальтозы, аккумулирующими препаратами слизистой в зависимости от содержания Ca^{2+} (2,1 ммоль/л) в инкубационной среде ($M \pm m$; $n=6$)

Воздействующее вещество	Свободная глюкоза		
	Содержание		
	ммоль/л	%	
с Ca^{2+}	без Ca^{2+}	без Ca^{2+}	
Физиологический раствор (I гр.; контроль)	18,86 \pm 1,21	14,06 \pm 1,35	74,8 \pm 5,8*
Хлористый кальций (II гр.)	19,92 \pm 1,56	19,35 \pm 0,98	98,5 \pm 4,9
ЭДТА (III гр.)	19,65 \pm 2,87	14,57 \pm 0,69	80,0 \pm 8,4**
Верапамил (IV гр.)	16,71 \pm 2,22	16,73 \pm 1,76	102,2 \pm 5,5
Аминазин (V гр.)	9,65 \pm 1,05	10,20 \pm 1,12	110,4 \pm 12,6
Витамин D ₂ (VI гр.)	21,37 \pm 1,81	19,51 \pm 1,95	92,1 \pm 6,1

Воздействующее вещество	Глюкоза, полученная из мальтозы		
	Содержание		
	ммоль/л	%	
с Ca^{2+}	без Ca^{2+}	без Ca^{2+}	
Физиологический раствор (I гр.; контроль)	11,04 \pm 0,72	7,14 \pm 0,60	66,4 \pm 7,8*
Хлористый кальций (II гр.)	14,74 \pm 3,01	10,09 \pm 1,59	72,5 \pm 6,4**
ЭДТА (III гр.)	16,50 \pm 2,53	12,16 \pm 2,00	73,7 \pm 3,0*
Верапамил (IV гр.)	16,96 \pm 3,08	12,38 \pm 2,63	72,3 \pm 2,9**
Аминазин (V гр.)	9,23 \pm 1,45	6,80 \pm 0,54	79,4 \pm 8,4**
Витамин D ₂ (VI гр.)	18,16 \pm 0,86	15,63 \pm 0,74	86,8 \pm 5,2**

* Достоверный ($P < 0,01$) эффект отсутствия Ca^{2+} ; ** достоверный эффект отсутствия Ca^{2+} выявляется по непараметрическому критерию.

диаметра, стенки ее толще и ее труднее выворачивать из-за более жесткой, чем обычно, серозной оболочки. При этом масса 1 см кишки крыс V группы была на 25—35 % больше массы 1 см кишки здоровых крыс такой же массой: у крыс массой около 180 г 1 см кишки в норме имеет массу 85—94 мг, тогда как после инъекций аминазина — 125—134 мг. Однако после дезептилизации с помощью ЭДТА [7] кишка теряла 35—50% исходной массы. Это несколько превышает имеющиеся оценки доли массы энтероцитарного слоя, в норме составляющей 30—35% [6]. Следовательно, большее число энтероцитов кишки крыс, получавших аминазин, менее способно к транспорту глюкозы, чем крыс контрольной группы, причем увеличение пула энтероцитов, вероятно, должно компенсировать их низкую продуктивность.

Безкальциевые среды оказывают неидентичное действие на однотипные транспортные системы у животных разных групп, а разные транспортные системы у одних и тех же крыс не всегда одинаково реагируют на безкальциевую среду. Так, среди групп животных, у которых АПС способны к активному транспорту, тормозной эффект безкальциевых сред на аккумуляцию свободной глюкозы полностью устраняется хронической нагрузкой организма кальцием или введением верапамила. В отношении М-глюкозы эффект безкальциевых сред сохраняется у животных всех групп.

Обсуждение

Хроническое воздействие на Са-обмен отразилось на потреблении крысами экзогенного Ca^{2+} . В таких условиях животные контрольной группы продолжают отдавать предпочтение Са-содержащему раствору. Введение хлорида кальция устраивает это предпочтение, а введение ЭДТА усиливает потребность в Ca^{2+} . Эти ситуации моделируют изменение состава пищи по кальцию и Са-связывающим агентам. Введение верапамила и аминазина, подобно ситуациям у кардиологических и психиатрических больных, действует на кальциевые системы и по-разному отражается на аппетите к Ca^{2+} : на фоне верапамила он, в основном, сохраняется, а на фоне аминазина исчезает. Избыток витамина D ослабляет аппетит к Ca^{2+} . Следовательно, животные разных групп, взятые в опыт *in vitro*, различались состоянием Са-обмена, моделируя естественные и терапевтически значимые изменения физиологического статуса организма.

Безкальциевая инкубационная среда достоверно снижает аккумуляцию свободной глюкозы у животных контрольной группы и у крыс, получавших ЭДТА на 20—25%. Отметим, что у крыс именно этих групп аппетит к Ca^{2+} был наиболее выражен. У крыс, получавших нагрузку CaCl_2 и переставших к началу опыта *in vitro* отдавать предпочтение Са-содержащему раствору, достаточно активный транспорт глюкозы в АПС не снижался в безкальциевых средах. У крыс, получавших аминазин и не отдававших в выборе питья предпочтения раствору, содержащему Ca^{2+} , ингибиторного эффекта безкальциевых сред также не наблюдали. Однако эта нечувствительность транспортных систем к Ca^{2+} обусловлена, по-видимому, наличием только пассивного транспорта глюкозы, который не чувствителен к Ca^{2+} [1, 4]. У крыс, получавших верапамил и предпочитавших в выборе питья растворы, содержащие Ca^{2+} , эффекта безкальциевых сред на транспорт свободной глюкозы не было на фоне некоторого общего снижения транспорта глюкозы при наличии Ca^{2+} .

Что касается транспорта М-глюкозы, то безкальциевые инкубационные среды оказывают на него угнетающее влияние практически у крыс всех групп, хотя этот эффект у разных групп различен: от 34% в контрольной группе до 13% у крыс, получавших витамин D. Интересно отметить, что у крыс, получавших аминазин, на фоне пониженного (при наличии Ca^{2+}) транспорта глюкозы из растворов мальтозы безкальциевые среды вызывают достоверное снижение мальтозного

транспорта, тогда как транспорт пассивного, утрачивает чувствительность.

При наличии Ca^{2+} сочувствительно-транспортного конкуренции способности АПС к транспорту свободной глюкозы на D на транспорт свободной глюкозы, составляющее 10:9,6 за счет низкого транспорта мальтозы.

Таким образом, изменение гибкости кальмодулина — спиральных систем энтероцитов потребности организма в аппетите к Ca^{2+} , и чувствительности для свободной глюкозы к лены новые отличия свойств от свойств фермента, образующегося из мальтозы в инкубационной среде. Стабильность организма в Ca^{2+} и низкую потребность в одной из исследований вызывает эффект аминазина кишки.

E. G. Gurman, E. A. Bagirova, V. V. Golovchenko
FREE CHOICE OF SALT SOLUTIONS IN ENZYME-TRANSPORT MECHANISMS OF DIFFERENT CALCIUM-SUPPLYING CELLS

The data obtained suggest the following conclusions, which differ in Ca^{2+} -content of the salt solution for glucose under the influence of different calcium-supplying agents. The channel and maltose enzyme-transport character.

I. I. Mechnikov University, Ministry of Secondary Special Education of Russia

СПИСОК ЛИТЕРАТУРЫ

1. Багирова Е. А., Сурмак В. В. Поглощение глюкозы премальтозной средой // Физиол. журн. 1986. № 6. — С. 662—667.
2. Головченко Н. Я., Гурман Э. Г. Стабильность организма крысами в условиях свободного выбора питья // Физиол. журн. 1986. № 6. — С. 668—673.
3. Гурман Э. Г. Регуляция активности углеводных ферментов энтероцитов // Физиол. журн. 1987. № 6. — С. 674—679.
4. Гурман Э. Г., Багирова Е. А. Кинетика гидролиза гликогена и транспорт глюкозы в энтероцитах // Физиол. журн. 1988. № 6. — С. 680—685.
5. Евдокимов В. Г. Статистические методы в биологии. М.: Наука, 1980. — 184 с.
6. Метельский С. Т. Механизмы транспорта глюкозы в энтероцитах // Физиол. журн. 1987. — № 6. — С. 674—679.
7. Сурмак В. В., Багирова Е. А. Транспорт глюкозы в энтероцитах крыс // Физиол. журн. 1988. № 6. — С. 686—691.
8. Уголов А. М. Использование аминазина для лечения гипертонии // Известия АН СССР. Сер. биологических наук. 1969. — № 1. — С. 192—196.

Физиол. журн., 1990, т. 36,

ее выворачивать из-за более н. При этом масса 1 см кишки не массы 1 см кишки здоровых коло 180 г 1 см кишки в норме и инъекций аминазина — 125— помощью ЭДТА [7] кишка несколько превышает имеющиеся в норме составляющей 30— в энтероцитах кишки крыс, по транспорту глюкозы, чем крыс в пупе энтероцитов, вероятно, активность.

Идентичное действие на одних разных группах, а разные же крысы не всегда одинаково, среди групп животных, у которых, тормозной эффект бездной глюкозы полностью устраняется кальцием или введением эффект безкальциевых сред со-

разилось на потреблении крыс животные контрольной группы Са-содержащему раствору. Это предпочтение, а введение в ситуации моделируют изменяющим агентам. Введение иммуноглобулинов у кардиологических и психиатрических систем и по-разному верапамила он, в основном исчезает. Избыток витамина B₆, животные разных групп, влиянием Са-обмена, моделируя изменения физиологического

достоверно снижает аккумуляцию в контролльной группе и у крыс, что у крыс именно этих групп у крыс, получавших нагрузку *in vitro* отдавать предпочтение активный транспорт глюкозы в них. У крыс, получавших аминогруппы, предпочитания раствору, содержащему безкальциевые среды также не есть транспортных систем к только пассивного транспорта Са²⁺ [1, 4]. У крыс, получавших питья растворы, содержащие транспорт свободной глюкозы, снижение транспорта глюкозы

, то безкальциевые инкубации влияние практически у разных групп различен: от 34% получавших витамин D. Интенсивность аминазина, на фоне понижения глюкозы из растворов мальтозы иное снижение мальтозного

транспорта, тогда как транспорт свободной глюкозы, сниженный до пассивного, утрачивает чувствительность к Са²⁺.

При наличии Са²⁺ соотношение активности мальтозного ферментативно-транспортного конвейера у крыс шести групп, в целом, аналогично способности АПС к транспорту свободной глюкозы у крыс этих групп. Однако усиление транспорта у гипервитаминозных крыс в отношении мальтозы достоверно ($P < 0,001$), тогда как действие витамина D на транспорт свободной глюкозы значительно слабее. Соотношение способности АПС аккумулировать при наличии Са²⁺ свободную и М-глюкозу, составляющее у крыс контрольной группы 10:5,9, у крыс других групп выравнивается, и их различие становится недостоверным. При этом у крыс, получавших аминазин, это соотношение составляет 10:9,6 за счет низкого транспорта свободной глюкозы.

Таким образом, изменение Са-обмена (особенно под действием ингибитора кальмодулина — аминазина) отражается на работе транспортных систем энтероцитов. При этом прослеживается соответствие потребности организма в Са²⁺, выражающейся специализированным аппетитом к Са²⁺, и чувствительности транспортных систем энтероцитов для свободной глюкозы к безкальциевой инкубационной среде. Выявлены новые отличия свойств собственно глюкозной транспортной системы от свойств ферментативно-транспортного конвейера для глюкозы, образующейся из мальтозы: чувствительность последнего к безкальциевой инкубационной среде хотя и изменяется при различной потребности организма в Са²⁺, но в отличие от первой не исчезает полностью ни в одной из исследованных групп. Определенный интерес вызывает эффект аминазина на морфофункциональные свойства тонкой кишки.

E. G. Gurman, E. A. Bagirova, V. V. Surmak

FREE CHOICE OF SALT SOLUTIONS AND FUNCTIONING OF THE ENZYME-TRANSPORT MECHANISMS IN THE SMALL INTESTINE WITH DIFFERENT CALCIUM-SUPPLY OF THE ORGANISM

The data obtained suggest the coordinated changes in the rat free choice of the solutions, which differ in Ca²⁺-content, and sensitivity of the enterocyte transport systems for glucose under the influence of chronic Ca-tropic treatment. Response of the glucose channel and maltose enzyme-transport to such a treatment is stated to be of the specific character.

I. I. Mechnikov University, Ministry of Higher and Secondary Special Education of the Ukrainian SSR, Odessa

СПИСОК ЛИТЕРАТУРЫ

- Багирова Е. А., Сурмак В. В., Гурман Э. Г. Влияние двухвалентных катионов на поглощение глюкозы препаратами тонкой кишки // Физiol. журн.—1985.—31, № 6.—С. 662—667.
- Головенко Н. Я., Гурман Э. Г., Сурмак В. В. Потребление растворов солей и этианола крысами в условиях свободного выбора // Там же.—1988.—34, № 4.—С. 654—662.
- Гурман Э. Г. Регуляция активности глюкозных транспортных систем тонкой кишки, опосредованная ионами кальция // Там же.—1985.—31, № 6.—С. 657—662.
- Гурман Э. Г., Багирова Е. А., Сурмак В. В. Роль ионов кальция в функционировании углеводных ферментативно-транспортных ансамблей энтероцитов // Мембранный гидролиз и транспорт. Новые факты и гипотезы.—Л.: Наука, 1986.—С. 114—118.
- Бабокимов В. Г. Статистические программы для микрокалькулятора «Электроника БЭ-21». Материалы по математическому обеспечению ЭВМ.—Сыктывкар: Кomi филиал АН СССР, 1980.—78 с.
- Метельский С. Т. Механизмы и регуляция нутриент-зависимого транспорта натрия через апикальную мембрану энтероцитов: Автореф. дис. ... д-ра биол. наук.—М., 1987.—49 с.
- Сурмак В. В., Багирова Е. А., Гурман Э. Г. Роль кальция в транспорте моносахаридов в тонкой кишине крыс // Физiol. журн.—1986.—32, № 5.—С. 545—549.
- Уголев А. М., Иезуитова Н. Н. Определение активности инвертазы и других дисахаридаз // Исследование пищеварительного аппарата у человека.—Л.: Наука, 1969.—С. 192—196.

9. Уголев А. М., Жигуре Д. Р., Нуркес Е. Е. Аккумулирующий препарат слизистой — новый метод исследования начальных этапов переноса веществ через кишечную стенку // Физиол. журн. СССР. — 1970. — 56, № 11. — С. 1638—1641.
10. Ilundain A., Alcalde A., Barcina Y., Larralde I. Calcium-dependence of sugar transport in rat small intestine // Biochim. et biophys. acta. — 1985. — 818(M131), N 3. — P. 67—72.

Одесск. ун-т им. И. И. Мечникова
М-ва высш. и сред. спец. образования УССР

Материал поступил
в редакцию 23.01.89

С. В. Иvasivka, И. Л. Попович, М. С. Яременко, М. Н. Kovbasenok

Минеральная вода нафтуся как ксенобиотик

Известно, что гидрофильные ксенобиотики элиминируются из организма почками в результате фильтрации и секреции, а гидрофобные — сначала трансформируются монооксигеназными ферментными системами микросом печени в гидрофильные, а затем уже экскретируются с мочой или желчью [14]. Элиминация является индуциальным и неспецифическим процессом, т. е. возможна «перекрестная» индукция.

В минеральной воде нафтусе содержатся органические вещества (OB) нефтяного происхождения, в том числе полициклические ароматические углеводороды [8], известные как индукторы биосинтеза микросомальных монооксигеназ печени [7]. Поэтому представлялось заманчивым рассмотреть нафтусю как ксенобиотик и с этой точки зрения объяснить уже известные факты ее действий и вновь установленные, но заранее предвиденные.

Цель нашей работы — решить следующие задачи: представить прямые доказательства всасывания OB нафтуси из желудочно-кишечного тракта (ЖКТ), которое до сих пор лишь предполагалось; привести факты индукции систем элиминации OB в печени и почках при длительном приеме нафтуси; охарактеризовать результат действия этой минеральной воды при повреждении печени экзогенным гепатотропным ядом, связанный с индукцией систем детоксикации и элиминации этого вещества.

Методика

Исследовали минеральные воды типа нафтуси трускавецкого и сходницкого месторождений, а также урочищ Липки и Тустановичи. В качестве контроля использовали пресные воды источников и поверхностных водоемов того же региона.

Электронные спектры поглощения регистрировали на автоматическом спектрофотометре «Specord UV UIS» в диапазоне волн от 200 до 800 нм. Хроматографические исследования OB осуществляли на колонке высотой 50 см и диаметров 1,5 см, заполненной гелем сефадекса G-25. Свободный объем определяли с помощью голубого декстрана [2]. В качестве элюента использовали раствор гидрокарбоната аммония (0,25 ммоль/л), который пропускали через колонку со скоростью 20,0 мл/ч. Оптическую плотность регистрировали с помощью ультрафиолетового детектора с проточными кварцевыми микрорюветами при длине волны 230 нм на самописце КСП-4.

Эксперименты проводили на крысах линии Вистар массой 200—220 г. В первой серии опытов предпринята попытка доказать поступление OB из ЖКТ в кровь. С этой целью животным вводили внутrigastrально воду нафтусю (3% их массы) скв. 1-НО или ее искусственный солевой аналог (ИСАН, 3% массы). Через 10, 20 и 30 мин после введения тест-жидкостей крыс декапитировали, и 2,0 мл полученной сыворотки подвергали хроматографии для оптического детектирования OB, проникших в кровь.

Во второй серии опытов живых, в поилки на протяжении 12 ч (каждая крыса выпивала за сутки 25 мл/кг массы). У части из этих животных (25 мл/кг внутрибрюшинно) сна, которым с целью индукции ли внутрибрюшинно в течение 5 с. У другой части животных, в допроводную воду, исследовали к же нагрузки водопроводной воды 2,5%-ный раствор кардиотрата определяли содержание кардиотрата [9], и вычисляли относительную чень.

У третьей части крыс, дли-

проводную воду, моделировали х

дением 2%-ного альфа-нафтилз

оливковом масле. Спустя 48 и 72

часа из его действие [3], животны

срединным разрезом вскрывали

желчный проток вставляли поли

ропипетку вместимостью 0,1 мл,

мой желчи и рассчитывали его в

животных декапитировали, сбив

в ней билирубина (мкмоль/л)

Полученные результаты об

разумством и обсуждени

Регистрация электронных

нафтуси показала, что он

верхностных вод того же

с выраженным максимумом

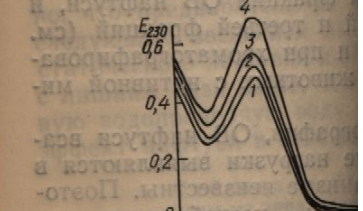


Рис. 1. Ультрафиолетовые спек-
ты: 1 — скважина 1-НО; 2 — на-
фтуси 18-КД (Сходница).

Рис. 2. Хроматограмма органических веществ нафтуси

ный пик поглощения связанный с пускание нафтуси через адсорбирующими около 80% максимального поглощения различим от других пресных вод.

Результаты колонческой хроматографии минеральной воде, содержащими различной концентрацией OB, на четыре отдельные массы по данным хроматографии, потому что, во-первых, связь с чем трудно коррелировать.

Аккумулирующий препарат слизистой —
лов переноса веществ через кишечную
№ 11.— С. 1638—1641.
*de J. Calcium-dependence of sugar trans-
port. phys. acta.*— 1985.— 818(M131), N 3.—

Материал поступил
в редакцию 23.01.89

о. М. Н. Ковбасюк

ксенобиотик

ики элиминируются из организ-
секреции, а гидрофобные — сна-
зными ферментными системами
тем уже экскретируются с мочой
ся индуцируемым и неспецифи-
крестная» индукция.

ержатся органические вещества
числе полициклические арома-
как индукторы биосинтеза мик-
[1]. Поэтому представлялось за-
енобиотик и с этой точки зрения
ействий и вновь установленные,
ующие задачи: представить пря-
фтуси из желудочно-кишечного
иши предполагалось; привести
В в печени и почках при дли-
вать результат действия этой
чи экзогенным гепатотропным
етоксикации и элиминации это-

рускаевского и сходницкого месторож-
жестве контроля использовали прес-
того же региона.
ировали на автоматическом спектро-
от 200 до 800 нм. Хроматографичес-
высотой 50 см и диаметров 1,5 см,
объем определяли с помощью голу-
бовали раствор гидрокарбоната ам-
ез колонку со скоростью 20,0 мл/ч.
ю ультрафиолетового детектора с
лине волны 230 нм на самописце

Вистар массой 200—220 г. В перв-
поступление ОВ из ЖКТ в кровь.
но воду нафтусю (3 % их массы)
(ИСАН, 3 % массы). Через 10, 20
декапитировали, и 2,0 мл полученной
ского детектирования ОВ, проникших

Во второй серии опытов животным подопытных групп, в отличие от контроль-
ных, в поилки на протяжении 12 сут вместо водопроводной наливали воду нафтусю
(каждая крыса выпивала за сутки в среднем около 6 мл воды, т. е. около 3 % своей
массы). У части из этих животных определяли продолжительность «нембуталового»
(25 мг/кг внутрибрюшинно) сна. Дополнительным контролем служила группа живот-
ных, которым с целью индукции микросомальных монооксигеназ печени инъецирова-
ли внутрибрюшинно в течение 5 сут нембутал (25 мг/кг). У другой части животных, получавших в течение 12 сут минеральную или во-
допроводную воду, исследовали канальцевую секрецию. Для этого через 20 мин после
нагрузки водопроводной водой (6 % массы), крысам внутрибрюшинно вводили
2,5 %-ный раствор кардиотраста (0,5 г/кг) и собирали мочу в течение 1 ч. Затем
определяли содержание кардиотраста в моче по методу, описанному Bak и соавт.
[9], и вычисляли относительную его экскрецию (%).

У третьей части крыс, длительно (12 сут) получавших минеральную или водопроводную воду, моделировали холестатический гепатит (ХГ) интрагастральным введением 2 %-ного альфа-нафтилизотицианата (АНИТ, 400 мг/кг), приготовленного на оливковом масле. Спустя 48 и 72 ч после введения яда, когда максимально проявляется его действие [3], животных наркотизировали нембуталом (50 мг/кг), затем срединным разрезом вскрывали брюшную стенку, перевязывали пилорус, в общий желчный проток вставляли полиэтиленовый катетер, который подсоединяли к микропипетке вместимостью 0,1 мл, и в течение 1 ч измеряли объем (мкл) секретируемой желчи и рассчитывали его на 1 г ткани печени. После окончания эксперимента животных декапитировали, собирали кровь и отделяли сыворотку для определения в ней билирубина (мкмоль/л) по методу Ендрассика, извлекали и взвешивали пе-
чень.

Полученные результаты обрабатывали статистически.

Результаты и их обсуждение

Регистрация электронных спектров поглощения минеральных вод типа нафтуси показала, что они, в отличие от пресных родниковых и по-
верхностных вод того же региона, абсорбируют ультрафиолетовые лучи с выраженным максимумом поглощения при 230 нм (рис. 1). Указан-

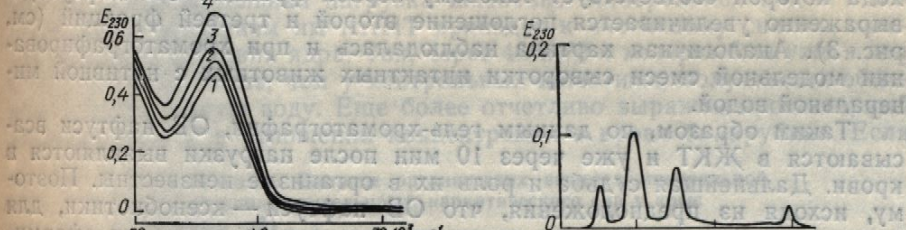


Рис. 1. Ультрафиолетовые спектры поглощения органических веществ нативной нафтуси: 1 — скважина 1-НО; 2 — источник Липки; 3 — источник Тустанович; 4 — скважина 18-КД (Сходница).

Рис. 2. Хроматограмма органических веществ нативной нафтуси скважины 1-НО.

ный пик поглощения связан с растворенными в воде ОВ, так как про-
пускание нафтуси через колонку с активированным углем марки БАУ,
адсорбирующими около 80 % ОВ [8], приводит к исчезновению харак-
терного максимума поглощения, и минеральная вода становится неот-
личимой от других пресных вод.

Результаты колоночной хроматографии ОВ, растворенных в натив-
ной минеральной воде, свидетельствуют о том, что они представлены
веществами различной молекулярной массы и разделяются, как мини-
мум, на четыре отдельные фракции (рис. 2). Определить их молекуляр-
ную массу по данным гель-хроматографии не представилось возмож-
ным потому, что, во-первых, неизвестна природа этих соединений, в
связи с чем трудно корректно подобрать известные вещества для ка-

либровки колонки. Во-вторых, последние три фракции ОВ нафтуси выходят из колонки или вместе с хлоридом натрия (при этом отношение объема выхода веществ из колонки V к свободному объему V_0 , т. е. V/V_0 , составляет 2,0), или же значительно позже (при этом V/V_0 составляет 2,5 и 3,9). Известно, что аномально поздно выходят бензол и другие фенильные соединения, что объясняется их высоким сродством к данной марке сефадекса [2]. Поэтому есть основания полагать, что третья и четвертая фракции ОВ нафтуси представлены ароматическими веществами.

Хроматографические исследования сыворотки крови контрольных крыс, получивших однократно внутривенно ИСАН, показали, что оптически плотные при 230 нм вещества делятся на четыре фракции,

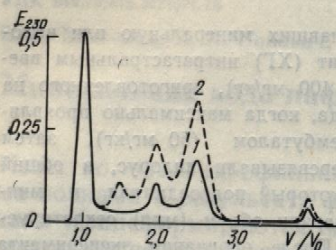


Рис. 3. Типичная хроматограмма сыворотки крови животных через 20 мин после нагрузки их скаважиной аналогом нафтуси (1) и нафтусей (2) скаважины 1-НО.

V/V_0 которых составляет 1,0; 2,0; 2,5 и 3,9 соответственно (рис. 3). Первая фракция представлена белками сыворотки, молекулярная масса которых больше 5000 Д, т. е. выше пределов эксклюзии сефадекса G-25. Остальные три фракции являются, по-видимому, пептидами и ароматическими аминокислотами. Нетрудно заметить, что объем выхода их из колонки близок к объему последних трех фракций ОВ нафтуси (см. рис. 2).

Через 10 мин после нагрузки животных нафтусей и во все последующие сроки исследования на хроматограммах их сывороток появляется дополнительная фракция оптически плотных веществ, объем выхода которой соответствует таковому первой фракции ОВ нафтуси, и выражено увеличение поглощения второй и третьей фракций (см. рис. 3). Аналогичная картина наблюдалась и при хроматографировании модельной смеси сыворотки интактных животных с нативной минеральной водой.

Таким образом, по данным гель-хроматографии, ОВ нафтуси всасываются в ЖКТ и уже через 10 мин после нагрузки выявляются в крови. Дальнейшая судьба и роль их в организме неизвестны. Поэтому, исходя из предположения, что ОВ нафтуси — ксенобиотики, для детоксикации и элиминации которых в результате эволюции сформировались два механизма: механизм монооксигеназной системы печени и секреторный механизм проксимальных канальцев почек, исследовали влияние минеральной воды на такие интегральные показатели, как продолжительность наркотического сна и максимальная экскреция кардиотранквилизатора. Известно, что для этих процессов характерна субстратная и, самое главное, «перекрестная» индукция [1, 7], т. е. вследствие индукции микросомальных оксидаз фенобарбиталом можно достичь более быстрой детоксикации, например, нембутала, а индуцируя секреторный аппарат почки пенициллином, можно добиться максимального секреторного транспорта кардиотранквилизатора, и наоборот.

Таким образом, если проникшие в кровь ОВ нафтуси являются субстратами для монооксигеназной ферментной системы печени и транспортных белков эпителия проксимального отдела канальцев почек, то более или менее продолжительное поступление их в организм должно повысить функциональную активность указанных систем.

Из табл. 1 видно, что продолжительное поступление в организм ОВ нафтуси приводит к достоверному сокращению наркотического сна на 21,2 мин (табл. 1). В то же время специфическая субстратная ин-

дукция монооксигеназ барбитуратом сокращением продолжительности различным изоферментам окислительными веществами-индукторами окислительных процессов.

В аналогичных условиях верная стимуляция диуреза известно, что индукция после количества переносчика по предшественнику ксенобиотиков различных веществ сопровождается индукцией изоферментов и других Grantham [12], секреция сопровождается секрецией канальцев на 1 мм длины нефрона в 100 мкг/мин, полученные значения эквивалентны разовавшейся в сутки в почке.

Таким образом, получено, что в механизме диуреза кроме усиления клубочкового фильтрация играет определенную роль.

В последнее время для использования АНДИТ, когда введение крысам уже через 10 мин после нагрузки нафтусами введение минеральной воды в виде водопроводной воды, принимают участие микротельца, увеличение приводимого действием нембутала холестатические дозы яда, микросомами печени появляются.

Результаты влияния скаважины 1-НО на выраженность, что предварительная введение импрегнированного действия яда с лишним раза выше, чем водопроводную воду. Эффект нафтуси в отношении скаважины 1-НО на выраженную.

Таблица 1. Влияние скаважины 1-НО на продолжительность сна (М±m; n=6)

Условие опыта	Водопроводная вода (контроль)	Нафтус скав. 1-НО (12 сут)	Нембутал (5 сут)
---------------	-------------------------------	----------------------------	------------------

Таблица 2. Влияние органической субстанции на продолжительность сна (М±m; n=10)

Условие опыта	Доля воды за 1 ч
Водопроводная вода (контроль)	54
Нафтус скав. 1-НО (12 сут)	68

ние три фракции ОВ нафтуси выдом натрия (при этом отношение V к свободному объему V_0 , т. е.ально позже (при этом V/V_0 со-мально поздно выходят бензол и сясяются их высоким сродством у есть основания полагать, что туи представлены ароматически- я сыворотки крови контрольных желудочно ИСАН, показали, что та делятся на четыре фракции,

личная хроматограмма сыворотки крови через 20 мин после нагрузки их соле-огом нафтуси (1) и нафтусе (2) сква-

и 3,9 соответственно (рис. 3). Сыворотки, молекулярная мас- пределов эксклюзии сефадекса- тся, по-видимому, пептидами и рудно заметить, что объем вы- оследних трех фракций ОВ наф- тных нафтусе и во все последу- граммах их сывороток появля- ки плотных веществ, объем вы- первой фракции ОВ нафтуси, и второй и третьей фракций (см. лась и при хроматографирова- тных животных с нативной ми-

роматографии, ОВ нафтуси вса- и после нагрузки выявляются в в организме неизвестны. Поэтому нафтуси — ксенобиотики, для в результате эволюции сформи- монооксигеназной системы печени х канальцев почек, исследовали интегральные показатели, как а и максимальная экскреция процессов характерна субстрат- индукция [1, 7], т. е. вследствие фенобарбиталом можно достичь р, нембутала, а индуцируя се- м, можно добиться максималь- ита, и наоборот.

в кровь ОВ нафтуси являются ферментной системы печени и мального отдела канальцев по- ное поступление их в организм иность указанных систем. ельное поступление в организм сокращению наркотического сна специфическая субстратная ин-

дукция монооксигеназ барбитуратом сопровождается более выраженным сокращением продолжительности сна (40 мин), что обычно объясняют различным изоферментным спектром индуцируемых отдельными веществами-индукторами оксигеназ [6].

В аналогичных условиях эксперимента наблюдается также достоверная стимуляция диуреза и секреции кардиотраста (табл. 2). Известно, что индукция последней связана с синтезом дополнительного количества переносчика под влиянием насыщения клеточного белка-предшественника ксенобиотиков [10], а повторное введение секретируемых веществ сопровождается закономерным усилением секреции веществ-индукторов и других ксенобиотиков. Кроме того, по данным Grantham [12], секреция органических кислот в эксперименте сопряжена с секрецией канальцевой жидкости, которая составляет 0,1 нл/мин на 1 мм длины нефрона при наличии в окологанальцевой среде 1 ммол парааминогиппуровой кислоты. Расчеты авторов показали, что полученные значения эквивалентны 1,0 л канальцевой жидкости, об- разованной в сутки в почке человека.

Таким образом, полученные результаты позволяют предположить, что в механизме диуретического действия минеральной воды нафтуси, кроме усиления клубочковой фильтрации и снижения реабсорбции [4], играет определенную роль и активация секреции всосавшихся ОВ воды.

В последнее время для моделирования ХГ в эксперименте широко используют АНИТ, который при однократном внутрижелудочном введении крысам уже через сутки вызывает полную остановку желче-отделения и выраженную гипербилирубинемию. В метаболизме АНИТ принимают участие микросомальные ферменты печени, о чем свидетельствуют увеличение продолжительности наркотического сна, вызванного действием нембутала и гексобарбитала у крыс, получивших холестатические дозы яда, и пятикратное усиление метаболизма АНИТ микросомами печени после индукции монооксигеназ фенобарбиталом [13].

Результаты влияния превентивной курсовой нагрузки нафтусе скв. 1-НО на выраженность ХГ у крыс приведены в табл. 3. Показано, что предварительная нагрузка животных минеральной водой с последующим введением им АНИТ приводит к частичному снятию холестатического действия яда. Так, через 48 и 72 ч холерез был уже в два с лишним раза выше, чем у контрольных животных, получавших обычную водопроводную воду. Еще более отчетливо выражен протекторный эффект нафтуси в отношении концентрации в крови билирубина. Если

Таблица 1. Влияние органических веществ минеральной воды на продолжительность наркотического сна у крыс ($M \pm m$; $n=6$)

Условие опыта	Продолжительность наркотического сна, мин	P
Водопроводная вода (контроль)	$68,7 \pm 2,9$	
Нафтуси скв. 1-НО (12 сут)	$47,5 \pm 4,6$	$<0,05$
Нембутал (5 сут)	$28,7 \pm 4,3$	$<0,001$

Таблица 2. Влияние органических веществ минеральной воды на канальцевую секрецию у крыс ($M \pm m$; $n=10$)

Условие опыта	Доля выделенного за 1 ч кардиотраста, %	P	Скорость выделения мочи, мл. $100\text{ г}^{-1}\cdot\text{q}^{-1}$	P
Водопроводная вода (контроль)	$54,0 \pm 3,0$		$3,43 \pm 0,3$	
Нафтуси скв. 1-НО (12 сут)	$68,6 \pm 6,1$	$<0,05$	$4,95 \pm 0,25$	$<0,001$

через 48 ч после затравки животных АНИТ предварительная нагрузка их нафтусей приводит к снижению относительного содержания билирубина на 25%, то спустя 72 ч значение этого показателя становится почти нормальным.

Таблица 3. Влияние превентивной курсовой нагрузки нафтусей на желчеотделение и содержание билирубина у крыс, отравленных альфа-нафтилизотиоцантом ($M \pm \sigma$; $n=8$)

Условие опыта	Скорость желчеотделения, мкл·г ⁻¹ ·ч ⁻¹			
	48 ч	Р	72 ч	Р
Водопроводная вода (контроль)	5,19±0,32		18,6±3,2	
Нафтуся скв. 1-НО ₄ (12 сут)	13,4±1,4	<0,001	40,8±3,4	<0,001
Концентрация билирубина, мкмоль				
Условие опыта	48 ч	стор	72 ч	стор
Водопроводная вода (контроль)	56,25±5,6		88,74±5,6	
Нафтуся скв. 1-НО ₄ (12 сут)	42,5±1,36	<0,05	12,14±1,69	<0,001

Известно, что всасывание из ЖКТ крыс меченого в изотиоцианатной части молекулы по ¹⁴C АНИТ завершается через 24 ч, и он сравнительно равномерно распределяется по всем тканям организма (печени, почкам, жировой ткани, крови). Через 72 ч около 80% яда выводится. Из них 40% экскретируется с мочой, 30% — с выдыхаемым воздухом и 10% — с фекалиями. Наличие ¹⁴C в составе выдыхаемых газов и пяти метаболитов АНИТ в моче крыс связано с биотрансформацией яда в организме [11]. В связи с этим гепатопротекторное действие воды, по-видимому, обусловлено, во-первых, более быстрой элиминацией метаболитов АНИТ индуцированным секреторным аппаратом почек и, во-вторых, сокращением времени контакта образовавшихся токсических метаболитов с гепатоцитами и эпителием желчевыводящих путей.

Таким образом, механизм гепатопротекторного действия нафтуси состоит в субстратной индукции монооксигеназной системы печени и транспортно-секреторного аппарата почек всосавшимися из ЖКТ ОВ. Вследствие «перекрестности» индукции эти системы в состоянии повышенной функциональной активности способны намного эффективнее обезвреживать и выводить экзогенные яды (АНИТ), в связи с чем наблюдается протекторный эффект. На основании результатов, свидетельствующих о наличии ОВ в водах различной минерализации более чем 300 исследованных источников и скважин [5], можно предположить, что описанный неспецифический механизм в большей или меньшей мере присущ практически всем минеральным водам.

S. V. Ivasivka, I. L. Popovich, M. S. Yaremenko, M. N. Kovbasnyuk

MINERAL WATER NAFTUSIA AS A XENOBIOTIC

It is stated that organic matters contained in mineral water Naftusia appear in blood serum 10 min after intragastral introduction of this water to rats. Long administration of water Naftusia to animals stimulates the monooxygenase hepatic system and secretory renal apparatus, that probably, underlies the mechanism for weakening of damaging effect of hepatotoxic poison.

A. A. Bogomoletz Institute of Physiology,
Academy of Sciences of the Ukrainian SSR, Kiev

СПИСОК ЛИТЕРАТУРЫ

- Берхин Е. Б. Новые данные о механизме действия нафтуси на организм. Физиол. журн. СССР. — 1978. — 64 № 10.
- Детерман Г. Гель-хроматография.
- Ивасивка С. В., Ковбаснюк М. Н. О влиянии нафтуси на билирубин в организме крысы. Известия АН УССР. Сер. биол. — 1988. — № 1.
- Капская Е. И., Гаске О. Д. Влияние нафтуси на билирубин в организме крысы. Известия АН УССР. Сер. биол. — 1988. — № 1.
- Кирюхин В. К., Мелькановская Е. В. О влиянии нафтуси на содержание билирубина в подземных водах. — М.: Наука, 1987.
- Коляда А. Ю. Исследование изотиоцианатных фенобарбиталом, 3-метил-2-ноклональных антител // Бюл. Акад. наук УССР. Сер. биол. — 1986. — № 4. — С. 422—425.
- Ляхович В. В., Цырлов И. Б. Индукция монотиоцианатной ферментации в организме крысы. — Новосибирск: Наука, 1981. — 242 с.
- Ясевич А. П. Исследование химического состава и химических изменений в минеральной воде Ростовской области. — Ростов н/Д, 1982. — 16 с.
- Bak B., Brun C., Raaschou F. On the excretion of organic acids in urine // Acta med. scand. — 1966. — Vol. 179. — P. 103—108.
- Bräunlich H., Luther K., Rudolph H. Untersuchungen über die Ausscheidung von Basen bei Ratten verschiedener Rassen. — Z. Physiol. Chem. — 1935. — Bd. 273. — S. 1314—1315.
- Capizzo F., Roberts R. J. Effect of chronic exposure to C¹⁴-disperse bilirubin on bile secretion // J. Pharmacol. Exper. Ther. — 1976. — Vol. 209. — P. 248—254.
- Grantham J. J. Fluid secretion in the rat gallbladder // J. Physiol. — 1976. — Vol. 266. — P. 56.
- Plaa G. L., Prysty B. G. Intrahepatic fluid secretion in the rat // J. Pharmacol. Exper. Ther. — 1977. — Vol. 278. — P. 13—19.
- Remmer H. The role of the liver in the metabolism of organic acids // Acta med. scand. — 1949. — Vol. 135. — P. 617—629.

Институт физиологии им. А. А. Богомолца АН УССР, Киев

СПИСОК ЛИТЕРАТУРЫ

- Берхин Е. Б. Новые данные о механизме секреции органических веществ почкой // Физиол. журн. СССР. — 1978. — 64, № 3. — С. 384—388.
- Детерман Г. Гель-хроматография. — М.: Мир, 1970. — 252 с.
- Ивашик С. В., Ковбасюк М. Н., Унковская Д. М. Гепатопротекторное действие воды «Нафтуся». — М., 1987. — 236 с. — Рукопись представлена ВЦ АН СССР. Деп. в ВИНИТИ 5 мая 1988 г., № 3468—В.
- Капказ Е. И., Гаске О. Д. Влияние минеральных вод новых скважин трускавецкого месторождения на выделительную функцию почек // Курортология и физиотерапия. — 1980. — Вып. 13. — С. 90—93.
- Кирюхин В. К., Мелькановицкая С. Г., Швец В. М. Определение органических веществ в подземных водах. — М.: Недра, 1976. — 191 с.
- Коляда А. Ю. Исследование изоформ цитохрома Р-450 в печени крыс, обработанных фенобарбиталом, 3-метилолантреном и ароклором 1254, с помощью monoclonalных антител // Бюл. эксперим. биологии и медицины. — 1986. — 101, № 4. — С. 422—425.
- Ляхович В. В., Цырлов И. Б. Индукция ферментов метаболизма ксенобиотиков. — Новосибирск: Наука, 1981. — 242 с.
- Ясевич А. П. Исследование химической природы органических веществ и условий их изменения в минеральной воде «Нафтуся»: Автореф. дис. ... канд. хим. наук. — Ростов н/Д., 1982. — 16 с.
- Bak B., Brun C., Raaschou F. On the determination of perabrodil (diiodrast) in plasma and urine // Acta med. scand. — 1943. — 114, N 3. — P. 271—279.
- Bräunlich H., Luther K., Rudolph S. Stimulation des tubularen transportes organischer Basen bei Ratten verschiedenem Alters // Experimentia. — 1974. — 30, N 11. — S. 1314—1315.
- Capizzo F., Roberts R. J. Effect of phenobarbital, chlorpromazine, actinomycin D and chronic isothiocyanate-C¹⁴ disposition and β-naphthylisothiocyanate-induced hyperbilirubinemia // J. Pharmacol. Exp. Ther. — 1971. — 179. — P. 455—464.
- Grantham J. J. Fluid secretion in the nephron; relation to renal failure // Physiol. Rev. — 1976. — 56, N 1. — P. 248—258.
- Plaa G. L., Pristly B. G. Intrahepatic cholestasis induced by drugs and chemicals // Pharmacol. Revs. — 1977. — 28, N 3. — P. 207—273.
- Rennier H. The role of the liver in drugs metabolism // Amer. J. Med. — 1970. — 49. — P. 617—629.

Ин-т физиологии им. А. А. Богомольца химико-биологический отдел. Материал поступил в редакцию 17.04.89

ИТ предварительная нагрузка
сительного содержания били-
е этого показателя становится
агрузки нафтусей на желчеотделение
альфа-нафтилизотиоцианатом ($M \pm m$;
желчеотделения, мкл·г⁻¹·ч⁻¹)

	72 ч	P
	18,6 ± 3,2	
<0,001	40,8 ± 3,4	<0,001
рекции билирубина, мкмоль		
	88,74 ± 5,6	
<0,05	12,14 ± 1,69	<0,001

ы меченного в изотиоцианатеется через 24 ч, и он срав-
всем тканям организма (пе-
з 72 ч около 80% яда выво-
ой, 30% — с выдыхаемым воз-
С в составе выдыхаемых га-
связано с биотрансформа-
тим гепатопротекторное дей-
о-первых, более быстрой эли-
ванным секреторным аппара-
ми контакта образовавших-
ами и эпителием желчевыво-
текторного действия нафтуси
сигеназной системы печени и
всосавшимися из ЖКТ ОВ.
ти системы в состоянии по-
особны намного эффективнее
(АНИТ), в связи с чем на-
новании результатов, свиде-
личной минерализации более
важин [5], можно предполо-
ханизм в большей или мень-
шальной водам.

S. Kovbasnyuk

eral water Naftusia appear in blood
water to rats. Long administration
oxygenase hepatic system and secre-
mechanism for weakening of damage-

Краткие сообщения

УДК 612.825:612.822.3

А. И. Семенютин

Влияние электрического раздражения голубого пятна на транскаллозальный ответ, возникающий в теменной ассоциативной коре мозга кошки

Мощная норадренергическая иннервация неокортика, источником которой является голубое пятно (ГП), может оказывать существенное воздействие на активность нейронов коры. При исследовании влияния ГП на фокальные потенциалы, вызванные в коре периферическими сенсорными раздражениями, даже в одном эксперименте не удается получить однозначных результатов [2]. Это, по-видимому, является следствием воздействия ГП на процессы, происходящие на длинном пути передачи и преобразования сенсорной импульсации. Стабильные результаты получены в работах по изучению влияния стимуляции ГП на транскаллозальный ответ (ТКО) [9, 10]. Применение транскаллозального раздражения (ТКР) дает возможность свести к минимуму влияния на тестирующую реакцию, которые опосредованы подкорковыми структурами. Однако в этих работах не уделялось внимания медленным компонентам ТКО. Медленные компоненты свойственны всем видам возникающих в коре фокальных потенциалов [4], и их исследование имеет большое значение для понимания механизмов функционирования коры [7, 8].

Цель данной работы — изучение влияния ГП на различные компоненты ТКО.

Методика

Опыты проведены на 32 кошках массой 2,2—3,4 кг. При операциях для наркоза применяли кеталар (13 мг/кг внутримышечно), для местного обезболивания — 0,5 %-ный раствор новокaina. После операции животное обездвиживали миорелаксином и переводили на искусственное дыхание. Интенсивность одиночного ТКР, наносившегося биполярно, составляла от 1 (около 1 В) до 5 порогов. Длительность стимула — 0,2 мс. Электроды вкалывали в кору поля 5 в супрасильевой извилине на глубину около 1,5 мм. ТКО регистрировали от поверхности коры монополярно в фокусе максимальной активности, который находился в области коры контролateralного полушария, приблизительно симметричной месту нанесения ТКР.

Раздражение ГП осуществляли би- и монополярно. Его интенсивность составляла 70—120 мА. Раздражение ГП представляло собой серию стимулов с частотой 10—200 Гц и длительностью 25—500 мс, применявшимися один раз в 3 с. Длительность одного стимула — 0,2 мс. Раздражающие электроды погружали в сагиттальную плоскость под углом 45° к фронтальной плоскости по стереотаксическим координатам Р — 2,0 L 2,0 Н — 2,0 (по атласу Бермана). По окончании каждого эксперимента делали электролитическую метку и проводили гистологический контроль локализации раздражающих электродов в ГП, на основании которого для анализа влияния ГП на ТКО отобраны результаты 9 опытов.

Результаты и их обсуждение

ТКО возникал со скрытым периодом 1,7—2,0 мс и состоял из относительно быстрых положительного и отрицательного колебаний, общей длительностью 40—60 мс, и медленного отрицательного колебания

(МОК), длительность которого Конфигурация регистрировавшей другие исследователями

Необходимо отметить, что только при достаточно большом раздражении ГП вызывала угнетение амплитудного колебания ТКО на 12%, наблюдалось при интервале кондиционирующем и тестовом раздражениями 90—500 мс, а в других случаях и при больших. Другие исследователи также незначительное угнетение быстрого положительного ТКО в супрамаргинальной сильвии [10] извилины кошки под влиянием стимула

Влияние кондиционирующей стимуляции пятна на транскаллозальный ответ в теменной ассоциативной коре — усреднение на автоматическом цикле при тестирующем раздражении интенсивности (1 — транскаллозальный ответ; 2 — супрапарасильвийский раздражение); 3 — восстановление транскаллозального ответа после прекращения раздражения голубого пятна.

Влияния ГП на быстрый ТКО удалось. Это можно попытаться: возникает такое колебание норадренергических синаптических. Однако литературные прасильвии извилины кошки

Раздражение ГП оказывалось его амплитуда также облегчались колебания медленных компонентов в

Более заметное влияние оказывала на ТКО, вызванное раздражением хорошо выраженного ТКО, которое иногда могло влиять кондиционирующими колебаниями возникать регулярно, увеличиваясь (рисунок, б, 2). Если ГП прекращения кошки сохранялось, постепенно

Известно, что быстрые ТКО имеют постсинаптические боковые и поверхностные синапсы, где наблюдаются в коре. По-видимому, эти колебания различных процессов, но ТКР их формирование [1], и, Сопоставляя наши результаты, можно предположить, что ГП торможения, вызванные в

енения
ный ответ,
тивной

ния неокорекса, источником ко-
могет оказывать существенное
оры. При исследовании влияния
ые в коре периферическими сен-
ом эксперименте не удается по-
то, по-видимому, является след-
происходящие на длинном пути
импульсации. Стабильные ре-
нию влияния стимуляции ГП на
]. Применение транскаллозаль-
ность свести к минимуму влия-
ые опосредованы подкорковыми
не уделялось внимания медлен-
мпоненты свойственны всем ви-
отенциалов [4], и их исследова-
ния механизмы функциони-
линия ГП на различные ком-

3,4 кг. При операциях для наркоза
но), для местного обезболивания —
животное обездвиживали миорелакси-
Интенсивность одиночного ТКР, нано-
1 В) до 5 порогов. Длительность сти-
поля 5 в супрасильевой извилины на
поверхности коры монополярно в фо-
дился в области коры контроллераль-
месту нанесения ТКР.

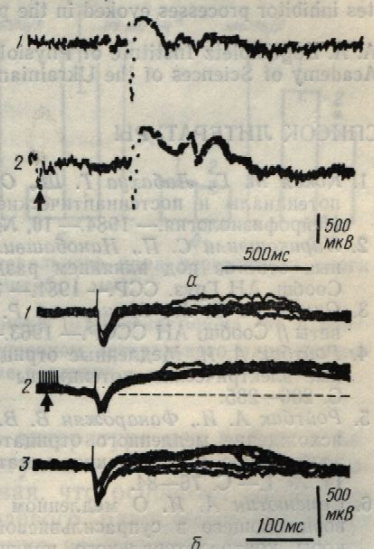
иополярно. Его интенсивность состав-
ляло собой серию стимулов с частотой
менявшимся один раз в 3 с. Длитель-
ие электроды погружали в сагитталь-
плоскости по стереотаксическим коор-
динатам). По окончании каждого экспери-
менталии гистологический контроль лока-
основании которого для анализа влия-
и.

1,7—2,0 мс и состоял из относи-
рицательного колебаний, общей
ю отрицательного колебания

(МОК), длительность которого составляла 200—350 мс (рисунок, а, 1). Конфигурация регистрировавшегося нами ТКО сходна с описанной ранее другими исследователями.

Необходимо отметить, что все фазы ТКО стабильно наблюдаются только при достаточно большой интенсивности ТКР — 4—5 порогов. Поэтому для изучения влияния ГП на все компоненты ТКО мы использовали ТКР такой интенсивности. Кондиционирующая стимуляция ГП вызывала угнетение амплитуды начального быстрого положительного колебания ТКО на 14—20% (рисунок, а, 2). Угнетение обычно наблюдалось при интервалах между кондиционирующим и тестирующим раздражениями 90—500 мс, а в некоторых случаях и при больших интервалах. Другие исследователи также наблюдали незначительное угнетение начального быстрого положительного колебания ТКО в супрамаргинальной [9] и супрасильвийской [10] извилинах коры мозга кошки под влиянием стимуляции ГП.

Влияние кондиционирующей стимуляции голубого пятна на транскаллозальный ответ, возникающий в теменной ассоциативной коре мозга кошки:
а — усреднение на автоматическом анализаторе 25 реакций при тестирующем раздражении максимальной интенсивности (1 — транскаллозальный ответ, 2 — ответ на сочетание раздражений); б — суперпозиция 7 осциллограмм при тестирующем раздражении пороговой интенсивности (1 — транскаллозальный ответ, 2 — ответ на сочетание раздражений, 3 — восстановление исходных параметров транскаллозального ответа после прекращения кондиционирующей стимуляции). Стрелка указывает на артефакты раздражения голубого пятна.



Влияния ГП на быстрое отрицательное колебание ТКО не наблюдалось. Это можно попытаться объяснить тем, что в слоях коры, где возникает такое колебание, имеется лишь незначительное количество норадренергических синаптических терминалей и свободных окончаний. Однако литературных данных по этому вопросу для поля 5b супрасильвийской извилины коры мозга кошки нет.

Раздражение ГП оказывало существенное влияние на МОК ТКО: увеличивались его амплитуда (в среднем на 20%) и длительность, а также облегчались колебания, которые нередко наблюдаются после медленных компонентов вызванных потенциалов (рисунок, а, 2).

Более заметное влияние кондиционирующая стимуляция ГП оказывала на ТКО, вызванный пороговым раздражением. При таком раздражении хорошо выражено лишь быстрое положительное колебание ТКО, которое иногда могло сопровождаться МОК (рисунок б, 1). Под влиянием кондиционирующей стимуляции ГП амплитуда быстрого положительного колебания ТКО снижалась на 35—40 %. МОК начинало возникать регулярно, увеличивались его амплитуда и длительность (рисунок, б, 2). Если ГП раздражали сериями стимулов многократно, то после прекращения кондиционирующей стимуляции ее влияние на ТКО сохранялось, постепенно ослабевая, 12—15 с (рисунок, б, 3).

Известно, что быстрые положительное и отрицательное колебания ТКО имеют постсинаптическую природу и отражают возбуждение глубоких и поверхностных соответственно слоев коры [3, 11, 12]. О природе наблюдающихся в коре МОК существуют разные мнения [5, 8]. По-видимому, эти колебания являются суммарным отражением различных процессов, но ТПСП, вероятно, вносят значительный вклад в их формирование [1], и, в частности, в формирование МОК ТКО [6]. Сопоставляя наши результаты с этими литературными данными, можно предположить, что ГП угнетает возбуждение и облегчает процессы торможения, вызванные в теменной коре ТКР.

INFLUENCE OF ELECTRICAL STIMULATION OF LOCUS COERULEUS ON TRANSCALLOSOAL RESPONSE IN PARIETAL ASSOCIATION CORTEX OF THE CAT BRAIN

The influence of conditioning locus coeruleus (LC) stimulation on various components of transcallosal field response was investigated in the parietal cortex of the cat brain. Conditioning LC simulation caused a decrease in fast positive wave amplitude and facilitates slow negative wave. It is concluded that LC suppresses excitatory and facilitates inhibitor processes evoked in the parietal cortex by transcallosal stimulation.

A. A. Bogomoletz Institute of Physiology,
Academy of Sciences of the Ukrainian SSR, Kiev

СПИСОК ЛИТЕРАТУРЫ

1. Кокая М. Г., Лабахуа Т. Ш., Окуджава В. М. Действие стриухина на вызванные потенциалы и постсинаптические реакции нейронов сенсомоторной коры кошки // Нейрофизиология. — 1984. — 16, № 4. — С. 480—487.
2. Наикашвили С. П., Нанобашвили З. И., Каджая Д. В. и др. Модуляция первичных ответов под влиянием раздражения синего пятна ствола головного мозга // Сообщ. АН Груз. ССР. — 1981. — 102, № 1. — С. 145—148.
3. Окуджава В. М., Мещерский Р. М. Влияние стриухина на транскаллозальные ответы // Сообщ. АН СССР. — 1963. — 32, № 3. — С. 655—665.
4. Ройтбак А. И. Медленные отрицательные потенциалы поверхности коры // Длительные электрические потенциалы нервной системы. — Тбилиси: Медиагеба, 1969. — С. 206—235.
5. Ройтбак А. И., Фанарджян В. В., Мелконян Д. С., Мелконян А. А. Глиальное происхождение медленного отрицательного потенциала прямого ответа коры: микроЭлектродное исследование и математический анализ // Нейрофизиология. — 1982. — 14, № 1. — С. 76—84.
6. Семенютин А. И. О медленном отрицательном колебании вызванного потенциала, возникающего в супрасильвийской извилине при раздражении симметричной точки коры контролатерального полушария мозга кошки // Физиол. журн. — 1985. — 31, № 1. — С. 93—94.
7. Серков Ф. Н. О генезе и функциональном значении вызванных потенциалов коры мозга // Нейрофизиология. — 1970. — 2, № 4. — С. 349—359.
8. Шурanova Ж. П. Исследование элементарных рабочих механизмов в коре большого мозга млекопитающих. — М.: Наука, 1977. — 199 с.
9. Austin J. H., Takaori S. Studies of connections between locus coeruleus and cerebral cortex // Japan. J. Pharmacol. — 1976. — 26, N 2. — P. 145—160.
10. Daugherty J. H., Keen P., Perez-Cruet J. Inhibition of interhemispheric evoked potentials by intermittent stimulation of the locus coeruleus // Fed. Proc. — 1977. — 36. — P. 410.
11. Grafstein B. Organization of callosal connections in suprasylvian gyrus of cat // J. Neurophysiol. — 1959. — 22, N 5. — P. 504—525.
12. Grafstein B. Postnatal development of the transcallosal evoked response in the cerebral cortex of the cat // Ibid. — 1963. — 26, N 1. — P. 79—99.

Ин-т физиологии им. А. А. Богомольца
АН УССР, Киев

Материал поступил
в редакцию 02.10.89

УДК 612.46:612.826.1

М. Л. Кирилюк, А. Л. Кухарчук, А. И. Гоженко

Влияние разрушения латерального ядра перегородки мозга на функцию почек

В последние десять лет возрос интерес к изучению роли центральной нервной системы (ЦНС) в регуляции водно-солевого баланса. Имеются данные, свидетельствующие о возможном участии лимбической системы и особенно перегородки мозга в поддержании водно-солевого равновесия, в частности, формировании питьевого поведения [2, 14]. Так, установлено, что повреждение перегородки мозга электрическим

током или химическими веществами значительно снижает потребительством возможного участия солевого равновесия. Являются ли рецепторы к Na^+ а также о содержании в этих

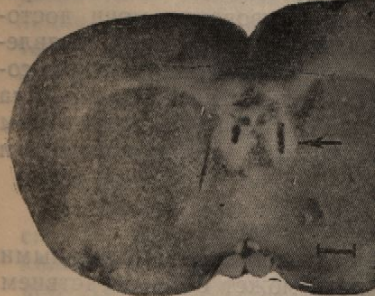


Рис. 1. Локализация очагов электротонуса (фронтальный срез мозга крысы, макропрепаратор).

Рис. 2. Концентрация ($\bar{x} \pm S_x$) вазопрессина в мозге крысы с ложным разрушением перегородки мозга (2). Звездочкой обозначена

ческого пептида [4, 7, 10]. Многие из которых были указаны на каком органе влияет перегородка на систему регуляции почек, особый интерес представляет расположение перегородки мозга на их функции.

Цель нашей работы — изучение влияния разрушения латеральной

Методика

Исследования проведены на 26 крысах. Стереотаксическое разрушение ЛЯПМ производили под нембуталовым наркозом силой 10 мА в течение 10 с при диаметре 0,05 мм, покрытых стеклянной изоляцией, которым в ЛЯПМ вводили интактные крысы. Животные находились в условиях спонтанного днуреза за счет свободного доступа к воде, оценивались за сутки, определялись концентрации веществ и рассчитывались и аммиака [1]. В плазме крови определялась концентрация вазопрессина, альдостерона методом. Контроль очага разрушения проводился с помощью критерия t Стьюдента.

Результаты

Разрушение ЛЯПМ существенно: потребление воды уменьшилось с ее потреблением. Изменилась и деятельность почек, чем это увеличение превышало, что в результате разрушения относительное

током или химическими веществами вызывает гипердипсию [3, 12] и влияет на секрецию вазопрессина [8]. Напротив, ее электростимуляция значительно снижает потребление воды [6]. Дополнительным свидетельством возможного участия этой области мозга в регуляции водно-солевого равновесия являются данные о том, что в ядрах перегородки имеются рецепторы к ^3H -аргинин-вазопрессину, ^{125}I -ангиотензину, а также о содержании в этих структурах α -предсердного натрийурети-

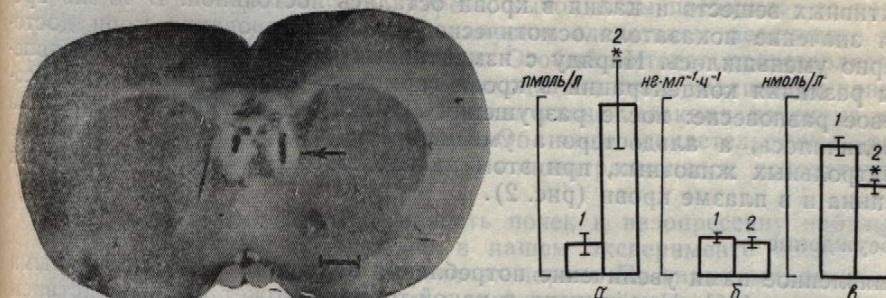


Рис. 1. Локализация очагов электроагуляции латерального ядра перегородки мозга (фронтальный срез мозга крысы, макропрепарат, масштаб: 1 мм).

Рис. 2. Концентрация ($\bar{x} \pm S_x$) вазопрессина (а), ренина (б), альдостерона (в) в плазме крови крыс с ложным разрушением (1) и разрушением латерального ядра перегородки мозга (2). Звездочкой обозначены достоверные различия.

ческого пептида [4, 7, 10]. Между тем, в литературе нет работ, в которых бы указывалось, на какое звено регуляции водно-солевого равновесия влияет перегородка мозга. Учитывая, что основным эфекторным органом систем регуляции водно-солевого равновесия являются почки, особый интерес представляет изучение возможного влияния перегородки мозга на их функцию.

Цель нашей работы — исследование деятельности почек и крыс после разрушения латерального ядра перегородки мозга (ЛЯПМ).

Методика

Исследования проведены на 26 половозрелых белых крысах массой 130—180 г. Стереотаксическое разрушение ЛЯПМ ($A = 8,0$ мм, $L = 0,5$ мм, $H = 4,5$ мм [11]), производили под нембуталовым наркозом (40 мг/кг) постоянным электрическим током силой 10 мА в течение 10 с с помощью никромовых электродов диаметром 0,05 мм, покрытых стеклянной изоляцией. Контролем служили ложнооперированные животные, которым в ЛЯПМ вводили электрод без последующего пропускания тока, и интактные крысы. Животные находились в опыте 7 сут. Функцию почек изучали в условиях спонтанного диуреза за сутки до эвтаназии. У крыс, находящихся в клетках со свободным доступом к воде, определяли ее потребление. В моче, собранной у крыс за сутки, определяли концентрацию натрия, калия, креатинина, осмотически активных веществ и рассчитывали их экскрецию, а также экскрецию титруемых кислот и аммиака [1]. В плазме крови определяли содержание калия, осmolлярность, а также концентрацию вазопрессина, альдостерона и активность ренина радиоиммунологическим методом. Контроль очага разрушения ЛЯПМ осуществляли на серийных замороженных срезах мозга (рис. 1). Результаты обрабатывали статистически с использованием критерия Стьюдента.

Результаты

Разрушение ЛЯПМ существенно сказалось на питьевом поведении животных: потребление воды за сутки значительно увеличилось по сравнению с ее потреблением ложнооперированными крысами (таблица). Изменилась и деятельность почек: достоверно увеличился диурез, причем это увеличение превысило увеличение потребления воды, вследствие чего возрос относительный диурез, увеличилась экскреция натрия,

- током или химическими веществами вызывает гипердипсию [3, 12] и влияет на секрецию вазопрессина [8]. Напротив, ее электростимуляция значительно снижает потребление воды [6]. Дополнительным свидетельством возможного участия этой области мозга в регуляции водно-солевого равновесия являются данные о том, что в ядрах перегородки имеются рецепторы к ^3H -аргинин-вазопрессину, ^{125}I -ангиотензину, а также о содержании в этих структурах α -предсердного натрийурети-
- М. Действие стрихнина на вызванные рефракторные сенсомоторной коры кошки // Актуальные проблемы физиологии и экспериментальной медицины. Тбилиси : Медицина, 1987. — 145—148.
- Действие стрихнина на транскаллозальные открытия // С. 655—665.
- Физиология поверхности коры // Длительные — Тбилиси : Медицина, 1969.—
- Л. С. Мелконян А. А. Глиальное про- — шиала прямого ответа коры: микронализ // Нейрофизиология. — 1982.—
- М. Колебания вызванного потенциала, — раздражений симметричной точки кошки // Физиол. журн. — 1985. — 31,
- изменения вызванных потенциалов коры — 349—359.
- работающих механизмов в коре большого — 199 с. —
- between locus coeruleus and cerebral — P. 145—160.
- function of interhemispheric evoked potentials — Fed. Proc. — 1977. — 36.—
- ons in suprasylvian gyrus of cat // — P. 79—99.
- Материал поступил в редакцию 02.10.89
- к изучению роли центральной дно-солевого баланса. Имеют- —
- ном участии лимбической си- —
- поддержании водно-солевого питьевого поведения [2, 14].
- городки мозга электрическим

креатинина и осмотически активных веществ. При этом изменения их концентрации в моче были незначительны. Более того, осмолярность мочи даже уменьшилась. Возросла также экскреция титруемых кислот и аммиака, выделение калия практически не отличалось от контрольного значения. Несмотря на существенные изменения экскреторной деятельности почек, значения показателей водно-солевого равновесия в организме, по-видимому, изменились мало: концентрация осмотически активных веществ и калия в крови осталась постоянной. В то же время значение показателя осмотического концентрирования мочи достоверно уменьшилось. Наряду с изменениями почечной функции выявлены различия концентрации в крови гормонов, регулирующих водно-солевое равновесие: после разрушения ЛЯПМ содержание вазопрессина увеличилось, а альдостерона уменьшилось по сравнению с таковыми контрольных животных, при этом не наблюдали различий активности ренина и в плазме крови (рис. 2).

Обсуждение

Выявленное нами увеличение потребления воды согласуется с данными литературы [15]. Полидипсия в какой-то мере может быть следствием увеличения в крови концентрации вазопрессина после разрушения ЛЯПМ. Повышение же секреции вазопрессина, возможно, является

Влияние разрушения латерального ядра перегородки мозга (ЛЯПМ), на некоторые показатели функции почек у крыс ($\bar{x} \pm S_x$)

Показатель	Серия эксперимента		
	1-я (неоперированные животные)	2-я (ложнооперированные животные)	3-я (оперированные животные)
Потребление воды, мл/кг	138±16	102±10	184±31 $P_2 < 0,05$
Диурез, мл/кг	44±10	17±3	149±39 $P_4 < 0,02$ $P_2 < 0,01$
Концентрация в моче:			
натрия, ммоль/л	4,7±0,9	3,5±0,3	2,6±0,5
калия, ммоль/л	167,1±20,5	132,0±14,0	97,9±33,1
креатинина, ммоль/л	11,0±1,0	37,0±7,3	20,0±5,1
осмотически активных веществ, мосм/л	1874±242	1625±140	1003±190 $P_1 < 0,05$ $P_2 < 0,05$
Экскреция с мочой:			
натрия, мкмоль/кг	89±14	69±14	218±33 $P_1 < 0,01$ $P_2 < 0,01$
калия, мкмоль/л	360,5±55,8	257,4±80,6	437,8±62,7
креатинина, мкмоль/кг	327±45	675±290	1029±221 $P_1 < 0,01$
осмотически активных веществ, мосм/кг	18,38±3,75	26,53±5,39	43,54±7,87 $P_1 < 0,02$
титруемых кислот, ммоль/кг	4,71±0,5	3,1±1,6	14,2±5,0 $P_2 < 0,05$
аммиака, ммоль/кг	8,1±0,7	3,0±1,0	12,4±1,3 $P_1 < 0,01$ $P_2 < 0,001$
Концентрация в крови:			
калия, ммоль/л	5,6±0,18	5,4±0,87	5,1±0,39
осмотически активных веществ, мосм/л	290,1±4,8	289,3±5,3	285,2±3,2
Отношение концентрации осмотически активных веществ в моче к их концентрации в крови	6,5±0,7	5,7±0,6	3,5±0,7 $P_1 < 0,01$ $P_2 < 0,05$

Примечание. Р — достоверность различий значений показателей по сравнению с таковыми указанной серии (P_1 или P_2).

следствием выпадения тормогородки мозга на возбудимо-праоптических (СО) ядер функциональных выявлены ной области с СО и паравестибулярными [13]. Обнаруженное уве объясняется реакцией почек увеличению относительного диуреза, что позволяет считать тения реабсорбции воды в факт, что увеличение диуреза в кровь вазопрессина в диуретический гормон углубляет уменьшение осмолярности мозгов.

Известно, что гипореакция при гипокалиемии, однокалия в крови находилась в допустить наличие каких-то регородки мозга на концентрации увеличения диуреза после с полиурией увеличение выделения отчасти может быть бочковой фильтрации, судя это не исключает снижение зарегистрированное уменьшение вполне может быть причиной и согласуется с мнением о регуляции натрийуреза [9] стерона, по-видимому, не новой системы, так как альдостерона указывает на активацию отделе нефронов и, в свою очередь, после разрушения даемые изменения некоторым следствием неспецифического так как ложное разрушение ленные изменения: олигурия в организме крыс.

Таким образом, анализа можно сделать вывод, что солевого равновесия, влияющие на функцию почек независимо-солевое равновесие и физиологические взаимосвязи перегородки мозговой системами и по другому.

M. L. Kirilyuk, A. Z. Kukharchuk,
THE INFLUENCE OF THE LAT
ON THE RENAL FUNCTION

A conclusion on relationships of retic systems in the regulation of renal function has been drawn as a result of the experiments after the destruction of the lateral nucleus revealed increase in the urinary creatinine, titrating acids and an increase of the vasopressin level in the urine as well as an activation of the adrenocortical system.

Medical Institute, Ministry of Public Health of the Ukrainian SSR, Chernovtsi

Физиол. журн., 1990, т. 36, № 3

веществ. При этом изменения их сльны. Более того, осмолярность же экскреция титруемых кислотически не отличалось от контрольные изменения экскреторной гелей водно-солевого равновесия мало: концентрация осмотически талась постоянной. В то же время концентрирования мочи достоверными почечной функции выявлены, регулирующих водно-солевые ПЯПМ содержание вазопрессина имлось по сравнению с таковыми наблюдали различий активности

ния воды согласуется с данными -то мере может быть следствием вазопрессина после разрушения вазопрессина, возможно, является перегородки мозга (ЛЯПМ), на некоторые

следствием выпадения тормозных влияний нейронов латеральной перегородки мозга на возбудимость вазопрессинергических нейронов супраптических (СО) ядер гипоталамуса [5]. Тем более, что помимо функциональных выявлены и прямые морфологические связи латеральной области с СО и паравентрикулярными ядрами подбуторной области [13]. Обнаруженное увеличение диуреза, казалось, можно было бы объяснить реакцией почек на полидипсию. Однако, судя по резкому увеличению относительного диуреза, выход воды превышает ее поступление, что позволяет считать полиурию следствием первичного угнетения реабсорбции воды в почках. Особый интерес представляет тот факт, что увеличение диуреза происходит на фоне увеличения концентрации вазопрессина в крови. Следовательно, реакция почек на антидиуретический гормон угнетена. Об этом свидетельствует также уменьшение осмолярности мочи и концентрационного показателя осмолярности.

Известно, что гипореактивность почек к вазопрессину наблюдается при гипокалиемии, однако в нашем эксперименте концентрация калия в крови находилась в пределах нормы. По-видимому, необходимо допустить наличие каких-то нам неизвестных механизмов влияния перегородки мозга на концентрирующую функцию почек для объяснения увеличения диуреза после разрушения ЛЯПМ. Обнаруженное наряду с полиурией увеличение выделения натрия и осмотически активных веществ отчасти может быть объяснено возможным повышением клубочковой фильтрации, судя по возрастанию экскреции креатинина, но это не исключает снижения реабсорбции натрия в канальцах. Причем зарегистрированное уменьшение концентрации альдостерона в крови вполне может быть причиной угнетения реабсорбции натрия в почках и согласуется с мнением о возможном участии септальной области в регуляции натрийуризы [9]. Механизм снижения концентрации альдостерона, по-видимому, не обусловлен изменениями ренин-ангиотензиновой системы, так как активность ренина после разрушения ЛЯПМ осталась неизменной. Увеличение выделения титруемых кислот и аммиака указывает на активацию ацидо- и аммониогенеза в канальцевом отделе нефрона и, в свою очередь, позволяет предположить развитие ацидоза после разрушения ЛЯПМ. Следует подчеркнуть, что наблюдавшие изменения некоторых показателей функции почек не являются следствием неспецифической реакции организма животных на травму, так как ложное разрушение ЛЯПМ вызывает противоположно направленные изменения: олигурию с тенденцией к задержке натрия и калия в организме крыс.

Таким образом, анализируя результаты проведенного исследования, можно сделать вывод, что ЛЯПМ, включаясь в регуляцию водно-солевого равновесия, влияет, по-видимому, на питьевую возбудимость и функцию почек независимо друг от друга. Влияние ЛЯПМ на водно-солевое равновесие и функцию почек реализуется, возможно, через взаимосвязи перегородки мозга с антидиуретической и антинатрийурической системами и по другим малоисследованным путям.

M. L. Kirilyuk, A. Z. Kukharchuk, A. I. Gozhenko

THE INFLUENCE OF THE LATERAL SEPTAL NUCLEUS DESTRUCTION ON THE RENAL FUNCTION

A conclusion on relationships of the septum with both the antidiuretic and antinatriuretic systems in the regulation of the aqueous-electrolytic balance and renal function has been drawn as a result of the study of the drinking behaviour and renal reaction after the destruction of the lateral septal nucleus (LSN). This conclusion is based on the revealed increase in the urinary excretion of sodium, osmotically active substances, creatinine, titrating acids and ammonia after the LSN destruction. Moreover, an increase of the vasopressin level in the blood plasma, a decrease of aldosterone concentration as well as an activation of the drinking behaviour are noted.

Medical Institute, Ministry of Public Health
of the Ukrainian SSR, Chernovtsi

СПИСОК ЛИТЕРАТУРЫ

1. Берхин Е. Б., Иванов Ю. И. Методы экспериментального исследования почек и водно-солевого обмена.—Барнаул: Алтайск. кн. изд-во, 1972.—199 с.
2. Зилов В. Г. Лимбическая система и ее роль в функциональной системе пищевого и питьевого поведения// Итоги науки и техники. Т. 20 (Физиология лимбической системы).—М.: ВИНИТИ, 1977.—С. 5—65.
3. Ковал И. Н., Саркисов Г. Т., Гамбарян Л. Г. Септум (обзор морфологической и физиологической литературы) // Успехи физиол. наук.—1985.—16, № 3.—С. 89—109.
4. Brinton R. E., Gee K. W., Wamsley J. K., et al. Regional distribution of putative vasopressin receptors in rat brain and pituitary by quantitative autoradiography// Proc. Natl. Acad. Sci. USA. Biol. Sci.—1984.—81, N 22.—P. 7248—7252.
5. Cirino M., Renaud L. P. Influence of lateral septum and amygdala stimulation on the excitability of hypothalamic supraoptic neurons. An electrophysiological study in the rat// Brain Res.—1985.—326, N 2.—P. 357—361.
6. Gordon F. J., Jonson A. K. Electrical stimulation of the septal area in the rat: prolonged suppression of water intake and correlation with self-stimulation// Ibid.—1981.—206, N 2.—P. 421—430.
7. Healy D. P., Printz M. P. Localization of angiotensin II binding sites in rat septum by autoradiography// Neurosci. Lett.—1984.—44, N 2.—P. 167—172.
8. Iovino M., Steardo L. Effets des lésions septales sur la réponse de la vasopressine l'angiotensine II // Ann. Endocrinol.—1985.—46, N 2.—P. 113—117.
9. José R. M., Da A., Rodrigues F. C. José A.—R. Participation of cholinergic and adrenergic synapses of the medial septal area (MSA) in the natriuretic and kaliuretic responses to intraventricular hypertonic saline (NaCl) // Physiol. and Behav.—1985.—34, N 1.—P. 23—28.
10. Kawata M., Ueda S., Nacao K., et al. Immunohistochemical demonstration of α -atrial natriuretic polypeptide-containing neurons in the rat brain// Histochemistry.—1985.—83, N 1.—P. 1—3.
11. Konig J. D., Klippel R. A. The Rat Brain. A Stereotaxis Atlas of the Forebrain and Lower Parts of the Brain Stem.—Baltimore: Williams and Wilkins Co., 1963.—290 p.
12. Munoz C., Grossman S. P. Behavioral consequences of selective destruction of neuron pericarya in septal area of rats// Physiol. and. Behav.—1980.—24, N 4.—P. 779—788.
13. Oldfield B. J., Hou-Yu A., Silverman A.-J. A combined electron microscopic HRP and immunocytochemical study of the limbic projections to rat hypothalamic nuclei containing vasopressin and oxytocin neurons// J. Comp. Neurol.—1985.—231, N 2.—P. 221—231.
14. Sagvolden T., Holth P. Learning in rats with medial and dorsolateral septal lesions// Neurosci. Lett.—1983.—Suppl., N 14.—P. 323.
15. Vasudev R., Gentil C. G., Covian M. R. Taste preferences in a free-choice situation following electrical stimulation and lesion of septal area in rats// Physiol. and Behav.—1985.—34, N 4.—P. 619—624.

Черновиц. мед. ин-т
М-ва здравоохранения УССР

Материал поступил
в редакцию 10.10.87

УДК 612.616.31:615.357—084

С. В. Варга, П. В. Синицы, Л. В. Тарасенко

Анддрогенный статус у кроликов в условиях продолжительного введения нестероидного антиандрогена нифтолида

Блокада нифтолидом рецепторов андрогенов в гипоталамических центрах регуляции секреции гонадотропинов сопровождается у грызунов и человека активацией гипоталамо-гипофизарно-тестикулярной системы и, как следствие, усилением секреции лютеинизирующего гормона (ЛГ) и тестостерона (Т) [2, 5, 6]. Однако биологическая доступность последнего для органов и тканей-мишеней у некоторых животных (кроликов, обезьян) и человека зависит также от содержания в крови тестостерон-эстрадиолсвязывающего глобулина (ТЭСГ). Доказано, что увеличение концентрации этого белка в крови сопровождается снижением содержания свободного биологически активного андрогена в крови и, наоборот, снижение концентрации — его увеличением [8, 10].

В связи с этим целью
ного состояния гипофиза
ТЭСГ в плазме крови кро-
ния нифтолида.

Методика

Исследования проведены на крысах нифтолидом (25 мг/кг в сутки) в течение 60 сут в виде суспензии на гексоксиметилцеллюлозе, 0,9% нацированные (эфирный наркоз) воротку ампулировали и хранили.

Концентрацию биологически активного соавт. [9] в модификации Baraggini калиброванный по 1-му Международному консенсусу Т и андростендионским методом [4]. Содержание полученной нами после иммунокарбоксиметилоксима с бычьим определяли по связыванию радиоактивного или без немеченого гормона [1].

Статистическую обработку Студента¹.

Результаты и их обсуждение

В наших исследованиях биологически активного гормона было более информативным гормоном. Установлено, что у животных, подвергнутых блокаде гипоталамо-гипофизарно-тестикулярной системы и у крыс, подвергнутых интактных кроликов андрогена это повышение верный по сравнению с соответствующим уровнем возрастания выраженным этот эффект. Появление препарата, когда у интактных кроликов в 4 раза степенно снижалось и купировалось до нормального значение Т, как и следовало ожидать.

Полученные нами результаты содержания Т под действием направленности и выражаются с полученными ранее результатами на то, что вызывает нарушения эндокринного гормона.

Концентрация другого практически неизмененного действия содержание энзима с контролем. Установление концентрации этого гормона предшественником Т. Тот факт, что при значи-

¹ Авторы выражают благодарность для исследования и доктору медицинских наук им. И. П. Павлова АН СССР.

ентального исследования почек и вод-
зд-во, 1972.—199 с.

в функциональной системе пищевого
ники. Т. 20 (Физиология лимбической

Г. Септум (обзор морфологической
физиол. наук.—1985.—16, № 3.—

1. Regional distribution of putative va-
y by quantitative autoradiography //—81, N 22.—P. 7248—7252.

septum and amygdala stimulation on
neurons. An electrophysiological study
357—361.

ion of the septal area in the rat: pro-
action with self—stimulation // Ibid.—

giotensin II binding sites in rat sep-
4.—44, N 2.—P. 167—172.

ales sur la réponse de la vasopressine
3, N 2.—P. 113—117.

2. Participation of cholinergic and ad-
MSA) in the natriuretic and kaliuretic
ne (NaCl) // Physiol. and Behav.—

histochemical demonstration of α -atri-
s in the rat brain // Histochemistry.—

Stereotaxis Atlas of the Forebrain and
Williams and Wilkins Co., 1963.—

ences of selective destruction of neu-
l. and. Behav.—1980.—24, N 4.—

mbined electron microscopic HRP and
tions to rat hypothalamic nuclei con-
Comp. Neurol.—1985.—231, N 2.—

medial and dorsolateral septal lesi-
323.

preferences in a free-choice situation
septal area in rats // Physiol. and Be-

Материал поступил
в редакцию 10.10.87

научных исследований
и гипоталамо-гипофизарной
системы у крыс // Физиология
животных. Т. 20 (Физиология
лимбической

ния и ее функции. Кн. 2. Кролики
и мыши // Издательство Академии
наук СССР. М.: Наука, 1980. 199 с.

нов в гипоталамических цент-
сопровождается у грызунов
гипоталамо-гипофизарной систе-
и лютеинизирующего гормона
ко биологическая доступность
у некоторых животных (кро-
лекже от содержания в крови
глини (ТЭСГ). Доказано, что
крови сопровождается сниже-
и активного андрогена в кро-
его увеличением [8, 10].

В связи с этим цель нашей работы — исследование функциональ-
ного состояния гипофизарно-тестикулярной системы и содержания
ТЭСГ в плазме крови кроликов в условиях продолжительного введе-
ния нифтолида.

Методика

Исследования проведены на кроликах-самцах породы шиншила массой 3,0—3,6 кг. Нифтолид (25 мг/кг в сутки) вводили перорально через резиновый зонд в течение 60 сут в виде суспензии на гелевой основе, содержащей 0,5 % натриевой соли карбоксиметилцеллюлозы, 0,9 % NaCl, 0,9 % бензилового спирта и 0,4 % твина-80. Кастрированные (эфирный наркоз) и контрольные (интактные) животные получали гелевую основу. Через каждые 15 сут проводили забор крови из краевой вены уха. Сыворотку ампулировали и хранили при температуре -20°C до проведения анализов.

Концентрацию биологически активного ЛГ определяли по методу Damme и соавт. [9] в модификации Baraghini и соавт. [7], используя стандарт человеческого ЛГ, калиброванный по 1-му Международному стандарту 69/48 (фирма «Sigma», США). Концентрацию Т и андростендиона в сыворотке крови определяли радиоиммunoлогическим методом [4]. Содержание андростендиона исследовали с помощью антисыворотки, полученной нами после иммунизации кроликов коньюгатом 4-андростен-3, 17-дион-3-карбоксиметилоксими с бычьим сывороточным альбумином, ТЭСГ в сыворотке крови определяли по связыванию радиоактивного дигидротестостерона при наличии избытка или без немеченого гормона [1].

Статистическую обработку результатов проводили с использованием критерия t Стьюдента¹.

Результаты и их обсуждение

В наших исследованиях изучалось влияние нифтолида на содержание биологически активного ЛГ в крови подопытных животных, являющееся более информативным показателем по сравнению с иммунореактивным гормоном. Установлено, что у кастрированных самцов кроликов и у животных, подвергшихся воздействию нифтолидом, содержание биоактивного ЛГ в крови достоверно повышенено по сравнению с таковыми интактных кроликов (рисунок). Причем при введении антиандрогена это повышение носило более выраженный, хотя и недостоверный по сравнению с кастрированными животными, характер. Соответственно этому введение нифтолида кроликам сопровождалось существенным возрастанием содержания Т в крови (таблица). Наиболее выраженным этот эффект оказался спустя 15 суток после начала введения препарата, когда содержание гормона превышало таковое у интактных кроликов в 4 раза. В дальнейшем содержание Т в крови постепенно снижалось и к 60-м суткам введения антиандрогена снизилось до нормального значения. У кастрированных животных содержание Т, как и следовало ожидать, оказалось значительно пониженным.

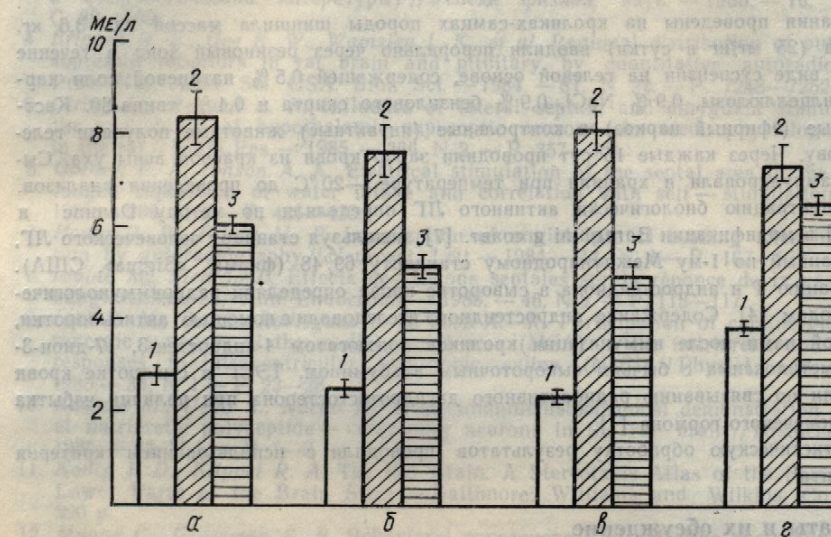
Полученные нами результаты, свидетельствующие об изменении содержания Т под действием нифтолида у самцов кроликов, по своей направленности и выраженности в различные сроки введения согласуются с полученными ранее в опытах на крысах данными, которые указывают на то, что вызываемые блокадой андрогенных рецепторов нарушения эндокринного гомеостаза с течением времени ослабевают [3].

Концентрация другого андрогена — андростендиона оставалась практически неизмененной. Лишь на 45-е сутки антиандрогенного воздействия содержание этого гормона достоверно увеличилось по сравнению с контролем. У кастрированных кроликов наблюдалось снижение концентрации этого гормона. Андростендон, как известно, является предшественником Т в цепи биосинтеза последнего в семенниках. Тот факт, что при значительном возрастании содержания Т у кроли-

¹ Авторы выражают благодарность ВОЗ за предоставление некоторых материалов для исследования и доктору биологических наук О. Н. Савченко (Институт физиологии им. И. П. Павлова АН СССР) за антисыворотку к тестостерону.

ков, которым вводили нифтолид, концентрация андростендиона у них практически не изменялась, свидетельствует об его активной утилизации в биосинтезе Т.

В отличие от кастрированных кроликов, у которых наряду со стимуляцией гипоталамо-гипофизарной системы отмечено существенное повышение содержания ТЭСГ, у интактных животных, получавших



Изменение содержания лутенизирующего гормона в крови самцов кроликов при продолжительном введении нифтолида (25 мг/кг):
— 15 сут, 2 — 30 сут, 3 — 45 сут, 4 — 60 сут (1 — контроль, 2 — нифтолид, 3 — кастрация).

нифтолид, оно не изменено, хотя отмечена определенная тенденция к повышению этого показателя у животных данной группы. Результаты клинических наблюдений свидетельствуют о том, что избыточная про-

Изменение андрогенного статуса самцов кроликов при продолжительном введении нифтолида ($M \pm m$)

Условие опыта	Число животных	Время введения нифтолида			
		15 сут	30 сут	45 сут	60 сут
Тестостерон, нмоль/л					
Контроль	4	$8,50 \pm 2,16$	$10,85 \pm 3,05$	$5,92 \pm 0,76$	$12,40 \pm 2,30$
Введение 25 мг/кг нифтолида	3	$35,14 \pm 9,89$ $P < 0,05$	$31,41 \pm 7,74$ $P < 0,05$	$28,19 \pm 6,40$ $P < 0,02$	$19,30 \pm 4,89$ $P > 0,2$
Кастрация	4	$0,59 \pm 0,24$ $P < 0,001$	$0,46 \pm 0,41$ $P < 0,001$	$0,69 \pm 0,19$ $P < 0,001$	$0,75 \pm 1,0$ $P < 0,001$
Андростендион, нмоль/л					
Контроль	4	$0,39 \pm 0,03$	$0,70 \pm 0,13$	$0,35 \pm 0,02$	$0,44 \pm 0,01$
Введение 25 мг/кг нифтолида	3	$0,74 \pm 0,19$ $P > 0,1$	$0,59 \pm 0,20$ $P > 0,5$	$0,71 \pm 0,14$ $P < 0,05$	$0,52 \pm 0,13$ $P > 0,5$
Кастрация	4	$0,34 \pm 0,17$ $P > 0,5$	$0,18 \pm 0,07$ $P < 0,01$	$0,16 \pm 0,01$ $P < 0,001$	$0,22 \pm 0,04$ $P < 0,001$
ТЭСГ, $\times 10^{-8}$ моль/л					
Контроль	4	$2,02 \pm 0,24$	$3,13 \pm 0,39$	$2,53 \pm 0,52$	$2,84 \pm 0,68$
Введение 25 мг/кг нифтолида	3	$3,70 \pm 1,51$ $P > 0,2$	$4,64 \pm 0,86$ $P > 0,2$	$3,98 \pm 0,83$ $P = 0,2$	$4,72 \pm 1,20$ $P > 0,2$
Кастрация	4	$5,30 \pm 1,38$ $P = 0,05$	$5,71 \pm 1,28$ $P > 0,5$	$5,76 \pm 1,10$ $P < 0,05$	$5,66 \pm 1,22$ $P > 0,05$

дукция андрогенов снижается. В связи с этим полученные данные свидетельствуют о том, что нифтолид эффективно снижает количество тестостерона и, следовательно, содержание неизмененных андрогенов.

Таким образом, продолжительное введение нифтолида вызывает выраженную стимуляцию гипоталамо-гипофизарной системы, подобно тому, как это происходит у человека [6], одновременно блокируя действие андрогенов на селективные рецепторы.

S. V. Varga, P. V. Sinitsyn, L. V. Baranov

RABBIT ANDROGEN STATUS DURING Prolonged Administration of Nifthalide

Nifthalide (25 mg/kg/dl for 60 days) increases blood levels of LH but has no marked effect on the levels of luteinizing hormone-binding globulin in Shistarized rabbits. This drug simultaneously prevents the mannan-estradiol-binding globulin con-

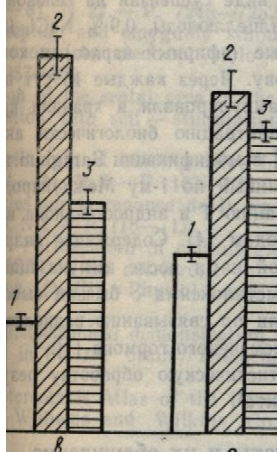
Institute of Endocrinology and M. V. Baranov Institute of Public Health of the Ukrainian SSR, Kiev

СПИСОК ЛИТЕРАТУРЫ

1. Варга С. В., Деревянко Д. А. // Известия АН УССР. Сер. биол. — 1985. — С. 85—89.
2. Варга С. В. Нестероидные антиандрогены. — Киев, 1987. — 35 с.
3. Волкова Н. Н. Динамика содержания андрогенов в организме кроликов в условиях применения антиандрогенов. — Докл. АН УССР. — 1980. — № 24.
4. Гончаров Н. П., Чекан С. А. // Известия АН УССР. Сер. биол. — 1979. — № 1. — С. 92.
5. Резников А. Г., Демченко А. Г. // Известия АН УССР. Сер. биол. — 1980. — № 1. — С. 10.
6. Резников А. Г., Варга С. В. // Известия АН УССР. Сер. биол. — 1981. — № 1. — С. 10.
7. Baraghini G. F., Celani M. // J. Clin. Endocrinol. — 1978. — Vol. 81. — P. 73.
8. Belgorosky A., Scorticatti C. // J. Clin. Endocrinol. — 1978. — Vol. 81. — P. 73.
9. Damme M. P., van Roberts // Acta endocrinol. — 1978. — Vol. 81. — P. 73.
10. Wagner R. K. Extracellular fluid discrimination, assay and methodological aspects // J. Clin. Endocrinol. — 1978. — Vol. 81. — P. 73.

Киев. науч.-исслед. ин-т эндокринологии и ассоциированного здравоохранения УССР

трация андростендиона у них несет об его активной утилизации, у которых наряду со стимулы отмечено существенное снижение животных, получавших



в крови самцов кроликов при продолжительном введении нифтолога (1 — контроль, 2 — нифтолог, 3 — кастрация).

на определенная тенденция к данной группе. Результаты о том, что избыточная про-

должительность введения

	30 сут	45 сут	60 сут
--	--------	--------	--------

в плазме крови самцов кроликов при про-

должительном введении нифтолога

в плазме крови самцов кроликов при про-

должительном введении нифтолога

дукция андрогенов снижает содержание ТЭСГ в плазме крови [10]. В связи с этим полученные нами результаты могут указывать на то, что нифтолог эффективно блокирует угнетающее влияние избыточного количества тестостерона на синтез ТЭСГ в печени, тем самым сохраняя его содержание неизмененным.

Таким образом, продолжительное введение нифтолога интактным кроликам вызывает выраженную стимуляцию гипофизарно-гонадной системы, подобно тому, как это отмечалось у крыс, морских свинок [5], и человека [6], одновременно препятствуя проявлению угнетающего действия андрогенов на содержание ТЭСГ в организме.

S. V. Varga, P. V. Sinitsyn, L. V. Tarasenko

RABBIT ANDROGEN STATUS DURING CONTINUOUS INJECTIONS OF NON-STEROIDAL ANTIANDROGEN NIPHTHOLID

Niphtholid (25 mg/kg/dl for 60 days) significantly increases the LH and testosterone blood levels but has no marked effect on adrostenedione and testosterone-estradiol-binding globulin levels in Shinshila mature rabbits. The concentration of latter was elevated against a background of low testosterone and adrostenedione and high LH levels in the castrated rabbits. The obtained results show that niphtholid exerts a continuous stimulating and pronounced effect on the rabbit pituitary-gonadal axis and simultaneously prevents the manifestation of suppressing androgen effect on testosterone-estradiol-binding globulin contents in the organism.

Institute of Endocrinology and Metabolism, Ministry of Public Health of the Ukrainian SSR, Kiev

СПИСОК ЛИТЕРАТУРЫ

1. Варга С. В., Деревянко Д. И., Тарасенко Л. В. Уровень тестостерон-эстрадиолсвязывающего глобулина и тестостерона в плазме крови у здоровых лиц и больных андрогенитальным синдромом // Эндокринология. — Киев : Здоров'я, 1982. — Вып. 12. — С. 85—89.
2. Варга С. В. Нестероидные антиандрогены: биологическая активность, механизмы действия и некоторые аспекты клинического применения: Автoref. дис. ... д-ра мед. наук. — Киев, 1987. — 35 с.
3. Волкова Н. Н. Динамика секреции гонадотропных гормонов и андрогенов у крыс в условиях применения антиандрогена 4-нитро-3-трифторметилизобутирианилата // Докл. АН УССР. — 1980. — № 3. — С. 60—62.
4. Гончаров Н. П., Чекан С., Антоничев А. В. и др. Радиоиммунологический метод определения 11 стероидов в малом объеме плазмы крови обезьян // Вопр. мед. химии. — 1979. — № 1. — С. 92—97.
5. Резников А. Г., Демченко В. Н., Варга С. В., Носенко Н. Д. Радиоиммунологическое и биохимическое исследование реакции adenогипофиза, семенников и надпочечников крыс и морских свинок на введение антиандрогена 4-нитро-3-трифторметилизобутирианилата // Пробл. эндокринологии. — 1977. — 23. — № 2. — С. 86—90.
6. Резников А. Г., Варга С. В., Беникова Е. А. и др. Новая функциональная проба с применением антиандрогена нифтолога для исследований функциональных резервов гипоталамо-гипофизарной системы // Там же. — 1985. — 31, № 2. — С. 15—18.
7. Baraghini G. F., Celani M. F., Zaidi A. A. et al. Problems associated with the in vitro bioassay of serum luteinizing hormone (LH) on mouse Leydig cell preparations: methodological aspects // J. Endocrinol. Invest. — 1984. — 7, Suppl. 3. — P. 23—31.
8. Belgorosky A., Scorticatti C., Rivarola M. A. Sex hormone binding globulin in arterial, and in peripheral, hepatic, renal and spermatic venous blood of children and adults // Acta endocrinol. — 1983. — 103. — N 3. — P. 428—432.
9. Damme M. P., van Robertson D. M., Diczfalusy E. An improved in vitro bioassay method for measuring luteinizing hormone (LH) activity using mouse Leydig cell preparations // Acta endocrinol. — 1974. — 77. — P. 655.
10. Wagner R. K. Extracellular and intracellular steroid binding proteins. Properties, discrimination, assay and clinical application // Ibid. — 1978. — Suppl. 218. — P. 5—73.

Киев. науч.-исслед. ин-т эндокринологии и обмена веществ
М-ва здравоохранения УССР

Материал поступил
в редакцию 05.05.89

Возрастные особенности активности фагоцитирующих лейкоцитов в норме и при инфекционном процессе

Фагоцитарная активность полиморфноядерных лейкоцитов (ПЯЛ) — важный показатель, характеризующий состояние неспецифической защиты. Изучению фагоцитоза при острых и хронических инфекционных заболеваниях посвящены многочисленные работы. Однако в большинстве из них лишь констатируется факт изменения показателей фагоцитарной реакции без раскрытия механизмов этих отклонений. В последние годы ПЯЛ отводится важная роль в реакциях воспаления и сопряженных с ними реакциях иммунитета [4]. При этом основное внимание уделяется изучению бактерицидных систем ПЯЛ, что позволяет вскрыть сложные механизмы, посредством которых эти клетки реализуют свои функциональные возможности [5, 6, 8, 9]. Выявление взаимосвязи функций отдельных факторов иммунитета и неспецифической защиты представляет не только теоретический интерес. Знания в этой области позволяют существенно влиять на различные реакции иммунитета, в том числе и на фагоцитарную реакцию, изменять их направление, способствуя повышению резистентности организма к инфекционным заболеваниям [3].

В связи с этим цель нашей работы — изучение фагоцитарной активности ПЯЛ у здоровых людей различных возрастных групп, а также у больных с острыми и хроническими процессами и одновременное исследование активности пероксидазы (ПО), а также содержания лизосомальных катионных белков (КБ) в фагоцитах.

Методика

Всего были обследованы 87 взрослых людей (25 здоровых, 39 больных хроническим тонзиллитом в стадии ремиссии и 23 больных ОРВИ), а также 138 детей раннего возраста: 64 ребенка грудного возраста (до 1 года) и 74 — от 1 года до 3 лет. В группе детей грудного возраста: 27 больных неосложненными ОРВИ и 21 больной ОРВИ с бактериальными осложнениями (пневмонии, отиты); в возрастной группе 1—3 года: 31 больной неосложненными ОРВИ, 24 больных ОРВИ с бактериальными осложнениями; контрольные группы: 16 здоровых детей первого года жизни и 19 — в возрасте 1—3 лет. Больные ОРВИ обследованы в разгар заболевания (1—3-е сутки), и в период выздоровления; больные хроническим тонзиллитом обследованы однократно в стадии ремиссии.

Особенностью методического подхода было то, что активность ПО и содержание КБ определяли перед постановкой реакции фагоцитоза (исходные значения), а также после реакции незавершенного и завершенного фагоцитоза (НФ и ЗФ соответственно) *in vitro*, что позволяло выявлять не только изменения изучаемых бактерицидных факторов *in vivo*, но и их динамику в сопоставлении с исследованием потенциальных возможностей фагоцитов *in vitro*.

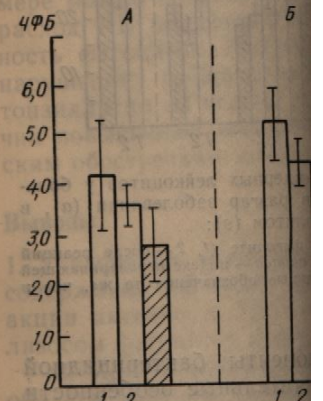
Реакцию фагоцитоза ставили по методу, описанному Ивановым и Чухловиным [2]. Фагоцитарную активность (ФА) ПЯЛ оценивали по числу активных клеток и числу фагоцитированных бактерий (ЧФБ) в одном фагоците. На основании значений ЧФБ после НФ и ЗФ вычисляли индекс переваривающей способности (ИПС). Активность ПО [10] и содержание КБ [7] определяли цитохимическими методами с вычислением среднего цитохимического коэффициента (СЦК). Активность ПО и содержание КБ учитывали перед постановкой реакции фагоцитоза, а также после НФ и ЗФ *in vitro*. Полученные результаты обрабатывали статистически с использованием критерия *t* Стьюдента. Кроме того, материалы исследований подвергали дисперсионному анализу с помощью ЭВМ ЕС 1022 по программе CORE из библиотеки научных программ SSPEC.

Результаты и их обсуждение

Проведенные исследования здоровых детей обеих групп. После реакции НФ она падает. Однако выявленные изменения во всех группах. После реакции ЗФ активность ПО остается на том же уровне, что и в контроле. В группе взрослых людей снижение активности ПО при НФ у взрослых здоровых детей сопоставляется с данными литературы о том, что ПО резко возрастает в крови после контакта ПЯЛ с антигеном и в последующем [12]. Повышение активности ПО не противоречит вышеизложенным данным, это, возможно, связано с тем, что в возрастной группе взрослых людей разного возраста имеются как здоровые, так и больные дети.

Рис. 1. Средний цитохимический (СЦК) коэффициент пероксидазы катионных белков (б) перед фагоцитарной реакцией полиморфных лейкоцитов и после (2, 3) реакций незавершенного и завершенного фагоцитоза у здоровых людей разного возраста. А — дети до 1 г; Б — дети от 1 до 3 лет.

замедлением реакции и соответствием с более старыми значениями системы. С другой стороны, это может быть связано с тем, что в возрастной группе взрослых людей разного возраста имеются как здоровые, так и больные дети.



тации миелопероксидазы в поздней стадии фагоцитоза.

Содержание КБ и миелопероксидазы особенно при ЗФ в группе взрослых людей значительно выше при НФ ($P < 0,05$). Полученные результаты в группе взрослых людей при НФ являются аналогичными результатам для детей при НФ [6, 8]. Некоторая задержка в развитии фагоцитоза у детей при НФ является следствием замедления реакции и соответствием с более старыми значениями системы. С другой стороны, это может быть связано с тем, что в возрастной группе взрослых людей разного возраста имеются как здоровые, так и больные дети.

Физиол. журн., 1990, т. 36, № 3

Результаты и их обсуждение

Проведенные исследования показали, что исходная активность ПО у здоровых детей обеих групп ниже, чем у взрослых людей (рис. 1, 2). После реакции НФ она повышается у детей и снижается у взрослых. Однако выявленные изменения были не существенны ($P < 0,05$) во всех группах. После реакции ЗФ активность ПО у детей остается на том же уровне, что и при НФ, и имеет тенденцию к повышению в группе взрослых людей. Установленное снижение активности ПО после реакции НФ у взрослых здоровых людей согласуется с данными литературы, свидетельствующими о том, что активность ПО резко возрастает в первые минуты после контакта ПЯЛ с объектом фагоцитоза и в последующем снижается [11, 12]. Повышение активности ПО у детей не противоречит вышеизложенному. С одной стороны, это, возможно, связано с

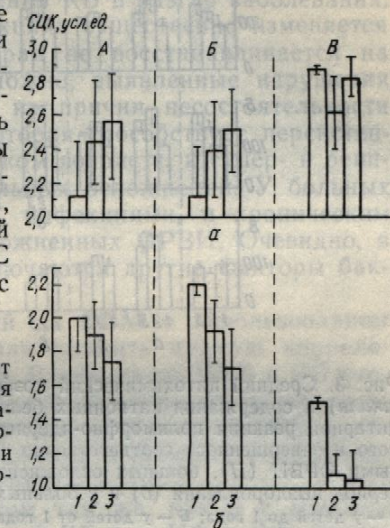


Рис. 1. Средний цитохимический коэффициент (СЦК) активности пероксидазы (a) и содержания катионных белков (b) перед (1) постановкой фагоцитарной реакции полиморфно-ядерных лейкоцитов и после (2, 3) реакций незавершенного и завершенного фагоцитоза соответственно у здоровых людей разного возраста:

A — дети до 1 г; B — дети от 1 до 3 лет; В — взрослые.

замедлением реакции на первой стадии фагоцитоза в этом возрасте и соответственно с более поздним включением в процесс пероксидазной системы. С другой стороны, это может быть следствием усиленной ак-

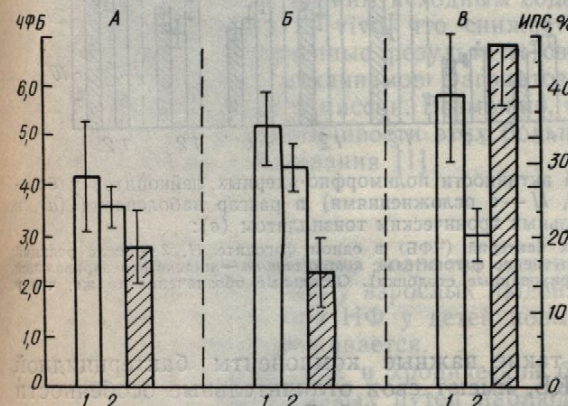


Рис. 2. Показатели фагоцитарной активности полиморфно-ядерных лейкоцитов у здоровых детей до 1 года (A) и от 1 до 3 лет (B) и у взрослых людей (В):
шкала слева — число фагоцитируемых бактерий (ЧФБ) в одном фагоците (1, 2 — после реакций незавершенного и завершенного соответственно фагоцитоза); шкала справа — индекс перваривающей способности (ИПС) фагоцитов (заштрихованные столбики).

тивации миелопероксидазной системы, которая наблюдается даже на поздней стадии фагоцитоза.

Содержание КБ и ПЯЛ у детей выше, чем у взрослых ($P < 0,05$). Во время фагоцитоза содержание КБ у детей постепенно снижается, особенно при ЗФ в группе детей 1—3-летнего возраста. Здесь различия по сравнению с исходным значением существенные ($P < 0,05$). У взрослых людей значительная декатионизация ПЯЛ происходит уже при НФ ($P < 0,05$). В последующем содержание КБ не изменяется. Полученные результаты согласуются с данными литературы о том, что во время фагоцитоза происходит декатионизация лизосомных гранул [6, 8]. Некоторая задержка декатионизации лизосомных гранул ПЯЛ у детей при НФ является косвенным подтверждением замедления начальных реакций этого процесса.

ядерных лейкоцитов (ПЯЛ) — состояние неспецифической защиты и хронических инфекционных заболеваний. Однако в большинстве изменивших показателей фагоцитоза эти отклонения. В первую очередь в реакциях воспаления и иммунитета [4]. При этом основное средство, которым ПЯЛ, что позволяет им выполнять эти функции, это клетки иммунитета и неспецифической защиты. Знания о влиянии на различные реакции старческую реакцию, изменяя их чувствительность организма к инфекциям — изучение фагоцитарной активности различных возрастных групп, а также процессами и одновременное ПО), а также содержания лимфоцитов.

5 здоровых, 39 больных хроническим ОРВИ), а также 138 детей раннего (0—1 год) и 74 — от 1 года до 3 лет. В осложненных ОРВИ и 21 больной (они, отиты); в возрастной группе 24 больных ОРВИ с бактериальными детях первого года жизни и 19 — в разгар заболевания (1—3-е сутки симптомов). Тонзиллитом обследованы одни.

то, что активность ПО и содержание фагоцитоза (исходные значения), а также фагоцитоза (НФ и ЗФ) соответственно изменения изучаемых бактерий в сопоставлении с исследованием

исследованному Ивановым и Чухловым были по числу активных клеток и в фагоцитах. На основании значений приводящей способности (ИПС). Активность цитохимическими методами с помощью (СЦК). Активность ПО и содержание фагоцитоза, а также после НФ и ЗФ статистически с использованием следований подвергались дисперсионной грамматикой CORE из библиотеки науч-

Таким образом, у здоровых детей обеих возрастных групп в ходе фагоцитарной реакции мы наблюдали повышение активности ПО при НФ, а декатионизацию лизосомных гранул — только в группе детей 1—3 лет при ЗФ. Сопоставление этих результатов с результатами исследований у взрослых здоровых людей свидетельствует о задержке декатионизации — важного бактерицидного звена ПЯЛ. Очевидно, что

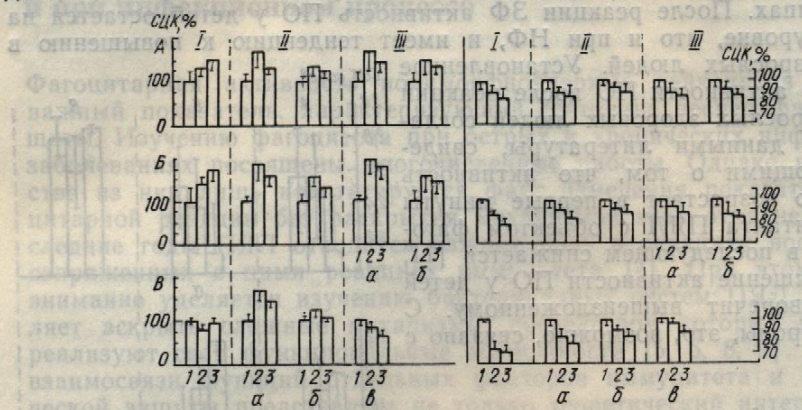


Рис. 3. Средний цитохимический коэффициент (СЦК) активности пероксидазы (левая шкала) и содержание катионных белков (правая шкала) перед (1), постановкой фагоцитарной реакции полиморфно-ядерных лейкоцитов, после (2, 3) реакций незавершенного и завершенного соответственно фагоцитоза у здоровых (I), больных неосложненными ОРВИ (II), больных осложненными ОРВИ (III) в разгар заболевания (а), в период выздоровления (б) и у больных хроническим тонзиллитом (в).

А — у детей до 1 года; Б — у детей от 1 года до 3 лет; В — у взрослых людей.

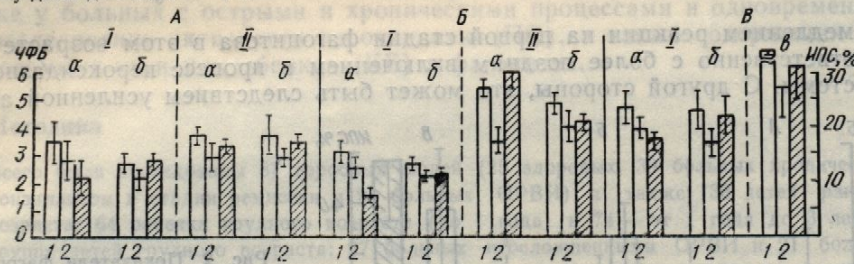


Рис. 4. Показатели фагоцитарной активности полиморфно-ядерных лейкоцитов у больных ОРВИ (I — без осложнений, II — с осложнениями) в разгар заболевания (а), в период выздоровления (б) и у больных хроническим тонзиллитом (в):
шкала слева — число фагоцитирующих бактерий (ЧФБ) в одном фагоците (1, 2 — после реакций незавершенного и завершенного соответственно фагоцитоза); шкала справа — индекс переваривающей способности (ИПС) фагоцитов (заштрихованные столбики). Остальные обозначения те же, что и на рис. 3.

у детей раннего возраста такие важные компоненты бактерицидной системы ПЯЛ, как ПО и КБ, имеют свои отличительные особенности по сравнению с таковыми у взрослых людей. Это, возможно, является одной из причин снижения ЧФБ при НФ и ИПС у детей, особенно в возрасте до 1 года.

Аналогичные исследования, проведенные у больных неосложненными и осложненными формами ОРВИ, подтверждают это предположение (рис. 3). Для сопоставимости полученных результатов исходное значение каждого показателя в группах принимали за 100%, а его изменение во время фагоцитоза выражали в процентах исходного. Установлено, что во всех возрастных группах при неосложненных ОРВИ и ОРВИ с бактериальными осложнениями идет выраженная активация ПО при НФ с последующим незначительным ее снижением. У больных хроническим тонзиллитом активность ПО имеет противоположную динамику. При вирусных инфекциях снижение содержания КБ во время фагоцитоза задерживается, причем у детей при НФ, а у

взрослых при НФ и ЗФ. Выдают со снижением перва следования, проведенные у показали, что динамика а имеет тенденцию к нормализации кономерностей, характеризующуюся задержкой декатионизации (к) не отличается от показаний.

Таким образом, при выявлении функциональная активность фоне клинического выявления бактерицидных факторов механизмов неспецифической защиты вирусов и приводит, очевидно, к развитию вторичных ОРВИ, осложненных бактериальном тонзиллитом ИПС выше, в этих случаях компенсаторная терапия системе ПЯЛ.

Обработка результатов метода дисперсионного анализа ЧФБ и активности ПО показывает различный характер у здоровых ЧФБ и КБ установлена обратная, что подтверждает роль бактерицидных факторов на завершение.

У больных хроническими ОРВИ, наблюдается повышенная декатионизация ПЯЛ, который существенно ниже у детей ($P < 0,05$). Задержку переваривания можно объяснить снижением расхода КБ произошел из-за недостатка фагоцитов. Получены нарушения сложных механизмов тонзиллитом на стадии рецидивов, что связано с повышенной восприимчивостью обострениям заболеваний.

Выводы

1. У здоровых детей раннего возраста содержание КБ выше, чем у взрослых, что определяется активностью ПО при фагоцитозе лизосом фагоцитов задерживается.

2. При острой вирусной инфекции области верхних дыхательных путей ПО и КБ, что коррелирует с активностью фагоцитов.

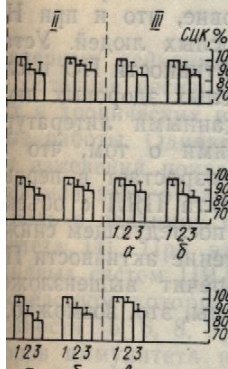
3. В период выздоровления происходит нормализация показателей бактерицидной активности.

*Yu. I. Bazhora, V. P. Buiko
AGE-DEPENDENT FEATURES OF PHAGOCYTIZING ACTIVITY OF POLYMORPHONUCLEAR LEUKOCYTES AND UNDER INFECTIOUS P*

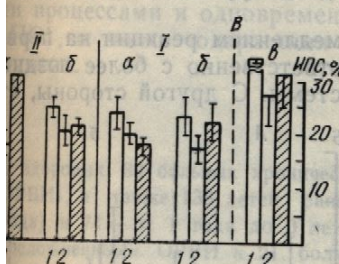
Activity of peroxidase (AP) was studied during phagocytic reactions of polymorphonuclear leukocytes of different age and those with chronic tonsillitis.

Физиол. журн., 1990, т. 36,

бесх возрастных групп в ходе овышение активности ПО при ану — только в группе детей езультатов с результатами ис и свидетельствует о задержке о звена ПЯЛ. Очевидно, что



ЦК) активности пероксидазы (левая шкала) перед (1) постановкой фагоцитов, после (2, 3) реакций незавершенных здоровых (I), больных неосложненных (II) в разгар заболевания (a), в им тонзиллитом (b):



морфо-ядерных лейкоцитов у больных) в разгар заболевания (a), в им тонзиллитом (b):

в одном фагоците (1, 2 — после реакций); шкала справа — индекс переваривающей способности (ИДК). Остальные обозначения те же, что и

в компоненты бактерицидной от отличительные особенности детей. Это, возможно, является и ИПС у детей, особенно в

у больных неосложненных подтверждают это предположение, что результатов исходное принимали за 100%, а его изв в процентах исходного. Установлено, что при неосложненных ОРВИ идет выраженная активация ее снижением. Уровень ПО имеет противоположное снижение содержания КБ причем у детей при НФ, а у

взрослых при НФ и ЗФ. Выявленные метаболические изменения совпадают со снижением переваривающей способности ПЯЛ (рис. 4). Исследования, проведенные у больных ОРВИ в период выздоровления, показали, что динамика активности ПО во всех возрастных группах имеет тенденцию к нормализации, однако полного восстановления закономерностей, характерных для здоровых людей, не происходит. Выраженность декатионизации в этот период обследования (7—10-е сутки) не отличается от показателя содержания КБ в разгар заболевания.

Таким образом, при вирусных инфекциях существенно изменяется функциональная активность ПЯЛ, которая не восстанавливается на фоне клинического выздоровления. Возможно, выявленные нарушения бактерицидных факторов ПЯЛ — одна из причин несостоятельности механизмов неспецифической защиты, которая способствует персистенции вирусов и приводит, особенно в детском возрасте, к супер- и реинфекциям, развитию вторичных бактериальных осложнений. У больных ОРВИ, осложненными бактериальными инфекциями, и хроническим тонзиллитом ИПС выше, чем при неосложненных ОРВИ. Очевидно, в этих случаях компенсаторно быстрее включаются другие факторы бактерицидной системы ПЯЛ.

Обработка результатов исследований на ЭВМ с использованием метода дисперсионного анализа позволила выявить прямую корреляцию ЧФБ и активности ПО при НФ и ЗФ. Взаимосвязь ЧФБ и КБ имеет различный характер у здоровых и больных. У здоровых людей между ЧФБ и КБ установлена прямая корреляция, у больных ОРВИ — обратная, что подтверждает наше предположение о влиянии этих бактерицидных факторов на завершенность фагоцитоза ПЯЛ.

У больных хроническим тонзиллитом так же, как и у больных ОРВИ, наблюдается повышение содержания КБ при НФ и ЗФ. Задержка декатионизации ПЯЛ коррелирует со снижением ИПС фагоцитов, который существенно ниже по сравнению с таковым у здоровых людей ($P < 0,05$). Задержку декатионизации у этих больных в какой-то мере можно объяснить низким исходным содержанием КБ в ПЯЛ, т. е. расход КБ произошел *in vivo*, что снижает потенциальную возможность фагоцитов. Полученные результаты свидетельствуют о глубоких нарушениях сложных механизмов фагоцитоза у больных хроническим тонзиллитом на стадии ремиссии. Возможно, это является одной из причин повышенной восприимчивости этих больных к ОРВИ и периодическим обострениям заболевания [1].

Выводы

1. У здоровых детей раннего возраста активность ПО в ПЯЛ ниже, а содержание КБ выше, чем у взрослых людей. В ходе фагоцитарной реакции активность ПО при НФ у детей повышается, а декатионизация лизосом фагоцитов задерживается.

2. При острой вирусной и хронической бактериальной инфекции в области верхних дыхательных путей наблюдаются сходные изменения ПО и КБ, что коррелирует со снижением переваривающей способности фагоцитов.

3. В период выздоровления у больных ОРВИ не происходит нормализации показателей бактерицидных факторов ПЯЛ во время фагоцитоза.

Yu. I. Bazhora, V. P. Buiko

AGE-DEPENDENT FEATURES OF THE CYTOCHEMICAL ACTIVITY OF PHAGOCYTIZING LEUKOCYTES IN NORM AND UNDER INFECTIOUS PATHOLOGY

Activity of peroxidase (AP) and maintenance of lysosomal cation proteins (CP) were studied during phagocytic reaction of polymorphonuclear leukocytes of healthy persons of different age and those with acute respiratory disease and chronic tonsillitis. It is

found that during acute virus and chronic bacterial infection similar changes in AP and CP dynamics are observed, which is correlated with a decrease of phagocytic digesting function.

Medical Institute, Ministry of Public Health
of the Ukrainian SSR, Odessa

СПИСОК ЛИТЕРАТУРЫ

- Горбачевский В. Н. Клинико-иммунологическое изучение роли пейных миндалин в защитных реакциях организма в условиях нормы и при хроническом тонзиллите: Автореф. дис. ... д-ра мед. наук.—Киев, 1979.—36 с.
- Иванов А. И., Чухловин Б. А. К методике определения поглотительной и переваривающей способности нейтрофилов // Лаб. дело.—1967.—№ 10.—С. 610—613.
- Косяков П. Н., Бердинских М. С., Киселев А. С. Фагоцитоз в иммунитете к вирусам (к 100-летию фагоцитарной теории иммунитета И. И. Мечникова) // Иммунология.—1983.—№ 1.—С. 34—39.
- Маянский А. Н. Нейтрофил как эффектор в реакциях антигено-антителозависимой клеточной цитотоксичности // Там же.—№ 2.—С. 21—26.
- Пауков В. С., Кауфман О. Я. Структурно-функциональная характеристика нейтрофильных лейкоцитов и их роль в формировании воспалительных и иммунных процессов // Арх. патологии.—1983.—45, № 5.—С. 3—13.
- Пигаревский В. Е. Зернистые лейкоциты и их свойства.—М., 1978.—С. 127.
- Пигаревский В. Е., Мазинг Ю. А. К методике применения лизосомно-катионного теста в лабораторно-диагностической практике // Лаб. дело.—1981.—№ 10.—С. 579—582.
- Пигаревский В. Е. Полиморфный лейкоцит и макрофаг в реакциях воспаления и гиперчувствительности // Арх. патологии.—1983.—45, № 11.—С. 14—22.
- Серов В. В. Воспаление, иммунитет, гиперчувствительность // Там же.—С. 3—14.
- Цитохимия и электронная микроскопия клеток крови и кроветворных органов / Под ред. З. А. Бутенко.—Киев, 1974.—С. 245.
- Чернух А. М. Воспаление.—М., 1979.—298 с.
- Klebanoff S. J. Myeloperoxidase-halide-hydrogen peroxide antibacterial system // J. Bacteriology.—1968.—95, N 6.—P. 2131—2138.

Одесс. мед. ин-т
М-ва здравоохранения УССР

Материал поступил
в редакцию 30.11.88

УДК 615.361.438:612.017.1
Э. В. Гюллинг, М. Б. Самбур

Исследование опосредуемого вилочковой железой механизма супрессорного действия гидрокортизона на гиперчувствительность замедленного типа

Установлено, что глюкокортикоидные гормоны являются весьма эффективными иммуномодуляторами, изменяющими реакции клеточного и гуморального иммунитета [1, 5—7, 9]. Результаты наших предыдущих исследований показали, что гидрокортизон (ГК) при определенных условиях оказывает существенное супрессорное действие на реакции гиперчувствительности замедленного типа (ГЗТ) у мышей, достоверно продлевает срок выживания кожного аллотрансплантата [4]. Поскольку введение ГК тимэктомированным животным не оказывает заметного влияния на развитие у них аллергической реакции замедленного типа, наиболее вероятно, что супрессия реакции ГЗТ при данных условиях опосредуется центральным органом иммунной системы — вилочковой железой. В связи с этим целью наших дальнейших исследований явилось изучение опосредованного вилочковой железой механизма действия гидрокортизона.

Физиол. журн., 1990, т. 36, № 3

Методика

Опыты выполнены на половозрелых мышах 10⁴ тимоцитов крысы, ГЗТ оценивали увеличением селезенки мышей определяли анти-Thy 1-сывороткой [1].

Статистическую обработку применяли критерий У Вилкокса.

Результаты и их обсуждение

Установлено, что однократная сенсибилизирующая и разрешающая ГЗТ у мышей (также супрессию только при сенсибилизации). Однако трехкратное введение сенсибилизации замедленного типа лизосомно-катионного теста в период ее ГЗТ ($P < 0,05$).

Из приведенных в таблице 1 видно, что в течение суток после введения ГЗТ у мышей (также супрессию только при сенсибилизации замедленного типа) введение сенсибилизации замедленного типа лизосомно-катионного теста в период ее ГЗТ ($P < 0,05$).

Исследование функций в системе синтеза

Таблица 1. Зависимость гидрокортизона

Условие эксперимента

Введение гидрокортизона:	до сенсибилизирующей инъекции антигена
10,0 мг/кг однократно	10,0 мг/кг однократно
1,0 мг/кг однократно	1,0 мг/кг однократно
0,1 мг/кг однократно	0,1 мг/кг однократно
0,1 мг/кг пятикратно	до разрешающей инъекции антигена
10,0 мг/кг однократно	10,0 мг/кг однократно
1,0 мг/кг однократно	1,0 мг/кг однократно
0,1 мг/кг однократно	0,1 мг/кг однократно
0,1 мг/кг трехкратно	0,1 мг/кг трехкратно
0,1 мг/кг пятикратно	0,1 мг/кг пятикратно
Введение 0,9 %-ного раствора NaCl	Введение 0,9 %-ного раствора NaCl

* $P = 0,05$; ** $P < 0,05$.

Физиол. журн., 1990, т. 36, № 3

Методика

Опыты выполнены на половозрелых мышах линии СВА массой 16—20 г, полученных из питомника АМН СССР «Столбовая». При проведении работы использовали водорастворимый препарат ГК (марка «Solu-Cortef», фирма «Upjohn, Бельгия»), который вводили животным внутримышечно. Контрольным животным вводили 0,9 %-ный раствор хлорида натрия. ГЗТ индуцировали введением в подушечки задних лап мышей 10^4 тимоцитов крысы, прогретых в течение 20 мин при 56 °C. Выраженность ГЗТ оценивали увеличением массы подколенного лимфатического узла после повторного введения в подушечки лап тех же клеток (10^6 клеток в 0,05 мл 0,9 %-ного раствора хлорида натрия [3]). Содержание Thy 1+-клеток в вилочковой железе и селезенке мышей определяли с помощью цитотоксического теста [8] с применением анти-Thy 1-сыворотки [1].

Статистическую обработку результатов проводили с использованием непараметрического критерия У Вилькоксона—Манна—Уитни [2].

Результаты и их обсуждение

Установлено, что однократное введение ГК (10 мг/кг) перед сенсибилизирующей и разрешающей инъекциями антигена достоверно подавляет ГЗТ у мышей (табл. 1). ГК в дозе 1 мг/кг достоверно вызывает супрессию только при его введении за сутки до повторной иммунизации. Однако трехкратное введение гормона в такой дозе в период развития сенсибилизации заметно угнетает проявления аллергической реакции замедленного типа. Увеличение числа инъекций до 5 до сенсибилизации и в период ее развития приводит к достоверному подавлению ГЗТ ($P < 0,05$).

Из приведенных в табл. 2 результатов следует, что уже на следующие сутки после введения 10 мг/кг ГК существенно уменьшается число лимфоцитов в вилочковой железе. При этом сначала в этом органе (с пиком на 3-и сутки), а затем и в селезенке наблюдается относительное увеличение содержания клеток с высокой плотностью Thy 1+-антитела.

Исследование функциональной активности тимоцитов и спленоцитов в системе сингенного переноса показало, что под влиянием ГК

Таблица 1. Зависимость выраженности ГЗТ от дозы и кратности введения гидрокортизона

Условие эксперимента	Число животных	Масса лимфоузлов					
		абсолютная, мг		Контроль		относительная % контроля	
		Опыт	Среднее значение	Пределы колебаний	Среднее значение	Пределы колебаний	
Введение гидрокортизона:							
до сенсибилизирующей инъекции антигена							
10,0 мг/кг однократно	11	3,0	2,0—4,0	2,6	2,0—3,5	115,4	
1,0 мг/кг однократно	11	3,4	3,0—4,0	2,9	2,0—4,0	117,2**	
0,1 мг/кг однократно	12	3,0	2,0—5,5	2,3	1,0—4,0	130,4**	
0,1 мг/кг пятикратно	6	2,0	1,0—3,0	1,9	1,5—2,0	105,3	
до разрешающей инъекции антигена							
10,0 мг/кг однократно	12	3,4	1,0—5,0	3,0	1,0—4,0	113,3	
1,0 мг/кг однократно	13	3,2	2,0—4,0	3,0	2,0—4,0	106,7	
0,1 мг/кг однократно	12	3,3	2,0—4,0	2,5	1,0—3,5	132,0**	
0,1 мг/кг трехкратно	6	3,0	2,0—4,0	2,6	1,0—3,0	115,4*	
0,1 мг/кг пятикратно	6	2,6	2,0—3,0	2,4	2,0—3,0	108,3	
Введение 0,9 %-ного раствора NaCl	11	3,4	2,0—5,0	2,4	1,5—3,5	142,7**	

* $P = 0,05$; ** $P < 0,05$.

клетки вилочковой железы и селезенки приобретают способность подавлять развитие ГЗТ у синтетических животных. Так, тимоциты и спленоциты, полученные через 24 ч после инъекции мышам 10 мг/кг ГК, при условии трансплантации в подушечки задних лап $3 \cdot 10^6$ клеток за 2 ч до разрешающего введения антигена, эффективно подавляют развитие аллергической реакции, о чем свидетельствует достоверное уменьшение массы подколенных лимфоузлов опытных конечностей животных по сравнению с контрольными (табл. 3). В то же время трансплантация такого же числа лимфоидных клеток мышей контрольной группы не оказывает существенного влияния на выраженность ГЗТ.

Таким образом, полученные результаты позволяют сделать вывод о том, что подавление ГЗТ, обусловленное введением ГК, связано с увеличением содержания в вилочковой железе и селезенке клеток, обладающих неспецифической супрессорной активностью. Эффект супрессии ГЗТ ГК зависит не только от дозы препарата, но и от кратности его введения и, что наиболее вероятно, наблюдается только при достижении порогового количественного уровня супрессоров, обеспечивающего определенной интенсивностью и (или) продолжительностью глюкокортикоидного воздействия.

Таблица 2. Содержание клеток, чувствительных к анти-Thy1-сыворотке в вилочковой железе и селезенке мышей, которым вводили гидрокортизон (ГК)

Время, прошедшее после введения ГК	Число животных	Общее число всех клеток (среднее значение), млн	Число животных	Число клеток, чувствительных к анти-Thy1-сыворотке (среднее значение), млн	Относительное число клеток, чувствительных к анти-Thy1-сыворотке, % общего числа
Вилочковая железа					
0 сут (контроль)	15	32,1	15	16,6	51,7
1 сут	6	22,3*	6	11,0	49,3
3 сут	14	13,6*	11	9,1	66,9*
7 сут	11	33,0	11	14,7	44,5
10 сут	6	28,3	6	11,5	40,6
20 сут	11	31,6	4	17,0	53,8
Селезенка					
0 сут (контроль)	15	35,9	14	5,9	16,4
1 сут	5	37,7	5	5,5	14,6
3 сут	14	30,3	9	5,3	17,5
7 сут	11	37,9	11	5,2	13,7
10 сут	6	34,2	6	13,0	38,0*
20 сут	11	48,6	7	10,8	22,0*

* $P < 0,05$.

Таблица 3. Влияние гидрокортизона (ГК) на индукцию супрессоров ГЗТ у мышей

Трансплантируемые клетки	Число животных	Абсолютная масса лимфоузла, мг				Достоверность отличия	
		правого		левого			
		Среднее значение	Пределы колебаний	Среднее значение	Пределы колебаний		
Введение ГК							
Тимоциты (1)	9	4,1	3,0—5,0	3,2	2,0—4,0	$P < 0,05$	
Спленоциты (2)	10	4,3	3,0—5,0	3,2	2,0—5,0	$P = 0,01$	
Контроль							
Тимоциты (3)	9	4,39	3,0—6,0	4,33	3,0—5,0	$P > 0,05$	
Спленоциты (4)	12	5,57	2,5—7,0	5,64	2,5—7,0	$P > 0,05$ $P_{3,1} < 0,01$ $P_{4,2} < 0,01$	

E. V. Gyulling, M. B. S.

THE STUDY OF THE
INDUCED SUPPRESSIVE

Experiments on CBA mice have shown that thymus and spleen DTH.

Research Institute of Oto-
Ministry of Public Health

СПИСОК ЛИТЕРАТУРЫ

- Глушков В. М., Ивановский А. А. Использование гидрокортизона для лечения гипертонии // Вестник Казанской медицинской академии. 1988. № 28—30.
- Гублер Е. В., Генкин А. А. Медико-биологические исследования гипертонии // Вестник Казанской медицинской академии. 1988. № 28—30.
- Гюллинг Э. В., Самойлов А. А. Стимуляция иммуномодуляции // Вестник Казанской медицинской академии. 1988. № 1.—С. 84—86.
- Goodwin J. S., Messing B. J. Effect of mitogen dose on T-cell proliferation // Cell. 1982. —C90, N 50.—P. 101—106.
- Klausen B., Hagen E. Suppression of adrenectomized nude mice by T-cells // Cell. 1982. —C90, N 50.—P. 101—106.
- Komuro K., Boyse E. Suppression of precursors of T-suppressor cells by T-cells // Cell. 1982. —C90, N 50.—P. 101—106.
- Rosenzweig L. A. Cell-cell interactions in T-cell subpopulations // Cell. 1982. —C90, N 50.—P. 71—79.
- Smith D., Lewis Y. P. Suppression of T-cell proliferation by T-cells // Cell. 1982. —C90, N 50.—P. 101—106.

Киев, науч.-исслед. ин-т им. А. И. Коломийченко

УДК 612.414:614.876

В. В. Корпачев, Л. Т. Ван, С. В. Покровская, А. В. О

Особенности действия факторов селезенки

Известно, что протеиногенные факторы играют важную роль во многих физиологических процессах, регулирующих белковый синтез. Кроме многих патологических состояний, а также постлучевых и

Одним из ингибиторов является гидрокортизон (α_2 -МГ), который, обладая антипротеиногенным действием на кровь, гидролизует протеиногенные факторы, тем самым функционируя как высокая молекулярная фракция для многих патологических состояний, приводящих к выведению из организма.

Физиол. журн., 1990, т. 36,

обретают способность по-
х. Так, тимоциты и спле-
ции мышам 10 мг/кг ГК,
одных лап 3·10⁶ клеток за-
эффективно подавляют раз-
действует достоверное
опытных конечностей жи-
3). В то же время транс-
иток мышей контрольной
я на выраженную ГЗТ.
позволяют сделать вывод
введением ГК, связано с
се и селезенке клеток, об-
ивностью. Эффект супресс-
сарата, но и от кратности
одается только при дости-
пресоров, обеспечиваемом
одолжительностью глюко-

анти-Thy1-сыворотке или гидрокортизон (ГК)

живот- х	Число клеток, чувствитель- ных к анти- Thy1-сыворот- ке (среднее значение), млн	Относительное число клеток, чувствитель- ных к анти- Thy1-сыворот- ке, % общего числа
	16,6	51,7
	11,0	49,3
	9,1	66,9*
	14,7	44,5
	11,5	40,6
	17,0	53,8
	5,9	16,4
	5,5	14,6
	5,3	17,5
	5,2	13,7
	13,0	38,0*
	10,8	22,0*

цию супрессоров ГЗТ у мышей

делы теба- ний	Относитель- ная масса левого лимфо- узла, % мас- сы правого	Достоверность отличия
-4,0	78,0	P<0,05
-5,0	74,4	P=0,01
-5,0	98,6	P>0,05 P _{3,1} <0,01
-7,0	101,3	P>0,05 P _{4,2} <0,01

E. V. Gyulling, M. B. Sambur

THE STUDY OF THE THYMUS-REALIZED MECHANISM OF HYDROCORTISONE-INDUCED SUPPRESSION OF DELAYED-TYPE HYPERSENSITIVITY (DTH)

Experiments on CBA mice using anti-Thy1 antiserum and syngeneic transplantation system have shown that the number of cells with non-specific suppressor activity increases in the thymus and spleen following the injection of hydrocortisone in a dose inhibiting DTH.

Research Institute of Otolaryngology,
Ministry of Public Health of the Ukrainian SSR, Kiev

СПИСОК ЛИТЕРАТУРЫ

- Глушков В. М., Иванов В. В., Яненко В. М. и др. Моделирование процесса адаптационного перераспределения и восстановительного накопления лимфоцитов вилочковой железы — Киев, 1982.— 31 с. (Препринт /АН УССР. Ин-т кибернетики; № 28—30).
- Гублер Е. В., Генкин А. А. Применение непараметрических критериев статистики в медико-биологических исследованиях.— Л.: Медицина.— 1973.— 131 с.
- Гюллинг Э. В., Самбур М. Б. О воспроизведении и оценке реакции гиперчувствительности замедленного типа *in vivo* // Физиол. журн.— 1981.— № 2.— С. 237—240.
- Гюллинг Э. В., Самбур М. Б., Писанко В. Н. Участие вилочковой железы в реализации иммуномодулирующего действия гидрокортизона // Бюл. эксперим. биологии.— 1985. № 1.— С. 78—80.
- Семенков В. Ф., Чередеев А. Н., Арион В. Я., Короткова М. Н. Влияние Т-активина и гидрокортизона на трансплантационный иммунитет // Там же.— 1982.— № 8.— С. 84—86.
- Goodwin J. S., Messner R. P., Williams R. C. Inhibitors of T-cell mitogenesis: effect of mitogen dose // Cell Immunol.— 1979.— 45, N 2.— P. 303—308.
- Klaussen B., Hagen H.-P. Rygaard J. Induction of plaque-forming cells response in adrenectomized nude rats using thymosin fr. 5 // Acta pathol. et microbiol. scand.— 1982.— C90, N 50.— P. 283—294.
- Komuro K., Boyse E. In vitro demonstration of thymic hormone in the mouse by conversion of precursor cells into lymphocytes // Lancet.— 1973.— 1.— P. 740—743.
- Rosenzweig L. A., Kalechman J., Danzig J., Michlin F. Colony formation of thymus cell subpopulations in vitro // Experimental hematology today.— Basel, 1982.— P. 71—79.
- Smith D., Lewis Y. Preparation and effects of antimast cell serum // J. Exp. Med.— 1961.— 113, N 4.— P. 683—692.

Киев, науч.-исслед. ин-т отоларингологии им. А. И. Коломийченко М-ва здравоохранения УССР

Материал поступил в редакцию 15.12.88

УДК 612.414:614.876
Б. В. Корпачев, Л. Т. Ванюрихина,
С. В. Покровская, А. В. Орлова

Особенности действия гуморальных факторов селезенки при облучении

Известно, что протеолитические ферменты (протеиназы) играют важную роль во многих физиологических процессах: свертывании крови, фибринолизе, регуляции кровяного давления, катаболическом превращении белков. Кроме того, протеиназы принимают участие в развитии многих патологических процессов, в частности воспаления, аллергии, а также постлучевых повреждений [2].

Одним из ингибиторов протеиназ является α_2 -макроглобулин (α_2 -МГ), который, образуя комплекс с протеолитическими ферментами крови, гидролизует низкомолекулярные токсичные пептиды, выполняя тем самым функцию защитных белков [3, 4]. Одновременно, обладая высокой молекулярной массой, α_2 -МГ выполняет также транспортную функцию для многих естественных низкомолекулярных веществ, препятствуя их выведению из организма.

Применяемый в медицинской практике препарат спленин, полученный из селезенки крупного рогатого скота, обладает широким терапевтическим спектром действия. Можно предположить, что одним из механизмов его, в частности, детоксикационного эффекта, является влияние этого препарата на содержание α_2 -МГ в организме. Учитывая, что спленин оказывает терапевтический эффект при облучении, в настоящем исследовании была изучена также роль α_2 -МГ в механизме этого эффекта. До настоящего времени не изучена химическая природа гуморальных факторов селезенки, обладающих радиопротекторными свойствами, которыми, как известно, обладают и высоко-, и низкомолекулярные вещества, выделенные из этого органа [5, 7].

В связи с этим цель нашей работы — сравнительное изучение радиозащитных свойств различных препаратов селезенки — спленина (содержащего низкомолекулярные вещества и небольшое количество пептидов), безбелкового экстракта селезенки (БЭС), его пептидной (БЭС-1) и аминных (БЭС-2, БЭС-3) фракций, а также фосфолипидной фракции липидного экстракта селезенки.

Методика

Фракции БЭС получали воздействием охлажденным ацетоном, фосфолипидную — выделением из упаренного петролейного экстракта селезенки, отделяя нейтральные липиды и пигменты охлажденным ацетоном.

Опыты проведены на белых мышах линии С₅₇Bl обоего пола массой 25—30 г, которые были облучены (103,2 мКл/кг) с помощью аппарата РУМ-3 при напряжении 250 кВ, силе тока 15 мА, фильтрах 0,5 мм СИ и 1,5 мм Al, расстоянии 50 см (интенсивность облучения — 0,096 мКл·кг⁻¹·с⁻¹). Все животные были разделены на 10 групп. Животные 1-й группы — интактные. Животным 3—5-й групп после облучения внутримышечно в течение 3 сут вводили спленин, экстракт тимуса, мышечный экстракт соответственно (0,25 мл на 100 г массы), которые получали по технологии приготовления спленина. Мышам 7—9-й групп вводили те же препараты в течение 10 сут, 2-й и 6-й группы после облучения препараты не вводили, а 10-й группы вводили спленин, прокипяченный в течение 60 мин. После забоя в сыворотке крови определяли содержание α_2 -МГ и белок по Лоури. Определение α_2 -МГ проводили по методу, в основе которого лежит свойство α_2 -МГ с трипсином расщеплять N-бензойл-D α -аргинин-n-нитроанилин (БАПНА), не чувствительный к ингибитору трипсина из бобов сои [4]. При определении α_2 -МГ к сыворотке крови добавляли трипсин в избытке по отношению ко всем трипсиносвязывающим белкам, чем обеспечивалось полное насыщение α_2 -МГ ферментом. Избыток трипсина инактивировал соевым ингибитором, который полностьюнейтрализовал свободный трипсин и не действовал на фермент, связанный с α_2 -МГ. При расщеплении БАПНА трипсином образовывался окрашенный в желтый цвет n-нитроанилин, количество которого определяли спектрофотометрически при длине волн 383 нм.

Таблица 1. Содержание α_2 -макроглобулина сыворотки крови облученных мышей

Исследуемый показатель	Интактные животные	Через 4 сут после облучения				Облучение и экстракт мышечной ткани	Через	
		Облучение	Облучение и спленин	Облучение и экстракт тимуса	Облучение и спленин		Облучение и спленин	Облучение и спленин
α_2 -Макроглобулин, г/л	1,68±0,01	3,75±0,07 $P_1 < 0,001$	4,8±4,1 $P_1 < 0,001$ $P_2 < 0,001$	1,58±0,02 $P_1 < 0,02$ $P_2 > 0,5$	2,32±0,42 $P_1 < 0,001$ $P_2 > 0,5$	2,89±0,04 $P_1 < 0,001$	6,89±1,80 $P_1 < 0,001$ $P_2 < 0,001$	
Общий белок, г/л	0,07±0,01	0,69±0,003 $P_1 < 0,001$	0,66±0,01 $P_1 > 0,1$ $P_2 > 0,5$	0,63±0,01 $P_1 < 0,001$ $P_2 > 0,5$	0,66±0,02 $P_1 < 0,001$ $P_2 > 0,5$	0,53±0,03 $P_1 < 0,001$ $P_2 > 0,5$	0,78±0,01 $P_1 > 0,5$ $P_2 > 0,1$	
α_2 -Макроглобулин, % общего белка сыворотки	2,2	5,8	7,0	3,4	3,4	5,3	11,4	

Примечание: P_1 — критерий достоверности различий значений показателей по сравнению с таковыми контрольной группы;

Следующую серию исследований (0,24 Кл/кг) проводили с помехой фокусное расстояние 40 см. В 190 кВ. Животные были разделяны до облучения мышам внутрибрюшинного расчета на животное) соответственно.

Результаты и их обсуждение

Установлено, что у облучаемо повышалось в первые сутки, не достигая исходного значения этого показателя, таинской реакцией в ответ на облучение ферментов после облучения обусловлено тем, что, я повышенному фибринолизу спленина во все исследование содержания α_2 -МГ появляется (табл. 1). Фактор, молабилен, так как после облучения теряет свои свойства. Всё все исследуемые сроки показателя или не изменяются, которые после облучения (табл. 1). Это свидетельствует о том, что терапевтический и обуславливает основное место образования спленина, вероятно, обуславливает функциональную активность белковых молекул [1].

Таким образом, все различные протеолитические щитовые функции при облучении.

При изучении радиозащитных свойств имеющих различную химию на смертности контрольной летальной дозы, указана облучения; большая доля же на 7-е сутки, а к 9-му часу лась 100 %-ная смертность.

при введении спленина, экстракта тимуса

Облучение	Через	
	Облучение и спленин	Облучение и спленин
Облучение	Облучение и спленин	Облучение и спленин
Облучение и спленин	Облучение и спленин	Облучение и спленин
Облучение и спленин	Облучение и спленин	Облучение и спленин

препарат спленин, полученный обладает широким терапевтическим действием, что одним из механизмов этого эффекта, является влияние на организм. Учитывая, что при облучении, в настоящем α_2 -МГ в механизме этого на химическая природа гуанинов радиопротекторными являются и высоко-, и низкомолекулярные органические соединения [5, 7].

Сравнительное изучение различных селезенки — спленина (сопоставление количества пептиков (БЭС), его пептидной цепи, а также фосфолипид-

ацетоном, фосфолипидную — вытяжки, отделяя нейтральные липи-

ны обоего пола массой 25—30 г, аппарата РУМ-3 при напряжении 0,24 кВ/кг, фокусное расстояние 40 см (интенсивность была разделена на 10 групп). Группы после облучения внутрибрюшинно вводили спленин, отклик кровь определяли содержание водорода по методу, в основе которого N-бензоил-Д α -аргинин-*n*-нитротрипсина из бобов сои [4]. При этом в избытке по отношению ко всему было насыщено α_2 -МГ ферментом, который полностью разрушался, связанный с α_2 -МГ. Крахмальный в желтый цвет *n*-нитротриптически при длине волны

Следующую серию исследований осуществляли на 216 белых мышах. Облучение (0,24 кВ/кг) проводили с помощью аппарата РУМ-13, фильтры 0,5 мм СИ+1,0 мм А1, фокусное расстояние 40 см. Время экспозиции 12 мин, сила тока 15 мА, напряжение 190 кВ. Животные были разделены на 9 групп по 24 животных в каждой. За 30 мин до облучения мышам внутрибрюшинно вводили изучаемые препараты (по 0,25 мл из расчета на животное) соответственно группам животных.

Результаты и их обсуждение

Установлено, что у облученных животных содержание α_2 -МГ значительно повышалось в первые 4 сут после облучения и снижалось к 10-м суткам, не достигая исходного значения. Начальное повышение значения этого показателя, вероятно, является компенсаторной антипротеазной реакцией в ответ на повышение активности протеолитических ферментов после облучения. Последующее снижение, по-видимому, обусловлено тем, что, являясь антиплазмином, α_2 -МГ нейтрализует повышенную фибринолитическую активность крови. При введении спленина во все исследуемые сроки наблюдалось достоверное повышение содержания α_2 -МГ по сравнению с таковым у облученных животных (табл. 1). Фактор, обуславливающий наблюдаемый эффект, термолабилен, так как после кипячения спленина в течение 60 мин он теряет свои свойства. Введение экстракта тимуса и мышечной ткани во все исследуемые сроки вызывало снижение значения исследуемого показателя или не изменяло его по сравнению с таковым животных, которые после облучения не получали указанных препаратов (см. табл. 1). Это свидетельствует о том, что в селезенке, вероятно, вырабатывается термолабильное вещество, стимулирующее биосинтез α_2 -МГ, который и обуславливает радиопротекторный эффект. Учитывая, что основное место образования α_2 -МГ — печень, наблюдаемый эффект спленина, вероятно, обусловлен его непосредственным влиянием на функциональную активность этого органа и, в частности, на биосинтез белковых молекул [1].

Таким образом, вследствие широкой специфичности в отношении различных протеолитических ферментов α_2 -МГ может выполнять защитные функции при облучении.

При изучении радиопротекторных свойств факторов селезенки, имеющих различную химическую природу, отмечено, что первая волна смертности контрольных животных при использовании минимальной летальной дозы, указанной выше, наблюдалась на 5-е сутки после облучения; большая доля павших животных этой группы отмечена также на 7-е сутки, а к 9-м суткам после облучения в контроле отмечалась 100 %-ная смертность.

Таблица 1 Содержание α_2 -МГ в тканях

Через 4 сут после облучения

Облучение спленин	Облучение и экстракт тимуса	Облучение и экстракт мышечной ткани
8±4,1 <0,001	1,58±0,02 $P_1 < 0,02$	2,32±0,42 $P_1 < 0,001$
6±0,01 >0,1	0,63±0,01 $P_1 < 0,001$	0,66±0,02 $P_1 < 0,001$
>0,5	$P_2 > 0,5$	
7,0	3,4	3,4

личных значений показателей по сравнению с таковыми контрольной группы; P_1 — то же с группой после облучения.

С учетом сказанного, в табл. 2 приведены результаты изучения выживаемости мышей на 5-е, 7-е и 9-е сутки после облучения, свидетельствующие о том, что спленин и БЭС в испытанных концентрациях почти вдвое увеличивают выживаемость животных на 5-е сутки после облучения. Наиболее выраженный эффект спленина и БЭС в разведении 1:10 (по сравнению с контролем) наблюдался на 7-е сутки. Создается впечатление, что большее разведение БЭС (1:20) усиливает радиопротекторные свойства препарата. Отдельные особи экспериментальных групп животных, получавших спленин или БЭС, сохраняли жизнеспособность до 20—25 сут наблюдения, в то время как в контрольной облученной группе все животные к 9-м суткам гибли.

Таблица 2. Влияние препаратов селезенки на выживаемость мышей после облучения минимальной летальной дозой

Группа животных	Число животных	Выживаемость, %		
		5-е сутки	7-е сутки	9-е сутки
Необлученные животные	20	100	100	100
Облученные животные:				
без введения каких-либо препаратов (контроль)	20	35	10	0
при введении спленина (1:10)	20	60	30	20
при введении безбелкового экстракта селезенки — БЭС (1:10)	25	60	30	10
при введении БЭС (1:20)	25	59	41	17,5
при введении фракции БЭС-1	18	64,7	52,9	41,1
при введении фракции БЭС-2	18	70,5	30	11,5
при введении фракции БЭС-3	18	94,1	76,5	52,9
при введении фосфолипидной фракции	26	45,4	18,1	13,6
при введении масла (контроль)	26	77,2	45,5	45,5

В связи с тем, что БЭС является многокомпонентным препаратом, содержит различные по своей природе вещества, решено было разделить его на фракции [6] и попытаться установить, с какой из выделенных фракций связаны его радиопротекторные свойства. Из табл. 2 видно, что 3-я фракция БЭС, содержащая преимущественно низкомолекулярные амины, обладает наиболее выраженными радиозащитными свойствами, превышающими по своей силе любое из испытанных разведений цельного экстракта. Достаточно высокая выживаемость мышей после облучения отмечена и при предварительном внутрибрюшинном введении 1-й фракции БЭС. Вторая фракция, судя по полученным результатам, способствует выживаемости в основном на 5-е сутки после облучения. Выделенная из белкового экстракта селезенки фосфолипидная фракция, разведенная кукурузным маслом в соотношении 1:10, также проявила радиопротекторные свойства. Однако при сравнении этих результатов с результатами, полученными в группе мышей, которым вводили чистое кукурузное масло в том же объеме, оказалось, что этот эффект обусловлен, по-видимому, защитным свойством самого масла.

Таким образом, результаты исследований показали, что безбелковый экстракт селезенки, так же, как и спленин, обладает радиопротекторным действием, механизм которого, вероятно, опосредован усилением образования α_2 -МГ в печени.

Выводы

1. Спленин и безбелковый экстракт селезенки увеличивают выживаемость животных после облучения минимальной летальной дозой.
2. Большие разведения безбелкового экстракта селезенки (1:20) усиливают радиопротекторные свойства препарата.

3. Спленин и безтекторным свойством в печени.

V. V. Korpachev, L. T. Van

PECULIARITIES OF HUM

It is stated that therapeutic associated with its influence. The results obtained tal resistivity of the organi

Institute of Endocrinology Ministry of Public Health o

СПИСОК ЛИТЕРАТУРЫ

1. Блохина В. Д. Влияние проблемы радиобиологии.
2. Веремеенко К. Н. Прогр 196 с.
3. Веремеенко К. Н., Кизи взаимодействия с проте
4. Веремеенко К. Н., Воло века и его клиническое
5. Гузь В. И., Кореневский нина для лечения и пр ми новообразованиями /
6. Корпачев В. В. Изучение Актуальные проблемы э
7. Мебензон Р. Е., Цевеле ных животных к прот С. 263—268.

Киев. науч.-исслед. ин-т эндокринологии и обмена М-ва здравоохранения УССР

УДК 616.153.36:612.414.015

С. В. Покровская, В. В. Ко

Функциональное с клеток крыс при де активных факторов

Установлено, что в се ных факторов [12, 13] комолекулярных вещес рате спленине [4]. Эк казали, что этот препа скота, оказывает прот которого связан с его же со способностью и ток [3, 8].

Ранее высказывал на высвобождать гиста действии специфическими началами, имею нашей работы — иссле торов селезенки на фу

едены результаты изучения тки после облучения, свидетельствующие о концентрациях животных на 5-е сутки после спленина и БЭС в разведении 1:20, наблюдался на 7-е сутки. Сочетание БЭС (1:20) усиливает гибельные особи эксперимента спленин или БЭС, сохраняя их, в то время как в контро- 9-м суткам гибели.

живаемость мышей после облучения

Выживаемость, %		
5-е сутки	7-е сутки	9-е сутки
100	100	100
35	10	0
60	30	20
60	30	10
59	41	17,5
64,7	52,9	41,1
70,5	30	11,5
94,1	76,5	52,9
45,4	18,1	13,6
77,2	45,5	45,5

окомпонентным препаратом, решено было разделять, с какой из выделяемых свойств. Из табл. 2 преимущественно низкомолекулярными радиозащитными силами любое из испытанных высокая выживаемость мышей в первом внутривенном внутрибрюшном фракции, судя по полученным в основном на 5-е сутки из экстракта селезенки фосфатным маслом в соотношение свойства. Однако при полученных в группе масла в том же объеме, по-видимому, защитным показали, что безбелоковый спленин, обладает радиопротекторной, опосредованной

выживаемость увеличивает выживаемой летальной дозой. Экстракта селезенки (1:20) препарата.

V. V. Korpachev, L. T. Vanyurikhina, S. V. Pokrovskaya, A. V. Orlova

PECULIARITIES OF HUMORAL SPLEEN FACTORS UNDER IRRADIATION

It is stated that therapeutic effect of humoral factors isolated from the cattle spleen is associated with its influence on α_2 -macroglobulin (α_2 -MG) performing a protective function. The results obtained permit recommending the isolated preparations to increase total resistivity of the organism under irradiation.

Institute of Endocrinology and Metabolism,
Ministry of Public Health of the Ukrainian SSR, Kiev

СПИСОК ЛИТЕРАТУРЫ

- Блохина В. Д. Влияние ионизирующего излучения на синтез белка // Современные проблемы радиобиологии. — М.: Атомиздат, 1975. — Т. 4. — С. 106—129.
- Веремеенко К. Н. Протеолиз в норме и при патологии. — Киев: Здоров'я, 1988. — 196 с.
- Веремеенко К. Н., Кизим А. И., Колесник Л. А. α_2 -Макроглобулин и механизм его взаимодействия с протеиназами // Вестн. АМН СССР. — 1984. — № 8. — С. 60—64.
- Веремеенко К. К., Волохонская Л. И. Определение α_2 -МГ в сыворотке крови человека и его клиническое значение // Лаб. дело. — 1969. — № 7. — С. 394—397.
- Гузь В. И., Кореневский Л. Т., Шевченко А. В., Бихерман Н. А. Применение спленина для лечения и профилактики лучевой реакции у больных со злокачественными новообразованиями // Врачеб. дело. — 1962. — № 9. — С. 91—95.
- Корпачев В. В. Изучение биологически активных гуморальных факторов селезенки // Актуальные проблемы эндокринологии. — Фрунзе, 1983. — С. 210—212.
- Мебензон Р. Е., Цевелева И. А. Чувствительность белков костного мозга облученных животных к протеолитическим ферментам // Биохимия. — 1959. — 24, № 2. — С. 263—268.

Киев, науч.-исслед. ин-т эндокринологии и обмена веществ
Материал поступил в редакцию 16.05.89
М-ва здравоохранения УССР

УДК 616.153.36:612.414.015

С. В. Покровская, В. В. Корпачев, В. П. Комиссаренко

Функциональное состояние тучных клеток крыс при действии биологически активных факторов селезенки

Установлено, что в селезенке вырабатывается целый ряд иммунотропных факторов [12, 13]. Относительно подробно изучены свойства низкомолекулярных веществ, которые содержатся в отечественном препарате спленине [4]. Экспериментальные и клинические наблюдения показали, что этот препарат, получаемый из селезенки крупного рогатого скота, оказывает противоаллергический эффект [1, 3, 11], механизм которого связан с его иммуносупрессирующими свойствами [9], а также со способностью изменять функциональное состояние тучных клеток [3, 8].

Ранее высказывалось предположение о том, что свойство спленина высвобождать гистамин и способность тормозить его секрецию при действии специфического либератора обусловлены различными активными началами, имеющимися в ткани селезенки [3, 8]. Поэтому цель нашей работы — исследование влияния биологически активных факторов селезенки на функциональное состояние тучных клеток крыс.

Методика

Опыты проводили на белых крысах-самцах линии Вистар массой 250—300 г. Выделение тучных клеток из брюшной и грудной полостей, построение опытов, приготовление растворов и спектрометрию проводили по методу, описанному Гущиным [2].

Содержание тучных клеток в порции составляло от $15 \cdot 10^6$ до $20 \cdot 10^6$ клеток. Инкубацию клеток проводили без испытуемых препаратов или с ними при температуре 38°C в объеме 200 мкл в течение различного временного интервала. Изучаемые вещества исследовали в различных разведениях и добавляли к инкутируемым клеткам в объеме 20 мкл. Реакцию останавливали добавлением к клеткам охлажденного буфера и перенесением пробирок на лед. После центрифугирования надосадочную жидкость отделяли, к клеткам добавляли бидистиллированную воду и клетки лизировали встряхиванием. Лизаты и надосадочную жидкость использовали для определения гистамина. Измерение проводили на спектрофлюориметре «Hitachi». Исследуемые вещества в используемых концентрациях не влияли на ход определения гистамина. Спонтанное высвобождение гистамина составляло приблизительно 12 %. В экспериментах использовали человеческий сывороточный альбумин (фирма «Reanal», Венгрия), вещества 48/80 (фирма «Sigma», США), спленин (Дарницкий химфармзавод, Киев), безбелковый экстракт селезенки (БЭС) и его фракции, полученные ступенчатым осаждением охлажденным ацетоном в лаборатории экспериментальной фармакотерапии Киевского НИИ эндокринологии и обмена веществ МЗ УССР. Первая фракция БЭС содержала преимущественно амины, вторая — пептиды, третья — олигопептиды и низкомолекулярные вещества. Разведение фракций осуществляли соответственно их содержанию в исходном (маточном) растворе препарата.

Для сопоставимости применяемых дозировок БЭС готовили из расчета получения 1 мл препарата из 40 г сырой ткани, что соответствует технологии производства спленина.

Результаты и их обсуждение

Результаты исследования влияния гуморальных факторов селезенки на тучные клетки в системе *in vitro* представлены на рис. 1, из которого видно, что спленин обладает выраженной способностью вызывать

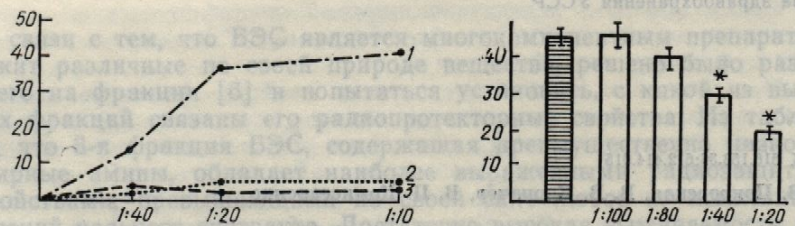


Рис. 1. Влияние гуморальных факторов селезенки на гистаминвысвобождающую активность тучных клеток:

1 — спленин (5 мин инкубации); 2, 3 — безбелковый экстракт селезенки — БЭС (5 и 15 мин инкубации соответственно). По горизонтали — концентрация исследуемых веществ, по вертикали — относительное высвобождение гистамина, %.

Рис. 2. Тормозящее действие безбелкового экстракта селезенки (БЭС) на высвобождение гистамина из тучных клеток при добавлении к ним вещества 48/80 (0,5 мкг/мл). По горизонтали — разведение БЭС, по вертикали — тормозящий эффект БЭС, %. Заштрихованный столбик — вещество 48/80. Звездочка обозначено достоверное ($P < 0,05$) отличие от контроля.

либерацию гистамина, в то время как БЭС не обладает подобным свойством (при экспозиции 5, 15, 30 мин в различных концентрациях). Таким образом, БЭС не обладает гистаминвысвобождающим свойством, что существенно отличает его от спленина.

Вместе с тем у БЭС отмечена выраженная способность тормозить высвобождение гистамина из тучных клеток при добавлении к ним специфического либератора — вещества 48/80. Из представленного на рис. 2 графика следует, что чем больше разведение исследуемого вещества, тем меньше тормозящий эффект. При инкубации тучных клеток в течение 10 мин с препаратом БЭС в разведении 1:100 и 1:80 ингибция высвобождения медиатора практически не наблюдалась при

добавлении в среду вещества 48/80. Следовательно, в этом случае количество высвобождения гистамина не зависит от концентрации БЭС.

Таким образом, при добавлении в среду вещества 48/80 количество высвобождения гистамина не зависит от концентрации БЭС.

Результаты сравниваются с результатами, полученными в работе БЭС представлена на рис. 3.

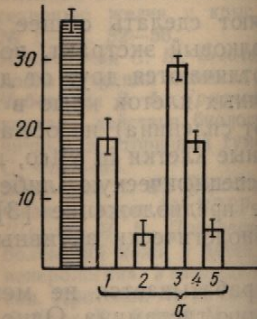


Рис. 3. Влияние спленина (1) на высвобождение гистамина из тучных клеток при добавлении вещества 48/80. По горизонтали — разведение исследуемых веществ, по вертикали — относительное высвобождение гистамина, %. Клетки пренят затем к ним добавляли вещества 48/80.

Рис. 4. Влияние глюкозы на высвобождение гистамина, вызванное исследуемыми веществами. По горизонтали — разведение исследуемых веществ (1:100, 1:80, 1:40, 1:20). По вертикали — относительное высвобождение гистамина (%).

более сильным ингибитором высвобождения гистамина, чем спленин. БЭС в разведении 1:100 не тормозит высвобождение гистамина, а лишь снижает его интенсивность. БЭС в разведении 1:80 тормозит высвобождение гистамина, но не столь сильно, как спленин. БЭС в разведении 1:40 и 1:20 тормозит высвобождение гистамина, но не столь сильно, как спленин. БЭС в разведении 1:100 не тормозит высвобождение гистамина, а лишь снижает его интенсивность. БЭС в разведении 1:80 тормозит высвобождение гистамина, но не столь сильно, как спленин. БЭС в разведении 1:40 и 1:20 тормозит высвобождение гистамина, но не столь сильно, как спленин.

Результаты проведенного исследования показывают, что спленин не обладает тормозящим действием на высвобождение гистамина из тучных клеток при добавлении к ним вещества 48/80. БЭС в разведении 1:100 не тормозит высвобождение гистамина, а лишь снижает его интенсивность. БЭС в разведении 1:80 тормозит высвобождение гистамина, но не столь сильно, как спленин. БЭС в разведении 1:40 и 1:20 тормозит высвобождение гистамина, но не столь сильно, как спленин.

Следующую серию экспериментов было решено провести для выяснения механизма торможения высвобождения гистамина из тучных клеток при добавлении к ним вещества 48/80. Для этого было исследовано действие глюкозы на высвобождение гистамина из тучных клеток при добавлении к ним вещества 48/80. Результаты, полученные в работе БЭС представлена на рис. 3.

Физиол. журн., 1990, т. 36, № 3

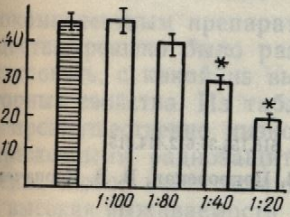
Вистар массой 250—300 г. Выделение, построение опытов, приготовление описанному Гущину [2].

яло от $15 \cdot 10^5$ до $20 \cdot 10^5$ клеток. Интратов или с ними при температуре личного интервала. Изучаемые вещества добавляли к инкубируемым клеткам в виде к клеткам охлажденного буфера утилизации надсадочную жидкость и воду и клетки лизировали встрияльно для определения гистамина. Способ определения гистамина. Способно 12 %. В экспериментах (фирма «Reanal», Венгрия), вещественный химфармзавод, Киев), безбелковые ступенчатым осаждением тальной фармакотерапии Киевского Р. Первая фракция БЭС содержала — олигопептиды и низкомолекулярно соответственно их содержанию в ис-

БЭС готовили из расчета получения

технологии производства спле-

альных факторов селезенки ставлены на рис. 1, из которой способностью вызывать



гистаминвысвобождающую активность селезенки — БЭС (5 и 15 мин инкубации исследуемых веществ, по вертикали — относи-

тельно спленина (БЭС) на высвобождение вещества 48/80 (0,5 мкг/мл). Эффект БЭС, %. Защищенный от контроля ($P < 0,05$) отличие от контроля.

не обладает подобным свойством (личных концентрациях). Тысячесвобождающим свойством, способностью тормозить при добавлении к ним спленина. Из представленного на разведение исследуемого вещества. При инкубации тучных клеток в разведении 1:100 и 1:80 иначе не наблюдалась при

добавлении в среду вещества 48/80 (0,5 мкг/мл), в то время как инкубация клеток с исследуемым веществом в разведении 1:40 и 1:20 снижала количество высвободившегося гистамина на 34,2 и 55,3 %.

Таким образом, при преинкубации БЭС с тучными клетками проявляется дозозависимое ингибиционное действие вещества 48/80.

Результаты сравнительного изучения спленина, БЭС и фракций БЭС представлены на рис. 3, из которого видно, что БЭС обладает

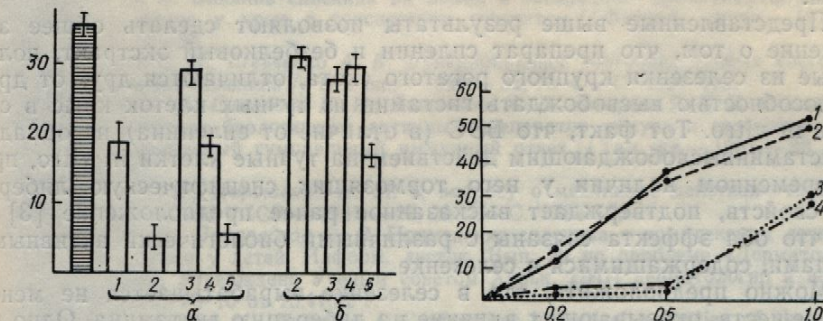


Рис. 3. Влияние спленина (1), безбелкового экстракта селезенки — БЭС (2) и его фракций — БЭС-1, БЭС-2, БЭС-3 (3, 4, 5 соответственно) на либерацию гистамина, вызванную добавлением вещества 48/80 (0,5 мкг/мл, защищенный столбик): а — разведение исследуемых препаратов 1:10, б — 1:50. По вертикали — относительное высвобождение гистамина, %. Клетки преинкубированы без исследуемых веществ или с ними в течение 10 мин, затем к ним добавляли вещество 48/80.

Рис. 4. Влияние глюкозы на торможение безбелковым экстрактом селезенки (БЭС) высвобождение гистамина, вызванного добавлением вещества 48/80:

1 — без глюкозы и БЭС; 2 — без БЭС, но при добавлении глюкозы в концентрации 10 ммоль/л; 3 — при добавлении БЭС в разведении 1:20; 4 — при добавлении БЭС в разведении 1:20 и глюкозы в концентрации 10 ммоль/л. По горизонтали — концентрация вещества 48/80, мкг/мл; по вертикали — относительное высвобождение гистамина, %. Клетки преинкубированы без исследуемых веществ или с ними в течение 10 мин, затем к ним добавляли вещество 48/80.

более сильным ингибиционным действием на либерацию гистамина, вызванную веществом 48/80, чем спленин. Так, спленин в разведении 1:10 снижает указанную либерацию амина на 50%, в то время как БЭС в этой же концентрации — на 80%. Фракция I в исследуемых разведениях (1:50) не проявила существенного тормозящего эффекта на либерацию гистамина веществом 48/80. Вместе с тем фракция III существенно ингибирует активность данного специфического либератора. Причем на графике хорошо видна зависимость этого эффекта от дозы фракции III в инкубационной среде. В разведении 1:10 ингибиционную активность исходного БЭС можно полностью отнести за счет содержания в нем фракции III, поскольку относительное высвобождение амина в обоих случаях при равных условиях инкубации одинаково.

Результаты проведенного эксперимента позволяют также предположить, что обнаруженный ингибиционный эффект фракции II в разведении 1:10 без такового в большом разведении (1:50) связан, по-видимому, с наличием в этой фракции некоторого количества биологически активных веществ, входящих в состав III фракции. Следует обратить внимание на то, что фракция III в 3 раза более активно подавляет высвобождение гистамина, вызванное добавлением вещества 48/80, чем спленин в том же разведении.

Следующую серию экспериментов проводили с целью выяснения механизма торможения высвобождения гистамина из тучных клеток *in vitro* под действием вещества 48/80. Установлено, что добавление в инкубационную среду глюкозы в концентрации 10 ммоль/л не изменяет тормозящее влияние БЭС при использовании различных концентраций вещества 48/80. Торможение происходит однотипно в среде без и с глюкозой (рис. 4). Это свидетельствует о том, что действие БЭС не зависит от вмешательства в энергозависимые этапы секреции гистамина, обеспечиваемые клеточным дыханием. Не исключено, что обнаруженный эффект изучаемого вещества связан со стабилизирующим

его воздействием на клеточную мембрану, как установлено ранее для спленина [7, 10]. Отмечено также, что гистаминвысвобождающая активность спленина при инкубации его с тучными клетками проявляется вдвое слабее, если клетки предварительно преинкубировать в течение 15 мин с БЭС в разведении 1:10. По-видимому, активное начало БЭС действует на клетку таким образом, что она становится рефрактерной к последующему фармакологическому воздействию спленином.

Представленные выше результаты позволяют сделать общее заключение о том, что препарат спленин и безбелковый экстракт, полученные из селезенки крупного рогатого скота, отличаются друг от друга способностью высвобождать гистамин из тучных клеток крыс в системе *in vitro*. Тот факт, что БЭС (в отличие от спленина) не обладает гистаминвысвобождающим действием на тучные клетки *in vitro*, при одновременном наличии у него тормозящих специфическую либерацию свойств, подтверждает высказанное ранее предположение [3] о том, что оба эффекта связаны с различными биологически активными началами, содержащимися в селезенке.

Можно предположить, что в селезенке вырабатывается не менее двух веществ, оказывающих влияние на либерацию гистамина. Одно из них, вероятно, имеет низкую молекулярную массу, содержится преимущественно в спленине и оказывает выраженное влияние на либерацию гистамина из тучных клеток. Другое — преимущественно содержится в III фракции БЭС, не вызывает либерацию гистамина, но препятствует действию вещества 48/80. Поскольку механизм ингибирующего действия на либерацию гистамина у изучаемых препаратов одинаков [3], возможно, этот эффект обусловлен одним и тем же биологически активным фактором, содержащимся в ткани селезенки.

Известно, что высвободившийся из своего депо гистамин вызывает развитие многих патологических процессов [5, 6, 8, 11], в связи с чем очевидна необходимость получения естественных факторов, способствующих их торможению.

Обнаруженные свойства гуморальных факторов селезенки оказывать влияние на продукцию и высвобождение биогенных аминов в какой-то мере объясняют широту их терапевтического действия при различных заболеваниях [1, 4, 5, 11]. Поскольку известно значение селезенки в резистентности организма [14], можно предположить, что выделенные из этого органа биологически активные факторы играют определенную роль в адаптации к различным патологическим воздействиям. По всей вероятности, их можно отнести к резистогенным веществам эндогенного происхождения.

S. V. Pokrovskaya, V. V. Kograchov, V. P. Komissarenko

FUNCTIONAL STATE OF THE RAT MAST CELLS UNDER THE INFLUENCE OF SPLENIC ACTIVE FACTORS

The effects of «splenic protein-free extract» and its fractions as well as splenin on the functional activity of the rat mast cells have been studied. It is established that this extract unlike splenin has no histamine-releasing activity, however it is able to inhibit histamine release from mast cells under the influence of specific liberator — substance 48/80. The found effect is associated with biologically active substances contained in fraction III of splenic protein-free extract.

Institute of Endocrinology and Metabolism,
Ministry of Public Health of the Ukrainian SSR, Kiev

СПИСОК ЛИТЕРАТУРЫ

- Ганджа И. М., Лысенко Г. И., Кишко А. С. и др. Влияние спленина на некоторые показатели иммунитета и липидного обмена у больных системными заболеваниями соединительной ткани и атеросклерозом // Врачеб. дело, 1982. № 8.— С. 14—18.
- Гущин И. С. Действие простагландинов Е и папаверина на анафилактическое высвобождение гистамина из тучных клеток // Патол. физиология эксперим. терапия.— 1977.— № 1.— С. 32—35.
- Гущин И. С., Покровская С. В. Аллергическая реакция // Комиссаренко В. П. Сп. Гос. мед. изд-во УССР, 1964.— 29 с.
- Кореневская Е. И. Мате Л.: Наука, 1964.— 29 с.
- Кричевская Е. И., Капитановых препаратов // Развитие 1967.— С. 136—140.
- Олейник Б. В. Влияние секреции желчи у крысы № 1.— С. 52—56.
- Покровская С. В., Шевченко А. В. Влияние спленина на функции тучных клеток // Покровская С. В., Шевченко А. В. Дорога к здоровью. журн. АН УССР, 1988.— № 10.— С. 496—498.
- Шевченко А. В., Дорога к здоровью. журн. АН УССР, 1988.— № 10.— С. 496—498.
- Шуцкий И. В., Покровская С. В. Болевания кожи у детей // Венерология. Утвержденный Протокол № 10 от 12.05.1988 г. / Шуцкий И. В., Покровская С. В. — Краснодар: Кубанский гос. ун-т, 1988.— 10 с.
- Audhya T., Scheid M., and splenin, two closely related substances from rat spleen // Natl. Acad. Sci. USA. Biol. Med., 1980.— Vol. 77, No. 10.— pp. 5310—5314.
- Nishioka K., Constantine J., and others. Inhibition of phagocytosis — stimulatory factor by splenin // Jpn. J. Immunol., 1980.— Vol. 25, No. 3.— pp. 3110—3114.
- Francis P. Fisiologia и др. Физиология и биохимия эндокринной системы. Учебник для вузов. УДК 612.818.814.618.11.018
- А. А. Сайко
- Влияние прозерина: стероидных гормонов
- Зависимость эндокринной системы от гормонов и гормональных регуляторов // УДК 612.818.814.618.11.018
- В связи с этим гормоном // УДК 612.818.814.618.11.018
- Методика
- В опытах было взято 105 крыс. Каждый опыт по 7 животных: 5-м месяце беременности) сопровождалась гормонами телами и с фолликулами. Всех животных // УДК 612.818.814.618.11.018
- Физиол. журн., 1990, т. 36, № 3

- как установлено ранее для стаминысвобождающая активными клетками проявляется преинкубировать в тет-видимому, активное начало ом, что она становится ре-лическому воздействию спле- зволяют сделать общее за- безбелковый экстракт, полу- та, отличаются друг от дру- з тучных клеток крыс в си- сии от спленина) не облада- тучные клетки *in vitro*, при- чих специфическую либера- ранее предположение [3] о ми биологически активными вырабатывается не менее берацию гистамина. Одно из ю массу, содержится пре-раженное влияние на либе- — преимущественно содер- берацию гистамина, но пре-мьку механизм ингибирую- изучаемых препаратов оди-лен одним и тем же биоло- я в ткани селезенки. его депо гистамин вызывает [5, 6, 8, 11], в связи с чем зенных факторов, способст- факторов селезенки оказы- пие биогенных аминов в ка- ческого действия при раз- бу известно значение селе- жено предположить, что вы- тивные факторы играют оп- патологическим воздейст- ти к резистогенным веществам.
- NDER THE INFLUENCE
- actions as well as splenin on the studied. It is established that this activity, however it is able to inhibit specific liberator — substance active substances contained in
3. Гущин И. С., Покровская С. В., Зебрев А. И. Действие спленина на клетки-мишени аллергической реакции // Иммунология. — 1983. — № 1. — С. 73—75.
 4. Комисаренко В. П. Спленин (его физиологические и лечебные свойства). — Киев : Гос. мед. изд-во УССР, 1961. — 141 с.
 5. Кореневская Е. И. Материалы конф. по вопр. лекарств. терапии в онкол. клинике.— Л. : Наука, 1964.— 29 с.
 6. Кричевская Е. И., Капитонова Г. В. К вопросу о механизме действия антигистаминных препаратов // Развитие и регуляция гистогематических барьеров.— М. : Наука, 1967.— С. 136—140.
 7. Олейник Б. В. Влияние спленина на обмен и экскрецию бромсульфофталеина и секрецию желчи у крыс с токсическим гепатитом // Физиол. журн.— 1978.— 24, № 1.— С. 52—56.
 8. Покровская С. В., Шевченко А. В. Функциональное состояние тучных клеток крыс после инъекции спленина // Там же.— 1986.— 32, № 4.— С. 489—492.
 9. Чеботарев В. Ф., Ермакова Н. И., Антоненко А. В., Валуева Т. К. К вопросу о механизме действия биологически активных препаратов тимуса и селезенки на первичный и вторичный гуморальный иммунный ответ // Там же.— 1982.— 28, № 4.— С. 496—498.
 10. Шевченко А. В., Дорошенко Н. М. К вопросу о механизме действия спленина // Физиол. журн. АН УССР.— 1981.— 27, № 2.— С. 176—179.
 11. Шуцкий И. В., Покровская С. В. Применение спленина в комплексном лечении за- болеваний кожи у детей. Информ. листок. Вып. 29 по проблеме «Дermatologia и венерология». Утверждено Ученым советом Харьк. НИИ дерматологии и венерологии. Протокол № 10 от 10.11.82 г.
 12. Audhya T., Scheid M., Joldstein J. Contrasting biological activities of thymopoietin and splenin, two closely related polypeptide products of thymus and spleen // Proc. Natl. Acad Sci USA. Biol. Sci 1984, 81, N 9.— P. 2847—2849.
 13. Nishioka K., Constantopoulos A., Satoh P. S. et al. Characteristic and isolation of the phagocytosis — stimulating peptide, tuftsin // Biochem. et biophys. acta.— 1973.— 3110.— P. 217—229.
 14. Francis P. Fisiologia della milza // All'archivio di fisiol.— 1961.— N 6.— P. 2—34.

Киев. науч.-исслед. ин-т
эндокринологии и обмена веществ
М-ва здравоохранения УССР

Материал поступил
в редакцию 11.06.89

УДК 612.818.814.618.11.018

А. А. Сайко

Влияние прозерина на содержание стероидных гормонов у коров

Зависимость эндокринных процессов от состояния нервной системы известна. Также известно, что холинергические влияния участвуют в осуществлении трофической функции нервной системы. Доказано, что ацетилхолин выполняет защитно-трофическую функцию [2] и холинергическая передача — необходимое условие трофического влияния моторного нерва на мышцу [4]. В последнее время признается, что положение об участии холинергических влияний в регуляции нервной трофики «создает основу для целенаправленного поиска фармакологических средств, позволяющих проводить коррекцию трофических нарушений при многих патологических состояниях» [1].

В связи с этим возникла необходимость изучения влияния стимуляции холинергических процессов на содержание половых гормонов, имеющее не только теоретическое, но и большое практическое значение.

Методика

В опыт было взято 105 коров. После акушерской диспансеризации подбирали в каждый опыт по 7 животных: по одному на 11—12-е сутки после отела, стельному (на 4,5—5-м месяце беременности), с гипотрофий яичников и по два с персистентными желтыми телами и с фолликулярными кистами яичников. Всего было проведено 15 таких опытов. У всех животных из яремной вены отбирали пробы крови и у одной коровы

раздавливали кисту, а у второй выдущивали желтое тело яичника. После этого всем животным для стимуляции холинергических процессов производили внутримышечную инъекцию 2 мл 0,5 %-ного раствора прозерина. Такие инъекции проводили еще дважды с интервалом в 48 ч, и через 24 ч после последней инъекции повторно отбирали пробы крови, из которых получали плазму, замораживали ее при -20°C и использовали для определения половых гормонов.

Результаты и их обсуждение

Как видно из таблицы, стимуляция холинергических процессов прозерином у животных в послеродовой период приводит к достоверному (в 2 раза) повышению содержания прогестерона (от 5,68 до 10,54 нг/мл) и (в 1,7 раза) эстрадиола (от 11,82 до 20,39 пг/мл). Следует считать, что такое повышение содержания половых гормонов улучшает функцию воспроизведения: при нормальном течении послеродового периода у коров содержание прогестерона и эстрадиола постепенно увеличивается и чем оно выше в послеродовой период, тем больше гарантий оплодотворяемости и образования крупного желтого тела после оплодотворения [5 и др.].

Фармакологическая стимуляция холинергических процессов и у животных с фолликулярными кистами яичников приводила к нормализации содержания половых гормонов. Сравнительно низкое содержание прогестерона (2,92 нг/мл) повышалось в 4,8 раза (до 14,21 нг/мл), а высокое содержание эстрадиола (18,1 пг/мл) снижалось в 2,2 раза (до 8,2 пг/мл), если одновременно раздавливали кисты. В тех случаях, когда инъекции прозерина не сопровождались удалением кист, сдвиги содержания указанных половых гормонов происходили в том же направлении, однако полученные результаты оказывались статистически недостоверными. По-видимому, трехкратных инъекций прозерина при наличии кист было недостаточно, так как в основе патогенеза кист лежит значительное угнетение холинергических процессов [3].

У коров с персистентными желтыми телами яичников повышенное содержание прогестерона достоверно снижалось после инъекций прозерина в сочетании с энуклеацией желтых тел (от 11,3 до 4,8 нг/мл).

Содержание прогестерона и эстрадиола у коров с различным функциональным состоянием до и после стимуляции холинергических процессов

Функциональное состояние яичников	До воздействия прозерином				После воздействия прозерином			
	M	n	t	P	M	n	t	P
Прогестерон, нг/мл								
Наличие фолликулярных кист	2,68	8	1,67	$>0,1$	3,86	8	1,67	$>0,1$
Удаление фолликулярных кист	2,92	6	1,82	$<0,1$	14,21	6	1,82	$<0,1$
Наличие персистентных желтых тел	6,59	7	2,06	$<0,1$	3,16	7	2,06	$<0,1$
Удаление персистентных желтых тел	11,38	10	2,63	$<0,02$	4,82	10	2,63	$<0,02$
Гипотрофия яичников	4,69	11	2,88	$<0,002$	7,29	11	2,88	$<0,002$
Послеродовое состояние	5,68	13	2,09	$<0,05$	10,54	13	2,09	$<0,05$
Эстрадиол, пг/мл								
Наличие фолликулярных кист	16,62	11	1,15	$>0,1$	13,49	11	1,15	$>0,1$
Удаление фолликулярных кист	18,10	6	2,42	$<0,05$	8,20	6	2,42	$<0,05$
Наличие персистентных желтых тел	9,47	8	0,87	$>0,1$	11,39	8	0,87	$>0,1$
Удаление персистентных желтых тел	11,50	9	1,19	$>0,1$	8,13	9	1,19	$>0,1$
Гипотрофия яичников	10,71	8	0,53	$>0,1$	9,74	8	0,53	$>0,1$
Послеродовое состояние	11,82	10	—	—	20,39	—	2,88	$<0,01$

и при их сохранении (содержание прогестерона в яичниках)

Как видно из табл. применения прозерина, содержание прогестерона в яичниках у коров с персистентными желтыми телами яичников осталось на уровне, характерном для яичников с кистами. Поэтому, не возможно, что повторная инъекция прозерина приведет к повышению содержания прогестерона в яичниках.

Таким образом, наложение инъекций прозерина не приводит к повышению содержания прогестерона в яичниках.

A. A. Saiko

EFFECT OF NEOSTIGMINE OF STEROID HORMONES IN COWS

Stimulation of cholinergic processes by neostigmine increases the content of progesterone in the blood plasma of cows during the period of calving. In the case of hyperfunctional ovaries, the content of progesterone in the blood plasma of cows with ovarian cysts is higher than in normal ovaries. The injection of neostigmine increases the content of progesterone in the blood plasma of cows with ovarian cysts. Hence, intensification of cholinergic processes in the ovaries leads to intensification of trophic function of the ovaries. The known trophic function of progesterone is common protective-trophic function of the ovaries. Therefore, the progesterone content in the blood plasma of cows with ovarian cysts is higher than in normal ovaries. The known protective-trophic function of progesterone is common protective-trophic function of the ovaries. Therefore, the progesterone content in the blood plasma of cows with ovarian cysts is higher than in normal ovaries.

Ukrainian Research Institute of Veterinary Medicine, V. I. Lenin Avenue, Khar-

СПИСОК ЛИТЕРАТУРЫ

- Голиков С. Н., Долго-Сабадаш А. А. Регуляция биохимических процессов в яичниках коров // Ветеринария. — 1988. № 1. — С. 10—13.
- Сайко А. А. О защите и трофии яичников // Ветеринария. — 1988. № 1. — С. 10—13.
- Сайко А. А. Нейрогенная регуляция яичников // Ветеринария. — 1988. № 1. — С. 81—87.
- Drachman D. B. The role of cholinergic transmission in the regulation of the reproductive system in the cow // N. Y. Sci. — 1974. — 228. — P. 103—108.
- Smith M. F. Recent advances in the biology of the bovine ovary // N. Y. Sci. — 1989. — P. 911—926.

Укр. науч.-исслед. ин-т экспериментальной ветеринарной медицины им. академика Н. И. Вавилова. — Курск. — 1988. — 128 с. — УДК 616.122—005.8

Влияние вегетативных факторов на устойчивость желтых тел

В решении вопросов, связанных с устойчивостью желтых тел, большое значение имеет роль вегетативной регуляции. Жизни аритмий, в том числе и желтых тел, известно, что фибрillation

гое тело яичника. После этого всем сссор производили внутримышечную инъекцию проводили еще дважды инъекции повторно отбирали прозрачную ее при -20°C и использовали

инергических процессов приводит к достоверному гестерона (от 5,68 до 10,54 82 до 20,39 пг/мл). Следует отметить, что в половом периоде улучшении течении послеродового и эстрadiола постепенно оровой период, тем большения крупного желтого тела

гических процессов и у животных приводила к нормализации низкое содержание, 8 раза (до 14,21 нг/мл), а /мл) снижалось в 2,2 раза плавали кисты. В тех случаях, когда удалением кист, сдвигов происходили в том же самом месте, оказывались статистически значимые изменения в содержании гестерона как в основе патогенеза гормонов [3]. Уровни яичников повышенное было после инъекций прогестерона (от 11,3 до 4,8 нг/мл)

различным функциональным процессам

После воздействия прозерином			
M	p	t	P
3,86	8	1,67	$>0,1$
14,21	6	1,82	$<0,1$
3,16	7	2,06	$<0,1$
4,82	10	2,63	$<0,02$
7,29	11	2,88	$<0,002$
10,54	13	2,09	$<0,05$
13,49	11	1,15	$>0,1$
8,20	6	2,42	$<0,05$
11,39	8	0,87	$>0,1$
8,13	9	1,19	$>0,1$
9,74	8	0,53	$>0,1$
20,39	2,88		$<0,01$

и при их сохранении (от 6,59 до 3,16 нг/мл). При гипотрофии яичников содержание прогестерона повышалось от 4,69 до 7,29 нг/мл.

Как видно из таблицы, изменения содержания эстрadiола после применения прозерина у коров с гипотрофией, с персистентным желтым телом яичников оказались статистически недостоверными. Возможно, что повторные пробы крови были взяты слишком рано — на 2-е сутки после третьей инъекции прозерина.

Таким образом, наиболее существенное действие стимуляции холинергических процессов проявляется в нормализации содержания прогестерона.

A. A. Saiko

EFFECT OF NEOSTIGMINE METHYLSULFATE ON THE CONTENT OF STEROID HORMONES IN COWS

Stimulation of cholinergic processes by neostigmine methylsulfate results in a reliable increase of the progesterone and estradiol content in blood of cows 11–15 days after calving. In the case of hypertrophy of ovaries increase of the progesterone content is not followed by an increase of estradiol content that, apparently, decreases the content of luteohormones. In animals with high content of progesterone with persistent yellow body of ovaries the injection of neostigmine methylsulfate decreases the content of this hormone and with follicular cysts of ovaries the low content of progesterone increases. Hence, intensification of cholinergic processes normalizes the content of sexual hormones. The known trophic function of progesterone appears to be one of the manifestations of common protective-trophic function of the nervous system performed by the cholinergic processes. Therefore, the progesterone effect can be regarded as a starting one in the neurotrophic regulation of sexual hormones.

Ukrainian Research Institute of Experimental Veterinary Medicine, V. I. Lenin All-Union Academy of Agricultural Sciences, Kharkov

СПИСОК ЛИТЕРАТУРЫ

- Голиков С. Н., Долго-Сабуров В. Д., Елаев Н. Р., Кулешов В. И. Холинергическая регуляция биохимических систем клетки. — М.: Медицина, 1985. — С. 220.
- Сайко А. О защите-трофической роли ацетилхолина: Автореф. дис ... д-ра биол. наук.— Харьков, 1973.— 28 с.
- Сайко А. А. Нейрогенная природа кист яичников у коров // Физиол. журн.— 1987.— 33, № 1.— С. 81—87.
- Drachman D. B. The role of acetylcholine as a neurotrophic transmitter // Ann. N. Y. Sci.— 1974.— 228.— P. 160—175.
- Smith M. F. Recent advances in corpus luteum physiology // J. Dairy Sci.— 1986.— 69, N 3.— P. 911—926.

Укр. науч.-исслед. ин-т экспериментальной ветеринарии ВАСХНИЛ, Харьков

Материал поступил в редакцию 23.01.89

Влияние вегетативной нервной системы на устойчивость желудочков сердца к фибрилляции

В решении вопросов, связанных с возникновением внезапной смерти, значительное место занимают исследования, направленные на выяснение роли вегетативной нервной системы в патогенезе опасных для жизни аритмий, в том числе и фибрилляции желудочков [1, 8]. Общеизвестно, что фибрилляция желудочков является наиболее частой при-

чиной внезапной смерти, а ее возникновению нередко предшествуют стрессовые ситуации [6, 7].

Отечественными и зарубежными авторами изучен целый ряд предпосылок, способствующих возникновению этого грозного осложнения [2, 4, 11]. В то же время значение влияния вегетативной нервной системы на возбудимость клеток миокарда и на устойчивость желудочков сердца к фибрилляции постоянно подвергается переоценке [10, 12].

В настоящей работе мы поставили перед собой задачу более детально изучить влияние различных отделов вегетативной нервной системы на устойчивость желудочек сердца к развитию их фибрилляции.

Методика

Количественная оценка влияния различных отделов вегетативной нервной системы на возбудимость желудочек сердца проводилась в опытах на 50 кошках обоего пола массой 2,2—4,8 кг под нембуталовым наркозом (40 мг/кг внутривенно) в условиях искусственной вентиляции легких атмосферным воздухом. Количественным показателем возбудимости желудочек сердца был выбран порог их фибрилляции, который определяли с помощью специального стимулятора, дающего возможность наносить тестирующий прямоугольный импульс длительностью 100 мс [9] в строго определенную фазу (наиболее уязвимую) сердечного цикла. Стимуляцию производили платиновым электродом, который вживляли в верхушку сердца. Порог фибрилляции определяли каждые 5 мин до и после электрофизиологических воздействий на различные отделы вегетативной нервной системы. Минимальное значение амплитуды стимулирующего импульса составляло 2 мА. Дефибрилляцию производили с помощью дефибриллятора ИД-66 при напряжении от 2,5 до 4 кВт.

Фибрилляцию желудочек сердца кошек воспроизводили максимально высокой перевязкой передней писходящей ветви левой коронарной артерии (40 животных), а затем осуществляли ее реперфузию (40 животных). Стимуляцию дистальных участков симпатических стволов и блуждающих нервов после их перерезки проводили с помощью стимулятора ЭСЛ-2 платиновыми биполярными электродами. Для раздражения использовали прямоугольные импульсы длительностью 5 мс и амплитудой 5—7 В при частоте стимуляции 20 Гц в течение одной минуты [3]. Амплитуду стимулирующих импульсов подбирали таким образом, чтобы при избирательном раздражении симпатических стволов наблюдалось учащение сердечного ритма на 50 % исходной частоты [4]. Обработку полученных результатов производили с помощью методов вариационной статистики с использованием критерия t Стьюдента.

Результаты и их обсуждение

Как показал анализ полученных результатов, порог фибрилляции желудочек снижался на 32 % исходного значения порога ($P < 0,02$) уже в течение первых 10 мин после перегрузки блуждающего нерва. Стимуляция блуждающих нервов оказывала обратный эффект и приводила к повышению порога на 113 %; ($P < 0,001$). Необходимо отметить, что после перерезки вагуса наблюдалось умеренное учащение ритма сердечных сокращений (на 15—22 %), а при его стимуляции — резкое замедление ритма с кратковременной остановкой сердца во время стимуляции и последующим учащением (выше исходного значения в период последействия). Такое учащение ритма в обоих случаях можно объяснить повышением тонуса симпатического отдела вегетативной нервной системы.

Эффекты снижения или повышения порога фибрилляции желудочек развивались независимо от исходной частоты сердечного ритма. В опытах с перерезкой симпатических стволов порог фибрилляции повышался на 34 % ($P < 0,05$), а стимуляция их сопровождалась нарастанием частоты сердечных сокращений в среднем на 54 % исходной. На этом фоне порог фибрилляции снижался на 37 % ($P < 0,02$).

Для того, чтобы получить данные, характеризующие исходный тонус симпатического и парасимпатического отделов вегетативной нерв-

ной системы и оценки, порог фибрилляции нервации. Установлены средней глубины претерпевшими отделов и фибрилляции были. Такой результат позволяет, вызываемые стимулами, блуждающих нервов.

Качественная оценка устойчивость желудочек в сериях опытов. В первом опыте перевязка передней ветви коронарной артерии в контроле в блуждающих нервов. Во втором опыте коронарной артерии, зию. Реперфузия кордом сложных нарушений фибрилляцию желудочек.

В опытах обеих нервов наблюдалась в среднем на 10 %, сокращаясь от 35 до 25 нервов, которую приводило снижение числа фибр в связи с влиянием стимуляции ($P < 0,001$), а в случае высокого, фибрилляция.

Прямо противоположной и стимуляции симпатических нервов в коронарной артерии вызывало учащение всех животных, тогда как снижение фибрилляции не было выявлено достоверно. Их стимуляция сопровождалась.

Таким образом, при заключению, что мы во многом определяем повышение нервной системы вегетативной, тогда как появляется развитие фиброза при профилактике в коронарной недостаточности.

A. A. Stolyarchuk, S. A. V. INFLUENCE OF VEGETATIVE NERVOUS SYSTEM ON THE STABILITY OF HEART VENTRICLES

Effects of vagus stimulation in cats have been shown to increase the threshold of heart ventricles to fibrillation. The threshold of heart ventricles to fibrillation was increased by 34% ($P < 0.05$), while stimulation of sympathetic nerves caused an increase in heart rate by 54% above the initial level. In this case, the threshold of fibrillation decreased by 37% ($P < 0.02$).

N. I. Pirogov Medical Institute of Health of the Ukrainian SSR

вению нередко предшествуют

рами изучен целый ряд пред-
о этого грозного осложнения
ния вегетативной нервной си-
и на устойчивость желудоч-
вергается переоценке [10, 12].
перед собой задачу более де-
делов вегетативной нервной
ща к развитию их фибрилля-

в вегетативной нервной системе на
ых на 50 кошках обоего пола мас-
мг/кг внутрибрюшинно) в условиях
оздухом. Количественным показателем
порог их фибрилляции, который оп-
ющего возможность наносить тести-
мс [9] в строго определенную фазу
ию производили платиновым элек-
тродом фибрилляции определяли каж-
действий на различные отделы веге-
тативной системы стимулирующего импульс
с помощью дефибриллятора ИД-66

производили максимально высокой
артерии (40 животных), а за-
стимуляцию дистальных участков
их перерезки проводили с помощью
электродами. Для раздражения ис-
о 5 мс и амплитудой 5—7 В при
[3]. Амплитуду стимулирующих им-
пульсов раздражения симпатиче-
ма на 50 % исходной частоты [4].
помощью методов вариационной

тров, порог фибрилляции же-
чения порога ($P < 0,02$) уже
и блуждающего нерва. Сти-
обратный эффект и приво-
 $< 0,001$). Необходимо отме-
далось умеренное учащение
, а при его стимуляции —
остановкой сердца во време-
(выше исходного значения
ритма в обоих случаях мож-
ческого отдела вегетативной

порога фибрилляции желудоч-
частоты сердечного ритма. В
лов порог фибрилляции по-
их сопровождалась нараста-
нием на 54 % исходной. На
а 37 % ($P < 0,02$).
актеризующие исходный то-
отделов вегетативной нерв-

ной системы и оценить его влияние на порог фибрилляции желудоч-
ков, порог фибрилляции определяли до и после вагосимпатической де-
нервации. Установлено, что у животных под нембуталовым наркозом
средней глубины преобладание тонуса симпатического или парасимпа-
тического отделов нервной системы не выявлено. Изменения порога
фибрилляции были статистически недостоверными и составили $\pm 7\%$.
Такой результат позволяет заключить, что наркоз не искажает эффек-
ты, вызываемые стимуляцией и перерезкой симпатических стволов и
блуждающих нервов.

Качественная оценка влияния вегетативной нервной системы на
устойчивость желудочек сердца к фибрилляции определялась в двух
сериях опытов. В первой из них производилась максимально высокая
перевязка передней нисходящей ветви левой коронарной артерии, ко-
торая в контроле в 60 % случаев приводила к спонтанной фибрилляции
желудочек. Во второй серии опытов, спустя 30 мин после окклюзии
коронарной артерии, распускали лигатуру, т. е. производили реперфузию.
Реперфузия коронарной артерии сопровождалась коротким периодом
сложных нарушений ритма, переходящих в 80 % случаях в фи-
брillationю желудочек.

В опытах обеих серий после двусторонней перерезки блуждающих
нервов наблюдалась тенденция к учащению спонтанных фибрилляций в
среднем на 10%, а латентный период такого эффекта достоверно
сокращался от 35 до 27 мин ($P < 0,05$). Стимуляция же блуждающих
нервов, которую производили до перерезки, вызывала достоверное
снижение числа фибрилляций. При реперфузии число фибрилляций под
влиянием стимуляции блуждающих нервов уменьшилось на 50%
($P < 0,001$), а в случаях, когда лигатура была наложена максимально
высоко, фибрилляция не развивалась вообще.

Прямо противоположные результаты получены в опытах с перерезкой и стимуляцией симпатических нервных стволов. Перерезка сим-
патических нервов в опытах с максимально высокой перевязкой коро-
нарной артерии вызывала предупреждение фибрилляции желудочек у
всех животных, тогда как стимуляция симпатических нервов приводи-
ла к учащению фибрилляции на 20% ($P < 0,05$). При реперфузии коро-
нарной артерии на фоне перерезки симпатических нервных стволов
выявлено достоверное урежение фибрилляции на 50% ($P < 0,001$), а
их стимуляция сопровождалась развитием фибрилляции во всех
опытах.

Таким образом, проведенные нами исследования позволяют прийти к заключению, что влияние со стороны вегетативной нервной системы во многом определяют устойчивость сердечной мышцы к фибрилляции. Повышение тонуса парасимпатического отдела вегетативной нервной системы повышает устойчивость желудочек сердца к фибрилляции, тогда как повышение тонуса симпатического отдела способствует развитию фибрилляции желудочек, что необходимо учитывать при профилактике внезапной смерти от фатальных аритмий, вызванных коронарной недостаточностью [3, 5].

A. A. Stolyarchuk, S. A. Vasilyeva, B. G. Storozhuk

INFLUENCE OF VEGETATIVE NERVOUS SYSTEM ON THE RESISTANCE OF HEART VENTRICLES TO FIBRILLATION

Effects of vagus stimulation and cutting on the tolerance of heart ventricles to fibrillation in cats have been studied. The parasympathetic effects increased the tolerance of heart ventricles to fibrillation while sympathetic ones — decreased it.

N. I. Pirogov Medical Institute, Ministry of Public
Health of the Ukrainian SSR, Vinnitsa

СПИСОК ЛИТЕРАТУРЫ

1. Зайтс Д. П., Эльхаррар В., Раффи Р. Электрофизиология внезапной смерти от заболеваний сердца // Внезапная смерть / Под ред. А. М. Вихерта и Б. Лауна.— М.: Медицина, 1980.— С. 126—147.
2. Каверина Н. В., Даринский Н. В., Пидевич И. Н. Симпатический контроль сердца и сосудов // Там же.— М.: Медицина, 1982.— С. 287—301.
3. Лаун Б., Верле Р. Л. Влияние парасимпатической нервной системы на стабильность электрической активности желудочков сердца // Там же.— С. 211—226.
4. Лаун Б. Внезапная смерть.— Проблема современной кардиологии. Сообщение II // Кардиология.— 1980.— № 8.— С. 52—57.
5. Мазур Н. А. Внезапная смерть больных ишемической болезнью сердца.— М.: Медицина, 1986.— 192 с.
6. Меерсон Ф. З. Стress-лимитирующие системы и проблема защиты от аритмий // Кардиология.— 1987.— № 7.— С. 5—12.
7. Меерсон Ф. З., Шабунина Е. В., Белкина Л. М., Пищеникова М. Г. Предупреждение аритмий и фибрилляции сердца при острой ишемии и реперфузии с помощью фактора, вызывающего накопление ГАМК в головном мозге // Там же. № 5.— С. 87—88.
8. Райскина М. Е., Долгов В. В., Векслер В. И. Патофизиологические механизмы возникновения фибрилляции желудочков при инфаркте миокарда // Внезапная смерть / Под ред. А. М. Вихерта и Б. Лауна.— М.: Медицина, 1980.— С. 368—369.
9. Титов В. Н., Шаргородский Б. М. Параллельное изучение порогов фибрилляции и возбуждения желудочков сердца в эксперименте на животных // Кардиология.— 1977.— № 4.— С. 111—116.
10. Tent K. M., Smith E. R., Redwood D. R. Electrical stability of acutely ischemic myocardium. Influence of heart rate and vasal stimulation // Circulation.— 1973.— 47.— P. 291.
11. Skimer J. E. Stress and heart diseases / Eds. R. E. Beamiesh, P. Sinque, N. S. Dholla.— Boston, 1985.— P. 44—59.
12. Zipes D. P., Gilmar R. F., Martins J. B. Automatic nervous system and sudden death // Sudden death / Eds. H. E. Kulbertus, H. J. J. Wellens.— Hague.— Boston,— London : Martinus Nijhoff Publishers, 1980.— P. 156—162.

Винниц. мед. ин-т
М-ва здравоохранения УССР

Материал поступил
в редакцию 08.02.88

УДК 612.17:612.171

В. С. Мархасин, Х. М. Нафиков, В. Я. Изаков, Ф. А. Бляхман

Влияние неоднородности сердечной мышцы на ее механическую функцию

Такие фундаментальные характеристики миокарда, как «сила — скорость», «длина — сила» или «грузозависимое расслабление» изучали, предполагая, что объект исследования состоит из тождественных в механическом смысле функциональных единиц. Это грубое приближение. В реальных условиях механическая функция смежных участков сердечной мышцы может отличаться, например, из-за геометрических особенностей сердца, различных уровней кровоснабжения и нервной активации, асинхронности возбуждения или различного временного хода цикла сокращение — расслабление.

Особое значение неоднородность сердечной мышцы имеет для больного сердца, где она проявляется как разного рода дисфункция миокарда: дискинезия, акинезия, асинхронизмы. Хотя доказано, что неоднородность свойственна и здоровому, и больному сердцу, вклад ее в механическую функцию сердечной мышцы в целом остается неопределенным. Чтобы выяснить этот вклад экспериментально, мы предлагаем использовать идею дуплета, заключающуюся в том, что два фрагмента сердечной ткани соединяются последовательно или параллельно для того, чтобы оценить механические свойства каждого из составляющих дуплет фрагмента ткани, а затем и дуплета в целом. Иными словами, задача заключается в расшифровке физиологического смысла понятия «взаимодействие» и в выяснении ключевого феномена, действующего при объединении двух неоднородных фрагментов ткани сердечной мышцы.

Методика

Выполнено девять экспериментов из правого желудочного сердца лягушки термостатируемое и створом заданного состава, CO_2 (5%). Мышечные пряди сверхпороговыми импульсами 0,2 с⁻¹. Состав применяется изложены ранее [2].

Каждый фрагмент мышцы электромагнитного датчика силы. Для задания был использован сервостабилитатор и формирующая сигналом. Конструктивные особенности в наших ранних публикациях дуплетом, состоящим из равнодействующей сумме напряжений, было введено устройство, число точное суммирование пассивного напряжения мер одновременной регистрации из составляющих его препарата.

Результаты и их обсуждение

На рис. 2 и 3 показано, что из препаратов папирос изображен график защищенный режиме «растяжение» различна для дуплета, а для дуплета. Другими словами, для каждой относительной быстрой мышцы, но не для.

Такое различие особенностей. На рис. 3, а показано, что из мышц, входящих в следуемых пар мышечных мышц в условиях равновесия: точки, соответствующие (p_{rc}) , и значения одной прямой. Сравнение «длина — сила» в дуплетах мышцы не взаимодействует можно было бы для каждой из мышц при взаимодействовали, то должна отличаться (см. рис. 3, а, 3). Такой наклон кривой зависимости от пары мышц этого эффектом, поскольку значение его p_{rc} больше.

Для исследования в дуплете построили из исследуемых пар мышц (1—3 лет) и изоляции. Кромкой малой или средней

Методика

Физиология внезапной смерти от за-
т. А. М. Вихерта и Б. Лауна.—М.:

Н. Симпатический контроль сердца
287—301.

и нервной системы на стабильность
Там же.—С. 211—226.

иной кардиологии. Сообщение II //
еской болезнью сердца.—М.: Меди-

и проблема защиты от аритмий //

Пищникова М. Г. Предупреждение
ми и реперфузии с помощью фак-
ти мозга // Там же. № 5.—С. 87—88.
тофизиологические механизмы воз-
кте миокарда // Внезапная смерть /
ина, 1980.—С. 368—369.

е изучение порогов фибрилляции и
те на животных // Кардиология.—

stability of acutely ischemic myo-
ulation // Circulation.—1973.—47.—

J. Beamish, P. Sinque, N. S. Dhol-

atic nervous system and sudden
J. J. Wellens.—Hague.—Boston,—
—162.

Материал поступил
в редакцию 08.02.88г

Бляхман

мышцы

миокарда, как «сила — ско-
юе расслабление» изучали,
оит из тождественных в ме-
ц. Это грубое приближение.
я смежных участков сердец-
з-за геометрических особен-
абжения и нервной активи-
чного временного хода цик-

ечной мышцы имеет для
разного рода дисфункция-
и. Хотя доказано, что
и больному сердцу, вклад
лы в целом остается неоп-
кспериментально, мы пред-
чающуюся в том, что два
следовательно или парал-
ские свойства каждого из
затем и дуплета в целом.
шировке физиологическо-
ыяснении ключевого фено-
неоднородных фрагментов

Выполнено девять экспериментов на парах изолированных папиллярных мышц, выделенных из правого желудочка сердца кролика. Препараты мышц длиной 3—5 мм и площадью поперечного сечения не более 0,5 мм^2 помещали в расположенные параллельно термостатируемые изолированные камеры, перфузируемые физиологическим раствором заданного состава, насыщенным газовой смесью, состоящей из O_2 (95 %) и CO_2 (5 %). Мышечные препараты стимулировали через массивные платиновые электроды сверхпороговыми импульсами постоянного тока длительностью 5 мс, частотой 0,2 с⁻¹. Состав применяемых растворов, а также детали отбора препаратов подробно изложены ранее [2].

Каждый фрагмент мышечного дуплета одним концом жестко крепили к рычагу электромагнитного задатчика механических деформаций, другим — к соответствующему датчику силы. Для задания мышцам физиологической последовательности нагрузок была использована сервосистема, контролирующая параметры сокращений препаратов и формирующая сигналы обратной связи, необходимые для управления их деятельностью. Конструктивные особенности устройства для реализации физиологического режима нагрузок, а также теоретическое обоснование данного метода были представлены в наших ранних публикациях [1, 3]. Поскольку механическое напряжение, развиваемое дуплетом, состоящим из двух параллельно расположенных мышц, равно алгебраической сумме напряжений каждой из его составляющих, в общую схему сервосистемы было введено устройство прецизионного сложения сил. Его использование обеспечило точное суммирование усилий каждой из мышц без учета постоянной составляющей пассивного напряжения и температурного дрейфа нуля датчиков напряжения. Пример одновременной регистрации механической активности дуплета в целом и каждого из составляющих его препаратов мышц показан на рис. 1.

Результаты и их обсуждение

На рис. 2 и 3 показаны основные механические характеристики каждого из препаратов папиллярных мышц и их дуплета в целом. На рис. 2 изображен график зависимости «сила — скорость», полученной в физиологическом режиме нагрузки. Видно, что зависимость «сила — скорость» различна для каждого из препаратов мышц, входящих в состав дуплета, а для дуплета в целом занимает промежуточное положение. Другими словами, максимальная скорость укорочения дуплета при каждой относительной нагрузке (P/P_0) меньше скорости укорочения быстрой мышцы, но больше скорости укорочения медленной мышцы. Такое различие особенно выражено для малых значений P/P_0 .

На рис. 3, а показана зависимость «длина — сила» для каждой из мышц, входящих в дуплет, и дуплета в целом одной из девяти исследуемых пар мышечных препаратов. Видно, что для обеих папиллярных мышц в условиях изоляции зависимость «длина — сила» одинакова: точки, соответствующие значениям конечносистолического напряжения (r_{kc}), и значениям конечносистолической длины (L_{kc}) лежат на одной прямой. Сравним, изменился ли наклон кривой зависимости «длина — сила» в дуплете при объединении мышц в дуплет. Если бы мышцы не взаимодействовали, зависимость «длина — сила» для дуплета можно было бы получить простым суммированием значений r_{kc} каждой из мышц при каждом данном значении ΔL . Если же мышцы взаимодействовали, то реальная зависимость «длина — сила» дуплета должна отличаться от полученной простым суммированием (см. рис. 3, а, 3). Таким образом, объединение мышц в дуплет меняет наклон кривой зависимости «длина — сила», причем в данной характерной паре мышц это объединение обладает положительным инотропным эффектом, поскольку при каждом значении ΔL реального дуплета значение его r_{kc} больше расчетного.

Для исследования природы взаимодействия папиллярных мышц в дуплете построили график зависимости «длина — сила» для каждой из исследуемых пар мышц при их сокращении в условиях связи (дуплет) и изоляции. Кроме того, построили кривые зависимости максимальной или средней скорости укорочения мышцы до определенного

значения L_{sc} при сокращении мышц в дуплете и изоляции (таблица). Нашли, что для медленной мышцы при ее сокращении в условиях изоляции ни максимальная, ни средняя скорость укорочения до любого определенного значения L_{sc} не отличается от зарегистрированной в условиях дуплета (см. таблицу). Соответственно не отличались в этих условиях и ее кривые зависимости «длина — си-

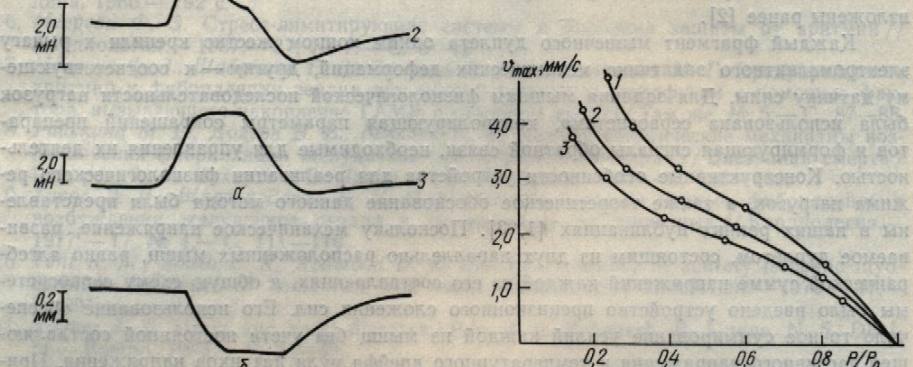


Рис. 1. Запись механического напряжения (a), развиваемого синхронно сокращающимися папиллярными мышцами правого желудочка сердца кролика (1 — первый препарат; 2 — второй препарат; 3 — дуплет), параллельно соединенных препаратов и длины (δ) дуплета в период сокращения (физиологический режим сокращения; отклонение кривой вниз соответствует укорочению мышцы).

Рис. 2. График зависимости «сила — скорость» для двух (1, 3) папиллярных мышц правого желудочка сердца кролика и их параллельно соединенного дуплета (2). По оси абсцисс — условная нагрузка, выраженная отношением силы (P), при которой скорость укорочения препарата максимальна (v_{max} отложена по оси ординат), к силе (P_0), характеризующей максимальное изометрическое напряжение при $L = L_{\text{max}}$.

ла». Для быстрой мышцы при ее включении в дуплет и максимальная, и средняя скорость ее укорочения до любого определенного значения L_{sc} заметно снижалась особенно при малых значениях нагрузки

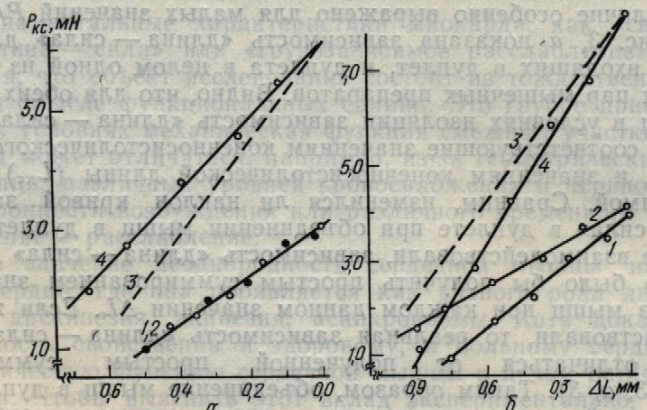


Рис. 3. Графики зависимости «длина — сила» для двух (a и б) исследуемых пар папиллярных мышц правого желудочка сердца кролика, полученные экспериментально (1, 2 — для каждой мышцы в отдельности; 4 — для мышц, объединенных в синхронный параллельный дуплет) и рассчитанные на основании принципа суперпозиции (3 — для изолированно сокращающихся мышц).

(см. таблицу). Кривая зависимости «длина — сила» для этой мышцы в дуплете становилась менее крутыми. Таким образом, положительный инотропный эффект, возникший при объединении данной пары мышц

в дуплет достигался с мышцами, которое у достижения любого сметим, что значение рость» и значение м данного значения L_{sc} ветствуют различные

В другой паре п реальная зависимость расчетной и, следова тельному инотропном висимость «сила — м этой исследуемой парной мышц. Отрицате пары мышц в дуплете сокращающихся

Скорость укорочения мышц в дуплете и в каждой от

Значение L_{sc}	Дуплет мышц	
	Максимальная скорость укорочения	Средняя
0,1	0,81	
0,2	1,73	
0,3	2,31	
0,5	3,2	
0,1	0,92	
0,3	2,6	
0,5	3,89	
0,7	5,1	

Следовательно, сбо к положительному а зависит это от изм дуплете. Если сократ орчения мышцы в у стью в условиях изо фект, при уменьшени

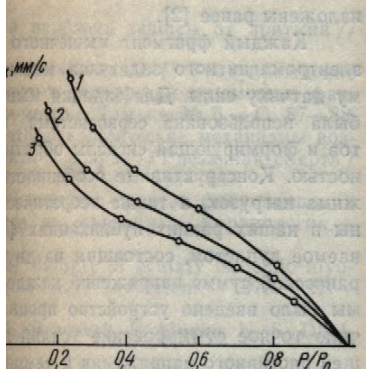
Выводы

1. При объединении том, может быть бо виваемых каждой и словами: принцип су значениях конечно-с ным случаем взаим записано в виде прос

где $\delta p_{1,2}$ характеризу да $\delta p_{1,2}$ равно нулю,

2. Максимальная кривой зависимости укорочения быстрой мышцы, т. е.

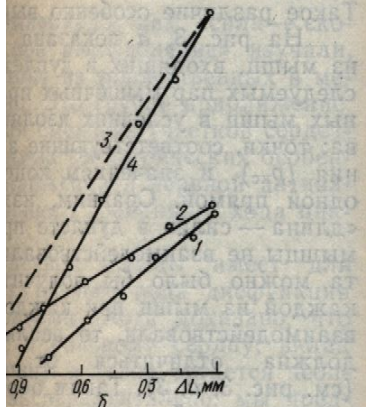
и в дуплете и изоляции мышцы при ее сокращении, ни средняя скорость укорочения до любого определенного значения L_{kc} не отличается от зарегистрированной в условиях дуплета (см. таблицу). Соответственно отличались в этих условиях и ее зависимости «длина — си-



азвиваемого синхронно сокращающейся сердца кролика (1 — первый препаратор соединенных препаратов и длины в режиме сокращения; отклонение

для двух (1, 3) папиллярных мышц, соединенного дуплета (2). По оси силы (P), при которой скорость на оси ординат), в силе (P_0), ходжение при $L = L_{\text{max}}$.

нения в дуплете и максимальная, оба определенного значения малых значениях нагрузки



двух (а и б) исследуемых пар мышц, полученные экспериментально для мышц, объединенных в синхронизированном принципе суперпозиции (3 —

«сила — сила» для этой мышцы таким образом, положительный единений данной пары мышц

в дуплете достигался за счет такого перераспределения нагрузки между мышцами, которое уменьшало и максимальную, и среднюю скорость достижения любого определенного значения L_{kc} быстрой мышцей. Отметим, что значение максимальной скорости на кривой «сила — скорость» и значение максимальной скорости укорочения мышцы до заданного значения L_{kc} не совпадают. Этим значениям скорости соответствуют различные значения P/P_0 .

В другой паре папиллярных мышц (см. рис. 3, б) оказалось, что реальная зависимость «длина — сила» в условиях дуплета лежит ниже расчетной и, следовательно, объединение в дуплете приводит к отрицательному инотропному эффекту. Установлено, что нормированная зависимость «сила — максимальная скорость укорочения» для дуплета этой исследуемой пары лежит между таковой для быстрой и медленной мышц. Отрицательный инотропный эффект при объединении этой пары мышц в дуплете обусловлен увеличением средней скорости укорочения каждой из мышц дуплета по сравнению с этой скоростью в мышцах, сокращающихся в условиях изоляции (см. таблицу).

Скорость укорочения мышцы до фиксированной конечносистолической длины (L_{kc}) в дуплете и в каждой отдельной папиллярной мышце сердца кролика

Значение L_{kc}	Дуплете мышц		Первая мышца дуплета		Вторая мышца дуплета	
	Максимальная скорость укорочения	Средняя скорость укорочения	Максимальная скорость укорочения	Средняя скорость укорочения	Максимальная скорость укорочения	Средняя скорость укорочения
Одна пара мышц (к рис. 3, а)						
0,1	0,81	0,1	0,9	0,83	0,79	0,63
0,2	1,73	1,28	1,92	1,46	1,68	1,16
0,3	2,31	1,8	2,76	1,95	2,13	1,63
0,5	3,2	2,09	4,3	2,85	2,97	1,94
Другая пара мышц (к рис. 3, б)						
0,1	0,92	0,77	0,79	0,61	0,84	0,71
0,3	2,6	1,94	2,43	1,57	2,51	1,69
0,5	3,89	3,04	3,57	2,1	3,66	2,42
0,7	5,1	4,2	4,9	3,24	4,82	3,18

Следовательно, объединение мышц в дуплете может привести либо к положительному, либо к отрицательному инотропному эффекту, а зависит это от изменения длины мышцы во время ее сокращения в дуплете. Если сокращение сопровождается увеличением скорости укорочения мышцы в условиях взаимосвязи по сравнению с этой скоростью в условиях изоляции, возникает отрицательный инотропный эффект, при уменьшении скорости укорочения мышцы — положительный.

Выводы

1. При объединении мышц в дуплете, напряжение, развиваемое дуплетом, может быть больше, равно или меньше суммы напряжений, развиваемых каждой из изолированно сокращающихся мышц. Иными словами: принцип суперпозиции механических напряжений при любых значениях конечно-систолической длины мышцы является лишь частным случаем взаимодействия мышц. Сказанное кратко может быть записано в виде простой математической формулы

$$p_{1,2} = p_1 + p_2 + \delta p_{1,2}, \quad (1)$$

где $\delta p_{1,2}$ характеризует взаимодействие мышц. Только в том случае, когда $\delta p_{1,2}$ равно нулю, соблюдается принцип суперпозиции.

2. Максимальная скорость укорочения в дуплете, полученная по кривой зависимости «сила — скорость», всегда меньше скорости укорочения быстрой мышцы, но больше скорости укорочения медленной, т. е.

$$v_1 > v_{1,2} > v_2. \quad (2)$$

Этот вывод не применим к средней скорости укорочения мышц дуплета и изолированных мышц до любого определенного значения L_{sc} . Средняя скорость укорочения мышц в дуплете может быть выше средней скорости укорочения каждой из мышц, сокращающихся в изоляции (см. рис. 3, б).

3. Объединение двух мышц в дуплет изменяет механические условия их нагрузки, траекторию укорочения мышц и скорости их движения вдоль этой траектории. Это приводит к тому, что в общем случае такие фундаментальные характеристики дуплета, как «сила — скорость», «длина — сила», не могут быть выведены на основании принципа суперпозиции из таких же характеристик изолированно сокращающихся мышц.

4. Ключевой феномен, определяющий знак и значение $\delta p_{1,2}$ в формуле (1), связан с изменением скорости сокращения мышц до любого определенного значения L_{sc} при объединении их в параллельный дуплет. Известно, что возрастание скорости укорочения мышц влечет за собой снижение ее способности к развитию напряжения [4].

V. S. Markhasin, Kh. M. Nafikov, V. Ya. Izakov, F. A. Blyakhman

EFFECT OF THE CARDIAC MUSCLE HETEROGENEITY ON ITS MECHANICAL FUNCTION

The influence of the mechanical heterogeneity on the myocardium contractility was evaluated. The heterogeneity was imitated by parallel connection of two papillary muscles with different mechanical properties. The rate of muscle shortening was controlled by a feed-back from tension of each of the muscles or both muscles simultaneously in the precision ergometer. The «force-velocity» and «length-force» relations were registered for each muscle independently, and in case of parallel connection of two muscles. It was shown that connection of two muscles in parallel influenced significantly the distribution of load in the muscles, maximal and mean velocity of their shortening. It is stated that the key phenomenon controlling the value and the heterogeneity influence sign is mechano-chemical uncoupling (inactivation).

СПИСОК ЛИТЕРАТУРЫ

1. Бляхман Ф. А., Изаков В. Я., Мих А. Д. Метод задания физиологического режима механического нагружения на изолированных полосках миокарда (имитация сердечного цикла) // Физиол. журн. СССР.— 1984.— 70, № 11.— С. 1582—1584.
2. Быков Б. Л., Желамский С. В. Способ отбора препаратов миокарда при исследовании сократимости в физиологических и фармакологических экспериментах // Там же.— 1982.— 68, № 3.— С. 425—428.
3. Изаков В. Я., Бляхман Ф. А., Проценко Ю. Л. Сокращение и расслабление миокарда в режиме физиологической последовательности нагрузок // Там же.— 1988.— 74, № 2.— С. 209—216.
4. Изаков В. Я., Иткин Г. П., Мархасин В. С. и др. Биомеханика сердечной мышцы.— М.: Наука, 1981.— 325 с.

Ин-т физиологии УрО АН СССР, Свердловск. Материал поступил в редакцию 26.03.89
УДК 616.127—005.8—003.9:612—092:/615.357+615.36+615.322

В. Г. Шевчук, А. И. Плиска, О. В. Сергиенко,
М. Н. Рейко, Г. Г. Шеф

Влияние ретаболила, биоседа и стекловидного тела на репаративные процессы в сердце крыс с экспериментальным инфарктом миокарда

Исследованиями последних лет показано положительное действие различных препаратов на воспаление (В) и репарацию (Р) при экспериментальном инфаркте миокарда (ИМ) [2, 3, 7]. Особого внимания заслуживают ретаболил (анаболическое стероидное вещество), био-

сед и стекловидное течения и сокращение подробного морфологии на В и Р, до настоящего

Цель нашей работы на стекловидного тела и

Методика

Опыты проведены на крысах внутрибрюшинным введением ревязкой задней ветви левого желудочка. Выживаемость (80 %) и одинаковой воспроизведения серии исследований: 1-я (12 крыс), 3-я — с введением (12 крыс). Препараты вводили 1 мг/кг, биосед — 0,1 мл/кг,

На 5-е и 12-е сутки проводили в 2 %-ном растворе физиологического раствора возраставшей концентрации логические срезы таким образом, чтобы не было некроза (ЗН), а также захватывали токсилин-эозином и по методике, инициирующей В (полиморфные клетки) и Р (фибробласты и коллагеновые волокна) в ЗН, коллагеновые и эластичные волокна (% от расчета на стандартную единицу).

Результаты и их обсуждение

Проведенные опыты показывают, что ИМ охватывает обширную область левого желудочка. При этом в зоне некроза ванных кардиомиоцитов (до 1900 мкм) в стадии эритроцитами. По периферии некроза и лейкоцитарной инфильтрации находятся 10 кардиомиоцитов (87,5 %), в которых к неповрежденным эпителиоидным клеткам нуляционной ткани (ГТ) числом клеточных элементов формирующегося рубца нескольких клеток, или групп клеток, инициирующих приходившихся на стандартную единицу 140—175 мкм. Красная масса большая зрелость и число волокнистых волокон (на 28,0%; Р < 0,05), морфо-ядерных лейкоцитов (8,3%; Р < 0,05), макрофагов (14,9%; Р < 0,001).

При введении живых сходных с контрольной группой крыс введение стекловидного тела в сердце крыс с экспериментальным инфарктом миокарда приводит к снижению интенсивности воспалительных процессов в зоне некроза и уменьшению количества макрофагов в зоне некроза.

сти укорочения мышц дуплета (деленного значения $L_{\text{кс}}$). Среди может быть выше средней сокращающихся в изоляции

изменяет механические условия мышц и скорости их движений к тому, что в общем случае и дуплета, как «сила — сконцентрировано на основании принципов изолированно сокращаю-

щих и значение $\delta p_{1,2}$ в фиксации мышц до любого сокращения их в параллельный дуплет. Укорочения мышц влечет за это напряжения [4].

Blyakhman
NEITY

е myocardium contractility was evaluated by the connection of two papillary muscles simultaneously in the h-force relations were registered for connection of two muscles. It was influenced significantly the distribution of their shortening. It is stated that the heterogeneity influence sign is

задания физиологического режима мышца миокарда (имитация сердечного ритма). С. 1582—1584. Препараторов миокарда при исследовании экспериментальных / Там же. Сокращение и расслабление миокарда при нагрузках // Там же. 1988.—74, № 11. Биомеханика сердечной мышцы.—

Материал поступил в редакцию 26.03.89

ловидного тела
крыс
миокарда

положительное действие разрепарацию (Р) при эксперименте [2, 3, 7]. Особого внимания стероидное вещество, био-

сед и стекловидное тело (биостимуляторы), вызывающие улучшение течения и сокращение сроков заболевания [1, 5, 6]. Вместе с тем подробного морфологического анализа влияния изучаемых препаратов на В и Р, до настоящего времени нет.

Цель нашей работы — изучение влияния ретаболила, биоседа и стекловидного тела на динамику заживления ИМ в эксперименте.

Методика

Опыты проведены на крысях-самцах линии Вистар массой 300—400 г, наркотизированных внутрибрюшинным введением тиопентала натрия (30 мг/кг). ИМ моделировали перевязкой задней ветви левой коронарной артерии. Простота методики позволяла добиться хорошей выживаемости подвергнутых оперативному вмешательству животных (80 %) и одинаковой воспроизводимости размера и глубины ИМ. Всего проведено четырех серий исследований: 1-я — контрольная (13 крыс), 2-я — с введением ретаболила (12 крыс), 3-я — с введением биоседа (12 крыс), 4-я — с введением стекловидного тела (12 крыс). Препараты вводили подкожно 1 раз в сутки, ежедневно в дозах: ретаболил — 1 мг/кг, биосед — 0,1 мл/кг, стекловидное тело — 0,1 мл/кг.

На 5-е и 12-е сутки после операции крысы забивали, извлекали сердце и фиксировали в 2 %-ном растворе формалина. После фиксации сердце проводили через спирты возрастающей концентрации и заливали в парафиновые блоки. Затем готовили гистологические срезы таким образом, чтобы нож микротома проходил через середину зоны некроза (ЗН), а также захватывал ее краевые участки. Препараты окрашивали гематоксилином-эозином и по методу Ван Гизон. На готовых препаратах подсчитывали клетки, инициирующие В (полиморфно-ядерные лейкоциты, лимфоциты, макрофаги и полиморфные ядерные лейкоциты) и Р (фибробласты и фиброциты), поврежденные и сохраненные кардиомиоциты в ЗН, коллагеновые и эластические волокна; оценивали относительное их содержание (%) из расчета на стандартную площадь.

Результаты и их обсуждение

Проведенные опыты показали, что в контрольной серии на 5-е сутки ИМ охватывал обширную часть латерально-дорсальной области левого желудочка. При этом центральная его часть состояла из некротизированных кардиомиоцитов (около 20 клеток площадью 350 мкм \times 1900 мкм) в стадии резорбции. Этот участок был обильно заполнен эритроцитами. По периферии некроза наблюдалась зона полнокровия и лейкоцитарной инфильтрации, распространяющаяся на глубину 5—10 кардиомиоцитов (87,5—175 мкм). В демаркационной зоне, обращенной к неповрежденному миокарду, встречались полибласты и единичные эпителиоидные клетки. По периферии отмечался рост молодой грануляционной ткани (ГТ) в стадии начального созревания с большим числом клеточных элементов и вновь образованных сосудов. Толщина формирующегося рубца соответствовала толщине мышечного пучка из нескольких клеток, или 35—87,5 мкм. В целом относительное содержание клеток, инициирующих В, составило 81,9 % общего числа клеток, приходившихся на стандартную площадь среза, в то время как фибробластов — только 14 %. К 12-м суткам ИМ некротизированные участки сочетались со сформировавшимися более обширными зонами молодой ГТ, которая распространялась преимущественно субэпикардиально. Образующийся рубец достигал 8—10 мышечных клеток толщиной 140—175 мкм. Кроме того, по сравнению с 5-суточным ИМ, отмечена большая зрелость ГТ, выражаясь увеличением относительного числа волокнистых элементов, эпителиоидных клеток и фибробластов (на 28,0%; $P < 0,001$), уменьшении относительного числа полиморфно-ядерных лейкоцитов (на 16,3%; $P < 0,001$), лимфоцитов (на 8,3%; $P < 0,05$), макрофагов (на 7,5%; $P < 0,01$) и полибластов (на 14,9%; $P < 0,001$).

При введении животным ретаболила на 5-е сутки ИМ наблюдались сходные с контрольной серией изменения. Однако формирующаяся рубцовая ткань распространялась не только субэпикардиально, но

и интрамурально, занимая 1/3 ЗН, в центре которой сохранялись единичные группы некротизированных мышечных клеток. ГТ по периферии выглядит более зрелой, чем в миокарде контрольных животных с такой же продолжительностью ИМ: отмечались группы эпителиоидных клеток, увеличивалось число фибробластов (на 12,2%; $P < 0,02$), выявлялись единичные фиброзиты. Вместе с тем уменьшалось относительное число полиморфно-ядерных лейкоцитов (на 17,1%; $P < 0,001$), лимфоцитов (на 6,1%; $P > 0,2$) и полиблластов (на 6,4%; $P < 0,01$). На 12-е сутки ИМ рубцовая ткань распространялась практически на всю ЗН и была по клеточному составу более зрелой, чем у контрольных животных. Образовавшийся рубец характеризовался увеличением относительного числа фибробластов (на 11,2%; $P < 0,001$) и уменьшением — лимфоидных (лимфоцитов — на 3—5%; $P > 0,5$; макрофагов — на 1,0%, $P > 0,5$) и плазматических (на 3,9%; $P < 0,05$) клеток вплоть до полного исчезновения полиморфно-ядерных лейкоцитов. Повышалась концентрация волокнистых компонентов в глубоких и субэпикардиальных слоях молодой ГТ. По периферии рубца отмечалась значительная гипертрофия кардиомиоцитов.

Применение биоседа на протяжении 5 сут у животных с ИМ сопровождалось изменениями, сходными с таковыми контрольной серии исследований: в центре ЗН около 20 некротизированных кардиомиоцитов находились в стадии резорбции, разрастание молодой ГТ наблюдалось только по периферии ЗН. Относительное содержание клеток, инициирующих В (полиморфно-ядерных лейкоцитов, лимфоцитов, макрофагов и полиблластов), составило 77,5% общего числа клеток, приходившихся на стандартную площадь среза, в контрольной серии — 81,9%. Уменьшение относительного числа фибробластов (на 5,1%; $P < 0,02$) обусловлено, по-видимому, увеличением относительного числа плазматических (на 8,3%; $P < 0,001$) и эпителиоидных (на 2,0%; $P > 0,5$) клеток. При продлении срока применения биоседа до 12 сут наблюдавшиеся изменения занимали промежуточное положение при сравнении их с таковыми двух предыдущих серий исследования. Так, наряду с уменьшением относительного числа клеток, инициирующих В (лимфоцитов — на 5,8%, $P > 0,1$; макрофагов — на 4,9%, $P < 0,02$), число фибробластов достоверно не отличалось от контрольного значения.

Введение стекловидного тела животным с ИМ в течение 5 сут не оказывало существенного влияния на В и заживание. Это подтверждалось и одинаковым относительным содержанием (%) клеток, инициирующих В и Р в контрольной серии исследований. При продлении срока применения стекловидного тела до 12 сут у крыс с экспериментальным ИМ также не было изменений в развитии ИМ, а число противовоспалительных и регенеративных элементов достоверно не отличалось от контрольного.

Таким образом, применение указанных выше препаратов показало, что ретаболил обладает достаточно выраженным reparативным эффектом. Биосед оказывает незначительное влияние, а стекловидное тело не влияет на регенеративные процессы. Нашиими исследованиями также установлено, что наиболее выраженный эффект ретаболила проявляется к 12-м суткам ИМ. Стимулирование Р ретаболилом обусловлено его способностью активировать механизмы синтеза белка, оказывая положительное влияние на азотистый обмен в организме [4]. Подобным фармакологическим эффектом, однако в меньшей мере, обладает и биосед [6]. В то же время препараты стекловидного тела, способствующие размягчению и рассасыванию сформированной рубцовой ткани, не оказывали положительного влияния на развитие инфаркта миокарда.

Изменениями последних лет показано положительное действие ретаболила на заживление миокарда при ИМ [1, 2, 3, 4, 5]. Несмотря на то что в литературе имеются сведения о том, что ретаболил способствует заживлению миокарда, его действие на заживление миокарда при ИМ не изучено.

V. G. Shevchuk, A. I. Pliska, C.

INFLUENCE OF RETABOLIL
ON THE REPARATIVE PRO-
EXPERIMENTAL MYOCARD

Influence of retabolilum, bios-
ration in the rat heart with
that retabolilum has the mos-
has a slight effect on the re-
it at all. It is also found that
ved by the 12th day of infarc-

A. A. Bogomoletz Medical Ins-
of Public Health of the Ukrai-

СПИСОК ЛИТЕРАТУРЫ

- Анисимов Л. В. Анаболич-
острым инфарктом миокарда.
тематические методы в а-
Межвед. сб. науч. тр.— Го-
- Афанасьев Т. Н., Лебкова
при экспериментальном и-
ны.— 1987.— 97, № 2.— С.
- Афонская Н. И., Ильинск
тида на заживление эксп-
96, № 12.— С. 754—757.
- Второв А. Е., Лещинский
вами метаболического де-
С. 328.
- Лисняк И. А. Выделение
ловидного тела // Вопр. м-
- Михно Л. Е. Критическая
дечной мышце при остро
в медицине. Тез. рец. кон-
- Cannon R. O., Rodriguez E.
of experimental myocardial
(Part I).— Р. 109—113.

Киев. мед. ин-т им. А. А. Б-
М-ва здравоохранения УССР

УДК 612.117.7

С. Л. Сашенков, А. Л. Хиши
А. С. Некрасов, В. З. Ланки

Влияние липоксигеназы арахидоновой кислоты на заряд мембранные эритроцитов

В течение последних де-
чению свойств мембра-
поверхностного заряда
ческая подвижность (з-
ностный заряд изменя-
различных веществ и
2, 5, 6].

В связи с изложе-
липоксигеназных мета-
верхностного заряда м-

Физiol. журн., 1990, т. 36,

ре которой сохранялись единичных клеток. ГТ по периферии контрольных животных отличались группы эпителиоид-клеток (на 12,2%; $P < 0,02$),

с тем уменьшалось относительное количество (на 17,1%; $P < 0,001$), макрофагов (на 6,4%; $P < 0,01$). Наблюдалась практически на всю зрелость, чем у контрольных животных, увеличением относительного количества макрофагов — на 17,1% ($P < 0,001$) и уменьшением количества лейкоцитов. Повышалась глубина и субэпикардиальная зона отечества значительная

у животных с ИМ сопровождаемой контрольной серией исследований кардиомиоцитами молодой ГТ наблюдалось содержание клеток, лимфоцитов, макрофагов — общего числа клеток, призыва в контрольной серии — фибробластов (на 5,1%; изменение относительного числа эпителиоидных (на 2,0%; изменения биоседа до 12 сут не изменило положение при контрольной серии исследования. Так, в клетках, инициирующих В-клеток, — на 4,9%, $P < 0,02$), отличаясь от контрольного зна-

чения с ИМ в течение 5 сут не заживление. Это подтверждено (%/с) клеток, исследований. При продлении 2 сут у крыс с экспериментальным ИМ, а число процентов достоверно не отличалось от

выше препаратов показало, кенным репаративным эффектом, а стекловидное тело. Наши исследованиями нашли эффект ретаболила проявлено Р ретаболилом обусловлены синтеза белка, оказываем в организме [4]. Помимо в меньшей мере, обладает стекловидного тела, спонтанно формированной рубцования на развитие инфаркта.

V. G. Shevchuk, A. I. Pliska, O. V. Sergienko, M. N. Reiko, G. G. Shaf

INFLUENCE OF RETABOLILUM, BIOSSEDUM AND CORPUS VITREUM ON THE REPARATIVE PROCESSES IN THE RAT HEART WITH EXPERIMENTAL MYOCARDIAL INFARCTION

Influence of retabolilum, biossedum and corpus vitreum on the inflammation and reparation in the rat heart with experimental infarction has been investigated. It is shown that retabolilum has the most pronounced reparative effect. At the same time biossedum has a slight effect on the reparative processes and corpus vitreum does not influence it at all. It is also found that the most pronounced action of retabolilum has been observed by the 12th day of infarction.

A. A. Bogomoletz Medical Institute, Ministry of Public Health of the Ukrainian SSR, Kiev

СПИСОК ЛИТЕРАТУРЫ

1. Аносимов Л. В. Анаболические стероиды в коррекции белкового обмена у больных острым инфарктом миокарда // Современные лабораторно-инструментальные и математические методы в диагностике, терапии и реабилитации инфаркта миокарда. Межвед. сб. науч. тр.— Горький, 1988.— С. 58—64.
2. Афанасьев Т. Н., Лебкова Н. П. Влияние элеутерококка на субклеточные структуры при экспериментальном инфаркте миокарда // Бюл. эксперим. биологии и медицины.— 1987.— 97, № 2.— С. 212—215.
3. Афонская Н. И., Ильинский О. В., Кондаленко В. Ф. и др. Влияние опиоидного пептида на заживание экспериментального инфаркта миокарда // Там же.— 1986.— 96, № 12.— С. 754—757.
4. Второв А. Е., Лещинский Л. А., Пименов Л. Т. Терапия инфаркта миокарда средствами метаболического действия // Казан. мед. журн.— 1986.— 67, № 5.— С. 325—328.
5. Лисняк И. А. Выделение и характеристика ингибитора неоваскуляризации из стекловидного тела // Вопр. мед. химии.— 1988.— 34, № 2.— С. 16—18.
6. Михно Л. Е. Критическая оценка влияния биоседа на reparативные процессы в сердечной мышце при остром инфаркте миокарда // Применение тканевых препаратов в медицине. Тез. респ. конф.— Одесса, 1985.— С. 180—181.
7. Cannon R. O., Rodriguez E. R., Speir E. et al. Effect of ibuprofen on the healing phase of experimental myocardial infarction in the rat // Amer. J. cardiol.— 1985.— N 1 (Part 1).— P. 109—113.

Киев. мед. ин-т им. А. А. Богомольца

Материал поступил
в редакцию 28.06.89

УДК 612.117.7

С. Л. Сашенков, А. Л. Хшибо, Н. В. Егорова,
А. С. Некрасов, В. З. Ланкин

Влияние липоксигеназных метаболитов арахидоновой кислоты на поверхностный заряд мембранных эритроцитов

В течение последних десяти лет уделяется значительное внимание изучению свойств мембранных эритроцитов, в том числе и лабильности ее поверхностного заряда, отражением которой является электрофоретическая подвижность (ЭФП) эритроцитов [5, 6]. Как известно, поверхностный заряд изменяется при адсорбции на его мембране молекул различных веществ и при различных патологических состояниях [1, 2, 5, 6].

В связи с изложенным выше, представляет интерес изучение роли липоксигеназных метаболитов арахидоновой кислоты в изменении поверхностного заряда мембранных эритроцитов.

Методика

У 89 белых беспородных крыс-самцов массой 200—220 г брали пробы крови. В каждой пробе с помощью секундомера и микроскопа с окулярной сеткой измеряли среднюю скорость передвижения 10 отдельных эритроцитов (разность потенциалов на неполяризующихся электродах 40 В).

Влияние исследуемых веществ изучали методом их инкубации (0,25 мл) в течение 1 ч при 37°C со взвесью эритроцитов интактных животных (0,25 мл) в изотоническом фосфатном буфере (pH 7,4). Исходные растворы исследуемых препаратов в этаноле разводили непосредственно перед опытом изотоническим раствором NaCl, чтобы конечная концентрация этанола составляла не более 1 %. Предварительно было установлено, что 1 %-ный этапол и изотонический фосфатный буфер не изменяют ЭФП эритроцитов.

Исследовались следующие вещества: арахидоновая кислота (фирма «Sigma», США), 15-HETE (15-гидрокси-6, 8, 11, 13-эйкозатетраеновая кислота), 5, 15-Di HETE (5,15-дигидрокси-6, 8, 11, 13-тетраеновая кислота), 8, 15-Di HETE (8,15-дигидрокси-6, 8, 11, 13-эйкозатетраеновая кислота), липоксин В (5, 14, 15-тригидрокси-6, 8, 10, 12-эйкозатетраеновая кислота), метиловый эфир липоксина В. Липоксигеназные производные получали с помощью различных методов в отделе сердечно-сосудистой патологии человека Института клинической кардиологии ВКНЦ АМН ССР. 15-HETE получали окислением арахидоновой кислоты соевой липоксигеназой-I (фирма «Sigma», США), 5, 15-DiHETE и 8, 15-DiHETE — окислением арахидоновой кислоты в 0,1 М Na-образатном буфере (pH 7,4) при катализе соевой липоксигеназы-I, липоксин В получали окислением 5, 15-DiHETE в 0,1 M K⁺, Na-фосфатном буфере (pH 7,4) при катализе гомогенным соединением 15-липоксигеназы ретикулоцитов кролика с последующим восстановлением NaBH₄. Все соединения были очищены с помощью высокоэффективной жидкостной хроматографии и идентифицированы с помощью УФ-спектрометрии и хромато-масс-спектрометрии с использованием соединений-свидетелей.

Результаты обрабатывали методами вариационной статистики с вычислением M, m, P и критерия t Стьюдента.

Результаты и их обсуждение

В первой серии экспериментов исследовали влияние различных концентраций арахидоновой кислоты на ЭФП (табл. 1). Как видно из табл. 1, арахидоновая кислота в диапазоне концентрации 1,5·10⁻⁴—1,5·10⁻⁸ моль/л вызывает увеличение ЭФП эритроцитов. Статистически достоверного дозозависимого эффекта арахидоновой кислоты нет.

Во второй серии экспериментов исследовали влияние на ЭФП 15-HETE (1·10⁻⁷—1·10⁻¹¹ моль/л), 5,15-Di HETE (2,5·10⁻⁶—2,5·10⁻⁸ моль/л) 8,15-Di HETE (1·10⁻⁷—1·10⁻⁹ моль/л), липоксина В (3,6·10⁻⁸—3,6·10⁻¹⁰ моль/л), метилового эфира липоксина В (1·10⁻⁷—1·10⁻⁸ моль/л). Как видно из табл. 2, 15-HETE, метиловый эфир липоксина В и липо-

Таблица 1. Влияние арахидоновой кислоты на лабильность поверхностного заряда мембранны эритроцита¹

Вариант опыта	Электрофоретическая подвижность (ЭФП) эритроцита ($M \pm m$, мкм·с ⁻¹ ·В ⁻¹ ·см)	Число опытов n	Достоверность различия (P) опыта
До введения арахидоновой кислоты (контроль)	1,319±0,007	89	—
После введения арахидоновой кислоты различной концентрации:			
1,5·10 ⁻⁴ моль/л	1,458±0,04	3	P<0,05
1,5·10 ⁻⁵ моль/л	1,49±0,03	3	P<0,02
1,5·10 ⁻⁶ моль/л	1,509±0,014	6	P<0,02
1,5·10 ⁻⁷ моль/л	1,444±0,02	3	P<0,01
1,5·10 ⁻⁸ моль/л	1,396±0,011	3	P<0,01
1,5·10 ⁻⁹ моль/л	1,325±0,04	3	P>0,5

¹ Измерена ЭФП 20 клеток (10 эритроцитов до переключения полюсов и 10 — после) в каждом опыте.

ксин В вызывали уности эффекта с действием оказывали концентрациях они

Таким образом болиты обладают роцитам. Следует с тоническим фосфат виях добавления кния ЭФП эритроцит направленность из ческого строения эритроцитов в усло сиэйкозатетраеноат и три-гидроксийко ка снижает действие способности адсорб

Таблица 2. Влияние на лабильность поверхно

Концентрация метаболита

1·10⁻⁷ моль/л
1·10⁻⁸ моль/л
1·10⁻⁹ моль/л

2,5·10⁻⁶ моль/л
2,5·10⁻⁷ моль/л
2,5·10⁻⁸ моль/л

1·10⁻⁷ моль/л
1·10⁻⁸ моль/л
1·10⁻⁹ моль/л

3,6·10⁻⁸ моль/л
1·10⁻⁷ моль/л
1·10⁻⁸ моль/л

¹ В таблице приведены контрольных.

Таблица 3. Влияние на лабильность поверхно

Концентрация блокатора

1·10⁻⁴ моль/л
1·10⁻⁵ моль/л

1·10⁻⁴ моль/л
1·10⁻⁵ моль/л

1·10⁻⁴ моль/л
и 1·10⁻⁴ моль/л соответственно

—220 г брали пробы крови. В каждой оклюзарной сеткой измеряли среднегоризонтов (разность потенциалов на нем) их инкубации (0,25 мл) в течении животных (0,25 мл) в изотоничности исследуемых препаратов в изотоническом раствором NaCl , чтобы ее 1 %. Предварительно было установленный буфер не изменяют ЭФП

основная кислота (фирма «Sigma», траеновая кислота), 5, 15-Di НЕТЕ 8, 15-Di НЕТЕ (8,15-дигидрокси-6, 5, 14, 15-тригидрокси-6, 8, 10, 12-эйна В. Липоксигеназные производные сердечно-сосудистой патологии человека СССР, 15-НЕТЕ получали окись-I (фирма «Sigma», США), 5, 15-НЕТЕ в 0,1 M Na-боратном буфере (рН 7,4) при катализе гомоген-кролика с последующим восстановлением высокоеэффективной жидкостью УФ-спектрометрии и хромато-детекторей.

ной статистики с вычислением M ,

ли влияние различных концентраций (табл. 1). Как видно из таблицы, концентрации $1,5 \cdot 10^{-4}$ М эритроцитов. Статистическое влияние на ЭФП 15-НЕТЕ $5 \cdot 10^{-6} - 2,5 \cdot 10^{-8}$ моль/л) липоксина В ($3,6 \cdot 10^{-8} - 3,6 \times 10^{-7}$ моль/л). Эфир липоксина В и липо-

абильность поверхности заряда

Концентрация метаболита	Электрофоретическая подвижность (ЭФП) эритроцита ($M \pm m$, мкм·с ⁻¹ ·В ⁻¹ ·см)	Число опытов (n)	Достоверность различия (P) по сравнению с контролем
15-НЕТЕ			
$1 \cdot 10^{-7}$ моль/л	$1,496 \pm 0,07$	3	$<0,05$
$1 \cdot 10^{-8}$ моль/л	$1,466 \pm 0,036$	3	$<0,02$
$1 \cdot 10^{-9}$ моль/л	$1,453 \pm 0,02$	6	$<0,01$
5, 15-DiНЕТЕ			
$2,5 \cdot 10^{-6}$ моль/л	$1,213 \pm 0,024$	3	$<0,05$
$2,5 \cdot 10^{-7}$ моль/л	$1,20 \pm 0,047$	3	$<0,05$
$2,5 \cdot 10^{-8}$ моль/л	$1,13 \pm 0,06$	3	$<0,05$
8, 15-DiНЕТЕ			
$1 \cdot 10^{-7}$ моль/л	$1,095 \pm 0,02$	3	$<0,001$
$1 \cdot 10^{-8}$ моль/л	$1,134 \pm 0,019$	3	$<0,001$
$1 \cdot 10^{-9}$ моль/л	$1,178 \pm 0,007$	3	$<0,001$
Липоксин В			
$3,6 \cdot 10^{-8}$ моль/л	$1,381 \pm 0,016$	3	$<0,001$
Метиловый эфир липоксина В			
$1 \cdot 10^{-7}$ моль/л	$1,585 \pm 0,016$	5	$<0,05$
$1 \cdot 10^{-8}$ моль/л	$1,565 \pm 0,018$	5	$<0,05$

ксин В вызывали увеличение ЭФП эритроцитов, сравнимое по выраженности эффекта с действием арахидоновой кислоты. Противоположное действие оказывали 5,15-DiНЕТЕ и 8,15-DiНЕТЕ. Во всех исследуемых концентрациях они вызывали достоверное снижение ЭФП эритроцитов.

Таким образом, арахидоновая кислота и ее липоксигеназные метаболиты обладают мембранотропным действием по отношению к эритроцитам. Следует отметить, что трехкратная отмыкация эритроцитов изотоническим фосфатным буфером (рН 7,4) после их инкубации в условиях добавления каждого из исследуемых веществ возвращала значения ЭФП эритроцитов к исходным. Важным представляется различная направленность изменений ЭФП эритроцитов в зависимости от химического строения липоксигеназных метаболитов: замедление ЭФП эритроцитов в условиях добавления в инкубационную среду дигидроксиэйкозатетраеноатов и ее ускорение в условиях добавления гидрокси- и три-гидроксиэйкозатетраеноатов. Тот факт, что трехкратная отмыкация снимает действие всех исследуемых веществ, свидетельствует об их способности адсорбироваться на мембране эритроцита. С целью изу-

Таблица 2. Влияние липоксигеназных метаболитов арахидоновой кислоты на лабильность поверхностного заряда мембранны эритроцита¹

Концентрация метаболита	Электрофоретическая подвижность (ЭФП) эритроцита ($M \pm m$, мкм·с ⁻¹ ·В ⁻¹ ·см)	Число опытов (n)	Достоверность различия (P) по сравнению с контролем
15-НЕТЕ			
$1 \cdot 10^{-7}$ моль/л	$1,496 \pm 0,07$	3	$<0,05$
$1 \cdot 10^{-8}$ моль/л	$1,466 \pm 0,036$	3	$<0,02$
$1 \cdot 10^{-9}$ моль/л	$1,453 \pm 0,02$	6	$<0,01$
5, 15-DiНЕТЕ			
$2,5 \cdot 10^{-6}$ моль/л	$1,213 \pm 0,024$	3	$<0,05$
$2,5 \cdot 10^{-7}$ моль/л	$1,20 \pm 0,047$	3	$<0,05$
$2,5 \cdot 10^{-8}$ моль/л	$1,13 \pm 0,06$	3	$<0,05$
8, 15-DiНЕТЕ			
$1 \cdot 10^{-7}$ моль/л	$1,095 \pm 0,02$	3	$<0,001$
$1 \cdot 10^{-8}$ моль/л	$1,134 \pm 0,019$	3	$<0,001$
$1 \cdot 10^{-9}$ моль/л	$1,178 \pm 0,007$	3	$<0,001$
Липоксин В			
$3,6 \cdot 10^{-8}$ моль/л	$1,381 \pm 0,016$	3	$<0,001$
Метиловый эфир липоксина В			
$1 \cdot 10^{-7}$ моль/л	$1,585 \pm 0,016$	5	$<0,05$
$1 \cdot 10^{-8}$ моль/л	$1,565 \pm 0,018$	5	$<0,05$

¹ В таблице приведены значения ЭФП, статистически достоверно отличающиеся от контрольных.

Таблица 3. Влияние финоптина, трифтазина и их совместного применения на лабильность поверхностного заряда мембран эритроцитов

Концентрация блокатора	Электрофоретическая подвижность (ЭФП) эритроцитов ($M \pm m$, мкм·с ⁻¹ ·В ⁻¹ ·см)	Число опытов (n)	Достоверность различия (P) по сравнению с контролем
Финоптин			
$1 \cdot 10^{-4}$ моль/л	$1,845 \pm 0,02$	5	$<0,001$
$1 \cdot 10^{-5}$ моль/л	$1,55 \pm 0,00$	5	$<0,001$
Трифтазин			
$1 \cdot 10^{-4}$ моль/л	$1,7 \pm 0,013$	5	$<0,001$
$1 \cdot 10^{-5}$ моль/л	$1,57 \pm 0,014$	5	$<0,002$
Финоптин и трифтазин			
$1 \cdot 10^{-4}$ моль/л	$1,634 \pm 0,02$	5	$<0,002$
и $1 \cdot 10^{-4}$ моль/л соответственно			

чения возможных механизмов изменения заряда мембраны исследовано действие блокатора кальциевых каналов финонтина (верапамила) и трифтазина — вещества, угнетающего действие кальмодулина. Как видно из табл. 3, финонтин, трифтазин и совместное применение этих препаратов вызывали значительное увеличение ЭФП эритроцитов.

Выяснение всех возможных механизмов влияния липоксигеназных метаболитов арахидоновой кислоты на поверхностный заряд мембранных эритроцитов требует дальнейшего изучения.

S. L. Sashenkov, A. L. Khshivo, N. V. Egorova,
A. S. Nekrasov, V. Z. Lankin

THE INFLUENCE OF LIPOOXYGENASE METABOLITES OF ARACHIDONIC ACIDS ON THE SURFACE CHARGE OF THE ERYTHROCYTE MEMBRANES

The influence of metabolites of arachidonic acids on the electrophoretic mobility of the rat erythrocytes has been investigated. It is found that they can increase or decrease the surface charge of the erythrocyte membranes.

Medical Institute, Ministry of Public Health
of the RSFSR, Chelyabinsk

СПИСОК ЛИТЕРАТУРЫ

1. Захаров Ю. М., Глазырина П. В., Бордуновская В. П. и др. О некоторых морфофункциональных свойствах эритроцитов акклиматизированных к теплу животных // Физиол. журн. СССР. — 1986. — 72, № 12. — С. 1647—1652.
2. Козинец Г. И., Зоделава М. М., Борзова Л. В., Кульман Р. А. Электрофорез клеток гомопотической ткани. — Тбилиси : Сабоца Сакартвело, 1986. — 150 с.
3. Ларионов Н. П. Кальмодулин. — Томск : Изд-во Томск. ун-та, 1984. — 84 с.
4. Харамоненко С. С., Ракитянская А. А. Электрофорез клеток крови в норме и патологии. — Минск : Беларусь, 1973. — 143 с.
5. Bater A. I., Deeley I. O. T., Pritchard J. A. V. An evaluation of a video image correlation technique for the estimation of electrophoretic mobilities of human blood cells // Electrophoresis'83. — Berlin; New York. — 1984. — P. 301—308.
6. Seaman J. V. F. Electrokinetic behavior of red cells // Red blood cell. — New York etc.: Acad. press., 1979. — P. 1145—1229.

Челябин. мед. ин-т
М-ва здравоохранения РСФСР

Материал поступил
в редакцию 15.07.88

УДК 612.015.6:539.227

В. А. Элькина, А. Я. Розанов

Динамика поглощения ^{14}C -биотина клетками крови и связывание белками плазмы в онтогенезе

Биохимические функции биотина (его участие в карбоксилировании и синтезе жирных кислот) достаточно изучены, однако практически не известны механизмы его транспорта в животном организме, поступления в клетки крови и проникновения через клеточные мембранные и гистогематические барьеры. Также совершенно не изучены возрастные особенности транспорта биотина в клетки и ткани высших организмов. Только для микроорганизмов (*Lactobacillus arabinosus* и *Saccharomyces cerevisiae*) показано существование активного транспорта этого витамина [8, 10]. На клетках *E. coli* (штамм K-12 (Y10-1), не нуждающийся в биотине) обнаружены регуляторные механизмы транспортной системы биотина по типу репрессии [9].

Цель нашей работы — изучение возрастных особенностей транспорта биотина *in vitro* в клетки крови и роли белков плазмы в этом процессе.

Методика

Исследование проведено *in vitro* групп: I группа — молодые (2—10 мес, масса 150—280 г); III — взрослых декапитировали, кровь (1:3) с добавлением гепаринизации и стабилизации форм во меченого по углероду каршама (Великобритания), кото 1 мкмоль, что сопоставимо с После инкубации при температуре пробы по 1 мл и разделяли фракции 5 000 g). Белки плазмы из концентрации 80% с последующими осадками белков и клеток 0,5 мл (около 15 мг плотного цельной крови.

В специальных экспериментах очищенную фракцию лейкоцитов 4, 7] и изучали динамику поглощении растворе при том же конечно-лейкоцитов использовали кровь.

Радиоактивность всех образцов плазмы подсчитывали на газорадиоактивных фильтров поглощения β -излучения [5] с использованием карбоната в крови *in vitro* в данных титром на бумаге в системе естественно).

Результаты и их обсуждение

Значительная часть ^{14}C -биотина: при добавлении его 2,5 до 27% этого витамина 38,6% — с форменным повышается с увеличением возрастом для I и III возрастного поглощения ^{14}C -биотина ляет 61% у молодых же метки связывается уже плазмы крови молодые ^{14}C -биотина, чем белки косвенным доказательством крови при старении и, с возрастной функции. Одна из общих метки через младших возрастных групп медленнее способность плазмы.

Для обеих исследуемых в трех возрастных группах связывания ^{14}C -биотина. I (группа) через поглощение ^{14}C -биотина и половозрелых животных в сторону более пик поглощения ^{14}C -биотина плазмы и клеток крови соответствует 15 и 30 мин для I и

заряда мембранны исследований финоптина (верапамила) действие кальмодулина. Как совместное применение этих веществ ЭФП эритроцитов.

Влияния липоксигеназных

верхностный заряд мембранны

и отходящий от мембранных

клеток витамины ПФБ и

концепции кинескотон

LITES OF ARACHIDONIC ACIDS

TE MEMBRANES

the electrophoretic mobility of the
if they can increase or decrease the

показания для применения

шага вперед в науке

США

Белки плазмы и клеток

В. П. и др. О некоторых морфо-

венных к теплу животных // Фи-

652.

ильман Р. А. Электрофорез клеток

твело, 1986.— 150 с.

иск. ун-та, 1984.— 84 с.

рез клеток крови в норме и пато-

valuation of a video image correla-

mabilities of human blood cells //

301—308.

// Red blood cell.— New York etc.:

Материал поступил
в редакцию 15.07.88

Методика

Исследование проведено *in vitro* на 98 крысах-самцах линии Вистар трех возрастных групп: I группа — молодые (2 мес, масса 75—100 г); II группа — половозрелые (4—10 мес, масса 150—280 г); III группа — старые (около 24 мес, масса 300—360 г). Животных декапитировали, кровь от одной крысы разводили физиологическим раствором (1 : 3) с добавлением гепарина (1 ЕД/мл цельной крови) для предотвращения свертывания и стабилизации форменных элементов [3]. Затем добавляли такое количество меченного по углероду карбонильной группы биотина (^{14}C -биотин, фирма «Атчест-шам», Великобритания), которое дало бы его окончательное содержание в крови 1 мкмоль, что сопоставимо с естественным содержанием биотина в крови крыс [2]. После инкубации при температуре 37 °С в течение 5, 15, 30, 60, 120 и 240 мин отбирали пробы по 1 мл и разделяли форменные элементы и плазму центрифугированием (5 мин, 5 000 $\times g$). Белки плазмы из каждой пробы осаждали холодным этианолом в конечной концентрации 80 % с последующим промыванием 80 %-ным этианолом, спирты объединяли, осадки белков и клеток крови растворяли в 0,01 н NaOH, наносили на мишени по 0,5 мл (около 15 мг плотного вещества на мишель). Расчет производили на 100 мл цельной крови.

В специальных экспериментах разделяли клетки крови крыс, выделяли эритроциты и очищенную фракцию лейкоцитов методом свободной седиментации в желатине [1, 4, 7] и изучали динамику поглощения ^{14}C -биотина этими клетками в физиологическом растворе при том же конечном содержании ^{14}C -биотина (1 мкмоль). Для выделения лейкоцитов использовали кровь, взятую у крыс II возрастной группы.

Радиоактивность всех образцов цельной крови, лейкоцитов, эритроцитов и белков плазмы подсчитывали на газопроточном счетчике 2154-1-1М «Протокол» с учетом коэффициентов поглощения β -излучения. Полученные результаты обрабатывали статистически [5] с использованием критерия t Стьюдента и Фишера. Трансформация ^{14}C -биотина в крови *in vitro* в данных условиях была проверена радиохроматографическим методом на бумаге в системе *n*-бутанол — уксусная кислота — вода (12 : 3 : 5 соответственно).

Результаты и их обсуждение

Значительная часть ^{14}C -биотина в крови находится в связанном состоянии: при добавлении его в кровь в физиологической концентрации от 2,5 до 27 % этого витамина связывается с белками плазмы и от 3,25 до 38,6 % — с форменными элементами крови. Связывание ^{14}C -биотина повышается с увеличением времени инкубации, что в особенности характерно для I и III возрастных групп животных. Максимум суммарного поглощения ^{14}C -биотина клетками и белками плазмы крови составляет 61 % у молодых животных (у старых — 27 %), при этом до 50 % метки связывается уже через 15 мин инкубации (таблица). Белки плазмы крови молодых животных связывают в 2—5 раз больше ^{14}C -биотина, чем белки плазмы крови старых животных, что является косвенным доказательством замедления обновления белков плазмы крови при старении и, следовательно, снижения с возрастом их транспортной функции. Однако в клетках крови старых животных накопление общей метки через 240 мин инкубации почти достигает уровня младших возрастных групп. Таким образом, у старых животных замедляется способность поглощения ^{14}C -биотина клетками крови из плазмы.

Для обеих исследуемых фракций крови (клеток и белков плазмы) во всех трех возрастных группах наблюдалась двухфазная динамика связывания ^{14}C -биотина. Включение метки максимально у молодых животных (I группа) через 30 мин инкубации. У старых крыс (III группа) поглощение ^{14}C -биотина замедлено по сравнению с таковыми молодых и половозрелых животных, и пики максимумов радиоактивности сдвинуты в сторону более поздних сроков. В частности, в III группе первый пик поглощения ^{14}C -биотина отмечен через 30 и 60 мин (для белков плазмы и клеток крови соответственно), а второй — через 240 мин, против 15 и 30 мин для I группы и 15 мин — для II группы (первый пик

Распределение общей метки добавленного к крови крыс ^{14}C -биотина (1 мкмоль) на форменные элементы и белки плазмы ($M \pm m$)

Фракция инкубационной среды	Время инкубации		
	5 мин	15 мин	30 мин

I. Молодые животные (30 крыс)			
Форменные элементы			
нмоль/100 мл	28,12 \pm 1,6**	32,58 \pm 1,24**	36,67 \pm 1,61**
% добавленной дозы	29,6	34,3	38,6
Белки плазмы			
нмоль/100 мл	18,89 \pm 2,42**	25,47 \pm 0,06**	14,92 \pm 1,76**
% добавленной дозы	19,88	26,81	15,7
Свободный ^{14}C-биотин			
нмоль/100 мл	47,99 \pm 4,0**	36,95 \pm 1,3**	43,41 \pm 5,1**
% добавленной дозы	50,52	38,9	45,7

II. Половозрелые животные (44 крысы)			
Форменные элементы			
нмоль/100 мл	9,07 \pm 0,5	16,98 \pm 0,68	9,45 \pm 1,02
% добавленной дозы	9,55	17,9	9,95
Белки плазмы			
нмоль/100 мл	5,66 \pm 0,31	10,07 \pm 0,6	4,3 \pm 0,23
% добавленной дозы	5,96	10,6	4,53
Свободный ^{14}C-биотин			
нмоль/100 мл	80,27 \pm 0,76	67,95 \pm 1,3	81,24 \pm 1,25
% добавленной дозы	84,49	71,5	85,52

III. Старые животные (24 крысы)			
Форменные элементы			
нмоль/100 мл	10,11 \pm 1,2	8,54 \pm 1,1**	7,49 \pm 0,75**
% добавленной дозы	10,64	8,9	7,9
Белки плазмы			
нмоль/100 мл	6,0 \pm 1,1	4,74 \pm 0,04**	6,55 \pm 0,57**
% добавленной дозы	6,32	4,9	6,9
Свободный ^{14}C-биотин			
нмоль/100 мл	78,89 \pm 2,32	81,72 \pm 1,4**	80,95 \pm 1,32**
% добавленной дозы	83,04	86,03	85,2

Фракция инкубационной среды	Время инкубации		
	60 мин	120 мин	240 мин

I. Молодые животные (30 крыс)			
Форменные элементы			
нмоль/100 мл	27,85 \pm 1,66**	31,68 \pm 2,18**	23,75 \pm 0,3*
% добавленной дозы	29,31	33,35	25,0
Белки плазмы			
нмоль/100 мл	18,15 \pm 1,7*	9,42 \pm 1,2**	14,25 \pm 0,2*
% добавленной дозы	19,1	9,91	15,0
Свободный ^{14}C-биотин			
нмоль/100 мл	49,01 \pm 3,37**	53,9 \pm 3,4**	57,0 \pm 2,4*
% добавленной дозы	51,59	56,74	60,0

II. Половозрелые животные (44 крысы)			
Форменные элементы			
нмоль/100 мл	8,21 \pm 1,04	12,64 \pm 1,33	7,02 \pm 1,16
% добавленной дозы	8,64	13,3	7,39
Белки плазмы			
нмоль/100 мл	3,4 \pm 0,68	4,8 \pm 0,18	3,09 \pm 0,6
% добавленной дозы	3,6	5,05	3,25
Свободный ^{14}C-биотин			
нмоль/100 мл	83,37 \pm 1,7	77,57 \pm 1,5	84,89 \pm 1,76
% добавленной дозы	87,76	81,65	89,36

Фракция инкубационной

Помимо этого в таблице

Форменные элементы

нмоль/100 мл

% добавленной дозы

Белки плазмы

нмоль/100 мл

% добавленной дозы

Свободный ^{14}C -биотин

нмоль/100 мл

% добавленной дозы

Примечание. Достоверных по сравнению с таковыми

<0,01.

радиоактивности) и 1. Это свидетельствует о спорной функции белка плазмы в их организме.

В исследованиях, и эритроцитов, обнаруженного биотина через 5—20 миллионов клеток). Несмотря на разницу в радиоактивности) и различиями фракциями (три первых, лишь частично лированием изучаемого в среде, лишенной макромолекул, во вторых, неоднородном эритроне (а также цитарным составом красных кровяных клеток).

Динамика поглощения ^{14}C -биотина из инкубационной среды (3,1 мкмоль ^{14}C -биотина), лейкоцитами и эритроцитами (2) крови 10⁶ клеток.

Таким образом, поглощение ^{14}C -биотина (аналогично первым) этот факт хорошо подтверждает наличие специфических механизмов связывания ферментов.

Трансформация ^{14}C -биотина (за 15—60 мин инкубации) плазмы выявлено таковому исходного ^{14}C -биотина.

ыс ^{14}C -биотина (1 мкмоль)

Время инкубации		
15 мин	30 мин	

крыс)		
32,58±1,24**	36,67±1,61**	
34,3	38,6	
25,47±0,06**	14,92±1,76**	
26,81	15,7	
36,95±1,3**	43,41±5,1**	
38,9	45,7	
44 крысы)		
16,98±0,68	9,45±1,02	
17,9	9,95	
10,07±0,6	4,3±0,23	
10,6	4,53	
67,95±1,3	81,24±1,25	
71,5	85,52	
крысы)		
8,54±1,1**	7,49±0,75**	
8,9	7,9	
4,74±0,04**	6,55±0,57**	
4,9	6,9	
81,72±1,4**	80,95±1,32**	
86,03	85,2	

Время инкубации		
120 мин	240 мин	

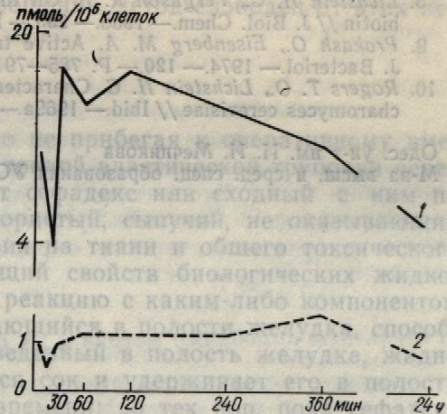
крыс)		
31,68±2,18**	23,75±0,3*	
33,35	25,0	
9,42±1,2**	14,25±0,2*	
9,91	15,0	
53,9±3,4**	57,0±2,4*	
56,74	60,0	
44 крысы)		
12,64±1,33	7,02±1,16	
13,3	7,39	
4,8±0,18	3,09±0,6	
5,05	3,25	
77,57±1,5	84,89±1,76	
81,65	89,36	

Фракция инкубационной среды	Время инкубации		
	60 мин	120 мин	240 мин
III. Старые животные (24 крысы)			
Форменные элементы			
нмоль/100 мл	8,57±1,5*	5,30±1,24*	18,11±0,34*
% добавленной дозы	9,02	10,81	19,06
Белки плазмы			
нмоль/100 мл	2,37±0,34**	3,29±0,05*	8,21±4,13*
% добавленной дозы	2,5	3,47	8,64
Свободный ^{14}C -биотин			
нмоль/100 мл	84,05±1,86**	86,4±1,28*	68,69±4,47*
% добавленной дозы	88,5	85,7	72,3

Примечание. Достоверность различий значений показателей половозрелых животных по сравнению с таковыми животных других возрастных групп: *P<0,05; **P<0,01.

радиоактивности) и 120 мин (второй пик) для I и II групп животных. Это свидетельствует об ослаблении связывающей (а, возможно, и транспортной) функции белков плазмы и клеток крови у старых животных и является, возможно, причиной замедления поступления биотина из крови в их органы.

В исследованиях, проведенных на очищенных фракциях лейкоцитов и эритроцитов, обнаружилась трехфазная динамика поглощения меченого биотина через 5, 30 и 120 мин (рисунок), причем лейкоциты поглощают в 7—20 раз больше метки, чем эритроциты (в пересчете на миллион клеток). Некоторое несовпадение динамики поглощения ^{14}C -биотина неразделенными форменными элементами крови (два пика радиоактивности) и их очищенными фракциями (три пика радиоактивности) обусловлено, во-первых, лишь частичным моделированием изучаемого процесса в среде, лишенной многих естественных компонентов крови, а во-вторых, неоднородным составом эритрона (а также и лейкоцитарным составом крови).



Динамика поглощения ^{14}C -биотина из инкубационной среды (37°C , 15 мин, 1 мкмоль ^{14}C -биотина), лейкоцитами (1) и эритроцитами (2) крови крыс *in vitro*, нмоль/10⁶ клеток.

Таким образом, подтверждается фазовая динамика связывания ^{14}C -биотина (аналогично другим водорастворимым витаминам, для которых этот факт хорошо известен [6]), что, по всей вероятности, свидетельствует о наличии неспецифических (первый пик радиоактивности) и специфических механизмов транспорта этого витамина в составе биотинзависимых ферментов и биотинсвязывающих белков.

Трансформация ^{14}C -биотина в крови *in vitro* в данных условиях (за 15—60 мин инкубации) не обнаружена. В крови после удаления липидов плазмы выявлен только один пик радиоактивности, идентичный таковому исходного ^{14}C -биотина.

ABSORPTION DYNAMICS OF ^{14}C -BIOTIN BY THE BLOOD CELLS AND BINDING BY PLASMA PROTEINS IN ONTOGENESIS

Age peculiarities of absorption of ^{14}C -biotin by the blood cells and plasma proteins in vitro are studied. The phase dynamics of ^{14}C -biotin absorption by the blood cells and binding by plasma proteins is found. The reliable ontogenetic differences in absorption of ^{14}C -biotin by the blood cells and plasma proteins are determined. The biotin-binding in vitro by the blood cells and plasma proteins decreases and becomes slower in old rats as compared with young ones.

1. I. Mechnikov University, Ministry of Higher and Secondary Special Education of the Ukrainian SSR, Odessa

СПИСОК ЛИТЕРАТУРЫ

1. Емешина Л. И. Микрометод лейкоконцентрации // Лаб. дело.—1966.—№ 3.— С. 169—170.
2. Западнюк И. П., Западнюк В. И., Захария Е. А., Западнюк Б. В. Лабораторные животные. Разведение, содержание, использование в эксперименте.—Киев : Виц. шк., 1983.—383 с.
3. Казначев В. П., Пестовская Л. Г., Скальская Е. А. Изучение гемолиза эритроцитов в связи с влиянием гепарина // Вопросы биофизики, биохимии и патологии эритроцитов.—Красноярск, 1960.—С. 251—256.
4. Луценко И. С., Сейц И. Ф. Методы выделения лейкоцитов и тромбоцитов из крови человека // Лаб. дело.—1967.—№ 9.—С. 521—526.
5. Мерков А. М. Общая теория и методика санитарно-статистического исследования.—М., 1969.—224 с.
6. Розанов А. Я. Фазовая динамика метаболизма в печени коферментных витаминов, ее механизмы и биологическое значение // Витамины.—Вып. IX.—Киев : Наук. думка, 1976.—С. 34—42.
7. Слизовска К. С. Взаимодействие витаминов в организме при связывании ^{35}S -липоата тканями, клетками и белками крови: Автореф. дис. ... канд. биол. наук.—Одесса, 1976.—28 с.
8. Lichstein H. C., Ferguson R. B. On the permeability of *Lactobacillus arabinosus* to biotin // J. Biol. Chem.—1958.—233.—P. 243—244.
9. Prakash O., Eisenberg M. A. Active transport of biotin in *Escherichia coli* K-12 // J. Bacteriol.—1974.—120.—P. 785—791.
10. Rogers T. O., Lichstein H. C. Characterization of the biotin transport system in *Saccharomyces cerevisiae* // Ibid.—1969a.—100.—P. 557—564.

Одес. ун-т им. И. И. Мечникова
М-ва высш. и сред. спец. образования УССР

Материал поступил
в редакцию 16.05.89

Методики

УДК 612.02 (088.8)

И. А. Франков, Т. Н. Сокол

Новая методика по-
желудочного сока у

Получение в физиолог лудка мелких животных определенными трудно и животных, и их жел методами, неотъемлемое вмешательство, предшественных. Это относится пищеварительного сока которые рассчитаны на [1, 3]. Наркотические гическое вмешательство искажают работу нейропищеварительных реций сока и его состава.

Предлагаемый в на-
достатков.

Описание метода

Сущность метода состоит в том, что животному пищевод в полость же своим свойствам материального повреждающее влияния на организм, стей, не вступающий в пищеварительного сока быстро набухать, впитывает постепенно желудка в течение не превратится в гель, в кишечник. Это свойствах собирать в полость через определенный вместе с сефадексом.

Для воспроизведен и материалы: шприц, э легко ее вводить в жел

Технология получе животных проста и сост трубочки срезают под щевод. Заполняют трубного конца приблизите вивном случае во врем сефадекса, находящиеся

Физиол. журн., 1990, т. 36, № 3

B BLOOD CELLS AND BINDING

blood cells and plasma proteins in absorption by the blood cells and ontogenetic differences in absorption are determined. The biotin-binding in ases and becomes slower in old rats

SR, Odessa

ации // Лаб. дело.— 1966.— № 3.—

А. Западнюк Б. В. Лабораторные
данные в эксперименте.— Киев : Вищ.

Е. А. Изучение гемолиза эритроци-
тических, биохимии и патологии
лейкоцитов и тромбоцитов из кро-
—526.
рно-статистического исследования.—

в печени коферментных витаминов,
витамины.— Вып. IX.— Киев : Наук.
организме при связывании ^{35}S -липо-
ф. дис. ... канд. биол. наук.— Одесса,
ability of Lactobacillus arabinosus to
secrete biotin in Escherichia coli K-12 //
the biotin transport system in Sac-
557—564.

Материал поступил
в редакцию 16.05.89

Методики

И. А. Франков, Т. Н. Соколова

Новая методика получения желудочного сока у мелких животных

Получение в физиологических условиях пищеварительного сока из желудка мелких животных (крысы, мыши, хомяка и т. д.) сопряжено с определенными трудностями, обусловленными небольшими размерами и животных, и их желудков. Поэтому до сих пор пользуются такими методами, неотъемлемым элементом которых является хирургическое вмешательство, предшествующее этапу сбора желудочного сока у животных. Это относится и к тем методам, которые рассчитаны на сбор пищеварительного сока в полости желудка (способ Шея) [4], и к тем, которые рассчитаны на сбор сока с помощью фистулы вне желудка [1, 3]. Наркотические вещества, при этом вводимые животным, хирургическое вмешательство и его многочисленные последствия неизбежно искажают работу нейрогуморальных механизмов, регулирующих функции пищеварительных желез, вследствие чего изменяется характер секреции сока и его состав.

Предлагаемый в настоящем сообщении метод свободен от этих недостатков.

Описание метода

Сущность метода состоит в том, что не прибегая к оперативному вмешательству, животному с помощью тонкой эластичной трубочки через пищевод в полость желудка вводят сефадекс или сходный с ним по своим свойствам материал: мелкопористый, сыпучий, не оказывающий местного повреждающего воздействия на ткани и общего токсического влияния на организм, не изменяющий свойств биологических жидкостей, не вступающий в химическую реакцию с каким-либо компонентом пищеварительного сока, не разрушающийся в полости желудка, способный быстро набухать. Сефадекс, введенный в полость желудка, жадно впитывает постепенно выделяющийся сок и удерживает его в полости желудка в течение значительного времени: до тех пор, пока сефадекс не превратится в гель. Только после этого он начинает эквакуироваться в кишечник. Это свойство сефадекса позволяет в физиологических условиях собирать в полости желудка значительное количество сока, который через определенные интервалы времени извлекают из желудка вместе с сефадексом.

Для воспроизведения метода необходимы следующие инструменты и материалы: шприц, эластическая трубка, диаметр которой позволяет легко ее вводить в желудок через пищевод животного, сефадекс.

Технология получения пищеварительного сока из желудка мелких животных проста и состоит в следующем. Один из концов эластической трубочки срезают под углом 45° , что облегчает проведение ее через пищевод. Заполняют трубочку сефадексом, оставляя со стороны срезанного конца приблизительно 1 см трубочки свободным, так как в противном случае во время введения трубочки через пищевод гранулы сефадекса, находящиеся у самого конца трубочки, набухают, а образу-

ющийся при этом гель создает пробку, которая затрудняет последующее проталкивание сефадекса из трубочки в полость желудка. Срезанным концом трубочку вводят через пищевод в полость желудка. Свободный конец трубочки стыкуют со шприцом, с помощью которого осторожно проталкивают сефадекс в полость желудка. Вынимают трубочку из желудка. Животных помещают в клетки, где они находятся в обычных условиях. Через определенные промежутки времени после введения сефадекса его гель извлекают из полости желудка вместе с поглощенным соком и определяют количество извлеченного сока и его свойства.

Если масса сухого сефадекса, из которого образовался извлеченный гель, известна, то определяют массу полученного сока по разности между массой извлеченного геля и массой введенного сухого сефадекса. Если масса сухого сефадекса, из которого образовался извлеченный гель, неизвестна, то определяют объем полученного сока, используя установленные для каждого типа сефадекса соотношения между его массой, объемом воды, которую он поглощает при полном набухании, и тем объемом, который занимает гель, образующийся при полном набухании сефадекса.

Объем извлеченного сока рассчитывают по формуле

$$x = \frac{y_1 \cdot y_2}{y_3} - (y_4 - y_5),$$

где x — объем (мл) извлеченного сока; y_1 — объем жидкости, которая поглощается 1 г сухого сефадекса, использовавшейся в опыте марки, при полном его набухании, y_2 — объем геля, который образуется при полном набухании 1 г сефадекса; y_3 — объем геля сефадекса после добавления к извлеченному из желудка гелю определенного объема воды; y_4 — объем воды, добавленной к извлеченному из желудка гелю сефадекса для обеспечения условий, при которых сефадекс достигает полного набухания; y_5 — объем избытка жидкости, находящейся над слоем гранул сефадекса, осевших на дно мерного сосуда после добавления определенного объема воды к гелю, извлеченному из желудка.

Установив объем извлеченного сока, гранулы сефадекса отделяют центрифугированием, а надосадочную жидкость разбавляют водой или соответствующим буферным раствором и используют для определения кислотности и протеолитической активности сока. Определение pH сока осуществляют с помощью pH-метра, электроды которого погружают прямо в гель извлеченного сефадекса. Наличие сефадекса в соке pH последнего не изменяет.

Результаты апробации метода и их обсуждение

Испытания предлагаемого метода провели на 5 мышах массой 20—22 г и 10 беспородных крысах-самцах массой 150—180 г. Для введения сефадекса мышам использовали прозрачную хлорвиниловую трубочку внешним диаметром 2,5 мм, внутренним — 2 мм, длиной 120 мм; для введения крысам использовали трубочку внешним диаметром 3 мм, внутренним — 2,5 мм и длиной 250 мм. Трубочки заполняли сефадексом марки G-50, оставляя свободным 10 мм со стороны срезанного конца. Для проталкивания порошка сефадекса из трубочки в полость желудка использовали шприц вместимостью 1 мл. Через 2,5 ч после введения сефадекса из полости желудков извлекали образовавшийся гель, содержащий выделившийся за это время пищеварительный сок. Определяли его pH. Затем гели помещали в мерные пробирки. К гелям, извлеченным из полости желудков мышей, добавили по 2 мл воды, а к гелям, извлеченным из желудков крыс, по 4 мл (y_4). После тщательного перемешивания извлеченных гелей с водой смеси оставляли отстаиваться на 15 мин, после чего измеряли объем образовавшегося геля сефадекса (y_3) и объем надосадочной жидкости (y_5). Для определения y_1 и y_2

проделали следующий опыт: смешали с избытком взвесь тщательно перемешанная 15 мин, т. е. на время из полости желудка гося сефадекса после на него объема жидкости и поглощает 10,8 мл жидкости имеет объем 11,4 мл (выше формулу, рассчитанную животного).

Для определения извлеченного сока его предварительно в каждой смеси, содержащей объем воды, который неизвестное разведение сока, отделяли центрифугированием для определения кислотности определяли по фенолфталеину, диметилнатрий, протеолитическую. При этом смешивали 0,1 буфера (pH 1,7) и 1 мл ультратермостата в течение раствора ТХУ и через 15 минутах экстинкции (ед. экст.)

Предложенным способом $\pm 0,05$ мл пищеварительного составляла 0,28 ед. Желудочный сок кратными метода, характеризующими и качественных показателей.

Объем, мл
рН

Кислотность общая,
Кислотность свободная,
Кислотность связанных
Протеолитическая активность

Протеолитическая активность нами методом, оказавшимся соком, получено $\pm 0,01$ ед. экст.).

По-видимому, это связанной методике, живетельствам, с которыми неизвестных неблагоприятных физиологических явлений, воспаление и т. д. по способу сок собирали слизистой оболочки раздражали, а содержали в привычном предложенном методу, получаемый с помощью физиологии.

Использование предложенного сока при таких

Физиол. журн., 1990, т. 36, № 3

торая затрудняет последующую полость желудка. Срезано в полость желудка. Свежем, с помощью которого тель желудка. Вынимают труклетки, где они находятся в промежутки времени после полости желудка вместе с гло извлеченного сока и его

рого образовался извлеченного сока по разности введенного сухого сефадекса образовался извлеченного сока, используя соотношения между его ает при полном набухании, азующийся при полном на-

по формуле

- объем жидкости, которая овавшейся в опыте марки, я, который образуется при сефадекса после до-пределенного объема воды; му из желудка гель сефа-х сефадекс достигает пол-сти, находящейся над сло-ю сосуда после добавления иному из желудка.

анулы сефадекса отделяют разбавляют водой или пользуют для определения сока. Определение pH сока рода которого погружают чие сефадекса в соке pH

5 мышах массой 20—22 г —180 г. Для введения се-хлорвиниловую трубочку мм, длиной 120 мм; для чешин диаметром 3 мм, чки заполняли сефадексом стороны срезанного конца. убочки в полость желудка через 2,5 ч после введения разовавшийся гель, содер-тельный сок. Определяли бирки. К гелям, извлечен-но 2 мл воды, а к гелям,. После тщательного пере-и оставляли отстаиваться вавшегося геля сефадекса Для определения y_1 и y_2

проделали следующий опыт. Один грамм сухого сефадекса той же марки смешали с избытком 0,1 н раствора HCl и через 2,5 ч набухания взвесь тщательно перемешали. Затем ее оставили отстаиваться в течение 15 мин, т. е. на время отстаивания и взвеси сефадекса, извлеченного из полости желудка. При этом оказалось, что 1 г использовавшегося сефадекса после набухания в течение 2,5 ч при наличии достаточного объема жидкости и последующего отстаивания в течение 15 мин поглощает 10,8 мл жидкости (y_1), а образовавшийся при этом гель за-нимает объем 11,4 мл (y_2). Используя эти результаты и приведенную выше формулу, рассчитали объем сока, извлеченного из желудка каждого животного.

Для определения протеолитической активности и кислотности извлеченного сока его предварительно разводили в 40 раз. При этом к каждой смеси, содержащей сок, сефадекс и воду, добавили еще такой объем воды, который необходим для того, чтобы в итоге получить указанное разведение сока. После тщательного перемешивания сефадекс отделяли центрифугированием, а надосадочную жидкость использовали для определения кислотности и протеолитической активности сока. Кислотность определяли по Михаэлису, используя в качестве индикаторов фенолфталеин, диметиламиноазобензол и ализаринсульфонокислый натрий, протеолитическую активность определяли по Ансену (см. [2]). При этом смешивали 0,1 мл надосадочной жидкости, 0,9 мл цитратного буфера (pH 1,7) и 1 мл раствора гемоглобина. Смесь инкубировали в ультратермостате в течение 1 ч, затем к ней добавляли 2 мл 5 %-ного раствора ТХУ и через 15 мин фильтровали. Фильтрат спектрофотометрировали при 280 нм. Протеолитическую активность выражали в единицах экстинкции (ед. экст.).

Предложенным способом из желудка мышей получили 0,17 мл \pm 0,05 мл пищеварительного сока, протеолитическая активность которого составляла 0,28 ед. экст. \pm 0,02 ед. экст.

Желудочный сок крыс, полученный с помощью предложенного нами метода, характеризовался следующими значениями количественных и качественных показателей:

Объем, мл	2,85 \pm 0,01
pH	1,57 \pm 0,02
Кислотность общая, мл NaOH/100 мл сока	74,20 \pm 2,36
Кислотность свободная, мл NaOH/100 мл сока	23,30 \pm 1,60
Кислотность связанные, %	0,71 \pm 0,002
Протеолитическая активность, ед. экст.	0,58 \pm 0,02

Протеолитическая активность сока, полученного у крыс предложен-ным нами методом, оказалась в 2,7 раза выше протеолитической актив-ности сока, полученного с помощью фистулы (0,22 ед. экст. \pm 0,01 ед. экст.).

По-видимому, это связано с тем, что при получении сока по предложенной методике, животных не подвергали хирургическим вмешательствам, с которыми неизбежно связано воздействие на организм таких неблагоприятных факторов, как травма тканей, болевые раздражения, воспаление и т. д. К тому же при получении сока по описанному способу сок собирали при наличии в полости желудка обычного для слизистой оболочки раздражителя и животных при этом не фиксировали, а содержали в привычных для них условиях. Вероятно, полученный по предложенному методу сок больше соответствует тому, который про-дуктируется у мелких животных в физиологических условиях, чем сок, получаемый с помощью фистулы или другой применявшейся до сих пор методики.

Использование предлагаемого метода расширяет возможности по-лучения сока при таких исследованиях, при которых исключается при-

менение ранее использовавшихся методов или фиксация животных (например, при изучении влияния на организм пониженного давления, когда животных помещают в барокамеру, или при проведении исследований по космической биологии, когда животных помещают в центрифугу).

I. A. Frankov, T. N. Sokolova

A NEW METHOD TO OBTAIN THE GASTRIC JUICE IN SMALL ANIMALS

A new method is suggested to obtain gastric juice in small animals. This technique is considered to be preferable in comparison with other known techniques as it permits obtaining gastric juice without surgery which is inevitably associated with such unfavorable factors as tissue traumas, pain irritation, inflammation, etc. According to the described technique the gastric juice is collected with the presence of stimulus (dry substance) in the gastric cavity. The animals are not fixed in this case but maintained under ordinary conditions. So, the obtained juice corresponds better to that produced in small animals under physiological conditions than the juice obtained using fistula or by another technique applied up to now.

Medical Institute, Ministry of Public Health of the Byelorussian SSR, Vitebsk

СПИСОК ЛИТЕРАТУРЫ

- Глазырина В. В. Простой метод изучения пищеварения у крыс // Бюл. эксперим. биологии и медицины. — 1951. — № 12. — С. 431—433.
- Лабораторные методы исследования в клинике. Справочник / Под ред. В. В. Меньшикова. — М. : Медицина, 1987. — 368 с.
- Komarov S., Shay H., Rayport M., Fels S. Some observation on gastric secretion in normal rats // Gastroenterology. — 1944. — 3, N 5. — P. 406—413.
- Shay., Komarov S., Fels S., Merange D. et al. A simple method for the uniform production of gastric ulceration in the rat // Ibid. — 1945. — 5, N 1. — P. 43—61.

Витебск, мед. ин-т
М-ва здравоохранения БССР

Материал поступил
в редакцию 06.02.89

УДК [612.311+616.31—008.12]—073.178

А. Н. Ряховский, В. С. Райцес

Новый способ оценки функции жевания у человека

Для характеристики измельчения продуктов при жевании используются различные термины: «жевательная эффективность», «жевательная способность», «жевательный эффект», «жевательный индекс» и др. Однако в понимании этих терминов до сих пор существуют путаница и разнотечние [2—7, 10, 12]. Известные жевательные тесты обладают рядом существенных погрешностей: использование в качестве тестового материала естественных пищевых продуктов; критерий продолжительности жевания до рефлекса глотания или в течение заданного промежутка времени; пренебрежение энергозатратами жевательных мышц; отсталость методов анализа измельченного материала. Это приводит к снижению объективности и точности оценки результатов, ограничивает перспективы применения жевательных проб.

Цель нашей работы — теоретическое обоснование, разработка и апробация более совершенной жевательной пробы.

Методика

Принципиальное отличие имеющихся заключает по трем основным показания работе по измельчательной способности порции при жевании, эффективности (E) — стовой порции ко всей

Полезную работу ских законов определяет Кирпичева) [1] в зависимости Затраченную работу о ческой активности групп

Обследуемому предваряется 20 жевательным двух цилиндров отверстиями регистрация правых и левых (Σи-ЭМГ) и время жевания установку (экспериментальной медицинской пропускания 10-ти минутного анализа миограммы

Унипольярные серебряные электроды на моторных точках укрепляли на мочке уха, находился в экзарии суммарной биоэлектрической активности мышц вычисляли по шкале самописца аналитическую электромиограмму по записи 20-минутного анализа — 4 с

Измельченный в ротовой полости рта и разделением под потоком вод последующего сита от раз, отверстия сит — к наименьшему — 0,25 мм, сили в отдельные гранулы с поправкой на объем классов крупности не ходной тестовой порции. Факт использования за частиц каждого класса метрические значения. Значение средней величины по формуле $d_{ср} = \sqrt{\frac{1}{k}} W$, где W — диаметр частиц тестовых измельченных частиц, k — измельчительную способность ко времени жевания и

— $\frac{1}{\sqrt{k}} W$, где W —

диаметр частиц тестовых измельченных частиц, k — измельчительную способность ко времени жевания и

Физиол. журн., 1990, т. 36

Методика

Приципиальное отличие предлагаемой нами жевательной пробы от имеющихся заключается в том, что оценку функции жевания проводят по трем основным показателям: жевательному эффекту (A) — полезная работа по измельчению тестовой порции продукта при жевании; жевательной способности (M) — полезная работа по измельчению тестовой порции при жевании, совершенная за единицу времени; жевательной эффективности (E) — отношение полезной работы по измельчению тестовой порции ко всей затраченной.

Полезную работу вычисляют по одному из известных математических законов определения работы дробления (Риттингера, Бонда, Кика-Кирпичева) [1] в зависимости от раздробленности тестового продукта. Затраченную работу определяют по интегралу суммарной биоэлектрической активности группы жевательных мышц.

Обследуемому предлагали пережевывать на одной из сторон зубного ряда 20 жевательными движениями тестовую порцию, состоящую из двух цилиндров отверженной в формалине 20 %-ной желатины. Одновременно регистрировали интеграл суммарной биоэлектрической активности правых и левых собственно жевательных и височных мышц ($\Sigma_{\text{и}}\text{-ЭМГ}$) и время жевания (t). В качестве усилителя биоэлектрических сигналов использовали универсальную электрофизиологическую установку (экспериментально-производственных мастерских НИИ экспериментальной медицины АМН СССР типа УЭФ-ПТ) в режиме полосы пропускания 10—3500 Гц, а в качестве интегрирующего прибора — анализатор миографический АМГ-1.

Унипольные серебряные электроды диаметром (d) 7 мм укрепляли на моторных точках мышц обследуемого; индифферентный электрод укрепляли на мочке уха, заземляющий — на запястьи. При этом пациент находился в экранированной камере в положении сидя. Интеграл суммарной биоэлектрической активности группы основных жевательных мышц вычисляли по формуле $\Sigma_{\text{и}}\text{-ЭМГ-н/КТ}$, где N — число делений шкалы самописца анализатора, T — выбранное время анализа, K — чувствительность электромиографа, a — поправочный коэффициент. При размахе по записи 20 мм калибровочного сигнала 0,5 мВ ($a=1$) и времени анализа — 4 с формула приобретала вид $\Sigma_{\text{и}}\text{-ЭМГ-н} \cdot 10^{-1}$ (мВ·с).

Измельченный в результате жевания тестовый материал извлекали из полости рта и разделяли на фракции (классы) крупности просеиванием под потоком воды через набор сит (диаметр отверстий каждого последующего сита отличается от предыдущего не более чем в $\sqrt{2}$ раз, отверстия сит — круглые, диаметр наибольшего отверстия — 14 мм, наименьшего — 0,25 мм). Частицы каждого класса крупности переносили в отдельные градуированные пробирки и определяли их объем с поправкой на объем воды между частицами (сумма объемов всех классов крупности не должна выходить за пределы $\pm 5\%$ объема исходной тестовой порции — 4,2 см³). Для определения жевательного эффекта использовали закон Бонда. Вначале определяли средний диаметр частиц каждого класса крупности. Для этого вычисляли средние арифметические значения диаметра отверстий сит, ограничивающих функции. Значение среднего диаметра частиц измельченной смеси вычисляли по формуле $d_{\text{ср}} = \left(\sum V / \sum \frac{V}{D^2} \right)^{1/2}$, где V — объемный выход частиц узкого класса крупности, d — средний диаметр зерен этого класса. Жевательный эффект (усл. ед.) определяли по формуле $A = k \left(\frac{1}{\sqrt{d_{\text{ср}}}} - \frac{1}{\sqrt{D_{\text{ср}}}} \right) W$, где W — объем тестовой порции (4,2 см³), $D_{\text{ср}}$ — средний диаметр частиц тестовой порции (16 мм), $d_{\text{ср}}$ — средний диаметр измельченных частиц, k — коэффициент пропорциональности ($k=1$). Жевательную способность определяли отношением жевательного эффекта ко времени жевания и выражали в условных единицах на секунду.

Относительную жевательную эффективность вычисляли по формуле $E = a \frac{A}{\sum_u \text{ЭМГ}} \cdot 100 \%$, где a — поправочный коэффициент, составляющий 0,5; A — жевательный эффект; $\Sigma_u \text{ЭМГ}$ — интеграл суммарной биоэлектрической активности группы основных жевательных мышц.

Результаты и их обсуждение

Апробацию предлагаемой нами жевательной пробы проводили на группе людей (13 мужчин и 12 женщин) в возрасте 17—25 лет с интактными зубными рядами, ортогнатическим прикусом. Представляло интерес

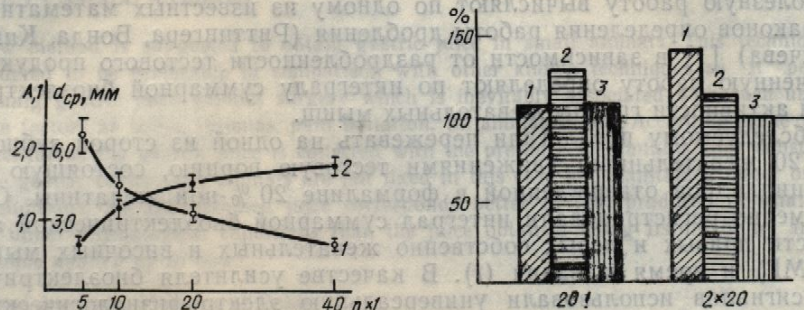


Рис. 1. Зависимость среднего диаметра (d_{cp}) частиц измельченного материала (1) и жевательного эффекта (2) от числа жевательных движений (n): 1 — $d_{cp} \pm t_{0,95} m$; 2 — $A \pm t_{0,95} m$.

Рис. 2. Изменение показателей жевательного эффекта (1), интеграла суммарной биоэлектрической активности группы основных жевательных мышц (2) и времени жевания (3) при увеличении жевательных усилий (20!) и объема тестовой порции (2×20) (сравниваются с теми же показателями для 20 жевательных движений, принятых за 100 %).

изучить характер изменений показателей пробы под действием изменения числа жевательных движений, их силы и объема тестовой порции.

Известно, что измельченность продукта возрастает с увеличением числа жевательных движений, т. е. диаметр частиц измельченного материала уменьшается. В традиционном понятии — жевательная эффективность увеличивается. Однако проведенные нами исследования с применением предложенной пробы показали, что жевательная эффективность в этом случае не увеличивается, а, наоборот, уменьшается. Объясняется это тем, что с увеличением числа жевательных движений средний диаметр частиц измельченного тестового материала экспоненциально уменьшается, а жевательный эффект соответственно возрастает (рис. 1). С каждым последующим жевательным движением все большее относительное число частиц (% общего числа) попадает под воздействие жевательного давления, и поэтому прирост жевательного эффекта становится меньшим. Поскольку интеграл суммарной биоэлектрической активности группы основных жевательных мышц и время жевания с возрастанием числа жевательных движений увеличиваются линейно, то жевательная эффективность и жевательная способность уменьшаются.

По данным литературы [4, 8, 12, 13], при увеличении объема тестовой порции жевательная эффективность уменьшается, так как диаметр частиц измельченного материала увеличивается. Использование предложенной нами методики показало, что жевательная эффективность в данном случае не уменьшается, а увеличивается. Действительно, средний диаметр частиц измельченного материала возрастает при увеличении объема тестовой порции, однако, поскольку работа, затраченная на дробление, совершается над вдвое большей по объему тестовой порцией, жевательный эффект и жевательная способность (время жевания при этом практически не изменяется) возрастают. Увеличение объема тестовой порции приводит к увеличению жевательных усилий,

необходимых для дробления с использованием окклюзионным увеличением пальцевое увеличение затраченных

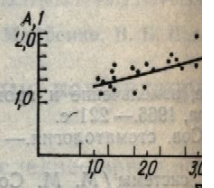


Рис. 3. Зависимость жевательной активности группы основных жевательных движений (20) от времени жевания.

Рис. 4. Зависимость жевательной активности группы основных жевательных движений:

1 — кривая, полученная по экспериментальным данным.

увеличению жевательных усилий (работа на единицу времени) и, следовательно, с увеличением жевательной способности. Жевательная система развивается с возрастом, что привлекает изучение жевательных усилий и их результатов. Увеличение жевательной способности группы основных жевательных мышц приводит к улучшению жевательных усилий и, следовательно, к улучшению жевательной способности. Жевательная способность группы основных жевательных мышц определяется жевательной способностью группы основных жевательных мышц и, следовательно, к улучшению жевательной способности группы основных жевательных мышц.

При увеличении числа жевательных движений эффективность жевательного эффекта отдельных мышц определяется уровнем биоэлектрических процессов в мышцах жевательной группы. При увеличении числа жевательных движений эффективность жевательного эффекта отдельных мышц определяется уровнем биоэлектрических процессов в мышцах жевательной группы. При увеличении числа жевательных движений эффективность жевательного эффекта отдельных мышц определяется уровнем биоэлектрических процессов в мышцах жевательной группы.

Таким образом, предложенная методика позволяет изучать жевательную способность при различных объемах тестовых порций, что позволяет определить оптимальные параметры процесса жевания и диагностики жевательной способности.

*A. N. Ryakhovsky, V. S. Rai
A NEW APPROACH TO EVALUATION OF Masticatory Performance*

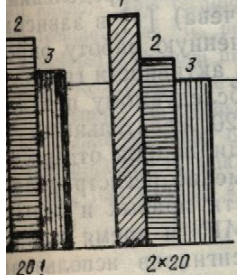
A method is proposed to evaluate masticatory performance, chewing efficiency and masticatory capacity. It permits studying the chewing effect, chewing time and chewing capacity under different conditions of chewing.

Физиол. журн., 1990, т. 36, № 3

вычисляли по формуле коэффициент, составляющий интеграл суммарной биоэлектрической активности мышц.

обы проводили на группах 17–25 лет с интактными.

Представляло интерес



мелчченного материала (1) и жевательных движений (n): 1 —

(1), интеграла суммарной биоэлектрической активности группы основных жевательных мышц ($\Sigma_{\text{ж}}\text{-ЭМГ}$) при постоянном числе (20) жевательных движений.

бы под действием изменения объема тестовой порции, возрастает с увеличением частиц измельченного материала — жевательная эффективность исследования с приложенной жевательной эффективностью, уменьшается. Объем жевательных движений материала экспоненциально соответствует возрастанию жевательным движением общего числа) попадает под определение прироста жевательного интеграла суммарной биоэлектрической активности мышц и времени жевательных движений увеличиваются и жевательная способность

при увеличении объема тестового материала возрастает, так как диаметр ается. Использование предварительная эффективность величается. Действительно, материал возрастает при уве- поскольку работа, затраченной по объему тестовой способность (время жевания) возрастают. Увеличение числу жевательных усилий,

необходимых для дробления материала, что связано с более полным использованием окклюзионных поверхностей зубных рядов и соответствующим увеличением площади жевательного давления. Поскольку относительное увеличение жевательного эффекта значительно превосходит увеличение затраченных усилий (рис. 2), то это приводит к общему

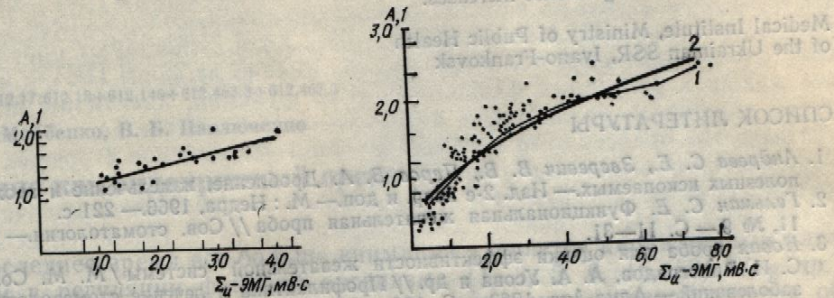


Рис. 3. Зависимость жевательного эффекта (A) от интеграла суммарной биоэлектрической активности группы основных жевательных мышц ($\Sigma_{\text{ж}}\text{-ЭМГ}$) при постоянном числе (20) жевательных движений.

Рис. 4. Зависимость жевательного эффекта (A) от интеграла суммарной биоэлектрической активности группы основных жевательных мышц ($\Sigma_{\text{ж}}\text{-ЭМГ}$) при разном числе жевательных движений:

1 — кривая, полученная по экспериментальным данным; 2 — теоретическая кривая.

увеличению жевательной эффективности. Удельная же полезная работа (работа на единицу объема тестовой порции) уменьшается.

Жевательная система каждого индивидуума характеризуется различным развитием жевательных мышц. Поэтому внимание исследователей привлекает изучение зависимости показателей жевательных проб от жевательных усилий обследуемых. До сих пор эти попытки не давали положительных результатов [9, 11]. Предложенная нами методика позволила впервые показать наличие прямопропорциональной зависимости между жевательными усилиями, отражением которых служил интеграл суммарной биоэлектрической активности, и жевательным эффектом при постоянном числе жевательных движений (для 20 жевательных движений коэффициент корреляции составляет 0,78; $P < 0,001$; рис. 3). Уравнение регрессии имеет вид $y = 0,998 + 0,233x$, где y — жевательный эффект, x — интеграл суммарной биоэлектрической активности группы основных жевательных мышц. Таким образом, чем больше жевательные усилия, тем выше жевательный эффект.

При увеличении числа жевательных движений зависимость жевательного эффекта от интеграла суммарной биоэлектрической активности описывается уравнением $y = 0,9378x^{0,472}$ (рис. 4). Развитие патологических процессов зубочелюстной системы, приводящих к снижению жевательной эффективности, вызывает смещение линии регрессии вправо и вниз.

Таким образом, предлагаемая жевательная проба, обладая более высокой точностью и объективностью по сравнению с известными методами, позволяет по-новому оценить механическое дробление продуктов при жевании, выявить новые закономерности и взаимосвязи элементов процесса жевания, а также служить объективным критерием диагностики и оценки результатов лечения стоматологических заболеваний.

A. N. Ryakhovsky, V. S. Raitses

A NEW APPROACH TO ESTIMATE THE HUMAN CHEWING FUNCTION

A method is proposed to estimate mastication by three indices: chewing effect, chewing performance, chewing efficiency. Definitions are given for these terms. A new chewing test is described, permits studying the influence of the number of chewing strokes, chewing

force and volume of test portion on the mastication using a group of 25 dentate persons aged 17–25 years with class I occlusion. A new approach to the estimation of chewing efficiency changes traditional views. A strong positive correlation is first found between chewing effect (A) and integrated bioclectrical activity (J) of chewing muscles with the constant number of chewing strokes. A relation between A and J is established when the number of chewing strokes increases.

Medical Institute, Ministry of Public Health
of the Ukrainian SSR, Ivano-Frankovsk

СПИСОК ЛИТЕРАТУРЫ

1. Андреев С. Е., Зверевич В. В., Перов В. А. Дробление, измельчение и грохочение полезных ископаемых.—Изд. 2-е испр. и доп.—М.: Недра, 1966.—221 с.
2. Гельман С. Е. Функциональная жевательная проба // Сов. стоматология.—1932.—11, № 9.—С. 11—31.
3. Новая проба для оценки эффективности жевательной системы / М. М. Соловьев, С. И. Виноградов, А. А. Усова и др. // Профилактика и лечение стоматологических заболеваний.—Алма-Ата, 1983.—С. 193—196.
4. Рубинов И. С. Физиологические пробы при учете эффективности акта жевания // Стоматология.—1951.—30, № 1.—С. 51—59.
5. Dahlberg B. The masticatory effect: A new test and analysis of mastication in more or less defective set of teeth // Acta Med. Scand.—Suppl., N 139.—1942.—181 р.
6. Gunne H. S. Masticatory efficiency. A new method for determination of the breakdown of masticated test material // Acta Odontol. Scand.—1983.—41, N 5.—Р. 271—276.
7. Helkimo E., Carlsson G. E., Helkimo M. Chewing efficiency and state of dentition // Ibid.—1978.—36.—Р. 33—41.
8. Lucas P. W., Luke D. A. Optimum mouthful for food comminution in human mastication // Arch. Oral Biol.—1984.—29, N 3.—Р. 205—210.
9. Manly R. S., Factors affecting masticatory performance and efficiency among young adults // J. Dent. Res.—1952.—30.—Р. 874—882.
10. Manly R. S., Braley L. C. Masticatory performance and efficiency // Ibid.—1950.—29, N 4.—Р. 448—462.
11. Perez P., Kapur K. K., Garrett N. R. Studies of biological parameters for denture design. Part III. Effect of occlusal adjustment, base retention, and fit on masseter muscle activity and masticatory performance // J. Proth. Dent.—1985.—53, N 1.—Р. 69—73.
12. Sheine W. S., Kay R. F. A model for comparison of masticatory effectiveness in primates // J. Morph.—1982.—172.—Р. 139—149.
13. Yurcstas A. A. The masticatory act // J. Proth. Dent. 1965.—15.—Р. 248—260.

Ивано-Франковск. мед. ин-т
М-ва здравоохранения УССР

Материал поступил
в редакцию 25.06.89

Обзоры

УДК 612.17:612.18+612.146+612

А. А. Мойбенко, В. Б. Ша

хн в эндокардиаль

Сердце как эндокар

дионный контрак

ционный эндокард

В последнее время ве

ниям в регуляции ф

Если роль кардиоге

щепризнаана, то в от

гуморальных влиян

было. Тем не менее,

нарную венозную кр

веществ: катехолам

кислоты — простаци

и др. Можно полага

теза эйкозаноидов, и

це, выделение этих

ферических сосудист

в емкостных сосудах

понирание крови в

сердца.

Наряду с этим

тиды, как субстанци

мощным вазоконстри

тид [13] и другие

регуляторные функци

идных пептидов в ре

лишь с открытием п

понятие о сердце как

гане, способном с

регуляции функций

фактов. Были уста

предсердий, условия

тяжении ткани пред

лленные раздражение

электролитный обме

миоцитах предсердн

гранулы, содержимо

жет выделяться в

в кровь. Установлен

сердий изменяется в

обмена. Ограничени

ных животных сущес

тиях и, наоборот, у

лярность кардиоми

ских методов устан

богатые триптофано

Решающие экс

биологически актив

проводены сотрудни

сам гомогенат пред

тенсивный диурез и

Решающие экс

биологически актив

проводены сотрудни

сам гомогенат пред

тенсивный диурез и

Обзоры

Сердце как эндокринный орган

В последнее время все больше внимания уделяется кардиогенным влияниям в регуляции функций организма [1, 3, 5, 6, 16, 50, 57 и др.]. Если роль кардиогенных рефлексов в регуляции кровообращения общепризнана, то в отношении физиологического значения кардиогенных гуморальных влияний до настоящего времени четких представлений не было. Тем не менее, достаточно хорошо известно, что из сердца в коронарную венозную кровь выделяется целый ряд биологически активных веществ: катехоламины [76], продукты метаболизма арахидоновой кислоты — простациклин, тромбоксан, лейкотриены и гистамин [44] и др. Можно полагать, что при интенсивной активации системы синтеза эйкозаноидов, например, при развитии иммунной реакции в сердце, выделение этих веществ будет достаточным для реализации периферических сосудистых реакций и, в частности, депонирования крови в емкостных сосудах [4]. Блокада синтеза эйкозаноидов устраниет депонирование крови и развитие гипотензии при иммунном повреждении сердца.

Наряду с этим в сердце обнаружены такие высокоактивные пептиды, как субстанция P, соматостатин, нейропептид Y, обладающий мощным вазоконстрикторным действием, вазоактивный кишечный пептид [13] и другие вещества, выполняющие, вероятно, специфические регуляторные функции. Существует также представление о роли опиоидных пептидов в регуляции сердечно-сосудистой системы [2]. Однако лишь с открытием предсердного натрийуретического фактора (ПНУФ) понятие о сердце как о гормональном органе или, во всяком случае, органе, способном с помощью гуморальных механизмов участвовать в регуляции функций организма, было поставлено на твердую почву фактов. Были установлены: локализация ПНУФ в кардиомиоцитах предсердий, условия выделения его в межклеточную жидкость при растяжении ткани предсердий, циркуляция его в крови и мощные, обусловленные раздражением специфических рецепторов влияния на диурез, электролитный обмен и сосудистый тонус. Показано [45], что в кардиомиоцитах предсердий животных и человека расположены секреторные гранулы, содержимое которых путем экзоцитозной экструзии [59] может выделяться в межклеточную жидкость и в дальнейшем попадать в кровь. Установлено, что количество гранул в кардиомиоцитах предсердий изменяется в зависимости от условий водного и электролитного обмена. Ограничение поступления воды и натрия в организм подопытных животных существенно увеличивает количество гранул в предсердиях и, наоборот, усилие поступления натрия и воды снижает гранулярность кардиомиоцитов предсердий [16]. С помощью гистохимических методов установлено, что в гранулах содержатся полипептиды, богатые триптофаном и серосодержащими аминокислотами [25].

Решающие эксперименты для понимания физиологической роли биологически активных веществ, содержащихся в предсердиях, были проведены сотрудниками группы de Bold [25, 68], которые, вводя крысам гомогенат предсердия крысы, обнаружили быстронаступающие интенсивный диурез и натрийурез.

a group of 25 dentate persons
to the estimation of chewing
relation is first found between
of chewing muscles with the
A and J is established when

ние, измельчение и грохочение
еды, 1966.—221 с.

// Сов. стоматология.—1932.—

ой системы / М. М. Соловьев,
а и лечение стоматологических
эффективности акта жевания //

analysis of mastication in磨牙
Suppl., N 139.—1942.—181 p.
for determination of the break-
id.—1983.—41, N 5.—P. 271—

iciency and state of dentition //

communition in human masti-
10.

ce and efficiency among young

and efficiency // Ibid.—1950.—

biologic parameters for denture
retention, and fit on masseter
roth. Dent.—1985.—53, N 1.—

masticatory effectiveness in
965.—15.—P. 248—260.

Материал поступил
в редакцию 25.06.89

один из первых авторов
журнала пишет о том, что
они изучают гуморальные
влияния на макромолекулы
животного организма, включая
гормоны и ферменты. Их
исследования показывают, что
гуморальные механизмы
регуляции жизнедеятельности
животных и человека
являются основой для понимания
биологии и физиологии организма.

изол. журн., 1990, т. 36, № 3

Биологически активное вещество, содержащееся в гомогенате предсердий, было названо предсердным натрийуретическим фактором (ПНУФ). В настоящее время считают, что ПНУФ — это группа пептидов молекулярной массой 2500—13000 Д. Установлен аминокислотный состав различных пептидов (от 21 до 33 аминокислот) [55, 71]. Эти пептиды образуются из пептида-предшественника, содержащего у крыс 152, а у человека 151 аминокислоту [25]. Хотя существуют определенные неясности в вопросах о том, какая именно из форм ПНУФ наиболее важна в регуляции физиологических функций, идентичны ли пептиды, описанные различными авторами, тем не менее есть основания считать, что предсердные пептиды имеют гомологичное строение, а их биологическая активность определяется наличием дисульфидного цистеин-цистеинового мостика [43, 55], длиной аминокислотной цепочки полипептида [16] и наличием COOH-терминали [57]. Наиболее исследованы пептиды с 21, 23 и 24 аминокислотами у крыс. Существуют различные термины для обозначения предсердных пептидов: предсердный натрийуретический фактор [16, 43], кардионатрин [31], атриопептины (I, II) [57], аурикулин и атрин [52], кардиодилатин [34]. Выделен также предсердный натрийуретический пептид человека [43], который подобен пептиду крысы, за исключением того, что в аминокислотной цепочке в позиции 17 изолейцин заменен метионином.

Биосинтез ПНУФ происходит в основном в миокардиоцитах предсердий и, возможно, в ЦНС [60]. Факторами активации синтеза могут быть некоторые биологически активные вещества, такие как калликреин, трипсин [24], ацетилхолин (стимуляция M-холинорецепторов), адреналин (стимуляция α -адренорецепторов) [68], аргинин-вазопрессин и др. [77]. Предполагается, что вторичным мессенджером сопряжения стимул — секреция в кардиомиоцитах предсердий является инозитолтрифосфат [68]. Существуют данные о роли стероидов, ионов натрия и кальция, клонидина, а также гипоксии в активации секреции ПНУФ [10, 11, 48, 68].

Основным физиологическим стимулом секреции ПНУФ является, по мнению большинства исследователей, растяжение предсердий. Прямые данные в этом отношении получены на препаратах изолированного предсердия крысы в опытах *in vitro* [8], в которых показано, что растяжение предсердия постоянным воздействием в 0,5 г в течение 30 мин приводит к пикообразному увеличению скорости выделения ПНУФ до 122 фмоль/мин по сравнению с исходной — 30 фмоль/мин. Максимальная концентрация ПНУФ сохранялась в течение 5 мин и возвращалась к исходной в течение 25 мин, несмотря на продолжающееся растяжение. Повторное растяжение, вызванное большим воздействием (1 г), сопровождалось существенно меньшей скоростью выделения ПНУФ, что, однако, не было результатом истощения пептида в препарате изолированного предсердия.

Увеличение скорости выделения ПНУФ при растяжении изолированного сердца крыс наблюдалось в опытах Ruskoaho и соавт. [63]. При этом показана прямая зависимость между давлением в правом предсердии и содержанием ПНУФ в перфузате. Аналогичные данные получены в опытах на наркотизированных собаках [29]. При повышении давления в левом предсердии до 11 см вод. ст. наблюдалось увеличение содержания ПНУФ в плазме от 97 до 135 пг/мл, причем ни vagотомия, ни β -адреноблокада не влияли на это увеличение, что свидетельствует о преимущественном значении прямого, а не рефлекторного, механизма выделения ПНУФ [50]. Физиологическим стимулом выделения ПНУФ является увеличение объема циркулирующей крови. Увеличение относительного объема крови на 20% приводит к двукратному повышению концентрации ПНУФ в плазме. Этот эффект снижается после удаления ушка правого предсердия [66].

С помощью радиоиммунных методов установлено, что концентрация ПНУФ в плазме колеблется, по данным различных исследователей, в достаточно широких пределах, составляя около 40 фмоль/мл плазмы

(100 пг/мл) [51]. Педей содержится 23—6 нозной крови корона артериальной и вено ном выделении ПНУ миоцитов предсердий

Инактивация ПГ ческого расщепления коцитов и тромбоцит

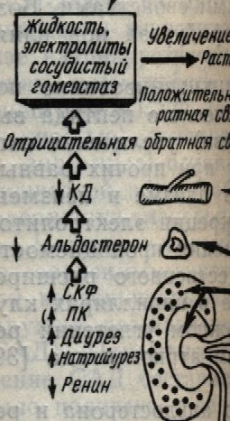


Схема действия атриопептидов на кровеносные сосуды и мозг в гомеостазе [77].

данные о роли каллиактивности ПНУФ и перфузируемую почку

Решающим этапом действия ПНУФ явилось для внутреннего в широким и, по-видимому, логического действия влияние на функции почек [14].

С помощью радиоизотопов ^{125}I (^{125}I -ПНУФ) установлено, что ПНУФ в почках стоках головного мозга, бочках, восходящей волнистым, в гладкомышечной артерии [65], в эндотелии коркового слоя над

Физиол. журн., 1990, т. 36, № 3

щееся в гомогенате предиуретическим фактором ПНУФ — это группа пептиновлен аминокислотный нокислот) [55, 71]. Эти пептиды, содержащего у крыс существуют определено из форм ПНУФ наибольший, идентичны ли пептиде менее есть основания аналогичное строение, а их аминокислотного цистеинокислотной цепочки по [57]. Наиболее исследованы крысы. Существуют разные пептиды: предсердный тирин [31], атриопептины и дилатин [34]. Выделен человека [43], который в аминокислотной цепи.

в миокардиоцитах предиктивации синтеза могут за, такие как: калликреин-холинорецепторов), ад-8], аргинин-вазопрессин сцепджером сопряжения дий является инозитол-стероидов, ионов натрия иниации секреции ПНУФ

реции ПНУФ является, жение предсердий. Пряческатах изолированного оных показано, что рас- в 0,5 г в течение 30 мин ти выделения ПНУФ до фмоль/мин. Максимальное 5 мин и возвращалась одолжающееся растяже- нием воздействием (1 г), тью выделения ПНУФ, пептида в препарате изо-

или же введение при растяжении изолиро- Ruskoaho и соавт. [63].

ду давлением в правом ге. Аналогичные данные аках [29]. При повыше- ст. наблюдалось увели- до 135 пг/мл, причем ни это увеличение, что сви- мого, а не рефлектори- огическим стимулом вы- циркулирующей крови. 0% приводит к двукрат- ме. Этот эффект снижа- [66].

новлено, что концентра- различных исследователей, до 40 фмоль/мл плазмы

(100 пг/мл) [51]. По данным Gutkowska [39], в плазме здоровых людей содержится 23–63 пг/мл ПНУФ. Содержание ПНУФ в плазме венозной крови коронарного синуса в несколько раз выше, чем в плазме артериальной и венозной крови, что свидетельствует о преимущественном выделении ПНУФ из сердечной ткани и, в частности, из кардиомиоцитов предсердий [50].

Инактивация ПНУФ в крови происходит в результате протеолитического расщепления пептида; предполагается участие ферментов, лейкоцитов и тромбоцитов в этом процессе [73]. Вместе с тем существуют

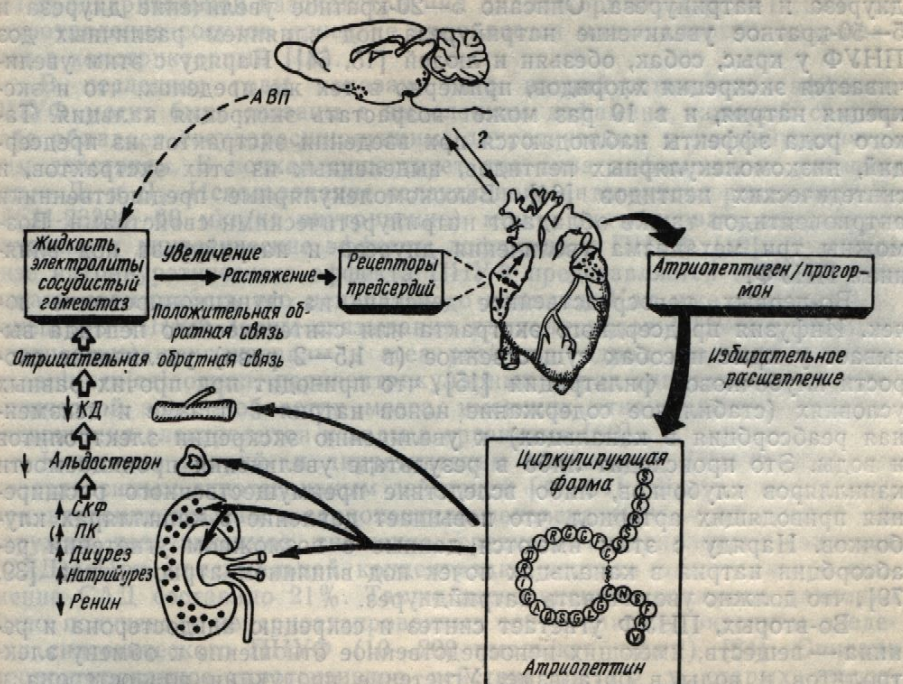


Схема действия атриопептина как звена, связывающего сердце, почки, надпочечники, кровеносные сосуды и мозг в комплексную гормональную систему, которая включается в гомеостаз [77].

С помощью радиолигандов, в частности ПНУФ, меченного изотопом ^{125}I (^{125}I -ПНУФ), обнаружены зоны связывания (рецепторные зоны ПНУФ) в почках, надпочечниках, сосудах и сердце, некоторых участках головного мозга. Рецепторы к атриопептидам обнаружены в клетках, восходящей петле, собирательных трубочках почки у собак [26], в гладкомышечных клетках аорты кролика [56], в почечной, брыжеечной артерии [65], на эндотелиальной поверхности всех камер сердца [12], в эндотелиальных и гладкомышечных клетках артерий и вен коркового слоя надпочечников, в катехоламинсодержащих клетках мозгового слоя надпочечников [12]. Наряду с этим, рецепторные зоны

с высокой плотностью связывания выявлены в ядрах солитарного тракта, area postrema, subfornical organ, гипофизе [60]; есть предположение, что в гипофизе может осуществляться синтез атриопептидов [53]. В пользу этого предположения свидетельствуют данные о том, что гипофизэктомия уменьшает выброс пептида при нагрузке организма жидкостью [80].

Основной физиологический эффект ПНУФ при его однократном внутривенном введении состоит в быстром (в течение 5 мин) интенсивном, но относительно кратковременном (около 20 мин), увеличении диуреза и натрийуреза. Описано 5—20-кратное увеличение диуреза и 5—50-кратное увеличение натрийуреза под влиянием различных доз ПНУФ у крыс, собак, обезьян и людей [15, 64]. Наряду с этим увеличивается экскреция хлоридов, примерно в тех же пределах, что и экскреция натрия, и в 10 раз может возрастать экскреция кальция. Такого рода эффекты наблюдаются при введении экстрактов из предсердий, низкомолекулярных пептидов, выделенных из этих экстрактов, и синтетических пептидов [64]. Высокомолекулярные предшественники антриопептидов также обладают натрийуретическими свойствами. Возможны три механизма увеличения диуреза и натрийуреза под влиянием ПНУФ.

Во-первых, непосредственное действие на функционирование почек. Инфузия предсердного экстракта или синтетического пептида вызывает у крыс и собак существенное (в 1,5—2 раза) увеличение скорости клубочковой фильтрации [15], что приводит при прочих равных условиях (стабильное содержание ионов натрия в плазме и неизменная реабсорбция в канальцах) к увеличению экскреции электролитов и воды. Это происходит либо в результате увеличения проницаемости капилляров клубочков, либо вследствие преимущественного расширения приводящих артериол, что повышает давление в капиллярах клубочков. Наряду с этим имеются данные о возможном угнетении реабсорбции натрия в канальцах почек под влиянием атриопептида [39, 79], что должно увеличивать натрийдиурез.

Во-вторых, ПНУФ угнетает синтез и секрецию альдостерона и ренина — веществ, имеющих непосредственное отношение к обмену электролитов и воды в организме. Угнетение продукции альдостерона и его выделения показано на культуре клеток клубочковой зоны коры надпочечников и *in vivo* у крыс и людей [20]. ПНУФ угнетает ранние этапы стероидогенеза в коре надпочечников [20]. Торможение секреции ренина может происходить в результате изменения содержания ионов натрия в дистальной части нефрона и вследствие наблюдаемогося под влиянием ПНУФ увеличения почечного кровотока (см. ниже). Особенно отчетливо ингибирующий эффект ПНУФ на секрецию ренина и альдостерона проявляется при повышении исходного содержания этих веществ в крови [32]. На основании данных о физиологических эффектах альдостерона и продукта метаболизма ренина — аниотензина II, следует считать, что угнетение их синтеза и секреции должно приводить к увеличению почечного кровотока и торможению реабсорбции натрия в почках, а также в желудочно-кишечном тракте и слюнных железах, что будет сопровождаться повышением диуреза и натрийуреза. При этом следует, однако учитывать, что длительный латентный период натрийуретической реакции при уменьшении концентрации альдостерона ставит под сомнение участие альдостеронового механизма в быстрых изменениях натрийуреза под влиянием ПНУФ [57].

В-третьих, ПНУФ вызывает изменение гемодинамики в почках [9]. Существует мнение, что атриопептиды оказывают преимущественное вазодилататорное действие на почечные сосуды. Более интенсивное расслабление изолированных полосок почечных сосудов, чем сосудов других органов, отмечено Currie и соавт. [24] и Faison и соавт. [30]. В опытах [67], проведенных на ненаркотизированных собаках, показано, что под влиянием больших доз атриопептина происходит увеличение кровотока в левой и правой почках на 101 и 122 % соответственно

на фоне снижения венозных изменений тяж (печени, скелета, мозга). В связи с этим ПНУФ на активно держание альдостерон от исходного состояния с помощь ной почки существует без предварительного сопротивления сосудов. В последние годы ПНУФ могут быть себе обладает сосудистым действием. В первом — Д₁ и Д₂. Использование (5CH-23390, 60 мг/кг) блокирует диурез и угнетает натрийуретическую способность рецепторов ПНУФ (плотностью) локально, subfornical organ в оптической зоне — содержания электролитов. Наряду с наружным дозозависимым гипотензивным действием при введении крысами дозозависимого (САД). При максимальном САД состава было получено угнетение САД синтетической пролонгированной [38].

Вместе с тем, максимальный САД до тех пор, пока не достигнет 600 пг/мл, не имеет здоровых людей. Внутривенное введение в плазму гипотензивное давление у здоровых вещества в течение систолическое 36]. Таким образом, угнетение отдельных отделов гипоталамуса приводит к угнетению артерий ПНУФ на артерии глаза. По мнению авторов, проявляется в ботанических с высоким содержанием Lappet и St. ПНУФ у нормальных животных.

По данным авторов, ПНУФ является общего периферического депонирования как без наркоза, так и с наркозом. Давления в

идах солитарного тракта [60]; есть предположение о том, что гипоглазии организма жидкости при его однократном введение (5 мин) интенсивно (20 мин), увеличении диуреза и приемом различных доз. Наряду с этим увеличение предела, что и экспрессия кальция. Три экстрактов из предсердий этих экстрактов, иные предшественники скрытыми свойствами. Возникновение под влиянием функционирования пептического пептида выраза) увеличение склонности при прочих равных в плазме и неизмененности электролитов различия проницаемости существенного расширение в капиллярах клеточном угнетении приемом атриопептида [39],

на фоне снижения системного артериального давления и без существенных изменений кровотока в других регионарных сосудистых областях (печени, скелетных мышцах, тонкой и толстой кишке). В связи с этим следует отметить, что, так же, как и влияние ПНУФ на активность ренин-ангиотензин-альдостероновой системы (содержание альдостерона), эффекты ПНУФ на сосудистый тонус зависят от исходного состояния последнего. Показано, что предварительно суженные с помощью ангиотензина, норадреналина сосуда изолированной почки существенно расширяются под влиянием ПНУФ, тогда как без предварительной вазоконстрикции дилататорный эффект ПНУФ на сопротивление сосудов почек не проявляется или, напротив, извращается в констрикторный [18].

В последние годы показано, что натрийуретические эффекты ПНУФ могут быть связаны с выделением дофамина, который сам по себе обладает сосудорасширяющим, диуретическим и натрийуретическим действием. В почках существует два типа дофаминовых рецепторов — D_1 и D_2 . Использование селективного антагониста рецепторов D_1 (5CH-23390, 60 мкг/кг внутривенно) может ингибировать натрийуретические и диуретические эффекты дофамина и ПНУФ [19]. При анализе натрийуретического эффекта ПНУФ представляется важным учитывать возможность его центрального влияния. Как уже упоминалось, рецепторы ПНУФ (зоны связывания радиолигандов ПНУФ с высокой плотностью) локализованы в агеге postrema, ядрах солитарного тракта, subfornical organ, перивентрикулярных ядрах гипotalamus и преоптической зоне — областях мозга, имеющих отношение к регуляции содержания электролитов и воды в организме [60].

Наряду с натрий- и диуретическим эффектами, ПНУФ обладает дозозависимым гипотензивным действием [41, 64]. Hirata и соавт. [41] при введении крысам α -атриопептида человека (0,04—0,67 мкг/кг) обнаружил дозозависимое снижение среднего артериального давления (САД). При максимальной концентрации пептида относительное снижение САД составило 21%. Также дозозависимое снижение давления было получено у ненаркотизированных собак при внутривенном введении синтетического ПНУФ (10 — 200 пмоль/кг·мин $^{-1}$) [64]. Описано пролонгированное гипотензивное действие ПНУФ у старых животных [38].

Вместе с тем, по мнению Genest [36], ПНУФ не вызывает изменений САД до тех пор, пока его концентрация в плазме крови не превысит 600 пг/мл, что во много раз превышает его концентрацию в плазме здоровых людей (11,9 пг/мл) и больных гипертонией (13,5 пг/мл). Внутривенное введение 3,2 мкг/мин ПНУФ в течение 30 мин (концентрация в плазме 230—280 пг/мл) не оказывает эффекта на артериальное давление у здоровых людей и только инфузия 6,25 мкг/мин этого вещества в течение 45 мин (концентрация в плазме 625 пг/мл) снижала систолическое и диастолическое давление на 7 и 10 мм рт. ст. [16, 36]. Таким образом, несмотря на существенные различия данных, полученных отдельными исследователями, следует считать, что гипотензивный эффект ПНУФ у здоровых людей весьма умеренный. Определенные противоречия в литературе существуют в отношении влияния ПНУФ на артериальное давление гипертензивных животных и человека. По мнению Cantin и соавт. [17] гипотензивный эффект ПНУФ проявляется в большей мере у крыс с гипертонией и особенно у животных с высоким содержанием ренина в плазме. Однако, по сообщению Lappin и Smiths [49], характер снижения давления под влиянием ПНУФ у нормо- и гипертензивных животных аналогичен.

По данным одних исследователей, основой гипотензивного эффекта ПНУФ является расширение периферических сосудов и снижение общего периферического сопротивления (ОПС), а также, возможно, депонирование крови. Так, при инфузии ПНУФ в дозе 10 мкг/кг собакам без наркоза наряду со снижением САД и ОПС наблюдали снижение давления в левом предсердии, увеличение объема селезенки и зна-

чительное увеличение почечного кровотока без изменения кровотока в других органах [67]. По данным же других исследователей у наркотизированных и ненаркотизированных собак ПНУФ в дозе 3 мкг/кг с последующей инфузией 0,3 мкг·кг⁻¹·мин⁻¹ в течение 30 мин не вызывал изменений ОПС и центрального венозного давления, наряду со снижением минутного и ударного объема крови, а также снижением dp/dt_{max} [46]. Снижение сердечного и систолического выброса под влиянием атриопептина II показано также в опытах на крысах [49]. Авторы полагают, что гипотензивный эффект ПНУФ обусловлен снижением сердечного выброса.

В настоящее время трудно сказать, в чем причина противоречивых данных о влиянии ПНУФ на гемодинамику. Можно полагать, что эти противоречия обусловлены использованием не одинаковых по структуре и интенсивности действия ПНУФ, различием исходного состояния экспериментальных животных и, в частности, могут быть связаны с уровнем сохранности рефлекторной регуляции кровообращения в условиях эксперимента. Так, например, положительный инотропный эффект, выявлявшийся в опытах Shapiro и соавт. [67], был обусловлен рефлекторной стимуляцией деятельности сердца в условиях гипотензии и снимался блокадой β-адренорецепторов.

Несколько более определены данные о вазодилататорном действии ПНУФ. На изолированных препаратах сосудов различных регионарных областей показано, что аорта, почечная, сонная артерия очень чувствительны к действию ПНУФ; менее чувствительны — легочная артерия, бедренная вена, коронарное сосудистое русло, сосуды задних конечностей и практически не реагируют на ПНУФ базиллярная и ушная артерии [22, 30, 46]. Особенно выраженные вазодилататорные реакции под влиянием ПНУФ наблюдаются на предварительно сократившихся под влиянием норадреналина, ангиотензина, ионов калия полосках сосудов [55, 75 и др.]. По данным Wappor [54], в этих условиях полоски почечных артерий расслабляются на 82 % исходного значения. Интересно отметить, что на фоне действия ПНУФ сократительные эффекты полосок сосудов на действие норадреналина и ангиотензина существенно снижаются.

Вместе с тем отдельные исследователи наблюдали и противоположные по знаку вазомоторные реакции под влиянием ПНУФ: дозозависимое сужение коронарных сосудов, снижение давления в левом желудочке и dp/dt_{max} изолированного сердца морской свинки под влиянием атриопептина II. Вероятным объяснением разнородных сосудистых реакций может быть зависимость эффекта ПНУФ от исходного состояния сосудистого тонуса [18].

Вазодилататорное действие ПНУФ не зависит от сохранности эндотелия [70] и, очевидно, реализуется за счет его влияния на вторичные мессенджеры регуляторных вазомоторных эффектов: цГМФ и цАМФ. Под влиянием ПНУФ показано увеличение содержания цГМФ в гладкомышечных клетках аорты и брыжеечной артерии крыс в культуре, в кардиомиоцитах кроликов [7], а также в культуре нервных клеток [33]. Полагают, что внутриклеточным посредником действия ПНУФ на клетки-мишени является цГМФ. Наряду с этим показано ингибирование ПНУФ мембранный аденилатциклазы [17].

Следует полагать, что ПНУФ уменьшает концентрацию кальция в цитозоле гладкомышечных клеток, так как на фоне действия ПНУФ ослабляются индуцированный норадреналином вход внеклеточного ⁴⁵Са и индуцированное кофеином внутриклеточное высвобождение кальция из саркоплазматического ретикулума [70].

Весьма интенсивное влияние ПНУФ на обмен жидкости и электролитов в организме, на ключевой механизм развития артериальной гипертензии — ренин-ангиотензин-альдостероновую систему, а также на сосудистый тонус, естественно, поставило вопрос об участии ПНУФ в патогенезе сердечно-сосудистых заболеваний. Хотя к настоящему времени еще не сложилось определенного представления по этому поводу,

ряд фактов свидетельствуют о гипертонической болезни и возможности с его помощью этих заболеваний [28, 47]. Активного ПНУФ в левом же, чем у нормотензивных животных, у спонтанно гипертензивных животных [57].

Данные об уменьшении предсердий получены в экспериментальном циррозе печени и тиреозе у крыс [47]. Нормальный ПНУФ в плазме циркулирует у крыс [39], эссенциальная стойкая сердечная недостаточность соответствует изменениям недостаточности (давлению ПНУФ в периферической недостаточности сердца наблюдается снижение). В настоящее время держания ПНУФ в предсердии причиной развиваются следствием истощения кровь в ответ на расширение увеличения для обратного развития эндогенного ПНУФ в для эффекта снижения танто гипертензивных концентраций иммунорегуляторов, что вдвое большее давлением 140 мкг ПНУФ, вызывающая снижение артериального давления ПНУФ в плазме, сосудов.

Предполагают, что в плазме больных гипертонии предсердий и выдано, что введение эпоксидации артериального давления [35], внутривенная инфузия полностью нормализует артериальной гипертензией ренина в плазме и маскализация артериального давления у спонтанно гипертензивных тонус-солевого гипертонии гипертензии II [78]. На основе достаточно эффективного давления, и в особенности гипертензивной системы. тельного поддержания в суждается возможность срочного введения.

Направленные исследования диурез и натрийурез (ПНУФ) естественно, что, несмотря на ряд вопросов остается не-

изменения кровотока в мелователей у наркоти-УФ в дозе 3 мкг/кг с течение 30 мин не вызывают давления, наряду со сном, а также снижение истолического выброса опыта на крысах [49]. ПНУФ обусловлен снижением концентрации ПНУФ в плазме.

причина противоречи. Можно полагать, что одинаковых по структуре исходного состояния могут быть связаны с кровообращения в усиленный инотропный эффект [67], был обусловлен в условиях гипертензии вазодилататорном действии различных регионарных артерий очень чувствительны — легочная артерия, сосуды задних отделов базиллярной и ушных вазодилататорные на предварительно сокращенную кальциевую аппорту [54], в этих условиях на 82 % исходного действия ПНУФ сократение наружных артерий наблюдалось и противоположным образом: дозование давления в левом предсердии свинки под влиянием ПНУФ от исходного состояния не зависит от сохранности этого действия на вторичные эффекты: ЦГМФ и снижение содержания ЦГМФ в артерии крыс в культуре нервных посредников действия, рядом с этим показано, что концентрация кальция в фоне действия ПНУФ под влиянием ПНУФ в дозе 1 мкг/кг в течение 6 сут полностью нормализует артериальное давление у крыс с почечной артериальной гипертензией. Наряду с этим нормализуются активность ренина в плазме и масса сердца. Существенное снижение или нормализация артериального давления под влиянием ПНУФ наблюдалась у спонтанно гипертензивных крыс [35], при дезоксикортикоэстрадиоле гипертонии и гипертензии, вызванной инфузией ангиотензина II [78]. На основании этих данных предполагается возможность достаточного эффективного лечения гипертензивных состояний у человека, и в особенности гипертонии, обусловленной активацией ренин-ангиотензиновой системы. Вместе с тем, учитывая необходимость длительного поддержания высокой концентрации ПНУФ в плазме, обсуждается возможность специальной разработки препаратов для перорального введения.

Направленные исследования предсердных пептидов, вызывающих диурез и натрийурез (ПНУФ), начаты сравнительно недавно и поэтому естественно, что, несмотря на огромный поток информации, целый ряд вопросов остается недостаточно выясненным или даже спорным.

Часть из них обусловлена недостатком фактических данных об условиях синтеза и выделения ПНУФ из гранул кардиомиоцитов. По мнению Linden и Кларр [51] нет достаточно надежных доказательств наличия обычной для других секреторных органов секреции в мышечных клетках предсердий и поэтому ПНУФ нельзя считать истинным циркуляторным гормоном, как это полагает Genest [36]. Необходимы дальнейшие функционально-морфологические исследования в этом направлении. Спорным является вопрос об относительной роли нервных и гуморальных механизмов в увеличении диуреза и натрийуреза при растяжении предсердий. Некоторыми авторами показано, что повышение давления в предсердии приводит к увеличению диуреза и натрийуреза, которые, однако, не наблюдаются после охлаждения блуждающих нервов [40] или денервации сердца [37]. В то же время увеличение концентрации ПНУФ в плазме в ответ на растяжение предсердий происходит независимо от того, сохранена или нет иннервация сердца [37]. Поэтому возникает вопрос, достаточно ли увеличение содержания ПНУФ, происходящее в физиологических условиях, для реализации диуретического и натрийуретического эффекта. В связи с этим следует отметить, что значительное число исследований, посвященных влиянию ПНУФ на функцию почек и гемодинамику, проведено с введением достаточно больших количеств синтетических препаратов ПНУФ, создающих чрезмерно высокую (по сравнению с эндогенной) концентрацию вещества в плазме крови [36, 51]. Все эти данные свидетельствуют о том, что, несмотря на блестящие достижения последних лет в изучении локализации и биохимической структуры ПНУФ, разработке методов синтеза различных предсердных натрийуретических пептидов и определения его концентрации в крови и тканях, изучении механизмов его действия на функцию почек и кровообращение, окончательное решение вопроса о физиологической значимости ПНУФ в норме и патологии зависит от дальнейших исследований.

A. A. Moibenko, V. B. Pavlyuchenko

THE HEART AS AN ENDOCRINE ORGAN

Modern data on atrial natriuretic factor (ANF) are presented. Synthesis of this factor, its storage and release from cardiac atria are described. The role of ANF in the body fluid volume regulation and blood pressure homeostasis is discussed. ANF is regarded as a circulating hormone.

A. A. Bogomoletz Institute of Physiology, Academy of Sciences of the Ukrainian SSR, Kiev

СПИСОК ЛИТЕРАТУРЫ

1. Косицкий Г. И. Афферентные системы сердца.—М.: Медицина, 1975.—210 с.
2. Медведев О. С., Мартынова Е. Р., Халатов В. Ю. Анализ роли опиоидных пептидов в регуляции сердечно-сосудистой системы // Тез. докл. XV Всесоюз. съезда физиол. о-ва им. И. П. Павлова (октябрь, 1987 г.).—Кишинев, 1987.—С. 115.
3. Мойбенко А. А. Кардиогенные рефлексы и их роль в регуляции кровообращения.—Кiev: Наук. думка, 1979.—260 с.
4. Мойбенко А. А., Сагач В. Ф. О гуморальном механизме реакций емкостных сосудов при иммунном и гипоксическом воздействии на сердце // Физiol. журн. СССР.—1981.—67, № 1.—С. 73—80.
5. Сургучев А. П., Григорьянц Р. А., Ураков В. Н. Натрийуретический фактор — гормон, вырабатываемый предсердием // Терапевт. арх.—1987.—142, № 5.—С. 142—144.
6. Ткаченко Б. И., Поленов С. А., Агнаев А. К. Кардиоваскулярные рефлексы.—Л.: Медицина, 1975.—232 с.
7. Altom J., Cramb G. Atrial natriuretic factor stimulates cGMP production in rabbit ventricular myocytes // J. Physiol.—1985.—367, N 1.—P. 101.
8. Agnelli G., Rodella A., Ferrary R., Harris P. Release of atrial natriuretic peptide-like immunoreactive material during stretching of the rat atrium in vitro // J. Mol. and Cell. Cardiol.—1987.—19, N 3.—P. 217—220.
9. Atlas S., Kleinert H., Camargo M., et al. Purification, sequencing and synthesis of natriuretic and vasoactive rat peptide // Nature.—1984.—309.—P. 717—718.
10. Baranowska R., Gutkowska J. Inhibition of renin by atrial natriuretic factor in rats // Neurosci. Lett.—1988.—9, N 9.—P. 312—315.
11. Baertschi A. J., Hausman J. A. Atrial natriuretic factor (ANF) in the rat // Biophys. Res. Commun.—1985.—120, N 1.—P. 441—452.
12. Bianchi G., Gutkowska J. Atrial natriuretic factor (ANF) in the rat // Biophys. Res. Commun.—1985.—120, N 1.—P. 441—452.
13. Bloom S. Cardiac peptide P. 18.
14. Brown J. Is α-ANF present in the rat? // Endocrinology.—1988.—122, N 9.—P. 312—315.
15. Burnett J. C., Grange J. A. Atrial natriuretic factor: a hormone that regulates blood pressure // Hypertension.—1986.—18.—P. 1863—1866.
16. Cantin M., Genest J. The atrial natriuretic factor // Hypertension.—1985.—6, N 1.—P. 106—110.
17. Cantin M., Dagenais N. Atrial natriuretic factor (ANF) by culture of adult rat atria // Clin. Exp. Hypertension.—1985.—7, N 4.—P. 2026—2028.
18. Camargo N., Kleinert H. Atrial natriuretic factor: effects of atrial extract in the rat // Hypertension.—1985.—7, N 4.—P. 2047—2056.
19. Chai R., Mannuello J. Rat atrial natriuretic factor: mechanism of action // Endocrinology.—1988.—122, N 9.—P. 312—315.
20. Chartier L., Schiffrin E. Atrial natriuretic factor: the effect of angiotensin I and angiotensin II-induced hypertension in the rat // Hypertension.—1985.—7, N 4.—P. 2026—2028.
21. Cody R. J., Atlas S. A. Atrial natriuretic factor: actions and heart failure prevention // Peptides.—1985.—6, N 1.—P. 106—110.
22. Cohen M. L., Schenck K. A. Atrial natriuretic factor in rat veins // Eur. Heart J.—1985.—6, N 3.—P. 411—415.
23. Crozier J., Richards M. A. Atrial natriuretic factor: physiology // Clin. and exp. Hypertension.—1985.—7, N 4.—P. 2026—2028.
24. Currie M., Sukin D., Gelman S. A. Atrial natriuretic factor in the rabbit heart // Biochem. Pharmacol.—1985.—30, N 11.—P. 2081—2085.
25. De Bold A., Vinay P., Cramb G. Atrial natriuretic factor in dog kidney fractions // Endocrinology.—1985.—120, N 1.—P. 441—452.
26. Dlougha H., McBroom A. Atrial natriuretic factor in hamsters // Hypertension.—1985.—7, N 3.—P. 411—415.
27. Drefter H., Hirth C., Stasch J. Atrial natriuretic factor in hamsters // Hypertension.—1985.—7, N 3.—P. 411—415.
28. Drefter H., Hirth C., Stasch J. Atrial natriuretic factor in hamsters // Hypertension.—1985.—7, N 3.—P. 47—50.
29. Edwards S. B., Zimmerman J. A. Atrial natriuretic factor: the principal determinant of arterial blood pressure // Circ. Res.—1988.—62, N 3.—P. 1073—1079.
30. Faison E. P., Siegl P. K. Atrial natriuretic factor: the role of atrial natriuretic factor in the control of arterial blood pressure // Hypertension.—1985.—7, N 3.—P. 1073—1079.
31. Flynn T. G., De Bold M. A. Atrial natriuretic factor: a peptide with potent diuretic and natriuretic properties // Endocrinology.—1983.—117, N 3.—P. 1878—1882.
32. Freeman R. H., Davis J. A. Atrial natriuretic factor in conscious dogs with caval vein obstruction // Hypertension.—1985.—7, N 3.—P. 495—R500.
33. Friedl A., Harmening C., Schmid W. Atrial natriuretic factor: cyclic GMP in neural crest cells // Endocrinology.—1985.—120, N 1.—P. 106—110.
34. Forssmann W. G., Hocke M. Atrial natriuretic factor: functional aspects // Clin. Endocrinol. (Lond).—1987.—77, N 3.—P. 1878—1882.
35. Garcia R., Thibault G., Desjardins J. Atrial natriuretic factor in the rat // Proc. Soc. Exp. Biol. Med.—1985.—199, N 1.—P. 316.
36. Goetz K., Wang Bin C., Kleinert H. Atrial natriuretic factor in the rat // Hypertension.—1987.—10, N 3.—P. 129—133.
37. Goetz K., Wang Bin C., Kleinert H. Atrial natriuretic factor in the rat // Hypertension.—1987.—10, N 3.—P. 129—133.
38. Grimaldi R., Zini J. Atrial natriuretic factor affects arterial blood pressure in the rat // Hypertension.—1987.—10, N 3.—P. 129—133.

ских данных об условиоцитах. По мнению доказательств на в секреции в мышеч-
зя считать истинным
ест [36]. Необходимы
ледования в этом на-
чальной роли нервных
за и натрийуреза при
показано, что повышению днуреза и натрий-
хлаждения блюжаю-
то же время увеличе-
стяжение предсердий
ет иннервация сердца
в величение содержания
виях, для реализации
связи с этим следует
посвященных влиянию
дено с введением дос-
раторов ПНУФ, создаю-
енной) концентрацию
ные свидетельствуют
последних лет в изу-
и ПНУФ, разработке
ретических пептидов
ях, изучении механиз-
ашение, окончательное
ПНУФ в норме и па-
тиологии. Синтезированы
пептиды, включая
антидиуретический пептид
(АДП), синтезированы
пептиды, включая
антидиуретический пептид
(АДП).
ed. Synthesis of this factor,
the role of ANF in the body
discussed. ANF is regarded as
диана, 1975.—210 с.
из роли опиоидных пептидов
XV Всесоюз. съезда физиол.
1987.—С. 115.
регуляции кровообращения.—
реакций емкостных сосу-
де // Физиол. журн. СССР.—
1987.—142, № 5.—С. 142—
аскулярные рефлексы.—Л.:
cGMP production in rabbit
101.
of atrial natriuretic peptide-
rat atrium in vitro // J. Mol.
sequencing and synthesis of
309.—P. 717—718.

10. Baranowska R., Gutkowska J. Plasma immunoreactive atrial natriuretic factor is inhibited by selective blockade of α -adrenergic receptors in conscious Sprague-Dawley rats // Neurosci. Lett.—1987.—76, N 2.—P. 119—123.
11. Baertschi A. J., Hausmaninger S., Walsh R. et al. Hypoxia-induced release of atrial natriuretic factor (ANF) from the isolated rat and rabbit heart // Biochem. and Biophys. Res. Commun.—1986.—140, N 1.—P. 427—433.
12. Bianchi G., Gutkowska J., Thibault G. et al. Radioautographic localization of ^{125}I -atrial natriuretic factor (ANF) in rat tissue // Histochemistry.—1985.—82, N 3.—P. 441—452.
13. Bloom S. Cardiac peptides other than ANF // J. Endocrinol.—1986.—111, Suppl. 9.—P. 18.
14. Brown J. Is α -ANF primary a natriuretic hormone? // Trends Pharmacol. Sci.—1988.—9, N 9.—P. 312—314.
15. Burnett J. C., Crangeb J. P., Opgenorth T. J. Effects of synthetic atrial natriuretic factor on renal function and renin release // Amer. J. Physiol.—1984.—247, N 3.—P. 1863—1866.
16. Cantin M., Genest G. The heart and the atrial natriuretic factor // Endocrinol. Rev.—1985.—6, N 1.—P. 106—127.
17. Cantin M., Dagenais N., Salmi L. et al. Secretory patterns of atrial natriuretic factor (ANF) by cultured cardiocytes of right and left atrium from newborn and adult rats // Clin. Exp. Hypertension.—1985.—A7, N 5—6.—P. 685—705.
18. Camargo N., Kleiner H., Atlas S. et al. Ca-dependent hemodynamic and natriuretic effects of atrial extract in isolated rat kidney // Amer. J. Physiol.—1984.—246, N 2.—F447—F456.
19. Chai R., Mannuello J., Robson R. et al. Atrial natriuretic factor (ANF): a possible mechanism of action // Fed. Proc.—1985.—44, N 5.—P. 1729.
20. Chartier L., Schiffrin E. L., Thibault G., Garcia R. Atrial natriuretic factor inhibits the effect of angiotensin II, ACTH and potassium on aldosterone secretion in vitro and angiotensin II-induced steroidogenesis in vivo // Endocrinology.—1984.—115, N 4.—P. 2026—2028.
21. Cody R. J., Atlas S. A., Laragh J. H. et al. Atrial natriuretic factor in normal subjects and heart failure patients. Plasma levels and renal hormonal and hemodynamic responses to peptide infusion // J. Clin. Invest.—1986.—78, N 5.—P. 1362—1374.
22. Cohen M. L., Schenck K. W. Atriopeptin II: differential sensitivity of arteries and veins from the rat // Eur. J. Pharmacol.—1985.—108.—P. 103—104.
23. Crozier J., Richards M., Nicholls G. et al. Atrial natriuretic factor in human pathophysiology // Clin. and exp. Pharmacol. and Physiol.—1988.—15, N 3.—P. 173—183.
24. Currie M., Sukin D., Geller D. et al. Atriopeptin release from the isolated perfused rabbit heart // Biochem. and Biophys. Res. Commun.—1984.—124, N 3.—P. 711—717.
25. De Bold A. Atrial natriuretic factor: an overview // Fed. Proc.—1986.—45, N 7.—P. 2081—2085.
26. De Lean A., Vinay P., Cantin M. Distribution of atrial natriuretic factor receptors in dog kidney fractions // FEBS Lett.—1985.—193, N 2.—P. 239—242.
27. Dlougha H., McBroom M. J. Atrial natriuretic factor in taurine-treated normal and cardiomyopathic hamsters (42273) // Proc. Soc. Exp. Biol. and Med.—1986.—181, N 3.—P. 411—415.
28. Drefler H., Hirth C., Stasch J. et al. Zur Bedeutung des atrialen natriuretischen Peptids bei Herzinsuffizienz: Experimentell Befunde // Z. Kardiol.—1988.—77, Anh. 2.—S. 47—50.
29. Edwards S. B., Zimmerman R. S., Schwab Th. et al. Atrial stretch, not pressure is the principal determinant controlling the acute release of atrial natriuretic factor // Circ. Res.—1988.—62, N 2.—P. 191—195.
30. Faison E. P., Siegl P. K. S., Morgan G., Winquist E. J. Regional vasorelaxant selectivity of atrial natriuretic factor in isolated rabbit vessels // Life Sci.—1985.—37, N 3.—P. 1073—1079.
31. Flynn T. G., De Bold M. L., De Bold A. J. The amino acid sequence of an atrial peptide with potent diuretic and natriuretic properties // Biochem. and Biophys. Res. Commun.—1983.—117, N 3.—P. 859—865.
32. Freeman R. H., Davis J. O., Vari R. C. Renal response to atrial natriuretic factor in conscious dogs with caval constriction // Amer. J. Physiol.—1985.—248, N 2.—R495—R500.
33. Friedl A., Harmening C., Hamprecht B. Atrial natriuretic hormones raise the level cyclic GMP in neural cell lines // J. Neurochem.—1986.—46, N 5.—P. 1552—1557.
34. Forssmann W. G., Hock D., Kirchheim F. et al. Cardiac hormones: morphological and functional aspects // Clinical Experimental Theory and Practice.—1984.—P. 1873—1878.
35. Garcia R., Thibault G., Gutkowska J. et al. Effect of chronic infusion of synthetic atrial natriuretic factor (ANF 8—33) in conscious two-kidney, one-clip hypertensive rats // Proc. Soc. Exp. Biol. and Med.—1985.—178, N 1.—P. 155—159.
36. Genest J. The atrial natriuretic factor // Brit. Heart J.—1986.—56, N 2.—P. 302—316.
37. Goetz K., Wang Bin C., Geer P. et al. Effect of atriopeptin infusion versus effect of left atrial stretch in awake dogs // Amer. J. Physiol.—1986.—250, N 2.—R221—R226.
38. Grimaldi R., Zini J., Agnati L. et al. Intravenous administration of atriopeptin III affects arterial blood pressure differentially in young and old male rats // Acta physiol. scand.—1987.—129, N 4.—P. 525—528.

39. Gulkowska J., Horky K., Lachance C. et al. Atrial natriuretic factor in spontaneously hypertensive rats // Hypertension. — 1986. — 8 (Suppl. 1). — P. 137—140.
40. Hicks M., Knapp M., Linden R., Mary D. Absence of a natriuretic response to left atrial distension in the dog after vagal cooling: evidence against a natriuretic hormonal role of atrial natriuretic peptides? // J. Physiol. — 1986. — 373, N 3. — 52 P.
41. Hirata I., Ishii M., Sugimoto T. et al. The effects of human atrial 28-amino acid peptide on systemic and renal hemodynamics in anesthetized rats // Circ. Res. — 1985. — 57, N 4. — P. 634—639.
42. Jimenez W., Martinez-Pardo A., Arroyo V. et al. Atrial natriuretic factor: reduced cardiac content in cirrhotic rats with ascites // Amer. J. Physiol. — 1986. — 250, N 4, Pt. 2. — P. F749—F752.
43. Kangawa K., Matsuo A. Purification and complete amino acid sequence of α -human atrial natriuretic polypeptide (α -hANP) // Biochem. and Biophys. Res. Commun. — 1984. — 118, N 4. — P. 131—139.
44. Karmazyn N. A role for prostaglandins in reperfusion-induced myocardial injury // Adv. Myocardiol. — 1985. — 6, N 2. — P. 429—436.
45. Kish B. Electron microscopy of the atrium of the heart. I. Guinea pig // Exp. Med. and Surg. — 1956. — 14, N 1. — P. 99.
46. Kleinert H. D., Volpe M., Odell G. et al. Cardiovascular effects of atrial natriuretic factor in anesthetized and conscious dog // Hypertension. — 1986. — 8, N 1. — P. 312—316.
47. Kohno M., Takaori K., Matsuo T. et al. Atrial natriuretic polypeptide in atria and plasma in experimental hyperthyroidism and hypothyroidism // Biochem. and Biophys. Res. Commun. — 1986. — 134, N 1. — P. 178—183.
48. Lachance D., Garcia R., Gulkowska J. et al. Mechanisms of release of atrial natriuretic factor. 1. Effect of several agonists and steroids on its release by atrial minces // Ibid. — 135, N 3. — P. 1090—1098.
49. Lappe R. J., Smith J. Failure of atriopeptin II cause arterial vasodilatation in the conscious rat // Circ. Res. — 1985. — 56, N 4. — P. 608—611.
50. Ledsome J. R. Atrial receptors, vasopressin and blood volume in the dog // Life Sci. — 1985. — 36, N 6. — P. 1315—1330.
51. Linden R., Knapp M. Is atrial natriuretic peptide really a hormone? // Brit. Heart J. — 1986. — 56, N 2. — P. 299—331.
52. Marin-Grez M., Schubert G., Briggs J. P., Schermann J. J. Inhibition by haloperidol of the natriuresis induced by atrial natriuretic factor (ATRIN) // Kidney Int. — 1985. — 27, N 1. — P. 261—263.
53. McKenzie J. C., Tanaka I., Misono K. S. et al. Immunocytochemical localization of atrial natriuretic factor in the kidney, adrenal medulla pituitary, and atrium of rat // J. Histochim. and Cytochem. — 1985. — 33, N 8. — P. 828—832.
54. Meisher K., Taylor C., Saneli H. Synthetic atrial peptide inhibits intracellular calcium release in smooth muscle // Amer. J. Physiol. — 1986. — 250, N 1, Pt. 1. — P. C171—C174.
55. Misono K. S., Grammer R. T., Fukumi H., Inagami T. Rat atrial natriuretic factor: isolation, structure and biological activities of four major peptides // Biochem. and Biophys. Res. Commun. — 1984. — 123, N 3. — P. 444—451.
56. Napier M. A., Dewey R. S., Albers-Schonberg G. et al. Isolation and sequence determination of peptide components of atrial natriuretic factor // Ibid. — 120, N 4. — P. 981—988.
57. Needleman Ph., Adams S., Cole B. et al. Atriopeptins as cardiac hormones // Hypertension. — 1985. — 7, N 4. — P. 469—482.
58. Nutt R. F., Brody S. F., Lyle T. A. et al. Synthesis of peptides with atrial natriuretic factor sequence // Peptides. Proc. 18th Eur. Peptide Symp. / Ed. by U. Ragnarssoon. — Sweden : Almqvist and Wiksell. — 1987. — P. 513—676.
59. Page E., Goings G., Power B., Upshaw-Earley Y. Ultrastructural features of atrial peptide secretion // Amer. J. Physiol. — 1986. — 251, N 1. — P. H340—H348.
60. Quirion R., de Lean A., Gulkowska J. et al. Receptor (acceptors) for the atrial natriuretic factor (ANF) in brain and related structures // Peptides. — 1984. — 5, N 3. — P. 1167—1170.
61. Richards A. M. Plasma ANP: hormonal and haemodynamic interrelationships in cardiac impairment // J. Endocrinol. — 1986. — 111, suppl. 10. — P. 18—30.
62. Rodeheffer R. J., Tanaka I., Imada T. et al. Atrial pressure and secretion of atrial natriuretic factor into the human central circulation // J. Amer. Coll. Cardiol. — 1986. — 8, N 1. — P. 18—26.
63. Ruskoaho H., Tholken H., Lang R. E. Increase in atrial pressure releases atrial natriuretic peptide from isolated perfused rat heart // Pflügers Arch. — 1986. — 407, N 2. — P. 170—174.
64. Seymour A., Smith Sh., Mazack E., Blaine E. A comparison of synthetic rat and human atrial natriuretic factor in conscious dogs // Hypertension. — 1986. — 8, N 3. — P. 211—216.
65. Schiffrin E., Chartier L., Thibault G. et al. Vascular and adrenal receptors for atrial natriuretic factor in the rat // Circ. Res. — 1985. — 56, N 6. — P. 801—808.
66. Schwab T. R., Edwards B. S., Heublau D. M. et al. Role of atrial natriuretic peptide in volume-expansion natriuresis // Amer. J. Physiol. — 1986. — 251, N 2, Pt. 2. — P. R310—R313.
67. Shapiro J., de Leonardi pheral vascular response H1297.
68. Sonnenberg H., Veress Tor // Biochem. and Biophys. Res. Commun. — 1986. — 237, N 3. — P. 80.
69. Sugawara A., Nakao K. tic polypeptide in esse 1427.
70. Taylor C., Meisher K. tion and ^{45}Ca fluxes in 1986. — 237, N 3. — P. 80.
71. Thibault G., Garcia R. zation and partial purifi
72. Thibault G., Garcia R., kallikrein in the rat: a P. 645—649.
73. Veress A., Chong Chee blood // Can. J. Physiol. 74. Wambach G., Bonner C atrial natriuretic peptide hypertension // J. Hyper
75. Wannop D. W., Hender lat renal and corona suppl. 53. — P. 18—19.
76. Wollenberger A., Shahal perfused heart // Nature
77. Yamamoto A., Kimura stimulates the release o Biochem. and Biophys. I
78. Yasujima M., Abe K., K tensin II-induced hyper
79. Johannessen A. C., Schi atrial natriuretic peptide 127, N 2. — P. 449—454.
80. Zamir N., Haass M., L lates the release of atri Sci. USA. — 1987. — 34,

Ин-т физиологии им. А. А.
АН УССР, Киев

- etic factor in spontaneously
— P. 137—140.
- natriuretic response to left
against a natriuretic hormone
— 373, N 3.— 52 P.
- man atrial 28-amino acid
etized rats // Circ. Res.—
- natriuretic factor: reduced
Physiol.— 1986.— 250, N 4.
- acid sequence of α -human
Biophys. Res. Commun.—
- duced myocardial injury //
1. Guinea pig // Exp. Med.
effects of atrial natriuretic
— 1986.— 8, N 1.— P. 312—
- tic polypeptide in atria and
m // Biochem. and Biophys.
- of release of atrial natriuret-
release by atrial minces //
- arterial vasodilatation in the
volume in the dog // Life
hormone? // Brit. Heart J.—
- J. Inhibition by haloperidol
(IN) // Kidney Int.— 1985.—
- cytochemical localization of
uitary, and atrium of rat //
832.
- inhibits intracellular calcium
50, N 1, Pt. 1.— P. C171—
- atrial natriuretic factor: iso-
peptides // Biochem. and
solation and sequence deter-
actor // Ibid.— 120, N 4.—
- cardiac hormones // Hyper-
peptides with atrial natriure-
Symp./ Ed. by U. Ragnars-
576.
- structural features of atrial
P. H340—H348.
- ceptors) for the atrial natri-
Peptides.— 1984.— 5, N 3.—
- amic interrelationships in
0.— P. 18—30.
- sue and secretion of atrial
Am. Coll. Cardiol.— 1986.—
- pressure releases atrial natri-
s Arch.— 1986.— 407, N 2.—
- of synthetic rat and human
— 1986.— 8, N 3.— P. 211—
- adrenal receptors for atrial
— P. 801—808.
- of atrial natriuretic peptide
1986.— 251, N 2, Pt. 2—
67. Shapero J., de Leonardi M., Needleman Ph., Hintze Th. Integrated cardiac and peripheral vascular response to atriopeptin 24 in conscious dogs // Ibid., N 3.— P. H1292—H1297.
68. Sonnenberg H., Veress A. T. Cellular mechanisms of release of atrial natriuretic factor // Biochem. and Biophys. Res. Commun.— 1984.— 124, N 2.— P. 443—446.
69. Sugawara A., Nakao K., Sakamoto M. et al. Plasma concentration of atrial natriuretic polypeptide in essential hypertension // Lancet.— 1985.— 185, N 3.— P. 1426—1427.
70. Taylor C., Meisheri K. Inhibitory effects of a synthetic atrial peptide on concentration and ^{45}Ca fluxes in vascular smooth muscle // J. Pharmacol and Exp. Ther.— 1986.— 237, N 3.— P. 802—808.
71. Thibault G., Garcia R., Cantin M., Genest G. Atrial natriuretic factor. Characterization and partial purification // Hypertension.— 1983.— 5, N 1.— P. 75—78.
72. Thibault G., Garcia R., Cantin M., Genest J. Atrial natriuretic factor and urinary kallikrein in the rat: antagonistic factors? // Can. J. Physiol.— 1984.— 62, N 2.— P. 645—649.
73. Veress A., Chong Chee K., Sonnenberg M. Inactivation of atrial natriuretic factor in blood // Can. J. Physiol. and Pharmacol.— 1985.— 63, N 3.— P. 1615—1617.
74. Wambach G., Bonner G., Stimpel M., Kaufmann W. Relationship between plasma atrial natriuretic peptide and left atrial and left ventricular involvement in essential hypertension // J. Hypertens.— 1988.— 6, N 7.— P. 573—577.
75. Wannop D. W., Hendersch J. W., Farmer J. B. et al. Differential sensitivities of isolated renal and coronary arteries to atrial peptides // J. Endocrinol.— 1986.— 111, suppl. 53.— P. 18—19.
76. Wollenberger A., Shahab J. Anoxia-induced release of noradrenaline from the isolated perfused heart // Nature.— 1965.— 207.— P. 88—89.
77. Yamamoto A., Kimura Sh., Hasui K. et al. Calcitonin gene-related peptide (CGRP) stimulates the release of atrial natriuretic peptide (ANP) from isolated rat atria // Biochem. and Biophys. Res. Commun.— 1988.— 155, N 3.— P. 1452—1458.
78. Yasujima M., Abe K., Konzukawa M. et al. Effect of atrial natriuretic factor on angiotensin II-induced hypertension in rats // Hypertension.— 1986.— 8, N 9.— P. 748—753.
79. Yohannessen A. C., Schütten H. J., Torp-Pedersen C. et al. Effects of synthetic human atrial natriuretic peptide (hANP) in conscious dogs // Acta physiol. scand.— 1986.— 127, N 2.— P. 449—454.
80. Zamir N., Haass M., Dave J., Zukowska-Grojec Z. Anterior pituitary gland modulates the release of atrial natriuretic peptiden from cardiac atria // Proc. Nat. Acad. Sci. USA.— 1987.— 84, N 2.— P. 541—545.

Ин-т физиологии им. А. А. Богомольца
АН УССР, Киев

Материал поступил
в редакцию 10.03.89

Симпозиумы, конференции, съезды, школы-семинары

Актуальные проблемы биохимии спорта

В Ленинградском научно-исследовательском институте физической культуры (ЛНИИФК) 18—20 июля 1989 г. состоялся международный симпозиум по биохимии спорта, организованный отделом биохимии спорта этого института. Рабочим языком симпозиума был английский язык. Симпозиум открыл председатель организационного комитета В. А. Рогозкин (Ленинград). Было сделано 15 докладов исследователями из Дании (один доклад), СССР (семь докладов), США (четыре доклада), Швеции (два доклада) и Японии (один доклад). Доклады посвящались актуальным проблемам биохимии спорта.

Влияние физических нагрузок на метаболизм мышечных белков рассматривалось в трех докладах. В докладе В. С. Чайковского (СССР) были представлены данные о скорости оборота белков скелетных мышц крыс (миоглобина, тропомиозина, аспартатаминонтррансферазы) при физической нагрузке. После физической нагрузки (0—4 ч) выявлено снижение содержания исследованных белков в скелетных мышцах (катаболическая фаза), затем (3—6 сут) отмечено увеличение их концентрации (анаболическая фаза). Период полужизни этих белков уменьшается в течение катаболической фазы и возрастает в течение анаболической. Ш. Ямада (Япония) привел доказательства участия ранее выделенного фактора роста в механизме развития мышечной гипертрофии у крыс при тенотомии мышц-сирегристов. К. Заунер (США) представил результаты совместной с группой исследователей из Карлова университета (ЧССР) работы по определению состава различных волокон скелетных мышц. Активность лактатдегидрогеназы, цитратсинтетазы и гидроксицил-КоА-дегидрогеназы определяли в биоптатах скелетных мышц спортсменов, тренировавшихся в видах спорта, связанных с развитием скоростно-силовых качеств и выносливости. Выявлены значительные различия морфологических и биохимических показателей скелетных мышц у этих двух групп спортсменов, которые существенно проявляются при проведении педагогического теста — прыжка вверх с места.

Энергообеспечение мышечной деятельности было обсуждено в четырех докладах. Н. И. Волков (СССР) подверг компьютерному анализу различные аспекты энергообеспечения мышечной деятельности, включающие зависимость расходования и продукции энергии от длительности и интенсивности физической нагрузки. Выделено шесть уровней физической нагрузки, энергообеспечение которых реализуется за счет различных метаболических процессов. Определение этих метаболических состояний важно для диагностики работоспособности спортсменов. Э. Халтман (Швеция) представил результаты изучения роли неорганического фосфата в регуляции гликогенолиза в скелетной мышце человека. В экспериментах, выполненных с использованием биопсии скелетных мышц, показано, что при электростимуляции мышц происходит повышение концентрации неорганического фосфата, стимулирующего превращение фосфорилазы из неактивной формы *b* в активную форму *a*. При этом возрастает скорость гликогенолиза в скелетных мышцах. В обзорном докладе К. Салина (Швеция) рассмотрен процесс дезаминирования АМФ. Показана тесная взаимосвязь всех адениловых нуклеотидов в работающей мышце. Поддержание определенного соотношения их концентраций имеет более важное регуляторное значение, чем абсолютное содержание АТФ в мышце. М. И. Калинский (СССР) показал возможность направленного влияния на энергообеспечение с помощью липосом, нагруженных катехоламинами. Установлено, что использование липосом, содержащих адреналин, увеличивает аэробные возможности организма и позволяет работающим органам на более ранних этапах использовать субстраты липидного обмена.

Репродукция
Эндокринному ответу о регуляции метаболизма в мышцах (СССР) представил данные обследованного концентрации кортизола, что полифазный характер и результаты исследования регуляции горизонтальных мышц в регуляции горизонтальных и статические нагрузки. Представлены нервных импульсов в финале при субмаксимальных нагрузках. Об исследовании на крысах об рецепцию адреногенов в скелетных мышцах при этом такого связывания противоположно вызывает фазовые изменения, характеризующиеся коротким периодом. Проблема направляемой смотрена в двух докладах. А. Г. на крысах влияния диеты, обмена углеводов и белка в органах. Данные свидетельствуют о качестве витаминной добавки в нагрузке. Т. Фей (США) исследовала меры глюкозы и молочной кислоты. На основе анализа биохимических данных о том, что напиток, содержащий концентрации глюкозы в крови, но при длительных физических нагрузках включать в состав напитков. Обобщенные данные по проблеме представил Ф. Голлинг (США), функционирования скелетной мышцы при анализировала результаты дено-сосудистых и раковых заболеваний и показал, что чем выше концентрация глюкозы в крови, тем выше риск развития этих заболеваний. Повреждения тканей скелетных мышц является выходом в сосудистую систему.

В заключение необходимое укрепление контактов советской науки с исследованиями в биохимии скелетных мышц.

Устойчивость биологии

Всесоюзная школа-семинар прошла 1—11 октября 1989 г. в г. Министерства высшего и среднего образования учёных Москвы, Ленинграда, Днепропетровска, Махачкалы, МВССО, Министерства здравоохранения РСФСР.

Физиол. журн., 1990, т. 36, № 3

Эндокринному ответу организма на физические нагрузки и участию гормонов в регуляции метаболизма в мышечной ткани были посвящены три доклада. А. А. Виру (СССР) представил данные о вариабельности эндокринного ответа на физическую нагрузку. При работе на велоэргометре у мужчин отмечены изменения (присущие всем обследованным) концентрации СТГ, альдостерона, инсулина и С-пептида. Изменения концентрации кортизола, тестостерона, прогестерона и β -эндорфина имеют полифазный характер и выраженную индивидуальность. М. Кяер (Дания) доложил результаты исследования регуляторной роли афферентного нервного ответа работающих мышц в регуляции гормонального и метаболического ответов на динамические и статические нагрузки. Представленные данные указывают на активное участие афферентных первых импульсов в регуляции секреции гипофиза (АКТГ и β -эндорфина) при субмаксимальных физических нагрузках. Б. И. Фельдкорен (СССР) сообщил об исследовании на крысах влияния физической нагрузки и введение тестостерона на рецепцию андрогенов в скелетных мышцах. Физическая нагрузка вызывает фазовые изменения концентрации тестостерона в крови. Изменения рецепции андрогенов в скелетных мышцах при этом также носят фазовый характер, однако изменения рецепторного связывания противоположны содержанию гормона в крови. Введение тестостерона вызывает фазовые изменения рецепции андрогенов, которая в скелетных мышцах характеризуется коротким рецепторным циклом (4—6 ч).

Проблема направленной регуляции обмена веществ при физических нагрузках рассмотрена в двух докладах. А. И. Пшендин (СССР) доложил результаты исследования на крысах влияния диеты, обогащенной витаминным комплексом аэровит, на показатели обмена углеводов и белков в печени и скелетных мышцах, динамику массы тела и органов. Данные свидетельствуют о возможности использования порошка аэровита в качестве витаминной добавки к обычной диете при адаптации организма к физической нагрузке. Т. Фей (США) исследовал влияние разных видов напитков, содержащих полимеры глюкозы и молочной кислоты, на работоспособность спортсменов-велосипедистов. На основе анализа биохимических и физиологических показателей сделано заключение о том, что напиток, содержащий полилактат, способствует сохранению значительной концентрации глюкозы в крови и увеличивает ее буферную емкость, что благоприятно при длительных физических нагрузках. По мнению докладчика, полилактат можно включать в состав напитков, используемых спортсменами для питания на дистанции.

Обобщенные данные по факторам утомления мышцы при физической нагрузке представил Ф. Голлик (США). Существенное внимание удалено ионам кальция при функционировании скелетной мышцы. С. Блейр (США) на обширном контингенте людей проанализировал результат действия различных факторов риска (в частности, сердечно-сосудистых и раковых заболеваний) в зависимости от физического состояния обследуемых и показал, что чем лучше физическое состояние, тем меньше оказываются отрицательное влияние факторы риска. В. И. Морозов (СССР) представил данные, свидетельствующие об увеличении содержания в ткани скелетных мышц крыс фермента пейтрофилов миелопероксидазы после интенсивной физической нагрузки. На основании этих и других данных сделано предположение об участии нейтрофилов в механизме повреждения ткани скелетных мышц при физической нагрузке, результатом которого является выход в сосудистое русло мышечных белков.

В заключение необходимо заметить, что симпозиум, несомненно, способствовал укреплению контактов советских и зарубежных ученых, что немаловажно для прогресса исследований в биохимии спорта; труды симпозиума будут изданы в 1990 году.

М. И. Калинский, В. М. Морозов

Устойчивость биологических систем

Всесоюзная школа-семинар по проблеме «Устойчивость биологических систем» состоялась 1—11 октября 1989 г. в г. Кутаиси по инициативе Тбилисского университета и Министерства высшего и среднего специального образования (МВССО) ГрССР при участии ученых Москвы, Ленинграда, Киева, Минска, Ташкента, Вильнюса, Тбилиси, Харькова, Днепропетровска, Махачкалы, представляющих учреждения АМН, АН СССР, МВССО, Министерств здравоохранения СССР и союзных республик, других ведомств.

Рецензии

Школа привлекла внимание также профессорско-преподавательского состава и студентов Тбилисского университета, Кутаисского пединститута.

На семинары школы были вынесены 9 обзорных лекций и 28 студенческих докладов. Проблема устойчивости относится к числу наиболее фундаментальных проблем биологии, включает закономерности взаимодействия живых систем с разнообразными факторами внешней среды (в том числе и с экстремальными), саморегуляции, адаптации, самовоспроизведения и т. п.

В лекции Ю. Б. Кудряшова «Проблема устойчивости биосистем и термодинамика» рассмотрены и проанализированы наиболее общие закономерности взаимодействия биосистем со средой, их устойчивости как открытых систем, особенности проявления законов термодинамики в живой природе. В лекции «Молекулярные механизмы устойчивости генетических структур» Г. Е. Фрадкин сообщил, в частности, о последних достижениях генетики в расшифровке структуры и функций белков хроматина, контролирующих процессы экспрессии поврежденных фрагментов ДНК, ограничивающих их атакуемость нуклеазами. И. В. Филиппович в своей лекции рассмотрел роль и механизмы клеточной гибели, определяющие устойчивость живых систем к внешним температурным, радиационным и иным воздействиям, проанализировал особенности механизма программирующей клеточной гибели и их влияние на устойчивость организма. Логическим развитием представлений о генетических механизмах стабильности биосистем явилась лекция И. Б. Моссе «Генетические механизмы стабильности популяций», в которой наряду с общими представлениями о генетике популяций были приведены результаты собственных исследований автора особенностей действия малых доз радиации на устойчивость популяций дрозофилы.

В. А. Барабой в лекции «Антиоксиданты и устойчивость живых систем» охарактеризовал общебиологическую и эволюционную роль антиоксидантов в обеспечении устойчивости организмов к токсическому действию кислорода, значение антиоксидантных систем в устойчивости к лучевым поражениям, сердечно-сосудистым и онкологическим заболеваниям, старению. Н. Н. Береговская раскрыла механизмы устойчивости систем биотрансформации энергии, структуру и функцию систем электронного транспорта и их роль в поддержании гомеостаза. Две последние лекции получили оценку как раскрывшие современные представления о роли перекисного окисления в жизнедеятельности. А. М. Горовая охарактеризовала клеточные механизмы стимулирующего и антистрессорного действия гумусовых веществ — особого класса конденсированных фенольных антиоксидантов.

Большой интерес вызвала лекция А. А. Турдыева, посвященная механизмам уникальной устойчивости черепах к разнообразным экстремальным воздействиям, в том числе к ионизирующей радиации. И. П. Баскова раскрыла в своей лекции сложную организацию систем поддержания устойчивости гемостаза (свертывания и антисвертывания крови) и их роль в устойчивости к радиационным воздействиям.

В целом программа школы-семинара, далеко не исчерпывая существа всей проблемы устойчивости, дала слушателям представление о современных точках зрения на отдельные ее части и о мере полноты решения наиболее актуальных ее вопросов.

Следующая школа-семинар, посвященная этой проблеме, состоится в мае 1990 г. в Центре мозговой деятельности Академии наук СССР в Тбилиси.

В. А. Барабой

При подготовке настоящего рецензента к работе над данной статьей я обратился к лекции А. А. Турдыева на семинаре по проблемам устойчивости живых систем, состоявшемся в мае 1989 г. в Институте физиологии АМН СССР. В ходе лекции А. А. Турдыева было показано, что у черепах имеется способность к восстановлению гомеостаза в условиях стресса. В частности, было показано, что при электростимуляции мышц происходит повышение концентрации ионов фосфата, стимулирующего превращение фосфорилазы из неактивной формы в активную форму. При этом возрастает скорость гликогенолиза в скелетных мышцах. В обзорном докладе К. Сидорова на семинаре по проблемам устойчивости живых систем АМН СССР показана тесная взаимосвязь между гомеостазом и устойчивостью организма. Поддержание определенного состояния в организме при константных параметрах среды и отсутствии стресса является важнейшим фактором сохранения жизни.

Теоретические и клинические аспекты постстреанимационной этиологии

Пермяков Н. К., Хучуа А. Энцефалопатия

М.: Медицина, 1986.— 240 с.

Патология мозга и восстановление функций в постстреанимационный период одна из актуальных проблем современной медицины, разработка которой привлекла внимание клиницистов и ретиков. Рецензируемая монография представляет собой анализ мировой литературы и обобщение результатов эмпирического и клинического изучения проблемы постстреанимационной патологии. Монография состоит из двух частей: I. Постстреанимационная энцефалопатия; II. Постстреанимационная цефалопатия у человека.

Глава I посвящена характеристики патологий в головном мозгу при умеренной клинической смерти. Авторы отметили, что цитологические и биохимические необратимости изменения нейронов, набухание митохондрий с деградацией (деструкцией) не являются абсолютными признаками смерти, но являются характерными для многих патологий мозга.

Глава 2 представляет собой краткий обзор литературных данных о морфологических изменениях в центральной нервной системе (ЦНС) экспериментальных животных в постстреанимационный период. В работе показано, что постстреанимационный период характеризуется многообразными цитологическими, некробиотическими и ретикулярными изменениями, которые охватывают составляющие элементы тканей мозга: макрофаги, глиоциты и микроглия.

В последующих шести главах приводятся результаты собственных экспериментальных исследований автора по изучению аспектов постстреанимационной энцефалопатии. Последовательно показан характер и сущность изменений в ЦНС в постстреанимационный период (глава 3), морфологические изменения

Физиол. журн., 1990, т. 36, № 3

ельского состава и студентов и 28 стендовых докладов. центральных проблем биологии с разнообразными фактами саморегуляции, адаптации, и системами управления тонасистем и термодинамика» яности взаимодействия биообенности проявления законарные механизмы устойчивости, о последних дости- в хроматина, контролирую- граничивающих их атакует роль и механизмы кле- к внешним температурным, яности механизма програм- ги организма. Логическим льности биосистем явилась позиция «популяций», в которой на- приведены результаты собы- доз радиации на устой-

жливость живых систем» охарак- сидантов в обеспечении ус- значение антиоксидантных судистых и онкологическим низмы устойчивости систем электронного транспорта и получили оценку как рас- кисления в жизнедеятельно- стимулирующего и анти- конденсированных феноль- вященная механизмы уни- льным воздействиям, в том своей лекции сложную ор- свертывания и антисверты- действиям.

вая существа всей проблем- енных точках зрения на от- уальных ее вопросах, ме, состоится в мае 1990 г.

В. А. Барабай

Биохимический институт
Министерства здравоохранения
СССР
1990

Физиол. журн., 1990, т. 36, № 3

Рецензии

Теоретические и клинические аспекты постреанимационной энцефалопатии

Пермяков Н. К., Хучая А. В., Туманский В. А. Постреанимационная энцефалопатия

М.: Медицина, 1986.— 240 с.

Патология мозга и восстановление его функций в постреанимационный период — одна из актуальных проблем современной медицины, разработка которой привлекает пристальное внимание клиницистов и теоретиков. Рецензируемая монография представляет собой анализ мировой литературы и обобщение результатов экспериментально-клинического изучения авторами проблемы постреанимационной энцефалопатии. Монография состоит из двух частей: I. Постреанимационная энцефалопатия в эксперименте; II. Постреанимационная энцефалопатия у человека.

Глава 1 посвящена характеристике изменений в головном мозгу при умирании и клинической смерти. Авторы отмечают, что цитологические и биохимические критерии необратимости изменения нейронов (например, набухание митохондрий с деструкцией крист) не являются абсолютными в отличие от хорошо известных признаков гибели клетки.

Глава 2 представляет собой краткий обзор литературных данных о морфологических изменениях в центральной нервной системе (ЦНС) экспериментальных животных в постреанимационный период. Приведенные материалы свидетельствуют о том, что постреанимационный период характеризуется многообразными дистрофическими, некробиотическими и reparативными изменениями, которые охватывают все составляющие элементы тканей мозга: нейроциты, глиоциты и микроциркуляторное русло.

В последующих шести главах (гл. 3—8) приводятся результаты собственных экспериментальных исследований авторов по малоизученным аспектам постреанимационной энцефалопатии. Последовательно описаны характер и сущность изменений пейроцитов ЦНС в постреанимационный период (третья глава), морфологические изменения раз-

личных нейронов в головном мозге (четвертая глава), а также морфологические изменения в головном мозге при отсутствии восстановления функций ЦНС (пятая глава). В главе 6 отражены фазные изменения функций гипоталамо-гипофизарной нейросекреторной системы (ГГНС) в постреанимационный период, характеризующие состояния возбуждения, активации и истощения ГГНС, дистрофические и некробиотические процессы и (происходящие за ними) компенсаторно-приспособительные изменения клеток.

В главе 7 представлены данные о чувствительности различных отделов мозга к гипоксии. Показано, что филогенетическая концепция в своей ортодоксальной форме не подтверждается, однако и отвергнуть ее как полностью несостоятельную было бы неправильным. Обсуждаются различные концепции, объясняющие причину избирательной ранимости мозга.

В заключительной главе (гл. 8) экспериментальной части, излагаются вопросы патогенеза и профилактики постреанимационного повреждения мозга. Анализируются возможности полноценного восстановления функций мозга теплокровных животных и человека после длительной аноксии.

Во II части монографии представлены клинические данные. Анализ литературы и собственные исследования авторов показывают, что у оживленных больных при отсутствии восстановления функций ЦНС в головном мозгу развиваются своеобразные структурные изменения, составляющие сущность постреанимационной энцефалопатии. С учетом патогенеза, характера и распространенности поражений основными формами постреанимационной энцефалопатии следует считать: 1) диффузно-очаговые аноксические повреждения головного и спинного мозга, 2) парциальные некрозы,

3) тотальный некроз головного мозга, 4) изолированный субтотальный некроз мозгового ствола и мозжечка. Каждая из этих форм детально описана в отдельных главах (гл. 9, 10, 11 и 12 соответственно).

При описании основных форм постреанимационной энцефалопатии авторы дают характеристику этиологии, клинико-анатомических параллелей, морфогенеза, динамики изменений нейроцитов, глии и микропирамидного русла, обосновывают критерии смерти мозга. Показано, что клинический синдром смерти мозга объединяет три патологоанатомические формы постреанимационной энцефалопатии: изолированный тотальный некроз головного мозга, субтотальный некроз мозжечка и ствола мозга, а также распространенные некрозы головного и спинного мозга после длительного прекращения кровообращения. Подчеркивается, что смерть мозга в клиническом понимании всегда означает обширные необратимые повреждения с обязательным поражением мозгового ствола, а отнюдь не простую декортикацию.

В главе 13 представлены данные об особенностях восстановительных процессов в мозгу в постреанимационный период. Описаны три пути регенераторных процессов в ЦНС после оживления: 1) внутриклеточная регенерация в период нормализации структуры дистрофически измененных клеток; 2) гиперплазия ультраструктур в сохранившихся клетках; 3) ускорение регенераторного цикла. Подчеркивается особая роль лизосом в осуществлении внутриклеточной репарации нейроцитов.

В последней главе (гл. 14) изложено влияние различных факторов на морфогенез постреанимационной энцефалопатии. Представлено и проанализировано значение в морфогенезе длительности остановки кровообращения и асфиксии, гипоксической и постгеморрагической гипоксии, артериальной гипотензии, типа острой сердечной недостаточности, внутричерепной гипертензии, сосудисто-циркуляторных и гемокоагуляционных нарушений.

Высоко оценивая монографию по содержанию, оформлению и полиграфическому исполнению, нельзя не сказать и на некоторые недостатки. Авторы несколько раз затрагивают вопрос о длительной клинической смерти, но при этом нигде не упоминается С. С. Брюхоненко — создатель первого в мире аппарата и метода искусственного кровообращения, который еще в 30-е годы говорил о высокой резистентности организма животных и человека, в том числе и мозга, к длительной аноксии. Не цитируется, например, и работа Е. Д. Ге-

нис*, прямо посвященная морфологии ГГНС при оживлении после длительной клинической смерти. В само понятие клиническая смерть авторы, по-видимому, вкладывают отличающийся от общепринятого смысл. Так, клиническая смерть обозначается как тяжелая травма (с. 35). При изложении клинического материала авторы приводят примеры с остановкой сердца, происходящей непосредственно в условиях клиники. Очевидно, медперсонал (в первую очередь — врачи) в таких случаях не ждет, когда клиническая смерть станет длительной, а сразу после констатации остановки сердца (а лучше — превентивно) начинает проводить сердечную реанимацию, а при необходимости — искусственную вентиляцию легких, иначе и быть не может. Но тогда что же означает в действительности «клиническая смерть», продолжающаяся, по мнению авторов, в течение всего времени до восстановления работы сердца (как можно понять из описаний на с. 202, 205, 208, 214)? Это уже не клиническая смерть, а искусственно поддерживаемая жизнь, и, следовательно, в приведенных случаях о длительной клинической смерти фактически речь идти не может, можно лишь говорить об остановках сердца, иногда многократных. В этой же связи следует сказать и о недопустимости обозначения продолжительности прекращения работы сердца как суммы агонального периода и клинической смерти (с. 77). Ведь агональный период характеризуется восстановлением и даже относительным усилением сердечной деятельности и иногда восстановлением сознания. Говоря о возможности восстановления функций мозга после длительной аноксии, авторы ссылаются на зарубежных ученых (с. 108), но ведь такое обоснование гораздо раньше и на более высоком уровне было сделано в лаборатории академика АМН СССР Н. Н. Сиротинина, а затем — в лаборатории академика АМН СССР В. А. Неговского. В монографии встречаются неудачные в семантическом и стилистическом отношении выражения. К недостаткам следует отнести и отсутствие в книге общего заключения или хотя бы резюме.

В целом рецензируемая работа на современном уровне отражает состояние проблемы постреанимационной энцефалопатии и вносит значительный вклад в теорию и практику реанимации.

И. И. Лановенко

* Геніс Є. Д. Особливості нейросекреторної функції гіпоталамуса при клінічній смерті та оживленні // Фізіол. журн.— 1968.— 14, № 1.— С. 30—36.

Студентам и преподав

Костюк П. Г., Гродзинецкий Е. П., Шуба М. Ф. Биофизика. Киев : Вищ. шк., 1988.— 504 с.

Развитие современной биологии сопровождается быстрым прошествием ее в различные области физики проблем, сконцентрированных в новой дисциплине, как биофизика методы биофизики многогранны поэтому для их освоения в практике специалистов-биофизиков требуют соответствующие учебники и учебия. В связи с этим своевременно публикация издательства «Школа» учебника «Биофизика» рекомендуется для студентов университетов и других высших заведений.

Учебник состоит из четырех частей, включает 17 глав. Он отвечает по биофизике, утвержденной Министерством высшего и среднего специального образования СССР. В первой части (главы 1-2) изложены законы термодинамики и использование в биологии. Расчеты энергетики организма, для биологов форме изложены в равновесной термодинамики, основе функционирования биосистемы. Основы теории колебательных в биологических системах изложены в этой части не только для профессиональных студентов, но и играет роль в формировании диалектического мировоззрения специалистов. Вторая часть учебника посвящена изложению вопросов биофизики. В ней рассматриваются и физикохимия биомакромолекул и нуклеиновых кислот, структуры функционирующих тем. Значительное внимание уделяется исследованиям молекулярно-химических процессов в живых организмах. В методологическом плане в данной части ясно выставлены об уровнях организации и свойствах макромолекул, позволяющие понять наиболее интимные процессы.

освященная морфологии ГГНС и после длительной клинической само понятие клиническая, по-видимому, вкладывают от общепринятого смысла. смерть обозначается как ма (с. 35). При изложении материала авторы приводят становкой сердца, происходящую в условиях клиники. персонал (в первую очередь в таких случаях не ждет, смерть станет длительной после констатации остановки че — превентивно) начинает дежную реанимацию, а при неискусственную вентиляцию быть не может. Но тогда в действительности «клирт», продолжающаяся, по зов, в течение всего времени работы сердца (как из описаний на с. 202, 205, о уже не клиническая смерть, то поддерживаемая жизнь, и, в приведенных случаях олинической смерти фактически может, можно лишь говорить о сердца, иногда многократные связи следует сказать оги обозначения продолжительности работы сердца как суммарного периода и клинической). Ведь агональный период с восстановлением и даже с усилением сердечной деятельности восстановлением создаются возможности восстановления мозга после длительной оры ссылаются на зарубежные (с. 108), но ведь такое обозначено раньше и на более высоком уровне было сделано в лаборатории МН ССР Н. Н. Сиротинина, лаборатории академика АМН Неговского. В монографии неудачные в семантическом и отношениях выражениям следуют отнести и отсутствие общего заключения или хотя бы обозначения. Рецензируемая работа на современном отражает состояние проблематики энцефалопатии и вклад в теорию и патологии.

И. И. Лановенко

Д. Особливості нейросекреції гіпotalамуса при клінічній оживленні // Фізiol. журн.— 1.— С. 30—36.

Физiol. журн., 1990, т. 36, № 3

Студентам и преподавателям — современный учебник

Костюк П. Г., Гродзинский Д. М., Зима В. Л., Магура И. С., Сидорик Е. И., Шуба М. Ф. Биофизика / Под общ. ред. акад. АН ССР П. Г. Костюка. Киев : Виц. шк., 1988.—504 с.

Развитие современной биологической науки сопровождается быстрым проникновением в различные ее области физико-химических проблем, сконцентрированных в такой важной дисциплине, как биофизика. Предмет и методы биофизики многогранны и сложны, поэтому для их освоения в плане подготовки специалистов-биофизиков требуются соответствующие учебники и учебные пособия. В связи с этим своеобразной является публикация издательством «Вища школа» учебника «Биофизика», который рекомендуется для студентов-биологов университетов и других высших учебных заведений.

Учебник состоит из четырех частей и включает 17 глав. Он отвечает программе по биофизике, утвержденной Министерством высшего и среднего специального образования ССР. В первой части учебника (гл. 1-2) изложены законы термодинамики и их использование в биологии. Рассмотрены расчеты энергетики организмов. В доступной для биологов форме изложены принципы неравновесной термодинамики, лежащей в основе функционирования биосистем. Описаны основы теории колебательных процессов в биологических системах. Материал, изложенный в этой части учебника, важен не только для профессиональной подготовки студентов, но и играет существенную роль в формировании диалектико-материалистического мировоззрения будущих специалистов. Вторая часть учебника (гл. 3-5) посвящена изложению вопросов молекулярной биофизики. В ней рассмотрены физика и физикохимия биомакромолекул, белков и нуклеиновых кислот, входящих в структуры функционирующих живых систем. Значительное внимание уделяется методам исследования молекулярных и физико-химических процессов в живых образованиях. В методологическом плане существенным в данной части являются представления об уровнях организации и динамических свойствах биомакромолекул, позволяющие понять и объяснить наиболее интимные клеточные процессы.

В третьей части (гл. 7-14) рецензируемого учебника описана биофизика клеточных процессов. Опираясь на изложенный в первых двух частях материал, авторы развивают учение о структурно-функциональных особенностях субклеточных и клеточных образований. Здесь детально описаны механизмы мембранных транспорта, электрической возбудимости, межклеточных взаимодействий, сократительных процессов, биоэнергетики, фотобиологических процессов, биологического действия ионизирующей радиации. Важно отметить, что в представленном материале наряду с давно устоявшимися в данной области знаний представлениями приводятся современные.

Четвертая часть учебника (гл. 15-17) посвящена описанию сложных биологических систем и процессов регуляции. Важное место в ней занимает анализ способов передачи сенсорной информации, управления двигательными функциями и поддержания постоянства внутренней среды.

Важнейшей особенностью рецензируемого учебника являются его высокий научный уровень, логика и последовательность изложения материала. Учебник стал хорошим помощником для студентов, изучающих курс биофизики. Об этом свидетельствует апробация учебника на кафедре биофизики и математических методов в биологии Львовского университета. Использование учебника студентами позволяет поднять общий уровень их физико-математической подготовки, способствует формированию у них точного, количественного, мышления при анализе сложных биологических процессов.

На основании изложенного считаю, что предложенный учебник — отличное руководство для студентов, преподавателей и научных работников по проблемам современной биофизики. Было бы желательно издать аналогичный учебник по биофизике на украинском языке для преподавателей и студентов вузов УССР.

Я. В. Олейник

Анализ патоморфологических изменений органов эндокринной системы и центров ее регуляции при старении и атеросклерозе

Хмельницкий О. К., Ступина А. С. Функциональная морфология эндокринной системы при атеросклерозе и старении.—
Л.: Медицина, 1989.—246 с.

К настоящему времени накопилось значительное число фактов, свидетельствующих об определенных изменениях структурной организации и функциональной активности желез эндокринной системы при старении и атеросклерозе, нуждающихся в объективной оценке и критическом анализе.

Рецептируемая монография—попытка авторов показать роль морффункционального состояния желез эндокринной системы в развитии этих процессов. В монографии систематизированы и обобщены данные исследований советских и зарубежных ученых и результаты многолетних собственных исследований, выполненных авторами и руководимыми ими коллективами сотрудников на кафедре патологической анатомии Ленинградского института усовершенствования врачей им. С. М. Кирова МЗ СССР и лаборатории морфологии и цитологии Института геронтологии АМН СССР (Киев). В работе изложены фундаментальные данные ультраструктурной организации большинства периферических желез эндокринной системы и центров их регуляции при старении и атеросклерозе у человека и экспериментальных животных. Для оценки результатов собственных исследований авторы используют методы световой, электронной микроскопии и морфометрического анализа. Монография состоит из двух частей, каждая из которых включает три главы.

В первой части освещены возрастные изменения структурной и ультраструктурной организаций гипоталамо-гипофизарного комплекса и эпифиза, а также изменения периферических желез—щитовидной, парашитовидных, коры надпочечников, семенников, яичников и инкреторного аппарата поджелудочной железы.

В первой главе представлены общие закономерности структурных изменений желез эндокринной системы при старении. Показано, что наряду с деструктивными атрофическими и дистрофическими процессами развиваются и приспособительные адаптивные. На основании полученных результатов авторы приходят к заключению, что возрастные изменения, выявленные в клетках нервной и эндокринной систем, не носят специфического характера, а аналогичны изменениям, которые развиваются в клетках

других органов при старении. Кроме того, возрастные изменения клеток эндокринных желез выражены меньше, чем нейронов как необновляемых клеток.

Важен вклад исследователей в изучение гистогематического барьера. Показано, что при старении происходят изменения всех структур стенок капилляров гипоталамуса, но тип капилляров при этом не изменяется. Капиллярам гипоталамической области присущи структуры со сплошной эндотелиальной выстилкой без фенестраций и пор, а капиллярам эндокринных желез—эндотелиальные клетки, которые в периферической части значительно истощены и содержат фенестры, затянутые мембраной. При старении увеличивается число фенестр, формируются многочисленные микровороньбы и микроворсинки, которые по мнению авторов, являются признаками адаптации. Изменения, происходящие в капиллярах гипоталамуса и эндокринных желез не носят специфического характера и подобны таким же изменениям других органов.

Во второй главе авторы раскрывают единство реакции нейронов ядер заднего и среднего гипоталамуса на старение. Показано, что развивающиеся при этом адаптивные процессы недостаточны для поддержания функции и структуры нейронов в условиях усиленного функционирования. Выявлена возрастная специфика реактивных изменений гистогематического барьера в заднем гипоталамусе при фармакологической нагрузке, что имеет практическое значение.

Полученные на ультраструктурном уровне результаты свидетельствуют о снижении функциональной активности гипоталамуса и гипофиза при старении. Данные об изменениях тонкой структуры нейрогипофиза представляют интерес в связи с современными представлениями о роли нейропептидов—вазопрессина и окситоцина в регуляции процессов научения и памяти. Наряду с признаками старения авторы выявили признаки адаптации, которые компенсируют недостаточность функциональной активности нейронов и тем самым обеспечивают сохранение гомеостаза при старении.

По данным ультраструктурных исследований аденоцитофиза, клетки, вырабатыва-

вающие тропные гормоны, применяются незначительно. Годы пролактиновые клетки сохраняют функциональную активность. функциональное напряжение приводит к деструктивным изменениям у старых животных, лягушек. В эпифизе возрастные изменения являются раньше, чем в других органах.

В третьей главе анализируются, развивающиеся при старении ресничных железах. Показано, что части тиреоцитов выражены изменения, в другой—следы застоя секрета. С-клетки, имеющие кальцитонин, при старении плавают существенной струей стройки, что очень важно, рассматриваются не только как функциональной деятельности, но и как ее стабилизаторы.

В паратиреоцитах автора включаются компенсаторные точные адаптационные процессы изменения гистогематического

В коре надпочечников, полученные авторами, простираются небольшие изменения, но осуществляется адаптация стройки, что обеспечивает функциональной активности периода позднего онтогенеза. В яичниках выявлены изменения, дуцирующие и герминативные. В островках поджелудочной железы выраженные изменения происходят в β-инсулоцитах, свидетельствующие о повышенной активности, сочетающейся с указывающими на различные процессы в отделах органеллах, которые происходят нарушением транспортных. Доказательством этому служит структурная перестройка с яров.

Приведенные авторами в главах первой части, полученные на структурном уровне, дополняются о спектре изменений, происходящих при старении в периферических гематическом барьере, а также регулирующих функциональные изменения эндокринной системы.

Вторая часть монографии из трех глав. Посвящена она новой морфологии эндокринной атеросклерозе. В главе четв

и морфология эндокринной системы при старении. Кроме того, изменения клеток эндокринных желез меньше, чем нейронов как живых клеток.

Из исследований в изучение когнитивного барьера. Показано, что происходят изменения всех типов капилляров гипоталамуса, кроме при этом не изменяется. гипоталамической области при этом со сплошной эндотелиальной оболочкой без фенестраций и пор, а эндокринных желез — эндотелии, которые в периферической области истощены и содержат тонкую мембрану. При старении число фенестр, формочисленные микровыrostы и, которые по мнению авторов, являются признаками адаптации. Изменения в капиллярах эндокринных желез не носят характера и подобны таковым.

В главе авторы раскрывают механизмы пейронов ядер заднего и гипоталамуса на старение. Показывающиеся при этом адаптации недостаточны для поддержания структуры нейронов в течение функционирования, а также специфика реактивного гистогематического барьера гипоталамуса при фармакологическом воздействии, что имеет практическое значение.

На ультраструктурном уровне свидетельствуют о снижении активности гипоталамуса при старении. Данные об изменении структуры нейрогипофиза интерес в связи с современными исследованиями о роли нейропептидов и окситоцина в регуляции научения и памяти. Наряду с изменениями в ультраструктурных исследованиях гипофиза, клетки, вырабатывающие тропные гормоны, при старении изменяются незначительно. Гонадотропные и пролактиновые клетки сохраняют высокую функциональную активность. Однако функциональное напряжение приводит к появлению деструктивных изменений, более выраженных у старых животных, чем у взрослых. В эпифизе возрастные изменения проявляются раньше, чем в других железах внутренней секреции и других системах организма.

В третьей главе анализируются процессы, развивающиеся при старении в периферических железах. Показано, что в одной части тиреоцитов выражены атрофические изменения, в другой — следы напряжения и застое секрета. С-клетки, имеющие нейробластическое происхождение и секрецирующие кальцитонин, при старении не претерпевают существенной структурной перестройки, что очень важно, поскольку они рассматриваются не только как активаторы функциональной деятельности тиреоцитов, но и как ее стабилизаторы.

В паратиреоцитах авторами выявлены внеклеточные компенсаторные и внутриклеточные адаптационные процессы, а также изменения гистогематического барьера.

В коре надпочечников, по результатам, полученным авторами, происходят сравнительно небольшие изменения и одновременно осуществляется адаптационная перестройка, что обеспечивает устойчивость функциональной активности железы в период позднего онтогенеза. В семенниках и яичниках выявлены изменения гормонпродуцирующих и герминативных клеток. В островках поджелудочной железы наибольше выраженные изменения при старении происходят в β -инсулоцитах. Признаки, свидетельствующие о повышенной функциональной активности, сочетаются с таковыми, указывающими на развитие дистрофических процессов в отдельных клетках и органеллах, которые происходят в условиях нарушенного транскапиллярного обмена. Доказательством этому служит ультраструктурная перестройка стенки капилляров.

Приведенные авторами данные в трех главах первой части, полученные на ультраструктурном уровне, дополняют представления о спектре изменений, происходящих при старении в периферических железах, гистогематическом барьере, а также центрах, регулирующих функциональную активность желез эндокринной системы.

Вторая часть монографии также состоит из трех глав. Посвящена она функциональной морфологии эндокринной системы при атеросклерозе. В главе четвертой авторы

рассматривают методические подходы к изучению структурных изменений эндокринной системы при атеросклерозе, а также высказывают свою точку зрения на атеросклероз и объективные методы и способы его изучения.

Глава пятая посвящена изучению функциональной морфологии центров регуляции эндокринной системы при атеросклерозе. Вопрос о роли морфофункционального состояния желез эндокринной системы в развитии атеросклероза дискутируется, поэтому исследование авторов на клиническом материале и в эксперименте на различных моделях представляют большой научный интерес. Показано, что гипоталамическая область проявляет устойчивость при развитии атеросклероза, что обусловлено, видимо, повышенной васкуляризацией, особенно в зоне крупноклеточных ядер.

Авторами установлена прямая корреляция массы ацидофильных клеток в аденогипофизе и площади атеросклероза. Чем выраженнее атеросклеротические проявления, тем значительнее увеличение массы базофильных клеток и уменьшение массы ацидофильных, что рассматривается авторами как развитие компенсаторно-приспособительной реакции.

Прямой зависимости между развитием атеросклероза и изменением структуры щитовидной железы у экспериментальных животных авторами, по данным светового микроскопии, не установлено. Исследование клинического материала на светоотличительном уровне также не позволило авторам установить достоверных изменений в эпифизе, связанных непосредственно с атеросклерозом, а не со старением. Авторы не отождествляют «грубые» условия воспроизведения атеросклероза у экспериментальных животных с медленно развивающимся процессом у человека.

В целом считают, что влияние эпифиза на атеросклероз невелико.

В главе шестой авторы рассматривают функциональную морфологию периферических желез эндокринной системы при атеросклерозе. Показано, что по мере прогрессирования атеросклероза функциональная активность щитовидной железы снижается, что обусловлено применение в качестве эффективного лечебно-профилактического средства тиреоидина и препаратов йода. Изменений околоцитовидных желез при атеросклерозе не выявлено. Отмечено лишь некоторое снижение их функциональной активности.

В связи с применением в клинике кортикостероидов актуально изучение роли коры надпочечников в развитии атеросклероза.

CONTENTS

Articles

- DUBROVINA N. I., ILYUTCHENKO V. A. GABA-Benzodiazepine-Induced Hypothermia
GERASIMOV A. V. Predicting the Training Centres of Severe Hyperthermia
SHIMANSKAYA T. V., GURMAN E. G. Action of Electrostimulation on the RVM Area in Realization
VERESKUN S. B., DMITRIEV A. V. Vasopressin and Its Action on the Endocrine System
ROMODANOVA E. A., PAFONOV E. G. Effect of Hydrocortisone on the Functioning of the Adrenocortical Gland with Different Calcium Concentrations
IVASIVKA S. V., POPOV V. V. Mineral Water Naftus

Brief Notes

- SEMEYUTIN A. I. Influence of Transcallosal Field Reactions on the Lateral Nucleus of the Hypothalamus
KIRILYUK M. L., KUKHAROV A. V. Continuous Infusion of Phagocytizing Leucocytes into the Cerebral Spinal Fluid
GYULLING E. V., SAMBUKIAN A. V. Effect of Hydrocortisone-Induced Diabetes on the State of the Rat Mammary Gland
KORPACHEV V. V. Peculiarities of Human Cardiac Muscle
POKROVSKAYA S. V. Kinetics of the Surface Charge on the Surface of the Rat Mammary Gland
SAIKO A. A. Effect of Norepinephrine on the Contractile Activity of the Cardiac Muscle
STOLYARCHUK A. A. Vertebrate Nervous System
MARKHASIN V. S. NAFI of the Cardiac Muscle
SHEVCHUK V. G. PLISI: Influence of Metabolic Processes in the Rat Mammary Gland
SASHENKOV S. L., KHOKHLOV V. Z. The Influence of the Surface Charge on the Binding of Cells and Binding Proteins

Procedures

- FRANKOV I. A., SOKOLOV A. V. Small Animals
RYAKHOVSKY A. N., RYAKHOVSKY A. N. Chewing Function

Surveys

- MOIBENKO A. A., PAVLICHENKO V. V. Symposia, Conferences, and Workshops
KALINSKY M. I., MOROZOV V. A. Stability of the Human Organism

Reviews

- LANOVENKO I. I. Theoretical Pathology (a Review)
KUCHUROV N. K., KHUCHUROV N. K. Biophysics by K. OLEINIK Ya. V. A. Modelling of the Human Organism
ZELENSKAYA T. M. Anatomical and Physiological Aspects of Ageing by K.

Интерпретация данных по этому вопросу у человека сложна. Однако установлено, что интенсивность жирового инфильтрирования клеток коры надпочечников при атеросклерозе повышается прямо пропорционально выраженности атеросклероза в аорте и венечных артериях сердца. В эксперименте авторами показано, что при холестериновой нагрузке снижается функциональная активность надпочечников. Найдена корреляция количества отложений липидов в аорте и изменения, происходящих в надпочечниках и гипоталамусе. Установлено, что снижение функциональной активности надпочечников создает благоприятные условия для развития атеросклероза. Выявленная связь изменений помогает понять механизм развития тяжелых инфарктов и применение клиницистами кортикостероидной терапии при данной патологии. Анализируя результаты клинических исследований, авторы подчеркивают, что необходимо тщательно дифференцировать специфические изменения в надпочечниках, вызванных самим атеросклерозом, от неспецифических, обу-

словленных механизмом наступления смерти, продолжительностью агонального периода. Приведенные данные в значительной мере дополняют сведения об изменениях, которые развиваются в надпочечниках при атеросклерозе. Авторами также показано, что атеросклероз ускоряет инволютивные процессы в половых железах и поджелудочной железе.

Монография не лишена некоторых недостатков. Материал, изложенный в четвертой главе, можно было без ущерба для монографии представить в пятой и шестой главах. В изучении материала не всегда соблюдался системный подход. Желательно было бы изучение конкретной системы при старении или атеросклерозе в условиях введения, используемых авторами фармакологических веществ, что позволило бы изучить механизмы взаимосвязи органов в пределах системы.

В целом монография хорошо иллюстрирована, легко читается и представляет интерес для геронтологов, патоморфологов, эндокринологов.

Т. М. Зеленская

Причины, вызывающие атеросклероз, неизвестны. Существует множество гипотез, объясняющих эти изменения. Одна из них предполагает, что атеросклероз является следствием нарушения кровообращения в мозге. Другая гипотеза предполагает, что атеросклероз является результатом нарушения кровообращения в периферических артериях. Третья гипотеза предполагает, что атеросклероз является результатом нарушения кровообращения в легких. Четвертая гипотеза предполагает, что атеросклероз является результатом нарушения кровообращения в почках. Пятая гипотеза предполагает, что атеросклероз является результатом нарушения кровообращения в яичниках. Шестая гипотеза предполагает, что атеросклероз является результатом нарушения кровообращения в мочевыводящих путях. Седьмая гипотеза предполагает, что атеросклероз является результатом нарушения кровообращения в кишечнике. Восьмая гипотеза предполагает, что атеросклероз является результатом нарушения кровообращения в мозге. Девятая гипотеза предполагает, что атеросклероз является результатом нарушения кровообращения в периферических артериях. Десятая гипотеза предполагает, что атеросклероз является результатом нарушения кровообращения в легких. Елецкая Т. М. Атеросклероз как фактор риска инфаркта миокарда. Ученые записки БГУ, № 1, 1990, стр. 118-122.

CONTENTS

Articles

DUBROVINA N. I., ILYUTCHENOK R. Yu. Role of the Dopaminergic System and GABA-Benzodiazepine-Retrieval Ionophore Complex in the Regulation of Memory	3
GERASIMOV A. V. Prediction of Success of Vocational Training of Operators in the Training Centres on Psychophysiological and Personality Criteria	8
SHIMANSKAYA T. V., GUREVICH M. I., SAGACH V. F., BOIKO V. I. The Effect of Severe Hyperthermia on the Circulatory and Acid-Base Balance in Dogs	14
VERESKUN S. B., DMITRIEVA A. W., KARTSEVA A. G. Significance of Neurons of the RVLM Area in Cat in the Mechanism of the Cardiohemodynamic Reaction Realization	20
GOLUBEVA M. G., KALISHEVSKAYA T. M., SOLOV'YEVA M. E. The Influence of Vasopressin and Its Analogs on the Blood Coagulation of Rats	25
ROMODANOVA E. A., PARANICH A. V., CHAIKINA L. A. Effect of the Chronical Action of Electrostatic Field on Certain Biochemical Indices of Tissues	30
GURMAN E. G., BAGIROVA E. A., SURMAK V. V. Free Choice of Salt Solutions and Functioning of the Enzyme-Transport Mechanisms in the Small Intestine with Different Calcium-Supply of the Organism	35
IVASIVKA S. V., POPOVICH I. L., YAREMENKO M. S., KOVBASNYUK M. N. Mineral Water Naftusia as a Xenobiotic	40
Brief Notes	
SEMEYUTIN A. I. Influence of Electrical Stimulation of Locus Coeruleus on Transcallosal Field Response in Parietal Associative Cortex of the Cat Brain	46
KIRILYUK M. L., KUKHARCHUK A. L., GOZHENKO A. I. The Influence of the Lateral Nucleus Destruction on the Renal Function	48
VARGA S. V., SINITSYN P. V., TARASENKO L. V. Rabbit Androgen Status During Continuous Injections of Non-Steroidal Antiandrogen Niphtholid	52
BAZHORA Yu. I., BUIKO V. P. Age-Dependent Features of Cytochemical Activity of Phagocytizing Leukocytes in Norm and Under Infectious Pathology	56
GYULLING E. V., SAMBUR M. B. The Study of the Thymus-Realized Mechanism of Hydrocortisone-Induced Suppression of Delayed-Type Hypersensitivity (DTH)	60
KORPACHEV V. V., VÁHYÚRIKHINA L. T., POKROVSKAYA S. V., ORLOVA A. V. Peculiarities of Humoral Spleen Factors Under Irradiation	63
POKROVSKAYA S. V., KORPACHOV V. V., KOMISSARENKO V. P. Functional State of the Rat Mast Cells Under the Influence of Splenic Active Factors	67
SAIKO A. A. Effect of Neostigmine Methylsulfate on the Content of Steroid Hormones in Cows	71
STOLYARCHUK A. A., VASIL'YEVA S. A., STOROZHUK B. G. Influence of Vegetative Nervous System on the Resistance of Heart Ventricles to Fibrillation	73
MARKHASIN V. S., NAFIKOV Kh. M., IZAKOV V. Ya., BLYAKHMAN F. A. Effect of the Cardiac Muscle Heterogeneity on Its Mechanical Function	76
SHEVCHUK V. G., PLISKA A. I., SERGIENKO O. V., REIKO M. N., SHAF G. G. Influence of Retabolilum, Biossedum and Corpus Vitreum on the Reparative Processes in the Rat Heart with Experimental Myocardial Infarction	80
SASHENKOV S. L., KHSHIVO A. L., EGOROVA N. V., NEKRASOV A. S., LANKIN V. Z. The Influence of Lipoxygenase Metabolites of Arachidonic Acids on the Surface Charge of the Erythrocyte Membranes	83
ELKINA V. A., ROZANOV A. Ya. Absorption Dynamics of ¹⁴ C-Biotin by the Blood Cells and Binding by Plasma Proteins in Ontogenesis	86
Procedures	
FRANKOV I. A., SOKOLOVA T. N. A New Method to Obtain the Gastric Juice in Small Animals	91
RYAKHOVSKY A. N., RAITSSES V. S. A New Approach to Estimate the Human Chewing Function	94
Surveys	
MOIBENKO A. A., PAVLYUCHENKO V. B. The Heart as an Endocrine Organ	99
Symposiums, Conferences, Congresses, Seminar Schools	
KALINSKY M. I., MOROZOV V. M. Urgent Problems of Sport Biochemistry	110
BARABOI V. A. Stability of the Biological Systems	111
Reviews	
LANOVENKO I. I. Theoretical and Clinical Aspects of Postresuscitation Encephalopathy (a Review on Book «Postresuscitation Encephalopathy» by Permyakov N. K., Khuchua A. V., Tumansky V. A.)	113
OLEINIK Ya. V. A Modern Manual to Students and Teachers (a Review on Book «Biophysics» by Kostyuk P. G., Grodzinsky D. M., Zima V. L. et al.)	115
ZELENSKAYA T. M. Analysis of Pathomorphological Changes in Endocrine System Organs and Centres of Its Regulation at Ageing and Atherosclerosis (a Review on Book «Functional Morphology of the Endocrine System at Atherosclerosis and Ageing» by Khmelnytsky O. K., Stupina A. S.)	116

гаются на отдельной странице
точками снизу: например V, греческого алфавита обвести

Датой поступления статьи

В авторской корректуре
ошибок. Отсыпать ее следует

Отклонив рукопись, редактор

При отсылке рукописи в
или бандероли обратное уведомление
рукописи просим не отправлять

Статьи печатаются на ру

Журнал индексируется в

Редакция высылает авторам

Просим Вас оформить п

ти — 74523.

Авторам о журнале

К опубликованию в «Физиологическом журнале» принимаются оригинальные статьи по основным разделам физиологии, а также обзорные статьи по наиболее актуальным ее проблемам, статьи по истории отечественной и мировой физиологической науки, освещающие генезис и эволюцию идей, возникновение и развитие научных школ, творческие портреты ученых, забытые имена науки, дискуссионные статьи, рецензии на статьи и новые издания, научная хроника, оформленные в соответствии со следующими требованиями.

Рукопись статьи присыпается в двух экземплярах. Объем статьи не должен превышать 14 страниц машинописного текста через два интервала (обзора — 25 страниц), включая список литературы, таблицы, рисунки, реферат (не более 1/2 страницы) и резюме на русском и английском языках (не более 1/2 страницы).

При экспериментальной статье должны быть официальное направление от руководства учреждения, в котором проводились исследования, и экспертное заключение. Рукопись должен подписать каждый из авторов, указав телефон и адрес для переписки.

На первой странице в левом верхнем углу приводится шифр УДК, под ним — инициалы и фамилия автора, ниже — название статьи.

В введении скжато излагается история вопроса со ссылкой на опубликованные работы, в которых аналогичные исследования уже проводились. Здесь же следует обосновать цель работы.

Раздел «Методика» должен быть изложен так, чтобы, используя описанную методику, можно было воспроизвести исследование. Методы, известные из литературы, описывать не следует — достаточно ограничиться ссылками. Необходимо указывать вид и число используемых животных, применяющиеся методы обезболивания и эвтаназии.

В разделе «Результаты и их обсуждение» следует избегать прямых повторений табличных данных. Обсуждение результатов нужно ограничить рассмотрением только наиболее важных установленных фактов с учетом предыдущих сведений по затронутым вопросам.

Библиографические ссылки. Список их составляется в порядке алфавита авторов, в тексте источник отмечается порядковым номером в квадратных скобках и прилагается в конце статьи на отдельной странице. Список иностранных источников приводится на языке оригинала, подается после списка русских, продолжая нумерацию. На неопубликованные материалы ссылаться нельзя. Образцы оформления библиографических ссылок, соответствующих ГОСТу, см. в № 1 «Физиологического журнала» за 1988 год.

Таблицы следует печатать на отдельных страницах. Сокращения слов (за исключением общепринятых) в таблицах нежелательны. Цифровые данные необходимо округлять, согласно принятым правилам, с учетом средней ошибки примененного метода. Достоверность различий следует подтверждать статистическим анализом.

Иллюстрации, рисунки представляются — только в том случае, если полученные данные невозможно отобразить в таблицах — в двух идентичных экземплярах, выполненных черной тушью (пастой) на белой бумаге размером не более 1/2 стандартной страницы. Надписи на них должны быть краткими и объяснены в подписях к рисункам, напечатанных на отдельной странице. Фотографии должны быть напечатаны на глянцевой бумаге. Нельзя заменять фотографии хроматографических и других исследований рисованными схемами. Некачественные снимки гелей не принимаются. Фотографии должны быть четкими и контрастными. Второй экземпляр фотографии (по не рисунок) нужно давать без обозначений. На обороте каждой иллюстрации следует указывать порядковый номер, фамилию автора, название статьи; на микрофото — его верх и низ. На полях рукописи нужно отмечать место рисунков и таблиц.

Допустимое число рисунков — четыре.

Формулы химические и математические должны быть напечатаны на машинке с латинским шрифтом или четко вписаны от руки черной пастой (их дубликаты прилагаются к рукописи).

120 Физиол. журн., 1990, т. 36, № 3

НОВЫЕ КНИГИ ИЗДАТЕЛЬСТВ

ПОИСК РЕШЕНИЙ МЕДИКО-БИОФИЛЬДА. Н. К. Терновой и др.

В монографии впервые в отечественной практике поиска решений медико-медицины. Описаны принципы объектов. Показаны особенностей филактики. Сформулированы принципы, лекарственному средству новы новые принципы поиска, в онкологии, хирургии, аллергии.

Для медиков, биологов, Заказать это издание можно Киев 1, ул. Кирова, 4), который платежом.

Индивидуальные покупатели, где указываются автор и экземпляров и адрес, по ко Организации и предприятия с

Прием предварительных три месяца до выхода издания. Своевременное оформление Вас книги.

гаются на отдельной странице). Необходимо разметить прописные буквы (двумя черточками снизу: например V, M) и строчные (двумя черточками сверху: v, m), буквы греческого алфавита обвести красным карандашом.

Датой поступления статьи считается дата получения редакцией рукописи.

В авторской корректуре (верстке) допускаются исправления лишь типографских ошибок. Отсыпать ее следует в день получения.

Отклонив рукопись, редакция оставляет в своем архиве один ее экземпляр.

При отсылке рукописи в редакцию целесообразно прилагать к заказному письму или бандероли обратное уведомление о вручении. Ценными письмами и бандеролями рукописи просим не отправлять.

Статьи печатаются на русском языке, и по желанию авторов, на украинском.

Журнал индексируется международным справочным изданием «Current contents».

Редакция высылает авторам оттиски опубликованных статей.

Просим Вас оформить подписку на журнал. Его индекс: в каталоге «Союзпечати» — 74523.

НОВЫЕ КНИГИ ИЗДАТЕЛЬСТВА «НАУКОВА ДУМКА»

ПОИСК РЕШЕНИЙ МЕДИКО-БИОЛОГИЧЕСКИХ ЗАДАЧ / К. С. Терновой, Л. Г. Розенфельд, Н. К. Терновой и др.— 16 л.— 3 р. 40 к. План 1990. № 382 (III квартал)

В монографии впервые в отечественной медицинской литературе изложены методики поиска решений медико-биологических задач с учетом специфики объектов медицины. Описаны принципы организации и функционирования организма и биообъектов. Показаны особенности медицинской техники, терапии, диагностики, профилактики. Сформулированы требования к идеальным способам лечения, диагностики, лекарственному средству, устройству для диагностики или лечения. Предложены новые принципы поиска, показано их применение в поиске решений проблем в онкологии, хирургии, аллергологии, лучевой диагностике, фармакологии.

Для медиков, биологов, биофизиков, физиологов, инженеров, патентоведов. Заказать это издание можно в магазине издательства «Наукова думка» (252001 Киев 1, ул. Кирова, 4), который высылает книги иногородним заказчикам наложенным платежом.

Индивидуальные покупатели должны оформлять заказы на почтовых открытках, где указываются автор и название книги, номер по плану, необходимое число экземпляров и адрес, по которому должно быть отправлено заказное издание. Организации и предприятия оформляют заказы гарантными письмами.

Прием предварительных заказов в магазине издательства прекращается за три месяца до выхода издания в свет.

Своевременное оформление заказов — гарантия приобретения заинтересовавшей Вас книги.

ся оригинальные статьи по наиболее актуальным физиологической науки, тие научных школ, творче статьи, рецензии на ветствии со следующими

и статьи не должен пре- (обзора — 25 страниц), лее 1/2 страницы) и ре- е направление от руко- и экспертное заключение, телефон и адрес для пере-

бр УДК, под ним — ини- той на опубликованные сь. Здесь же следует ользуя описанную мето- нобходимо указывать вид деливания и эвтаназии.ТЬ прямых повторений рассмотрением только х сведений по затрону-

щие алфавита авторов, их скобках и прилагаемых источников приводится нумерацию. На неопубликованных ссыжурнала» за 1988 год. щения слов (за исключенные необходимо окруж- примененного метода. анализом.

лучае, если полученные в других исследований именуются. Фотографии графики (но не рисунок) следует указывать офото — его верх и низ.

печатаны на машинке с (их дубликаты прила-

Рефераты

УДК 612.18.181.13.

Роль нейронов
га кошки в ме-
рессии С. Б., Д.
№ 3.— С. 20—

В опытах на
показано, что
тивности нейро-
более развитое
ного воздействия
свидетельству-
тонус через из-
«выключение»
динамических
ров RVLМ,
от нейронов R
развитие нейро-

УДК 612.821.1/3:621.311.22

Роль дофаминергической системы и ГАМК-бензодиазепин-ионофорного комплекса в регуляции воспроизведения памяти / Дубровина Н. И., Ильюченок Р. Ю. // Физiol. журн.— 1990.— 36, № 3.— С. 3—8.

В опытах на мышах с использованием методики условной реакции пассивного избегания проведены исследования эффективности нейрофармакологической активации дофаминергической системы и блокады ГАМК-бензодиазепин-ионофорного комплекса на воспроизведение условного навыка в модели спонтанного забывания. Показано, что различные нейрохимические активаторы дофаминергической системы (амфонелевая кислота, номифензин, бупропион, (+)-3-PPP) и блокада отдельных компонентов ГАМК-бензодиазепин-ионофорного комплекса бикукуллином, пирротоксином, флумазепилом и R015-3505 позволяют извлечь след памяти, нарушенный спонтанным забыванием продолжительностью 10—20 сут. При дальнейшем развитии спонтанного забывания (40—50 сут) наблюдается более низкая эффективность нейрофармакологического воздействия, изменяющего функционирование дофаминергической системы, и сохранение активирующего влияния при блокаде тормозной ГАМК-ergicической системы. Обнаружена существенная зависимость эффектов пресинаптического дофаминергического агониста (—)-3-PPP от исходного значения показателя воспроизведения памяти при забывании. Ил. 2. Библиогр. 19.

УДК 612.115:577.

Влияние вазо-
лубева М. Г.
1990.— 36, №

В опытах на
и его аналог
венно введен
ной и фибри
фибринолиз з
большое (на
1-й минуте. И
пенно к 15—
и его аналог
ратов, исходя
поскольку ис
ых людей м
лиогр. 19.

УДК 612.821.1/3:621.311.22

Прогнозирование успешности профессионального обучения операторов в учебно-тренировочных центрах по психофизиологическим и личностным критериям / Герасимов А. В. // Физiol. журн.— 1990.— 36, № 3.— С. 8—14.

Выделены психофизиологические критерии, наиболее тесно связанные ($R=0,83$) с успешностью освоения операторской деятельности (личностные особенности, уровень развития интеллекта, внимания, памяти, особенности биоэлектрической активности мозга, функциональная подвижность ЦНС). Определены принцип ранжирования психофизиологических показателей операторов, получены прогностические многомерные регрессионные модели, средняя погрешность которых составляет 5—6 %. Разработаны представления о четырех группах профессиональной пригодности, учитывающие не только эффективность операторской деятельности, но и особенности ее освоения. Показано, что операторы, вошедшие в эти группы, достоверно различаются уровнем развития профессионально важных психофизиологических качеств, обучаемостью, а также вкладом в аварийность энергопредприятий. Ил. 1. Табл. 2. Библиогр. 10.

УДК 577.161.2+

Влияние хро-
биохимически
кина Л. А. /

На белых к
действие эле-
показатели у-
ление липидо-
3 нед по б-
перестройки
в сыворотке
также увели-
фолицидом 1-
вого дигидро-
лей обмена
превышающе-
ция организ-
характерна

УДК 612.014.43+612.13+612.23+612.26

Влияние перегревания собак на кардио- и гемодинамику и кислотно-основное состояние крови / Шиманская Т. В., Гуревич М. И., Сагач В. Ф., Бойко В. И. // Физiol. журн.— 1990.— 36, № 3.— С. 14—20.

В экспериментах на собаках показано, что 50-градусная тепловая нагрузка приводит к фазным изменениям ответной реакции кардио- и гемодинамики и кислотно-основного состояния крови. Во время умеренной гипертермии (первая фаза реакции) изменения исследуемых показателей происходят на фоне исходного системного артериального давления. Вторая фаза характеризуется развитием системной гипотензии, обусловленной падением сердечного выброса. Одной из причин снижения МОК является ограничение венозного возврата вследствие увеличения растяжимости емкостных сосудов, показанного на примере кожно-мышечной области, и развитие депонирования крови. Сдвиги гемодинамики наблюдаются на фоне нарушений КОС крови — дыхательного алкалоза и метаболического ацидоза. Ил. 2. Табл. 2. Библиогр. 19.

УДК 612.18.181.13.143.

Роль нейронов каудальной вентролатеральной области продолговатого мозга кошки в механизме реализации кардиогемодинамической реакции / Веселыун С. Б., Дмитриева А. В., Каццева А. Г. // Физиол. журн.— 1990.— 36, № 3.— С. 20—25.

В опытах на наркотизированных и искусственно вентилируемых кошках показано, что в условиях предварительного «выключения» глицином активности нейронов RVLM введение глицина в CVLM не сопровождается более развитием кардиогемодинамической реакции, характерной для данного воздействия в условиях сохраненной активности нейронов RVLM, что свидетельствует о реализации влияний нейронов CVLM на сосудистый тонус через их взаимодействие с нейронами RVLM. Функциональное же «выключение» нейронов CVLM не оказывается на развитии кардиогемодинамических реакций, обусловленных активацией или торможением нейронов RVLM, свидетельствующее о том, что нейроны CVLM, в отличие от нейронов RVLM, не являются интегративным звеном, обеспечивающим развитие нейрогенного сосудистого тонуса. Ил. 3. Библиогр. 13.

УДК 612.18.181.15.5.34.382.5

Возрастные особенности активности фагоцитирующих лейкоцитов в крови при инфекционном процессе / Бакорю Ю. Н., Булатова Г. А., Красильникова Е. А., Марковская О. В., Михайлова О. М., Овакимян Р. Н. // Физиология и экспериментальная медицина.— 1990.— 16, № 3.— С. 10—14.

УДК 612.115:577.175.343

Влияние вазопрессина и его аналогов на свертывание крови у крыс / Голубева М. Г., Калишевская Т. М., Соловьева М. Е. // Физиол. журн.— 1990.— 36, № 3.— С. 25—30.

В опытах на белых крысах изучали влияние аргинилвазопрессина (АВП) и его аналогов ДДАВП и ДГАВП на свертывание крови у крыс. Внутри不小的 введение АВП вызывало дозозависимое увеличение проокоагулянтной и фибринолитической активности. Влияние ДДАВП и ДГАВП на фибринолиз значительно слабее, чем АВП. АВП и ДДАВП вызывали небольшое (на 5—6 %) увеличение содержания фактора VIII (Ф VIII) на 1-й минуте. При инъекции ДГАВП содержание Ф VIII нарастает постепенно к 15—30-й минуте. Вероятно, при использовании в клинике АВП и его аналогов необходимо учитывать гормональное действие этих препаратов, исходное состояние системы гемостаза, а также возраст пациентов, поскольку использование ДГАВП при лечении психически больных пожилых людей может способствовать тромбообразованию у них. Ил. 2. Библиогр. 19.

УДК 577.161.2+125.33+621.319.7

Влияние хронического действия электростатического поля на некоторые биохимические показатели тканей / Ромоданова Э. А., Паранич А. В., Чайкина Л. А. // Физиол. журн.— 1990.— 36, № 3.— С. 30—34.

На белых крысах-самках линии Вистар трехмесячного возраста изучали действие электростатического поля напряженностью около 320 кВ/м на показатели углеводного, липидного и белкового обмена и перекисное окисление липидов (ПОЛ). Показано, что при длительном действии (в течение 3 нед по 6 ч ежедневно) в организме крыс происходит адаптационные перестройки обмена веществ. Отмечено увеличение содержания глюкозы в сыворотке крови, печени и мозгу и количества гликогена в печени, а также увеличение отношения содержания холестерина к содержанию фосфолипидов в печени. Показано усиление ПОЛ (по содержанию малонового дикарбоната) в печени и мозгу. Изменения исследованных показателей обмена веществ свидетельствуют о возбуждении первой системы, не превышающем физиологических возможностей адаптации. Ответная реакция организма проявляется в тканевой специфичности и в большей мере характерна для печени. Табл. 4. Библиогр. 17.

УДК 591.047;591.434;612.014.463

Свободный выбор солевых растворов и функционирование ферментативно-транспортных механизмов тонкой кишки при различной обеспеченности организма кальцием / Гурман Э. Г., Багирова Е. А., Сурмак В. В. // Физиол. журн.—1990.—36, № 3.—С. 35—40.

Исследовали свободный выбор крысами растворов, различающихся содержанием Ca^{2+} , и чувствительность к Ca^{2+} транспортной системы для свободной глюкозы и мальтозного ферментативно-транспортного конвейера в тонкой кишке. В контроле, при введении ЭДТА, витамина D₂ крысы предпочитали Ca-содержащий раствор, а при введении Ca^{2+} , верапамила, аминазина это предпочтение исчезало. Аминазин снижает суммарное потребление жидкости. *In vitro* транспорт глюкозы у крыс, получавших аминазин, снижен до пассивного. Безкальциевые среды угнетают аккумуляцию свободной глюкозы только у контрольных животных и животных, получавших ЭДТА, а транспорт глюкозы из мальтозы — у животных всех групп. Анализируются согласованность изменений пищевого поведения и свойств эргомов энтероцитов и различие чувствительности к Ca^{2+} глюкозного канала и ферментативно-транспортного конвейера при воздействиях на Ca-обмен. Табл. 2. Библиогр. 10.

УДК 612.73:615.327:577.15

Минеральная вода нафтуся как ксенобиотик / Иvasивка С. В., Попович И. Л., Яременко М. С., Ковбасюк М. Н. // Физиол. журн.—1990.—36, № 3.—С. 40—45.

Установлено, что минеральные воды типа нафтуси, в отличие от пресных родниковых и поверхностных вод региона, содержат органические вещества (ОВ), абсорбирующие УФ-лучи с пиком поглощения при 230 нм, которые всасываются из ЖКТ в кровь. Показано, что продолжительная нагрузка животных минеральной водой приводит к сокращению наркотического сна, вызванного действием нембутала, усилинию секреции кардиотрома канальцами почек и дуэрэза. Превентивная курсовая нагрузка крыс нафтусей значительно ослабляет холестатический эффект АНИТ, что обусловлено, вероятно, более эффективной детоксикацией и элиминацией яда вследствие субстратной индукции ОВ минеральной воды как ксенобиотиками монооксигеназной системы печени и транспортно-секреторного аппарата почек. Ил. 3. Табл. 3. Библиогр. 14.

УДК 612.825:612.822.3

Влияние электрического раздражения голубого пятна на транскаллозальный ответ, возникающий в теменной ассоциативной коре мозга кошки // Семенютин А. И. // Физиол. журн.—1990.—36, № 3.—С. 46—48.

В теменной коре мозга кошки исследовали влияние кондиционирующей стимуляции голубого пятна (ГП) на различные компоненты транскаллозального ответа. Кондиционирующая стимуляция ГП вызывала угнетение амплитуды быстрого положительного колебания и облегчение медленного отрицательного колебания. Сделан вывод, что ГП угнетает возбуждение и облегчает процессы торможения, вызванные в теменной коре транскаллозальным раздражением. Ил. 1. Библиогр. 12.

УДК 612.46:612.826.1

Влияние разрушения латерального ядра перегородки мозга на функцию почек / Кирилюк М. Л., Кухарчук А. Л., Гоженко А. И. // Физиол. журн.—1990.—36, № 3.—С. 48—52.

В опытах на половозрелых самцах белых крыс на 7-е сутки после разрушения латерального ядра перегородки мозга (ЛЯПМ) установлено увеличение потребления воды, экскреции натрия, осмотически активных веществ, креатинина, титруемых кислот и аммиака. При этом отмечены увеличение содержания вазопрессина и уменьшение концентрации альдостерона в плазме крови. Обсуждаются возможные механизмы реализации влияний ЛЯПМ на регуляцию водно-солевого обмена и функцию почек. Ил. 3. Табл. 1. Библиогр. 15.

УДК 612.616.31:615.3

Андрогенный сти нестериоидного агентов / Сарченко Л. В. //

В опытах на ин изучено в дина антандрогена и но) на содержание ростендиона, а (ТЭСГ) в сыво нифтолид значит оказывая замену. У кастрированных на фоне пизкого ЛГ. Полученные выражение гипофизарно вует проявленник в организме. Ил.

УДК 577.158.52+547

Возрастные особенности при инфекции / журн.—1990.—3

Изучали активности белков (КБ) коцитов у здоровых (хронический тон). Установлено, что фекции наблюдаются снижением переноса

УДК 615.361.438:612.4

Исследование о действия гидроксиллинга / Гюллинг Э. В., Садовская С. А. //

В экспериментах воротки и в системе введения гидроксиллинга медленного типа угнетение клеток, сокращение мышц. Ил. 3. Библиогр. 15.

УДК 612.414:614.876

Особенности действия гидроксиллинга / Корпачев В. В., Садовская С. А. //

Широта терапевтического действия гидроксиллинга на один из важнейших альфа-2-макроглобулинов, различных и щитовидных функций, что гуморальная организма при осложнении

УДК 616.153.36:612.4

Функциональное действие гидроксиллинга / Сарченко В. П. //

Изучено влияние гидроксиллинга на также сплен. Установлено, что божающей активностью из тучных вещества 48/80, веществами, сод

риментативно-
обеспеченности
В. В. // Физиол.

щихся содерж-
мы для сво-
конвейера в
крысы пред-
памила, ами-
ное потреб-
вших амина-
аккумуляцию
отных, полу-
вотных всех
поведения и
 Ca^{2+} глюкоз-
воздействиях

В., Попо-
—1990.—36,

от пресных
нические ве-
при 230 нм,
олжительная
нию нарко-
жекции кар-
ая нагрузка
АНИТ, что
элиминацией
как ксено-
секреторного

искалозаль-
га кошки //
8.

иницирующей
транскалло-
ия угнетение
медленного
возбуждение
ре транскал-

на функцию
пол. журн.—

после раз-
ювлено уве-
ктивных ве-
м отмечены
ации альдо-
реализации
цию почек.

УДК 612.616.31:615.357—084

Андогенный статус у кроликов в условиях продолжительного введения нестероидного антиандрогена нифтолида / Варга С. В., Синицын П. В., Тарасенко Л. В. // Физиол. журн.—1990.—36, № 3.—С. 52—55.

В опытах на интактных половозрелых кроликах-самцах породы шиншила изучено в динамике влияние продолжительного введения нестероидного антиандрогена нифтолида (25 мг/кг в сутки в течение 60 сут, перорально) на содержание лютеинизирующего гормона (ЛГ), тестостерона и андростендиона, а также тестостерон-эстрадиолсвязывающего глобулина (ТЭСГ) в сыворотке крови. Установлено, что у подопытных животных нифтолид значительно увеличивает содержание первых двух гормонов, не оказывая заметного влияния на содержание андростендиона и ТЭСГ. У кастрированных кроликов концентрация последнего была повышенной на фоне низкого содержания тестостерона и андростендиона и высокого — ЛГ. Полученные результаты свидетельствуют о том, что нифтолид оказывает выраженное и продолжительное стимулирующее влияние на состояние гипофизарно-гонадной системы у кроликов и одновременно препятствует проявлению угнетающего влияния андрогенов на содержание ТЭСГ в организме. Ил. 1. Табл. 1. Библиогр. 10.

УДК 577.158.52+547.96:616.155.3.98—612.6

Возрастные особенности активности фагоцитирующих лейкоцитов в норме и при инфекционном процессе / Бажора Ю. И., Буйко В. П. // Физиол. журн.—1990.—36, № 3.—С. 56—60.

Изучали активность пероксидазы (ПО) и содержание лизосомных катионных белков (КБ) в ходе фагоцитарной реакции полиморфно-ядерных лейкоцитов у здоровых людей и у больных при острой (ОРВИ) и хронической (хронический тонзиллит) инфекционной патологии в возрастном аспекте. Установлено, что при острой вирусной и хронической бактериальной инфекции наблюдаются сходные изменения ПО и КБ, что коррелирует со снижением переваривающей способности фагоцитов. Ил. 4. Библиогр. 12.

УДК 615.361.438:612.017.1

Исследование опосредуемого вилочковой железой механизма супрессорного действия гидрокортизона на гиперчувствительность замедленного типа / Гюллинг Э. В., Самбур М. Б. // Физиол. журн.—1990.—36, № 3.—С. 60—63.

В экспериментах на мышах линии СВА с использованием анти-Thy1-сыворотки и в системе сингенной трансплантации клеток показано, что при введении гидрокортизона в дозе, подавляющей гиперчувствительность замедленного типа, в вилочковой железе и селезенке увеличивается содержание клеток, обладающих неспецифической супрессорной активностью. Табл. 3. Библиогр. 10.

УДК 612.414:614.876

Особенности действия гуморальных факторов селезенки при облучении / Корпачев В. В., Ванюрихина Л. Т., Покровская С. В., Орлова А. В. // Физиол. журн.—1990.—36, № 3.—С. 63—67.

Широта терапевтического действия гуморальных факторов, выделенных из селезенки крупного рогатого скота, при облучении связана с их влиянием на один из важнейших плазменных ингибиторов сериновых протеиназ — α_2 -макроглобулин (α_2 -МГ). Вследствие широкой специфичности в отношении различных протеолитических ферментов, α_2 -МГ может выполнять защитные функции. Полученные в работе результаты свидетельствуют о том, что гуморальные факторы селезенки повышают общую резистентность организма при облучении. Табл. 2. Библиогр. 7.

УДК 616.153.36:612.414.015

Функциональное состояние тучных клеток крыс при действии биологически активных факторов селезенки / Покровская С. В., Корпачев В. В., Комисаренко В. П. // Физиол. журн.—1990.—36, № 3.—С. 67—71.

Изучено влияние безбелкового экстракта селезенки (БЭС) и его фракций, а также спленина на функциональную активность тучных клеток крыс. Установлено, что БЭС в отличие от спленина не обладает гистаминвысвобождающей активностью, однако способен тормозить высвобождение гистамина из тучных клеток при действии специфического либератора — вещества 48/80. Обнаруженный эффект связан с биологически активными веществами, содержащимися в III фракции БЭС. Ил. 4. Библиогр. 14.

УДК 612.818.814.618.11.018

Влияние прозерина на содержание стероидных гормонов у коров / Сайко А. А. // Физиол. журн.— 1990.— 36, № 3.— С. 71—73.

Стимуляция холинергических процессов прозерином приводит к достоверному увеличению содержания в крови коров прогестерона и эстрадиола на 11—15-е сутки после отела, а при гипотрофии яичников увеличение содержания прогестерона не сопровождается повышением содержания эстрадиола. У животных с высоким содержанием прогестерона при персистентном желтом теле яичников инъекции прозерина вызывали снижение содержания этого гормона, а при фолликулярных кистах яичников низкое содержание прогестерона повышалось. Следовательно, усиление холинергических процессов приводило к нормализации содержания половых гормонов. По-видимому, известная трофическая функция прогестерона — одно из проявлений общей защитно-трофической функции нервной системы, осуществляющей холинергическими процессами. Поэтому действие прогестерона можно считать пусковым в нейротрофической регуляции половых гормонов. Табл. 1. Библиогр. 5.

УДК 612.117.7

Влияние липоностатического заряда рогов Н. В. / С. 83—84.

Выявлено, что (10⁻⁷—10⁻⁹ моль/л) синий (ЭФП 10⁻⁹ моль/л) цитовозвращающих механизмов и проницаемость лигног. 6.

УДК 616.122—005.8

Влияние вегетативной нервной системы на устойчивость желудочков сердца к фибрилляции / Столлярчук А. А., Васильева С. А., Сторожук Б. Г. // Физиол. журн.— 1990.— 36, № 3.— С. 73—76.

В работе на различных моделях фибрилляции желудочков сердца у кошек получены результаты, свидетельствующие о повышении устойчивости желудочков сердца к развитию фибрилляции под влиянием вагуса и ее снижении при повышении активности симпатического отдела нервной системы. Библиогр. 12.

УДК 612.015.6:5

Динамика плазмы в организме крыс в 1990 г. / С. 85—86.

Изучены взаимодействия между кровью и клетками и слизистыми дыхательных путей, выделенные из легких крыс, и клетками и слизистыми кишечника. Получены данные о содержании белков в слизистой кишечника и легких крыс. Изучена динамика белков в организме крыс в 1990 г. Библиогр. 10.

УДК 612.17:612.171

Влияние неоднородности сердечной мышцы на ее механическую функцию / Мархасин В. С., Нафиков Х. М., Изаков В. Я., Бляхман Ф. А. // Физиол. журн.— 1990.— 36, № 3.— С. 76—80.

Исследовали влияние механической неоднородности на сократительную функцию миокарда. Неоднородность имитировали параллельным соединением двух папиллярных мышц. В прецизионном эргометре значение расстояния, на которое перемещались мышцы, контролировали с помощью обратной связи по напряжению, развиваемому либо каждой из мышц, либо обеими мышцами одновременно. Регистрировали зависимости «сила — скорость» и «длина — сила» каждой из мышц в условиях изоляции и объединения их в параллельный дуплет. Установили, что объединение в дуплет заметно влияет на перераспределение нагрузок в мышцах, максимальную и среднюю скорость их укорочения. Показали, что ключевой феномен определяющий размер и знак влияния неоднородности — механо-химическое разобщение (инактивация). Ил. 3. Табл. 1. Библиогр. 4.

УДК 612.02(08)

Новая методика изучения воспаления / И. А. С. 87—88.

Предложен способ, позволяющий изучать воспаление у животных, через пищевые добавки, способные изменять пищеварительный тракт. Показано, что воспаление в пищеварительном тракте у крыс может быть изучено с помощью специальных пищевых добавок, которые вызывают воспаление в пищеварительном тракте у крыс. Библиогр. 4.

УДК 616.127—005.8—003.9; 612—092/615.357+615.36+615.322

Влияние ретаболила, биоседа и стекловидного тела на репаративные процессы в сердце крыс с экспериментальным инфарктом миокарда / Шевчук В. Г., Плиска А. И., Сергиенко О. В., Рейко М. Н., Шеф Г. Г. // Физиол. журн.— 1990.— 36, № 3.— С. 80—83.

Влияние ретаболила, биоседа и стекловидного тела на воспаление и репарацию при экспериментальном инфаркте миокарда (ИМ) изучено в 49 опытах на крысях. ИМ моделировали перевязкой задней ветви левой коронарной артерии. Показано, что наиболее выраженным репаративным эффектом обладает ретаболил. Биосед оказывает незначительное действие, а стекловидное тело не влияет на регенеративные процессы. Установлено также, что наиболее выраженный эффект ретаболила проявляется к 12-м суткам ИМ. Библиогр. 7.

УДК 612.117.7

Влияние липоксигеназных метаболитов арахидоновой кислоты на поверхностный заряд мембранные эритроцитов / Сашенков С. Л., Хшиво А. Л., Егорова Н. В., Некрасов А. С., Ланкин В. З. // Физиол. журн.— 1990.— 36, № 3.— С. 83—86.

Выявлено, что арахидоновая кислота (10^{-4} — 10^{-8} моль/л), 15-НЕТЕ (10^{-7} — 10^{-9} моль/л), липоксин В (10^{-8} моль/л) и метиловый эфир липоксина В (10^{-7} — 10^{-8} моль/л) увеличивали электрофоретическую подвижность (ЭФП) эритроцитов. 5,15-ДИНЕТЕ и 8,15-ДИНЕТЕ (10^{-6} — 10^{-9} моль/л) снижали ЭФП эритроцитов. Трехкратная отмыкация эритроцитов возвращала ЭФП к исходному значению. Показано, что одним из механизмов изменения заряда эритроцитов может являться изменение проницаемости кальциевых каналов мембранные эритроцита. Табл. 3. Библиогр. 6.

УДК 612.015.6:539.227

Динамика поглощения ^{14}C -биотина клетками крови и связывание белками плазмы в онтогенезе / Элькина В. А., Розанов А. Я. // Физиол. журн.— 1990.— 36, № 3.— С. 86—90.

Изучены возрастные особенности поглощения меченого по углероду карбонильной группы биотина (^{14}C -биотин) клетками и белками плазмы крови крыс *in vitro*. Обнаружена фазовая динамика поглощения ^{14}C -биотина клетками и связывания белками плазмы крови. Выявлены статистически достоверные онтогенетические различия поглощения ^{14}C -биотина клетками и белками плазмы крови. Клетки и белки плазмы крови молодых животных связывали в 2—5 раз больше ^{14}C -биотина по сравнению с клетками и белками крови старых животных. Белки плазмы крови связывали почти в 2 раза меньше меченого витамина, чем форменные элементы. При этом лейкоциты поглощали в 7—20 раз больше ^{14}C -биотина, чем эритроциты. Полученные результаты свидетельствуют о значительном вкладе белков и клеток крови в транспорт биотина в организме у молодых животных: через 15 мин инкубации связывается 61,1 % витамина. У 10—20-месячных животных максимально связывается 29 % метки через 15 мин инкубации. Таким образом, у старых животных связывание биотина *in vitro* клетками и белками плазмы крови уменьшается и замедляется. Ил. 1. Табл. 1. Библиогр. 10.

УДК 612.02(088.8)

Новая методика получения желудочного сока у мелких животных / Франков И. А., Соколова Т. Н. // Физиол. журн.— 1990.— 36, № 3.— С. 91—94.

Предложен способ получения пищеварительного сока из желудка мелких животных. Сущность его состоит в том, что в полость желудка животного через пищевод вводят сефадекс или подобный ему сыпучий материал, способный набухать в жидкой среде, нетоксичный для организма и не изменяющий свойств сока и отдельных его компонентов, который к тому же не перемещается в следующий отдел пищеварительного тракта до тех пор, пока не достигнет определенной степени набухания. После набухания образовавшийся гель извлекают из полости желудка, а вместе с ним и впитавшийся в него пищеварительный сок, который в дальнейшем обрабатывают в соответствии с конкретными задачами исследования. Библиогр. 4.

**Новый способ оценки функции жевания у человека / Ряховский А. Н., Рай-
цес В. С. // Физиол. журн.— 1990.— 36, № 3.— С. 94—98.**

Предложен способ оценки функции жевания по трем показателям: жевательному эффекту, жевательной способности, жевательной эффективности. Даны определения этим терминам. Описана методика проведения новой жевательной пробы, с помощью которой на группе здоровых людей из 25 человек в возрасте 17—25 лет с интактными зубными рядами, ортогнатическим прикусом изучено влияние на показатели пробы изменения числа жевательных движений, их силы, объема тестовой порции. Впервые обнаружена прямопропорциональная зависимость между жевательным эффектом (A) и интегралом суммарной биоэлектрической активности основных жевательных мышц (Σ_{ii} -ЭМГ) при числе жевательных движений. Установлена зависимость между A и Σ_{ii} -ЭМГ при увеличении числа жевательных движений. Ил. 4. Библиогр. 13.

Сердце как эндокринный орган / Мойбенко А. А., Павлюченко В. Б. // Физиол. журн.— 1990.— 36, № 3.— С. 99—109.

До настоящего времени нет четких представлений о роли кардиогенных гуморальных влияний. С открытием предсердного натрийуретического фактора (ПНУФ) представление о сердце как об органе, способном с помощью гуморальных механизмов участвовать в регуляции функций организма было поставлено на твердую почву фактов. В обзоре обобщены данные об образовании, секреции, структуре ПНУФ. Представлены современные сведения о физиологической роли ПНУФ и его значении в регуляции функций организма в норме и при некоторых видах патологии.

тровский А. Н., Рай-
ки и другие методы
оказательям: жеватель-
ной эффективности.
проведения новой
дороги людей из
ыми рядами, орто-
пробы изменения
й порции. Впервые
жду жевательным
кой активности ос-
тальных движений.
увеличения числа

юченко В. Б. // Фи-

роли кардиогенных
иуретического фак-
е, способном с по-
зиции функций орга-
ов обзоре обобщены
представлены совре-
менно значении в регу-
ляциях патологии.

1р.40н.

ИНДЕКС 74523

Физиологический
журнал

том 36 № 3 1990

НАУКОВА ДУМКА

ISSN 0201-8489. Физиол. журн. 1990. Т. 36. № 3, 1—128

